



Regione Sardegna  
Provincia di Sassari  
Comuni di Tergu, Nulvi, Sedini, Chiaramonti,  
Ploaghe e Codrongianos



**Proposta di ammodernamento complessivo** (“repowering”) del “Parco Eolico Nulvi Tergu” esistente da 29,75 MW, con smantellamento degli attuali 35 aerogeneratori e sostituzione in riduzione degli stessi con l’installazione di 15 aerogeneratori, per una potenza totale definitiva di 99 MW

Titolo:

RELAZIONE ARCHEOLOGICA

Numero documento:

|             |      |           |            |      |
|-------------|------|-----------|------------|------|
| Commissa    | Fase | Tipo doc. | Prog. doc. | Rev. |
| 2 2 4 3 0 8 | D    | R         | 0 4 0 0    | 0 0  |

Proponente:

**FRI-EL**

FRI-EL ANGLONA S.R.L.  
Piazza del Grano 3  
39100 Bolzano (BZ)  
[fri-el\\_anglona@legalmail.it](mailto:fri-el_anglona@legalmail.it)  
P.iva 02429050210

PROGETTO DEFINITIVO

Progettazione:

Archeologa: Dott.ssa Giuseppina Manca di Mores

Sul presente documento sussiste il DIRITTO di PROPRIETA'. Qualsiasi utilizzo non preventivamente autorizzato sarà perseguito ai sensi della normativa vigente

| REVISIONI | N. | Data       | Descrizione revisione        | Redatto | Controllato | Approvato |
|-----------|----|------------|------------------------------|---------|-------------|-----------|
|           | 00 | 20.07.2022 | EMISSIONE PER AUTORIZZAZIONE |         |             |           |
|           |    |            |                              |         |             |           |
|           |    |            |                              |         |             |           |

## INDICE

|  |     |
|--|-----|
| <b>PREMESSA</b> .....  | 3   |
| <b>1. CARATTERISTICHE DELL’INTERVENTO</b> .....  | 3   |
| 1.1 <b>SITUAZIONE ATTUALE</b> .....  | 3   |
| 1.2 <b>PROPOSTA PROGETTUALE</b> .....  | 4   |
| <b>2. ASPETTI METODOLOGICI</b> .....   | 6   |
| <b>3. INQUADRAMENTO STORICO – CULTURALE DEL TERRITORIO</b> .....   | 6   |
| <b>4. I DATI D’ARCHIVIO</b> .....  | 9   |
| <b>5. MAPPATURA DI AREA VASTA DELLE EVIDENZE DEL TERRITORIO - Buffer 10 km da ogni WTG (elaborato 224308_D_D_0402)</b> ..... | 10  |
| <b>6. I VINCOLI (elaborato 224308_D_D_0404)</b> .....  | 46  |
| <b>7. ELEMENTI DI FOTOINTERPRETAZIONE</b> .....  | 48  |
| <b>8. IL SURVEY (elaborato 224308_D_D_0401, tavv. I-ILVII)</b> .....   | 49  |
| <b>9. POTENZIALE E RISCHIO ARCHEOLOGICO</b> .....  | 144 |
| 9.1 <b>LA VALUTAZIONE DEL POTENZIALE ARCHEOLOGICO (elaborato 224308_D_D_0405)</b> .....                                      | 144 |
| 9.2 <b>RISCHIO ARCHEOLOGICO</b> .....  | 144 |
| <b>10. BIBLIOGRAFIA/ SITOGRAFIA</b> .....  | 145 |

## PREMESSA

Oggetto della presente relazione è la verifica preventiva dell’interesse archeologico concernente la presenza/assenza di evidenze archeologiche e determinazione del potenziale e rischio archeologico nell’area interessata dalla proposta di realizzazione del progetto di costruzione ed esercizio di un ammodernamento complessivo (repowering) di un impianto eolico esistente, sito nei Comuni di Tergu (SS) e Nulvi (SS), realizzato con Concessione Edilizia (n. 24 del 2003 del comune di Tergu e n. 55 del 2003 del comune di Nulvi per il progetto definitivo e n. 16 del 2004 del comune di Tergu e n. 55 del 2004 del comune di Nulvi per la variante in corso d’opera del Parco eolico Nulvi-Tergu), di proprietà della società FRI.EL Anglona S.r.l.

Il documento di verifica archeologica preventiva è realizzato secondo quanto prescritto dalle norme di legge,<sup>1</sup> sulla base degli allegati progettuali messi a disposizione dal Committente, della raccolta e valutazione critica delle ricerche bibliografiche<sup>2</sup> e dal *survey* condotto nell’area in oggetto.

Costituiscono parte integrante della relazione le tavole fotografiche sulle evidenze del *survey* e delle Unità di Ricognizione (UR) (elaborato 224308\_D\_D\_0401), nonché la ‘Carta delle evidenze’ di area vasta in relazione all’areale in cui insiste il Parco eolico (elaborato 224308\_D\_D\_0402), la ‘Carta della visibilità dei suoli’ (elaborato 224308\_D\_D\_0403), la ‘Carta del potenziale archeologico’ (elaborato 224308\_D\_D\_0405) e la ‘Carta dei vincoli archeologici’ (elaborato 224308\_D\_D\_0404). Le UR sono organizzate su tracciati MODI-ICCD (RCG).

## 1. CARATTERISTICHE DELL’INTERVENTO

### 1.1 SITUAZIONE ATTUALE

L’impianto eolico esistente è costituito da 35 aerogeneratori (modello Vestas V52) con diametro di 52 m, altezza massima pari a 81 m e potenza di 850 kW per una potenza totale di impianto pari a 29,75 MW, realizzato nei Comuni di Tergu e Nulvi, con opere di connessione ricadenti nel Comune di Tergu (SS), dove il cavidotto in media tensione interrato raggiunge la Stazione Elettrica di Utenza 150/20 kV, a sua volta

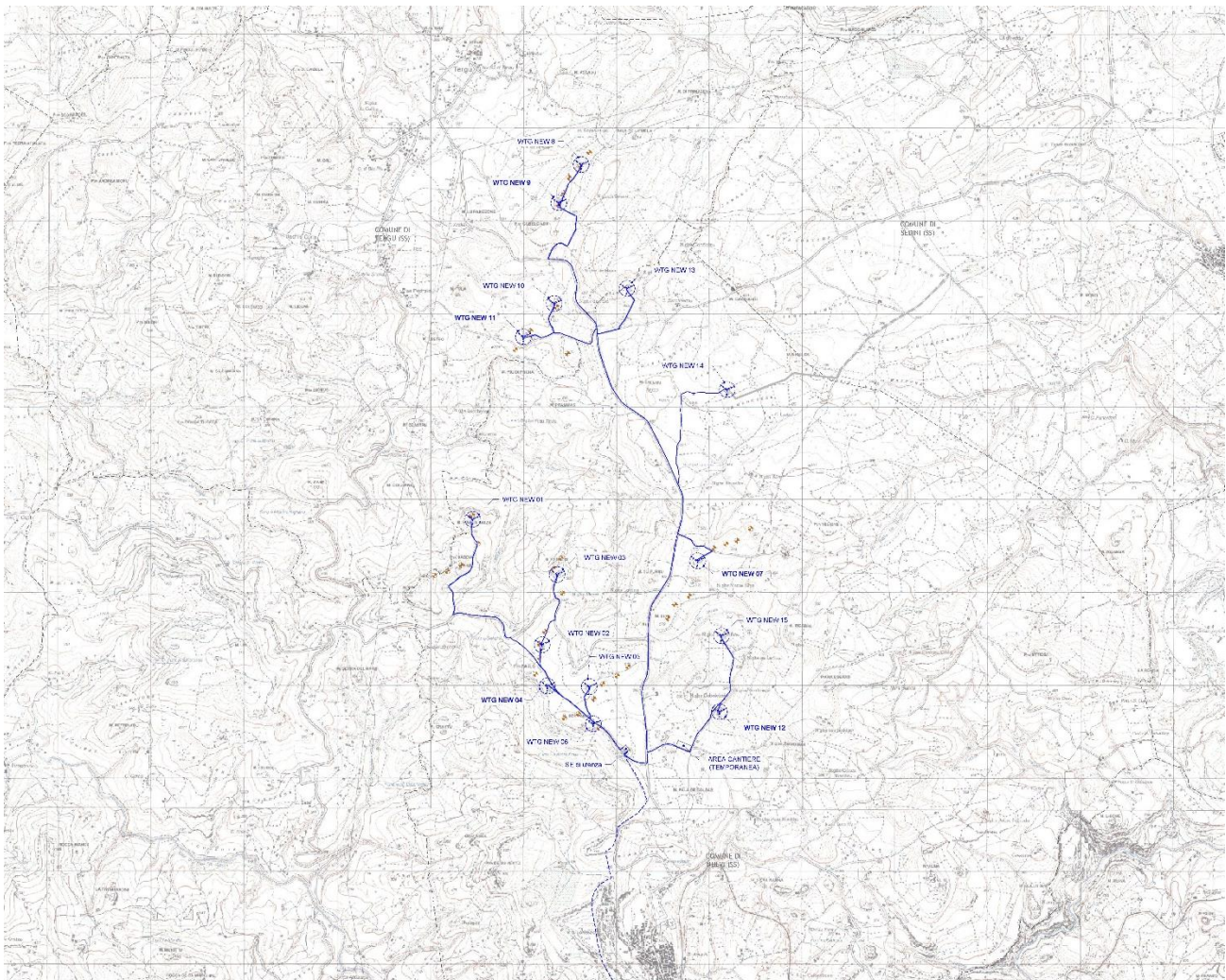
<sup>1</sup> La sottoscritta dichiara di essere in possesso dei requisiti di cui all’art. 25 c. 1 del D.Lgs. 50 del 18 aprile 2016 e di essere iscritta nell’elenco a suo tempo depositato presso il MiBACT, di cui al medesimo D.Lgs. 50/ 2016, art. 25, c. 2 e D.Lgs. n. 60/2009. con n. 1376 del 23/10/2010. Dichiara altresì di essere in possesso dei requisiti di archeologo di I fascia così come stabiliti dal D.M 244/2019, all. 2. Per la redazione del presente testo e dei relativi allegati si fa riferimento alla circolare esplicativa della Direzione Generale del MiBACT n. 1/2016 e allegati, in particolare allegato 3.

<sup>2</sup> La sottoscritta fra il 1996 e il 2001 ha condotto per il Comune di Nulvi un progetto di censimento dei beni archeologici, con indagini bibliografiche, d’archivio e sul campo, posizionamento delle evidenze, coordinamento di un cantiere di censimento della durata di 30 gg con approfondimento sul campo e censimento dell’area di S. Lorenzo e proposta di un itinerario di valorizzazione (risultati del progetto presentati nella Sala Comunale dall’allora Soprintendente dott.ssa Fulvia Lo Schiavo) cfr. G. Manca di Mores, *Nulvi (SS). 1. Indagine preliminare sui beni culturali del territorio. 2. “Progetto Irru”. Itinerari e proposte di valorizzazione*, in *“Bollettino di Archeologia del Ministero per i Beni Culturali e ambientali”*, pp. 43-45, 1997. Ha inoltre effettuato nel 2007 la sorveglianza archeologica sul campo per lo scavo dei cavidotti degli impianti del parco eolico Nulvi-Sedini-Bulzi (resp. Soprintendenza dott. G. Pitzalis). Si veda la raccolta bibliografica in coda alla presente relazione.

connessa all'esistente C.P. 150/20 kV di Enel Distribuzione Spa di Tergu. L'impianto eolico appena descritto è definito nel seguito "Impianto eolico esistente".

## 1.2 PROPOSTA PROGETTUALE

L'ammodernamento complessivo dell'impianto eolico esistente, oggetto della presente valutazione, consta nell'installazione di 15 aerogeneratori con diametro di 170,0 m, altezza massima pari a 203,00 m e potenza unitaria massima di 6,6 MW, per una potenza totale pari a 99 MW, da realizzare nel medesimo sito. Le opere connesse ed infrastrutture indispensabili saranno ubicate nei comuni di Tergu, Nulvi, Sedini, Chiamonti, Ploaghe e Codrongianos collegato alla Rete Elettrica Nazionale mediante connessione con uno stallo a 150 KV in antenna all'interno della Stazione elettrica 380/150KV RTN ricadente nel comune di Codrongianos (SS). Il repowering descritto è definito nel seguito "Progetto di ammodernamento".



Il Progetto di ammodernamento è realizzato nell'ambito dello stesso sito in cui è localizzato l'Impianto eolico esistente, autorizzato ed in esercizio, dove per stesso sito si fa riferimento alla definizione del comma 3-bis dell'art. 5 del D. Lgs. N. 28/2011.



Il Parco eolico (aerogeneratori, piazzole e viabilità d'accesso agli aerogeneratori) ricade nei Comuni di Tergu (SS) e Nulvi (SS), con opere connesse ed infrastrutture indispensabili nei comuni di Tergu (SS), Nulvi (SS), Sedini (SS), Chiaramonti (SS), Ploaghe (SS), e Codrongianos (SS), collegato alla Rete Elettrica Nazionale mediante connessione con uno stallo a 150 KV in antenna alla Stazione Elettrica di Trasformazione (SE) della RTN 380/150 kV di Codrongianos (SS).

Si riportano di seguito le coordinate in formato UTM (WGS84) del progetto di ammodernamento con i fogli e le particelle in cui ricade la fondazione degli aerogeneratori:

| AEROGENERATORE | COORDINATE AEROGENERATORE UTM (WGS84) - FUSO 32 |             | COORDINATE AEROGENERATORE GAUSS BOAGA - WEST |             | Identificativo catastale |        |            | Elevazione |
|----------------|---|-------------|--|-------------|--------------------------|--------|------------|------------|
|                | Long. E [m]                                     | Lat. N [m]  | Long. E [m]                                  | Lat. N [m]  | Comune                   | Foglio | Particella | Z [m]      |
| WTG NEW 01     | 476.380,0                                       | 4.519.595,0 | 1.476.409,6                                  | 4.519.603,4 | NULVI                    | 6      | 124        | 427,5      |
| WTG NEW 02     | 477.126,0                                       | 4.518.245,0 | 1.477.155,6                                  | 4.518.253,4 | NULVI                    | 10     | 136-143    | 571,0      |
| WTG NEW 03     | 477.287,0                                       | 4.519.001,0 | 1.477.316,6                                  | 4.519.009,4 | NULVI                    | 6      | 133        | 507,0      |
| WTG NEW 04     | 477.183,0                                       | 4.517.802,0 | 1.477.212,6                                  | 4.517.810,4 | NULVI                    | 14     | 128        | 580,0      |
| WTG NEW 05     | 477.634,0                                       | 4.517.795,0 | 1.477.663,6                                  | 4.517.803,4 | NULVI                    | 10     | 27         | 580,5      |
| WTG NEW 06     | 477.677,0                                       | 4.517.396,0 | 1.477.706,6                                  | 4.517.404,4 | NULVI                    | 14     | 133        | 600,5      |
| WTG NEW 07     | 478.800,0                                       | 4.519.148,0 | 1.478.829,6                                  | 4.519.156,4 | NULVI                    | 8      | 123        | 525,5      |
| WTG NEW 08     | 477.547,0                                       | 4.523.411,0 | 1.477.576,5                                  | 4.523.419,5 | TERGU                    | 2      | 256-308    | 390,5      |
| WTG NEW 09     | 477.305,0                                       | 4.523.002,0 | 1.477.334,5                                  | 4.523.010,5 | TERGU                    | 2      | 253-301    | 410,0      |
| WTG NEW 10     | 477.256,0                                       | 4.521.918,0 | 1.477.285,6                                  | 4.521.926,5 | TERGU                    | 4      | 124-186    | 399,5      |
| WTG NEW 11     | 476.926,0                                       | 4.521.559,0 | 1.476.955,6                                  | 4.521.567,5 | TERGU                    | 4      | 207        | 403,0      |
| WTG NEW 12     | 479.034,0                                       | 4.517.526,0 | 1.479.063,6                                  | 4.517.534,4 | NULVI                    | 11     | 244        | 544,5      |
| WTG NEW 13     | 478.039,0                                       | 4.522.080,0 | 1.478.068,6                                  | 4.522.088,5 | NULVI                    | 3      | 62         | 408,0      |
| WTG NEW 14     | 479.118,0                                       | 4.520.990,0 | 1.479.147,6                                  | 4.520.998,5 | NULVI                    | 5      | 14         | 462,0      |
| WTG NEW 15     | 479.056,0                                       | 4.518.341,0 | 1.479.085,6                                  | 4.518.349,4 | NULVI                    | 11     | 15-16      | 522,5      |

## 2. ASPETTI METODOLOGICI

L’intervento è stato condotto secondo quanto indicato nella circolare Mibact 1/2016 sia in relazione alle metodologie di indagine sia per quanto riguarda la produzione di elaborati e supporti, secondo quanto indicato nell’allegato 3. La documentazione bibliografica è stata raccolta e analizzata a partire dai repertori ottocenteschi sino alla bibliografia archeologica generale e specifica dalla seconda metà del Novecento e ai nostri giorni, come desumibile da quanto riportato in coda alla presente relazione.

Sono stati ampiamente consultati e utilizzati i dati dei siti ‘Vincoli in Rete’ e ‘Carta del Rischio’, curati dall’ISCR (Istituto Superiore Centrale Restauro) del MiC, insieme ad altri dati di carattere istituzionale, disponibili in rete, provenienti dal Piano Paesaggistico Regionale e in specifico i ‘Repertori del Mosaico’ e il “Sardegna Geoportale” della RAS, le schede di catalogo archeologico della RAS, le pubblicazioni – laddove e presenti o rintracciabili – dei Piani Urbanistici Comunali comprendenti i dati d’archivio, oltre a censimenti diretti sull’area effettuati precedentemente da chi scrive nel territorio di Nulvi. Non sono stati tralasciati, pur sottoponendoli alla necessaria verifica scientifica, alcuni lavori amatoriali locali, così come alcune attribuzioni e posizionamenti, disponibili in rete, in particolare da Wikimapia e Tharros-Info.

## 3. INQUADRAMENTO STORICO – CULTURALE DEL TERRITORIO

Il territorio di Nulvi e Tergu interessato dal presente progetto è particolarmente rappresentativo della più vasta area delineata dai buffer di 10 km profilati a partire dai 15 aerogeneratori, anche nelle sue diverse polarità: un forte ‘marchio’ nuragico in quello di Nulvi, un forte marchio medievale (con interessanti episodi di età romana) in quello di Tergu. Per cogliere al meglio tali specificità – che non escludono la presenza e il ruolo delle età storiche (a partire dai dati di età fenicia) nel bacino nulvese, e di converso una pregevole presenza nuragica in quello di Tergu, viene in soccorso il quadro territoriale prima indicato che comprende ampie fasce delle regioni storiche di Anglona, Logudoro e Romangia. Si tratta di un quadro di vastità e radicamento impressionanti, se pensiamo al numero dei 515 siti monumentali qui rilevato e cartografato.

La preistoria – mai come per queste fasi il termine è significativo – ha i notissimi e basilari episodi del Paleolitico, a partire dalle sue fasi più antiche, registrati nei territori di Perfugas e Laerru. A tempi precedenti alla comparsa dell’uomo sulla terra fanno riferimento le vicende mioceniche presupposte dalle foreste pietrificate sempre dell’Anglona, ancora a Perfugas e Laerru e nel sito di Carrucana a Martis.

Il popolamento neolitico ha una vasta documentazione, con le numerose necropoli che denunciano una crescente occupazione antropica del territorio: la diffusione delle *domus de janas* è ampia; si distingue, per quanto riguarda il sacro, anche un particolare santuario preistorico entro una delle diverse grotte anticamente abitate come a Sedini, nel santuario eneolitico della Grotta del Gatto.

Le tracce monumentali neo-eneolitiche, ritmate da grotte, *domus de janas*, *menhir* e fortificazioni megalitiche d’altura, sono seguite da un capillare radicamento nuragico che vede in centinaia di esemplari

monumentali (oltre trecento nelle aree 'buffer') i tipi dei nuraghi a corridoio e a 'tholos, le tombe di giganti, i villaggi e pregevoli complessi santuariali.

La documentazione fenicia e punica è indicata sia da materiali diretti (è il caso dei manufatti provenienti da siti nuragici come Irru di Nulvi, Predio Canopoli di Perfugas e Monte Cau a Sorso), sia nel fenomeno delle persistenze culturali, ben evidente nelle necropoli romane caratterizzate dalla presenza delle cosiddette 'stele a specchio'.

L'età romana ha caratteri di vasta e articolata presenza, con ville accompagnate da impianti termali, insediamenti, necropoli di varia tipologia, strade principali, approdi, stazioni, reticoli di strade secondarie interne. Notevoli centri si evidenziano lungo la fascia costiera fra Sorso e Valledoria, sino a S. Pietro a Mare. Nel centro di S. Filittica a Sorso si apprezza il passaggio dall'età romana a quella altomedievale, con un'interessante documentazione vandalica. E l'età medievale – inaugurata da pregevoli documenti 'alti' di età bizantina – si distingue per i centri ora scomparsi, con grandi elementi monumentali come i castelli e le chiese romaniche.

Le epoche che seguono la documentazione, vastissima, del Medio Evo, sono tracciate da elementi aragonesi e spagnoli come le torri costiere, sino a episodi del primo Novecento molto ben documentati nel territorio, sia in Anglona che in Romangia, come le 'vie' dei mulini ad acqua e diverse calcare.

## NULVI E TERGU

Come ogni territorio, quello di Nulvi è caratterizzato da aspetti specifici e da un posizionamento contestuale di tali aspetti entro un più ampio bacino che lo vede in comunicazione, attraverso la regione dell'Anglona, già Curatoria medievale, con fasce interne contermini come quelle del Meilogu e del Monte Acuto e aree vicine di pertinenza marina afferenti ai territori della Romangia e del Sassarese.

Il territorio nulvese, con l'emergenza del Monte S. Lorenzo che ne margina a Ovest l'abitato, è considerato sito montano, eppure ha le caratteristiche, sin dall'antichità, del popolamento diffuso del sito pedemontano e di pianura, con rilievi ondulati e ritmate emergenze. Tale impronta è particolarmente percepibile in età nuragica, con una fortissima occupazione territoriale; l'antropizzazione segue le risorse della terra, dell'acqua e della pietra, come ci insegnano quasi dall'altro capo della storia le vicende moderne di mulini idraulici e calcare, ben documentati. C'è da chiedersi se il più volte sottolineato isolamento nulvese dal resto dei succitati territori contermini non sia da attribuire anche a una sorta di autosufficienza delle risorse economiche magistralmente disegnata dal rapporto paesaggio-monumenti.

Questo rapporto suggerisce diverse identità che si precisano, ad esempio, nella dialettica nuraghe-territorio e chiese-territorio, sino ad esprimersi in maniera evidente nei ceti sociali, legati a lavoro agricolo e pastorale, presupposti dalla tradizione dei Candelieri; significative le realtà pluristratificate, evidenti sia per topografia che per documentazione materiale nel caso di siti nuragici sui quali insistono luoghi di culto posteriori come in località S. Lussorio, Santo Spirito, Monte Alma, o nel sito di Irru, dove si documenta la continuità sino ad età bizantina. Ogni 'rimando' identitario non può che essere letto dinamicamente: si pensi ancora alle traiettorie storiche che si susseguono lungo il Monte S. Lorenzo.

L'importanza delle fasi archeologiche documentate nel territorio di Nulvi e la densità dei monumenti è molto significativa. Nota agli studiosi, apparve nel pur pionieristico censimento di fine anni novanta del Novecento che ne diede per la prima volta un quadro organico: emerse da subito la straordinaria densità dei monumenti di età nuragica, ribadita anche nel recente *Corpus dei monumenti della Sardegna nuragica* dove vengono indicati 88 nuraghi, con una densità di 1,30 emergenze per kmq: abbiamo la presenza di eccellenze monumentali ormai note, come il nuraghe Alvu, polilobato di raffinata architettura e bicromia, e il tempio a pozzo di Irru, di pregevole tecnica costruttiva.

È necessario porre attenzione al fatto che la ricchezza del patrimonio monumentale del territorio non si limita soltanto alla preistoria e al mondo nuragico, ma documenta con episodi significativi, in linea più generale, anche epoche successive, dalle inedite testimonianze puniche a quelle, diffuse in modo forse sottostimato ma evidente, romane, sino alla documentazione di alto e basso medioevo.

Particolare il profilo storico-archeologico di Tergu: attorno all'antico centro emerge la mirabile chiesa romanica di Nostra Signora, giustamente celebre per la bella architettura e il ricco e ricercato patrimonio decorativo.

Ricerche in atto dall'Ottocento e ancora da sviluppare appieno mostrano l'esistenza di un'antropizzazione di alto profilo culturale, che sembra potersi desumere dai manufatti noti (si vedano ad esempio i bronzi rinvenuti nell'area a nord della chiesa di Nostra Signora, in regione Li Monti) o da impianti nuragici di grande pregio come appaiono, ad esempio, i nuraghi de Mesu e de Fora, attorno ai quali si dispongono impianti di villaggio e tombe di giganti.

Il territorio si rivolge, pur non raggiungendola, alla fascia costiera. Le realtà di età romana e le persistenze puniche appaiono nelle necropoli e nella già citata documentazione delle stele funerarie. Il medioevo, in grado di generare una chiesa romanica di altissimo livello, è segnato nella memoria da centri scomparsi come Bualis, nel vasto e movimentato compendio paesaggistico di Monte S'Abbe, ma soprattutto da patrimoni materiali e immateriali come la tradizione di Lunissanti, fra Tergu e Castelsardo, con i suoi celebri riti e misteri dal fortissimo valore segnico e musicale.



## 4. I DATI D'ARCHIVIO

La ricognizione della documentazione disponibile presso l'archivio della Soprintendenza Archeologia, Belle Arti e Paesaggio per le province di Sassari e Nuoro è stata effettuata in data 19/09/2022.<sup>3</sup>

La prevalenza dei dati riguarda autorizzazioni per lavori privati di miglioramento fondiario e volumi di edilizia rurale, impianti di linee ENEL, richieste per il posizionamento di aerogeneratori e autorizzazioni per lavori di ricerca mineraria e di cava, con relative prescrizioni e osservazioni.

Per quanto riguarda le aree legate al tracciato di cavidotto e allocazione del parco eolico, non sono emerse informazioni in grado di modificare o integrare nella sostanza le letture svolte attraverso l'analisi delle altre fonti e operate direttamente tramite *survey*.

Dal territorio di Nulvi segnaliamo la notizia del Censimento archeologico operato da chi scrive alla fine degli anni Novanta del Novecento (lettera trasmessa dal Comune in data 4 febbraio 1998, Prot. N. 708 e archiviata dalla Soprintendenza Archeologica di Sassari e Nuoro in data 6 febbraio 1998, Prot. N. 1195). L'unico dato in qualche modo collegabile al parco eolico riguarda il nuraghe Cobelciada, a poco più di m 300 NW da UR10-WTG 12, con notizia di scavi clandestini e asportazione di materiali di età nuragica e romana (MBCA, Ufficio Centrale per i beni ambientali, architettonici, archeologici, artistici e storici, Div. IV Sez. III, 09/09/1994, Prot. 10958, JUM2).

In linea generale, appaiono interessanti le attestazioni, poco a SW dell'abitato, di tombe di età romana.

Per quanto riguarda Tergu, il dato più prossimo al tracciato – in ogni caso assai distante, poco meno di km 2 a W di UR14-WTG 09 - è quello relativo al nuraghe Riu Riu, con notizie di danneggiamenti (denuncia della Soprintendenza Archeologica di Sassari e Nuoro in data 22 ottobre 1988, Prot. N. 6918-Tergu, e relativo dossier complessivo).

Per il quadro generale, di rilievo le notizie relative alle note necropoli romane con stele 'a specchio' e la richiesta di verifica di interesse culturale ai sensi dell'art. I, D. Lgs. 42/2004, con avvio di procedimento *ex lege* 241/1990 per il complesso archeologico di Monte Elias, con impianto di età nuragica e, alle pendici, necropoli romana di tradizione punica con stele a specchio (Soprintendenza Archeologia, Belle Arti e Paesaggio per le province di Sassari e Nuoro, 08/05/2017 Prot. N. 7228).

---

<sup>3</sup> I materiali consultabili sono contenuti all'interno di decine di faldoni riguardanti i comuni interessati dal parco eolico (Nulvi e Tergu) e nella raccolta digitale dell'ultimo decennio. Si ringrazia il dott. Antonio Cosseddu per l'efficace supporto organizzativo e le preziose indicazioni.

## 5. MAPPATURA DI AREA VASTA DELLE EVIDENZE DEL TERRITORIO - Buffer 10 km da ogni WTG (elaborato 224308\_D\_D\_0402)

Comuni di: Bulzi, Castelsardo, Chiaramonti, Laerru, Martis, Nulvi, Osilo, Perfugas\*, Ploaghe, Santa Maria Coghinas, Sedini, Sennori, Sorso, Tergu, Valledoria.

| Comune | Nome monumento/ sito                                     | Cronologia                                 | Coordinate                            | Carta del Rischio |
|--------|--|--|---------------------------------------|-------------------|
| BULZI  | Chiesa di San Nicola                                     | Età medievale                              | 8.865398166684626,40.86444163207576,0 |                   |
| BULZI  | Insedimento medievale scomparso di Flumen (areale vasto) | Età medievale                              | 8.852652491551108,40.83591786774902,0 |                   |
| BULZI  | Insedimento romano di Monti Maltu                        | Età romana                                 | 8.829981999999999,40.841752,0         |                   |
| BULZI  | Necropoli a domus de janus S'Arede                       | Età Neo-Eneolitica                         | 8.866854643010772,40.86226132489044,0 | sì                |
| BULZI  | Nuraghe  | Età del Bronzo Medio-Età del Bronzo Finale | 8.866701000000001,40.853795,0         |                   |
| BULZI  | Nuraghe  | Età del Bronzo Medio-Età del Bronzo Finale | 8.828657,40.856906,0                  |                   |
| BULZI  | Nuraghe Badde Ozzastru                                   | Età del Bronzo Medio-Età del Bronzo Finale | 8.851784045710108,40.84015786552722,0 |                   |
| BULZI  | Nuraghe Bonaggiunta                                      | Età del Bronzo Medio-Età del Bronzo Finale | 8.853462150710005,40.8455317888232,0  |                   |
| BULZI  | Nuraghe Bonora   | Età del Bronzo Medio-Età del Bronzo Finale | 8.853910000000001,40.85735,0          | sì                |
| BULZI  | Nuraghe Bulzesu  | Età del Bronzo Medio-Età del Bronzo Finale | 8.867599999999999,40.84837,0          |                   |
| BULZI  | Nuraghe Cultu  | Età del Bronzo Medio-Età del Bronzo Finale | 8.860329999999999,40.85904,0          |                   |

|             |                                 |  |                                       |    |
|-------------|---------------------------------|--|---------------------------------------|----|
| BULZI       | Nuraghe Figone                  | Età del Bronzo Medio-Età del Bronzo Finale | 8.86739,40.85856,0                    |    |
| BULZI       | Nuraghe Malosa                  | Età del Bronzo Medio-Età del Bronzo Finale | 8.84919,40.8427,0                     |    |
| BULZI       | Nuraghe Manos d'Oro             | Età del Bronzo Medio-Età del Bronzo Finale | 8.844659999999999,40.84775,0          |    |
| BULZI       | Muraglia di Pedru Longu         | Età del Bronzo Medio-Età del Bronzo Finale | 8.866654,40.841804,0                  |    |
| BULZI       | Nuraghe Muros                   | Età del Bronzo Medio-Età del Bronzo Finale | 8.850709999999999,40.85299,0          |    |
| BULZI       | Nuraghe Nuragheddu              | Età del Bronzo Medio-Età del Bronzo Finale | 8.831910000000001,40.85702,0          |    |
| BULZI       | Nuraghe Rodas                   | Età del Bronzo Medio-Età del Bronzo Finale | 8.853680000000001,40.83793,0          | si |
| BULZI       | Nuraghe S'Arede                 | Età del Bronzo Medio-Età del Bronzo Finale | 8.86515,40.8634,0                     |    |
| BULZI       | Nuraghe sa Casazza              | Età del Bronzo Medio-Età del Bronzo Finale | 8.84948,40.87094,0                    |    |
| BULZI       | Nuraghe Sarula                  | Età del Bronzo Medio-Età del Bronzo Finale | 8.863300141674584,40.84732094360221,0 |    |
| BULZI       | Nuraghe Sas Ladas               | Età del Bronzo Medio-Età del Bronzo Finale | 8.863602977629498,40.83830397002176,0 |    |
| BULZI       | Nuraghe sas Saraos              | Età del Bronzo Medio-Età del Bronzo Finale | 8.819900000000001,40.8675,0           |    |
| BULZI       | Vasche di Monti Maltu           | Età non definita                           | 8.825746000000001,40.84484,0          |    |
| CASTELSARDO | Area di frammenti di età romana | Età romana                                 | 8.738046546984798,40.91571942483338,0 |    |
| CASTELSARDO | Castello                        | Età medievale                              | 8.712653,40.91549,0                   |    |
| CASTELSARDO | Chiesa dello Spirito Santo      | Età medievale                              | 8.734596,40.898346,0                  |    |

|             |   |                    |                                       |    |
|-------------|---|--------------------|---------------------------------------|----|
| CASTELSARDO | Chiesa di S. Maria di Salasgiu                            | Età medievale      | 8.767754999999999,40.880996,0         |    |
| CASTELSARDO | Chiesa S. Giovanni Battista                               | Età medievale      | 8.759337207897273,40.88233435648904,0 |    |
| CASTELSARDO | Domus de janas dell'Elefante                              | Età Neo-Eneolitica | 8.74624107498234,40.88961626482619,0  | si |
| CASTELSARDO | Domus de janas Monte La Rodda                             | Età Neo-Eneolitica | 8.694681947023073,40.89611494057598,0 |    |
| CASTELSARDO | Domus de janas Rocca Bianca                               | Età Neo-Eneolitica | 8.797509,40.889649,0                  |    |
| CASTELSARDO | Domus de janas Scala Coperta                              | Età Neo-Eneolitica | 8.740172702474904,40.89071494203382,0 |    |
| CASTELSARDO | Insedimento medievale scomparso di Ficus (areale vasto)   | Età medievale      | 8.776212531007491,40.89542439443543,0 |    |
| CASTELSARDO | Insedimento medievale scomparso di Frisanu (areale vasto) | Età medievale      | 8.711028282077153,40.90817590601601,0 |    |
| CASTELSARDO | Insedimento medievale scomparso di Murtetu (areale vasto) | Età medievale      | 8.743434665351774,40.89360624142493,0 |    |
| CASTELSARDO | Iscrizione tempio Iside                                   |                    | 8.63307148141481,40.8781693921652,0   |    |
| CASTELSARDO | Menhir nuraghe Multeddu                                   | Età Neo-Eneolitica | 8.742119317786427,40.89278515910041,0 |    |
| CASTELSARDO | Muraglia megalitica di Monte Ossoni                       | Età Eneolitica     | 8.766851131265481,40.90651304112513,0 | si |

|             |                                    |  |                                       |    |
|-------------|------------------------------------|--|---------------------------------------|----|
| CASTELSARDO | Muraglia nuragica Cala Ostina      | Età del Bronzo Medio-Età del Bronzo Finale | 8.73846,40.91353,0                    |    |
| CASTELSARDO | Muraglia nuragica di Punta Spinosa | Età del Bronzo Medio-Età del Bronzo Finale | 8.787121495712263,40.88269806581858,0 |    |
| CASTELSARDO | Necropoli di Su Romasinu           | Età romana                                 | 8.633406000000001,40.87796,0          |    |
| CASTELSARDO | Necropoli e stele                  | Età romana                                 | 8.63677,40.880705,0                   |    |
| CASTELSARDO | Nuraghe                            | Età del Bronzo Medio-Età del Bronzo Finale | 8.739511,40.913437,0                  |    |
| CASTELSARDO | Nuraghe                            | Età del Bronzo Medio-Età del Bronzo Finale | 8.705125000000001,40.888272,0         |    |
| CASTELSARDO | Nuraghe                            | Età del Bronzo Medio-Età del Bronzo Finale | 8.745291999999999,40.889137,0         |    |
| CASTELSARDO | Nuraghe                            | Età del Bronzo Medio-Età del Bronzo Finale | 8.738905549997018,40.88597411031972,0 |    |
| CASTELSARDO | Nuraghe                            | Età del Bronzo Medio-Età del Bronzo Finale | 8.738905549997018,40.88597411031972,0 |    |
| CASTELSARDO | Nuraghe                            | Età del Bronzo Medio-Età del Bronzo Finale | 8.738905549997018,40.88597411031972,0 |    |
| CASTELSARDO | Nuraghe Araodda                    | Età del Bronzo Medio-Età del Bronzo Finale | 8.657870000000001,40.87372,0          |    |
| CASTELSARDO | Nuraghe Bagialoggia                | Età del Bronzo Medio-Età del Bronzo Finale | 8.70171,40.90677,0                    | sì |
| CASTELSARDO | Nuraghe Baragliolu                 | Età del Bronzo Medio-Età del Bronzo Finale | 8.68629,40.89247,0                    | sì |
| CASTELSARDO | Nuraghe Calcinaggiu                | Età del Bronzo Medio-Età del Bronzo Finale | 8.73232,40.89622,0                    |    |
| CASTELSARDO | Nuraghe Campo Moro                 | Età del Bronzo Medio-Età del Bronzo Finale | 8.764041961250054,40.88922024040623,0 |    |
| CASTELSARDO | Nuraghe Campulandru                | Età del Bronzo Medio-Età del Bronzo        | 8.741429999999999,40.91401,0          |    |



|             |                         | Finale   |                                       |    |
|-------------|-------------------------|--|---------------------------------------|----|
| CASTELSARDO | Nuraghe Conca d'Azzona  | Età del Bronzo<br>Medio-Età del Bronzo<br>Finale | 8.78281,40.88296,0                    |    |
| CASTELSARDO | Nuraghe Cuncali         | Età del Bronzo<br>Medio-Età del Bronzo<br>Finale | 8.77262,40.90441,0                    |    |
| CASTELSARDO | Nuraghe Franzesu        | Età del Bronzo<br>Medio-Età del Bronzo<br>Finale | 8.721244392513444,40.89555484802698,0 | sì |
| CASTELSARDO | Nuraghe Gambalancia     | Età del Bronzo<br>Medio-Età del Bronzo<br>Finale | 8.66511,40.8789,0                     |    |
| CASTELSARDO | Nuraghe L'Eba Salida    | Età del Bronzo<br>Medio-Età del Bronzo<br>Finale | 8.70942,40.89175,0                    |    |
| CASTELSARDO | Nuraghe La Turracula    | Età del Bronzo<br>Medio-Età del Bronzo<br>Finale | 8.681900000000001,40.89496,0          |    |
| CASTELSARDO | Nuraghe Leni            | Età del Bronzo<br>Medio-Età del Bronzo<br>Finale | 8.76634,40.89469,0                    |    |
| CASTELSARDO | Nuraghe li Colti        | Età del Bronzo<br>Medio-Età del Bronzo<br>Finale | 8.758763638651194,40.89871355723392,0 | sì |
| CASTELSARDO | Nuraghe Lorenzoni       | Età del Bronzo<br>Medio-Età del Bronzo<br>Finale | 8.778040000000001,40.88212,0          |    |
| CASTELSARDO | Nuraghe Lu Ligu         | Età del Bronzo<br>Medio-Età del Bronzo<br>Finale | 8.699999999999999,40.88327,0          |    |
| CASTELSARDO | Nuraghe Lu Padru        | Età del Bronzo<br>Medio-Età del Bronzo<br>Finale | 8.701370000000001,40.89601,0          |    |
| CASTELSARDO | Nuraghe Manzoni         | Età del Bronzo<br>Medio-Età del Bronzo<br>Finale | 8.67961,40.88882,0                    |    |
| CASTELSARDO | Nuraghe Monte Carraggiu | Età del Bronzo<br>Medio-Età del Bronzo<br>Finale | 8.7727018479621,40.89904006420106,0   |    |
| CASTELSARDO | Nuraghe Monte La Rodda  | Età del Bronzo<br>Medio-Età del Bronzo<br>Finale | 8.693927,40.897461,0                  |    |

|             |                               |  |                                       |    |
|-------------|-------------------------------|--|---------------------------------------|----|
| CASTELSARDO | Nuraghe Monte La Rodda II     | Età del Bronzo Medio-Età del Bronzo Finale | 8.69852,40.89716,0                    |    |
| CASTELSARDO | Nuraghe Monte Oschiri         | Età del Bronzo Medio-Età del Bronzo Finale | 8.67306,40.89136,0                    |    |
| CASTELSARDO | Nuraghe Monti Arignu          | Età del Bronzo Medio-Età del Bronzo Finale | 8.7802000000000001,40.8891,0          |    |
| CASTELSARDO | Nuraghe Multeddu              | Età del Bronzo Medio-Età del Bronzo Finale | 8.7420500000000001,40.89285,0         |    |
| CASTELSARDO | Nuraghe Paddaggiu             | Età del Bronzo Medio-Età del Bronzo Finale | 8.755179999999999,40.89316,0          | sì |
| CASTELSARDO | Nuraghe Pedra Sciolta         | Età del Bronzo Medio-Età del Bronzo Finale | 8.7397500000000001,40.88776,0         |    |
| CASTELSARDO | Nuraghe Piana Muddeggju       | Età del Bronzo Medio-Età del Bronzo Finale | 8.7659800000000001,40.88384,0         |    |
| CASTELSARDO | Nuraghe Pischinaccia          | Età del Bronzo Medio-Età del Bronzo Finale | 8.76085,40.9129,0                     |    |
| CASTELSARDO | Nuraghe Prima Guardia         | Età del Bronzo Medio-Età del Bronzo Finale | 8.7638200000000001,40.9154,0          |    |
| CASTELSARDO | Nuraghe Punta di Lu Baroni    | Età del Bronzo Medio-Età del Bronzo Finale | 8.77571542800559,40.9073221419587,0   |    |
| CASTELSARDO | Nuraghe Rocca Bianca          | Età del Bronzo Medio-Età del Bronzo Finale | 8.79569,40.89018,0                    |    |
| CASTELSARDO | Nuraghe Schina di San Giorgio | Età del Bronzo Medio-Età del Bronzo Finale | 8.789099999999999,40.88759,0          |    |
| CASTELSARDO | Nuraghe Scorraoes             | Età del Bronzo Medio-Età del Bronzo Finale | 8.666485,40.865649,0                  |    |
| CASTELSARDO | Nuraghe Spighia               | Età del Bronzo Medio-Età del Bronzo Finale | 8.710139507471681,40.90718929495951,0 |    |
| CASTELSARDO | Nuraghe su Tesoro             | Età del Bronzo Medio-Età del Bronzo Finale | 8.75367,40.89885,0                    |    |

|             |   |  |                                       |    |
|-------------|---|--|---------------------------------------|----|
| CASTELSARDO | Nuraghe Tinteri                         | Età del Bronzo<br>Medio-Età del Bronzo<br>Finale | 8.75948,40.90098,0                    |    |
| CASTELSARDO | Nuraghe Viuledda                        | Età del Bronzo<br>Medio-Età del Bronzo<br>Finale | 8.73258,40.91043,0                    |    |
| CASTELSARDO | NuragheTovaru                           | Età del Bronzo<br>Medio-Età del Bronzo<br>Finale | 8.70003,40.88512,0                    |    |
| CASTELSARDO | Protonuraghe Fugoni                     | Età del Bronzo<br>Antico-Età del Bronzo<br>Medio | 8.72297000366072,40.88447561700713,0  |    |
| CASTELSARDO | Strada romana (tratto)                  | Età romana                                       | 8.736177073055115,40.91275766511029,0 |    |
| CASTELSARDO | Strada romana (tratto)                  | Età romana                                       | 8.737603188374852,40.91598266894272,0 |    |
| CASTELSARDO | Strada romana (tratto)                  | Età romana                                       | 8.739265812288338,40.91601591491197,0 |    |
| CASTELSARDO | Strutture murarie età romana            | Età romana                                       | 8.737895891071313,40.91580702861425,0 |    |
| CASTELSARDO | Terme romane di Lu Bagnu                | Età romana                                       | 8.689166666666667,40.90305555555555,0 | si |
| CASTELSARDO | Torre del Frigiano                      | Età spagnola                                     | 8.703414239523923,40.91401167651489,0 |    |
| CHIARAMONTI | Area dispersione materiali di Badu Olta | Età romana                                       | 8.791395486510138,40.74798370690871,0 |    |
| CHIARAMONTI | Chiesa di S. Maria Maddalena            | Età medievale                                    | 8.789165291413582,40.74437935567603,0 |    |
| CHIARAMONTI | Chiesa S. Giusta di Nuraghe Longu       | Età medievale                                    | 8.856573756859467,40.77369171574147,0 |    |
| CHIARAMONTI | Chiesa S. Pietro di Paules              | Età medievale                                    | 8.835652442486923,40.75403073458817,0 |    |

|             |   |  |                                       |    |
|-------------|---|--|---------------------------------------|----|
| CHIARAMONTI | Chiesa scomparsa di Monte Sistu                                     | Età medievale                              | 8.833978298761734,40.75914534449215,0 |    |
| CHIARAMONTI | Chiesa scomparsa di S. Caterina                                     | Età medievale                              | 8.827961696688858,40.75326659824733,0 |    |
| CHIARAMONTI | Chiesa scomparsa di S. Nicola                                       | Età medievale                              | 8.787848362006976,40.74455618863131,0 |    |
| CHIARAMONTI | Chiesa scomparsa di San Giuliano                                    | Età medievale                              | 8.829484063121573,40.75109469327708,0 |    |
| CHIARAMONTI | Domus de janas di Bellimpiattu                                      | Età Neo-Eneolitica                         | 8.770600175079895,40.74279075362339,0 |    |
| CHIARAMONTI | Domus de janas Orria Pitzinna (Peruchi)                             | Età Neo-Eneolitica                         | 8.790582544648951,40.74621599339265,0 | si |
| CHIARAMONTI | Insedimento medievale scomparso di Hostiani de Monte (areale vasto) | Età medievale                              | 8.829068792502621,40.75279482712362,0 |    |
| CHIARAMONTI | Insedimento medievale scomparso di Orria Pitzinna (areale vasto)    | Età medievale                              | 8.78940729400103,40.74594601869483,0  |    |
| CHIARAMONTI | Menhir  | Età Neo-Eneolitica                         | 8.789175894032983,40.7416955369496,0  |    |
| CHIARAMONTI | Menhir Tumba de su Re   | Età Neo-Eneolitica                         | 8.803680630080294,40.74087058130985,0 |    |
| CHIARAMONTI | Mulino ad acqua Badu Olta   | Età moderna                                | 8.79096528026701,40.74924028146804,0  |    |
| CHIARAMONTI | Mulino Mela   | Età moderna                                | 8.790987016395766,40.75030601308829,0 |    |
| CHIARAMONTI | Mulino Peruchi  | Età moderna                                | 8.790848785276975,40.74714430256638,0 |    |
| CHIARAMONTI | Nuraghe Attalzu   | Età del Bronzo Medio-Età del Bronzo Finale | 8.84234,40.7643,0                     |    |

|             |                               |  |                              |    |
|-------------|-------------------------------|--|------------------------------|----|
| CHIARAMONTI | Nuraghe Badde Cheia           | Età del Bronzo<br>Medio-Età del Bronzo<br>Finale | 8.79264,40.748,0             | si |
| CHIARAMONTI | Nuraghe Bellimpiattu          | Età del Bronzo<br>Medio-Età del Bronzo<br>Finale | 8.770379999999999,40.74224,0 |    |
| CHIARAMONTI | Nuraghe Bulvaris              | Età del Bronzo<br>Medio-Età del Bronzo<br>Finale | 8.811730000000001,40.74663,0 |    |
| CHIARAMONTI | Nuraghe Concas                | Età del Bronzo<br>Medio-Età del Bronzo<br>Finale | 8.831340000000001,40.74209,0 |    |
| CHIARAMONTI | Nuraghe Ederas                | Età del Bronzo<br>Medio-Età del Bronzo<br>Finale | 8.80382,40.74558,0           |    |
| CHIARAMONTI | Nuraghe Funtana Salza         | Età del Bronzo<br>Medio-Età del Bronzo<br>Finale | 8.8588,40.77223,0            |    |
| CHIARAMONTI | Nuraghe Furros                | Età del Bronzo<br>Medio-Età del Bronzo<br>Finale | 8.84606,40.76155,0           |    |
| CHIARAMONTI | Nuraghe Giaganne Dominigu I   | Età del Bronzo<br>Medio-Età del Bronzo<br>Finale | 8.79904,40.7335,0            |    |
| CHIARAMONTI | Nuraghe Giaganne Dominigu II  | Età del Bronzo<br>Medio-Età del Bronzo<br>Finale | 8.800420000000001,40.73282,0 |    |
| CHIARAMONTI | Nuraghe Giaganne Dominigu III | Età del Bronzo<br>Medio-Età del Bronzo<br>Finale | 8.798870000000001,40.73061,0 |    |
| CHIARAMONTI | Nuraghe Iscaneddu             | Età del Bronzo<br>Medio-Età del Bronzo<br>Finale | 8.794790000000001,40.73919,0 |    |
| CHIARAMONTI | Nuraghe Longu                 | Età del Bronzo<br>Medio-Età del Bronzo<br>Finale | 8.85595,40.77314,0           |    |
| CHIARAMONTI | Nuraghe Monte Culumba         | Età del Bronzo<br>Medio-Età del Bronzo<br>Finale | 8.78533,40.75093,0           |    |
| CHIARAMONTI | Nuraghe Monte Pertusu         | Età del Bronzo<br>Medio-Età del Bronzo<br>Finale | 8.7735,40.74683,0            |    |
| CHIARAMONTI | Nuraghe Paules                | Età del Bronzo<br>Medio-Età del Bronzo<br>Finale | 8.836589999999999,40.75499,0 |    |



|             |                              |  |                              |    |
|-------------|------------------------------|--|------------------------------|----|
| CHIARAMONTI | Nuraghe Peddiu I             | Età del Bronzo<br>Medio-Età del Bronzo<br>Finale | 8.851039999999999,40.77019,0 |    |
| CHIARAMONTI | Nuraghe Peddiu II            | Età del Bronzo<br>Medio-Età del Bronzo<br>Finale | 8.853400000000001,40.7681,0  |    |
| CHIARAMONTI | Nuraghe Pedra Ulvine         | Età del Bronzo<br>Medio-Età del Bronzo<br>Finale | 8.765129999999999,40.73677,0 |    |
| CHIARAMONTI | Nuraghe Pedru Giosso         | Età del Bronzo<br>Medio-Età del Bronzo<br>Finale | 8.824210000000001,40.73875,0 | sì |
| CHIARAMONTI | Nuraghe Pianu de Chessas     | Età del Bronzo<br>Medio-Età del Bronzo<br>Finale | 8.77567,40.73646,0           |    |
| CHIARAMONTI | Nuraghe Pisciu Accas         | Età del Bronzo<br>Medio-Età del Bronzo<br>Finale | 8.851050000000001,40.76041,0 |    |
| CHIARAMONTI | Nuraghe Ruggiu               | Età del Bronzo<br>Medio-Età del Bronzo<br>Finale | 8.84558,40.75401,0           | sì |
| CHIARAMONTI | Nuraghe sa Leriga            | Età del Bronzo<br>Medio-Età del Bronzo<br>Finale | 8.832459999999999,40.76293,0 |    |
| CHIARAMONTI | Nuraghe sa Midda Manna       | Età del Bronzo<br>Medio-Età del Bronzo<br>Finale | 8.797029999999999,40.72668,0 |    |
| CHIARAMONTI | Nuraghe sa Tanca de sa Cheja | Età del Bronzo<br>Medio-Età del Bronzo<br>Finale | 8.783899999999999,40.72772,0 |    |
| CHIARAMONTI | Nuraghe sa Tanca de su Re    | Età del Bronzo<br>Medio-Età del Bronzo<br>Finale | 8.80217,40.74171,0           |    |
| CHIARAMONTI | Nuraghe Santa Caderina       | Età del Bronzo<br>Medio-Età del Bronzo<br>Finale | 8.827640000000001,40.75427,0 |    |
| CHIARAMONTI | Nuraghe Sanu e capanne       | Età del Bronzo<br>Medio-Età del Bronzo<br>Finale | 8.85289,40.77251,0           |    |
| CHIARAMONTI | Nuraghe sas Calpidas I       | Età del Bronzo<br>Medio-Età del Bronzo<br>Finale | 8.79313,40.73251,0           |    |
| CHIARAMONTI | Nuraghe sas Calpidas II      | Età del Bronzo<br>Medio-Età del Bronzo<br>Finale | 8.794230000000001,40.73043,0 |    |

|             |  |  |                                       |    |
|-------------|--|--|---------------------------------------|----|
| CHIARAMONTI | Nuraghe sas Codinas  | Età del Bronzo<br>Medio-Età del Bronzo<br>Finale | 8.7850300000000001,40.73566,0         |    |
| CHIARAMONTI | Nuraghe Sas Giolvas  | Età del Bronzo<br>Medio-Età del Bronzo<br>Finale | 8.8292300000000001,40.75951,0         |    |
| CHIARAMONTI | Nuraghe sos Terrelas I                                     | Età del Bronzo<br>Medio-Età del Bronzo<br>Finale | 8.84849,40.75802,0                    |    |
| CHIARAMONTI | Nuraghe sos Terrelas II                                    | Età del Bronzo<br>Medio-Età del Bronzo<br>Finale | 8.84389,40.75899,0                    |    |
| CHIARAMONTI | Nuraghe sos Terrelas III                                   | Età del Bronzo<br>Medio-Età del Bronzo<br>Finale | 8.8456600000000001,40.75697,0         |    |
| CHIARAMONTI | Nuraghe Tiriales   | Età del Bronzo<br>Medio-Età del Bronzo<br>Finale | 8.85304,40.76306,0                    |    |
| CHIARAMONTI | Ruderi convento  | Età medievale                                    | 8.815121492850475,40.76169255430209,0 |    |
| CHIARAMONTI | Tomba di giganti Giaganne Dominigu                         | Età del Bronzo<br>Medio-Età del Bronzo<br>Finale | 8.8016299999999999,40.73298,0         |    |
| LAERRU      | Area funeraria altomedievale                               | Età altomedievale                                | 8.845288290426282,40.8258125492783,0  |    |
| LAERRU      | Fonte nuragica di Monte Ultana                             | Età del Bronzo<br>Medio-Età del Bronzo<br>Finale | 8.8466299999999999,40.82611,0         | sì |
| LAERRU      | Grotta di Su Coloru  | Età Eneolitica                                   | 8.812472228699859,40.81605853994793,0 | sì |
| LAERRU      | Insedimento eneolitico di Monte Ultana                     | Età Eneolitica                                   | 8.846866128202418,40.82610417102284,0 | sì |
| LAERRU      | Insedimento medievale scomparso di Gavazana (areale vasto) | Età medievale                                    | 8.853053923562959,40.8153677340479,0  |    |

|        |  |  |                                       |    |
|--------|--|--|---------------------------------------|----|
| LAERRU | Necropoli a domus de janas di Monte Ultana | Età Neo-Eneolitica                         | 8.844150361174197,40.82743117396615,0 | sì |
| LAERRU | Nuraghe                                    | Età del Bronzo Medio-Età del Bronzo Finale | 8.825977999999999,40.825973,0         |    |
| LAERRU | Nuraghe                                    | Età del Bronzo Medio-Età del Bronzo Finale | 8.808636999999999,40.82457431377065,0 |    |
| LAERRU | Nuraghe                                    | Età del Bronzo Medio-Età del Bronzo Finale | 8.829447,40.819544,0                  |    |
| LAERRU | Nuraghe a corridoio Monte Ultana           | Età del Bronzo Antico-Età del Bronzo Medio | 8.84714,40.8271,0                     | sì |
| LAERRU | Nuraghe Columbas                           | Età del Bronzo Medio-Età del Bronzo Finale | 8.83042,40.82479,0                    |    |
| LAERRU | Nuraghe Concula                            | Età del Bronzo Medio-Età del Bronzo Finale | 8.807919999999999,40.8135,0           |    |
| LAERRU | Nuraghe Cossu                              | Età del Bronzo Medio-Età del Bronzo Finale | 8.82504,40.8067,0                     |    |
| LAERRU | Nuraghe Cultu                              | Età del Bronzo Medio-Età del Bronzo Finale | 8.82793,40.8089,0                     |    |
| LAERRU | Nuraghe Giannas II                         | Età del Bronzo Medio-Età del Bronzo Finale | 8.8063,40.82222,0                     |    |
| LAERRU | Nuraghe Montiju de Rundine                 | Età del Bronzo Medio-Età del Bronzo Finale | 8.859080000000001,40.81123,0          |    |
| LAERRU | Nuraghe Montiju de Rundines                | Età del Bronzo Medio-Età del Bronzo Finale | 8.815812498127114,40.82195014390683,0 |    |
| LAERRU | Nuraghe Pazza                              | Età del Bronzo Medio-Età del Bronzo Finale | 8.817830000000001,40.80593,0          | sì |
| LAERRU | Nuraghe sa Rocca                           | Età del Bronzo Medio-Età del Bronzo Finale | 8.824260000000001,40.81967,0          |    |

|        |  |  |                                       |    |
|--------|--|--|---------------------------------------|----|
| LAERRU | Nuraghe Sant'Antonio   | Età del Bronzo<br>Medio-Età del Bronzo<br>Finale | 8.835800000000001,40.81397,0          | si |
| LAERRU | Nuraghe Tanca Manna  | Età del Bronzo<br>Medio-Età del Bronzo<br>Finale | 8.82123,40.81362,0                    |    |
| LAERRU | Nuraghe Tiu Moro   | Età del Bronzo<br>Medio-Età del Bronzo<br>Finale | 8.835080686152367,40.82006655997905,0 | si |
| LAERRU | Tombe di giganti Bopitos                                       | Età del Bronzo<br>Medio-Età del Bronzo<br>Finale | 8.84427,40.82369,0                    | si |
| MARTIS | Area romana con epigrafe di Sa Balza                           | Età romana                                       | 8.797863226524479,40.77242766492876,0 |    |
| MARTIS | Chiesa di S. Leonardo  | Età medievale                                    | 8.823886,40.799417,0                  |    |
| MARTIS | Chiesa di S. Pantaleo  | Età medievale                                    | 8.813324939415896,40.77618318892964,0 |    |
| MARTIS | Chiesa di Sant'Artolu  | Età medievale                                    | 8.840082082697318,40.79341251537684,0 |    |
| MARTIS | Chiesa di Santu Miali  | Età medievale                                    | 8.821404523972234,40.77450570702774,0 |    |
| MARTIS | Chiesa Sa Grascia  | Età medievale                                    | 8.823548787510383,40.78992502577967,0 |    |
| MARTIS | Complesso nuragico Monte Rughe (Giannaghes)                    | Età del Bronzo<br>Medio-Età del Bronzo<br>Finale | 8.82447,40.79444,0                    |    |
| MARTIS | Complesso nuragico Monte Ruinas                                | Età del Bronzo<br>Medio-Età del Bronzo<br>Finale | 8.801539999999999,40.7931,0           |    |
| MARTIS | Foresta pietrificata di Carrucana                              | Età miocenica                                    | 8.822018022195577,40.77707531582525,0 | si |
| MARTIS | Insedimento medievale scomparso di Billitennero (areale vasto) | Età medievale                                    | 8.815399365227464,40.77316258652404,0 |    |
| MARTIS | Monte Seine  | Età non definita                                 | 8.813598353098691,40.78821957545403,0 |    |

|        |                         |  |                                       |    |
|--------|-------------------------|--|---------------------------------------|----|
| MARTIS | Mulino<br>Triulintas    | Età moderna                                      | 8.789532854092034,40.78445785077697,0 |    |
| MARTIS | Nuraghe                 | Età del Bronzo<br>Medio-Età del Bronzo<br>Finale | 8.878876,40.790416,0                  |    |
| MARTIS | Nuraghe                 | Età del Bronzo<br>Medio-Età del Bronzo<br>Finale | 8.799269000000001,40.790215,0         |    |
| MARTIS | Nuraghe                 | Età del Bronzo<br>Medio-Età del Bronzo<br>Finale | 8.799666322103544,40.79577112370323,0 |    |
| MARTIS | Nuraghe                 | Età del Bronzo<br>Medio-Età del Bronzo<br>Finale | 8.821220591598841,40.77990214525302,0 |    |
| MARTIS | Nuraghe<br>Murrone      | Età del Bronzo<br>Medio-Età del Bronzo<br>Finale | 8.874853,40.783701,0                  |    |
| MARTIS | Nuraghe<br>Bolentari    | Età del Bronzo<br>Medio-Età del Bronzo<br>Finale | 8.79457,40.78948,0                    |    |
| MARTIS | Nuraghe<br>Columbara    | Età del Bronzo<br>Medio-Età del Bronzo<br>Finale | 8.85807,40.7897,0                     |    |
| MARTIS | Nuraghe<br>Monte Franco | Età del Bronzo<br>Medio-Età del Bronzo<br>Finale | 8.81363,40.78232,0                    | si |
| MARTIS | Nuraghe<br>Monte Lidone | Età del Bronzo<br>Medio-Età del Bronzo<br>Finale | 8.80176,40.79758,0                    |    |
| MARTIS | Nuraghe<br>Pasciarzu    | Età del Bronzo<br>Medio-Età del Bronzo<br>Finale | 8.791700000000001,40.78409,0          |    |
| MARTIS | Nuraghe<br>Paulusedda   | Età del Bronzo<br>Medio-Età del Bronzo<br>Finale | 8.868453000000001,40.783883,0         |    |
| MARTIS | Nuraghe<br>Sant'Artolu  | Età del Bronzo<br>Medio-Età del Bronzo<br>Finale | 8.84038,40.79342,0                    |    |
| MARTIS | Nuraghe<br>Spinalva 1   | Età del Bronzo<br>Medio-Età del Bronzo<br>Finale | 8.881589622463181,40.79827507244637,0 |    |
| MARTIS | Nuraghe<br>Spinalva 2   | Età del Bronzo<br>Medio-Età del Bronzo<br>Finale | 8.877760376763874,40.79704401269245,0 |    |



|        |                               |  |                                       |    |
|--------|-------------------------------|--|---------------------------------------|----|
| MARTIS | Nuraghe Su Monte de Sas Molas | Età del Bronzo Medio-Età del Bronzo Finale | 8.789260000000001,40.78182,0          | sì |
| MARTIS | Tomba di Monte Aldu           | Età romana                                 | 8.816269097739413,40.78524491441001,0 |    |
| NULVI  | Chiesa di Monte Alma          | Età postmedievale                          | 8.779278528878461,40.79161541612795,0 |    |
| NULVI  | Chiesa di S. Antonio          | Età medievale                              | 8.753058250716759,40.7818897888499,0  |    |
| NULVI  | Chiesa di S. Elena            | Età medievale                              | 8.756585483200949,40.79417414362583,0 |    |
| NULVI  | Chiesa di S. Giuliano         | Età medievale                              | 8.763791513867623,40.78443831428195,0 |    |
| NULVI  | Chiesa di S. Lucia            | Età medievale                              | 8.791964714026342,40.76518193964826,0 |    |
| NULVI  | Chiesa di S. Lussorio         | Età medievale                              | 8.754390478821632,40.79072297449624,0 |    |
| NULVI  | Chiesa di S. Michele          | Età medievale                              | 8.713956553392981,40.81425148234273,0 |    |
| NULVI  | Chiesa di Santa Vittoria      | Età medievale                              | 8.756867449514068,40.79138665057331,0 |    |
| NULVI  | Chiesa rupestre S. Michele    | Età altomedievale                          | 8.738478891038714,40.7827882816828,0  |    |
| NULVI  | Chiesa S. Gavino              | Età medievale                              | 8.714133934145988,40.81586600371109,0 |    |
| NULVI  | Chiesa San Nicola di Orria    | Età medievale                              | 8.776454900666995,40.76439101658602,0 |    |
| NULVI  | Chiesa Spirito Santo          | Età medievale                              | 8.766354511045014,40.78704218403796,0 |    |
| NULVI  | Chiesa SS. Salvatore          | Età medievale                              | 8.747532418943003,40.784649588136,0   |    |
| NULVI  | Complesso nuragico            | Età del Bronzo Medio-Età del Bronzo Finale | 8.754927745644803,40.81633100293994,0 |    |
| NULVI  | Domus de janas di Ladina      | Età Neo-Eneolitica                         | 8.744394444444444,40.819875,0         |    |

|       |  |  |                                       |
|-------|--|--|---------------------------------------|
| NULVI | Insedimento medievale scomparso Villafranca d'Eri (areale vasto) | Età medievale                                    | 8.713668621770935,40.81540066263145,0 |
| NULVI | Mulino Baddu Preideru  | Età moderna                                      | 8.724747179898591,40.75684499119972,0 |
| NULVI | Mulino Capece 1  | Età moderna                                      | 8.723000333853296,40.75755413888837,0 |
| NULVI | Mulino Capece 2  | Età moderna                                      | 8.72793504994547,40.75673110742362,0  |
| NULVI | Mulino Eiva Frissa   | Età moderna                                      | 8.730879848095977,40.75418057059831,0 |
| NULVI | Muraglia di Monte Eri  | Età Eneolitica                                   | 8.713764635738992,40.8152969930297,0  |
| NULVI | Necropoli a domus de janus di Orria                              | Età Neo-Eneolitica                               | 8.777213451519785,40.76625864672992,0 |
| NULVI | Necropoli Monte S. Lorenzo                                       | Età Neo-Eneolitica-<br>Età altomedievale         | 8.738515108550724,40.77882160984832,0 |
| NULVI | Nuraghe  | Età del Bronzo<br>Medio-Età del Bronzo<br>Finale | 8.759260436662004,40.82988965558097,0 |
| NULVI | Nuraghe  | Età del Bronzo<br>Medio-Età del Bronzo<br>Finale | 8.755564364533509,40.83673026248672,0 |
| NULVI | Nuraghe  | Età del Bronzo<br>Medio-Età del Bronzo<br>Finale | 8.750973275615628,40.83398569379589,0 |
| NULVI | Nuraghe (Su Paladinu?)   | Età del Bronzo<br>Medio-Età del Bronzo<br>Finale | 8.744450000000001,40.8251,0           |
| NULVI | Nuraghe Alvu   | Età del Bronzo<br>Medio-Età del Bronzo<br>Finale | 8.75641165768247,40.83075007008848,0  |
| NULVI | Nuraghe Antonuzzu  | Età del Bronzo<br>Medio-Età del Bronzo<br>Finale | 8.757340305496143,40.80528914061166,0 |
| NULVI | Nuraghe Ara  | Età del Bronzo<br>Medio-Età del Bronzo<br>Finale | 8.74987,40.75618,0                    |

|       |                        |  |                                       |    |
|-------|------------------------|--|---------------------------------------|----|
| NULVI | Nuraghe Badde Tuvudda  | Età del Bronzo<br>Medio-Età del Bronzo<br>Finale | 8.791359999999999,40.82388,0          |    |
| NULVI | Nuraghe Baldosa        | Età del Bronzo<br>Medio-Età del Bronzo<br>Finale | 8.762269999999999,40.76219,0          |    |
| NULVI | Nuraghe Barraghe       | Età del Bronzo<br>Medio-Età del Bronzo<br>Finale | 8.763640000000001,40.75095,0          |    |
| NULVI | Nuraghe Boinalzu       | Età del Bronzo<br>Medio-Età del Bronzo<br>Finale | 8.752592929913289,40.83116913873796,0 | si |
| NULVI | Nuraghe Bolentari      | Età del Bronzo<br>Medio-Età del Bronzo<br>Finale | 8.79457,40.78948,0                    |    |
| NULVI | Nuraghe Bovu Intro     | Età del Bronzo<br>Medio-Età del Bronzo<br>Finale | 8.761398178982493,40.83746698363019,0 |    |
| NULVI | Nuraghe Calchinada     | Età del Bronzo<br>Medio-Età del Bronzo<br>Finale | 8.75755,40.78966,0                    |    |
| NULVI | Nuraghe Campo Maggiore | Età del Bronzo<br>Medio-Età del Bronzo<br>Finale | 8.752392122396724,40.80328774236519,0 |    |
| NULVI | Nuraghe Cantaru Giolzi | Età del Bronzo<br>Medio-Età del Bronzo<br>Finale | 8.779977033101034,40.81470339435143,0 |    |
| NULVI | Nuraghe Chirispada     | Età del Bronzo<br>Medio-Età del Bronzo<br>Finale | 8.75446,40.74653,0                    | si |
| NULVI | Nuraghe Cobelciada     | Età del Bronzo<br>Medio-Età del Bronzo<br>Finale | 8.74717405137061,40.81000579816367,0  |    |
| NULVI | Nuraghe Colondras      | Età del Bronzo<br>Medio-Età del Bronzo<br>Finale | 8.760809999999999,40.78252,0          |    |
| NULVI | Nuraghe Columbos       | Età del Bronzo<br>Medio-Età del Bronzo<br>Finale | 8.749051033618432,40.81532492252892,0 |    |
| NULVI | Nuraghe Conca Niedda   | Età del Bronzo<br>Medio-Età del Bronzo<br>Finale | 8.765068285085084,40.80244942844003,0 |    |
| NULVI | Nuraghe De Leo         | Età del Bronzo<br>Medio-Età del Bronzo<br>Finale | 8.72034,40.77273,0                    |    |

|       |                               |  |                                       |    |
|-------|-------------------------------|--|---------------------------------------|----|
| NULVI | Nuraghe de S'Arza             | Età del Bronzo<br>Medio-Età del Bronzo<br>Finale | 8.748366308628579,40.83649340430215,0 |    |
| NULVI | Nuraghe Don Giuannantoni      | Età del Bronzo<br>Medio-Età del Bronzo<br>Finale | 8.758444294023644,40.81470536576607,0 |    |
| NULVI | Nuraghe Elighe                | Età del Bronzo<br>Medio-Età del Bronzo<br>Finale | 8.766415865169355,40.82631321093554,0 |    |
| NULVI | Nuraghe Elighe 'Entosu        | Età del Bronzo<br>Medio-Età del Bronzo<br>Finale | 8.748139999999999,40.82111,0          |    |
| NULVI | Nuraghe a corridoio Ena Longa | Età del Bronzo<br>Antico-Età del Bronzo<br>Medio | 8.753017435614149,40.81049590604551,0 |    |
| NULVI | Nuraghe Figu Pinta            | Età del Bronzo<br>Medio-Età del Bronzo<br>Finale | 8.72541,40.83658,0                    |    |
| NULVI | Nuraghe Fraile                | Età del Bronzo<br>Medio-Età del Bronzo<br>Finale | 8.754323176538266,40.83416075274673,0 |    |
| NULVI | Nuraghe Funtana Arghentu      | Età del Bronzo<br>Medio-Età del Bronzo<br>Finale | 8.75793,40.76121,0                    |    |
| NULVI | Nuraghe Funtana Loda          | Età del Bronzo<br>Medio-Età del Bronzo<br>Finale | 8.747301938698085,40.83254536112819,0 |    |
| NULVI | Nuraghe Furcadittos           | Età del Bronzo<br>Medio-Età del Bronzo<br>Finale | 8.75154,40.74159,0                    |    |
| NULVI | Nuraghe Gavineddu             | Età del Bronzo<br>Medio-Età del Bronzo<br>Finale | 8.754136973676934,40.79628282887501,0 |    |
| NULVI | Nuraghe Giuanne Elias 1       | Età del Bronzo<br>Medio-Età del Bronzo<br>Finale | 8.745569614908323,40.84203649281471,0 |    |
| NULVI | Nuraghe Giuanne Elias 2       | Età del Bronzo<br>Medio-Età del Bronzo<br>Finale | 8.744216886527168,40.84097328255113,0 |    |
| NULVI | Nuraghe Irru                  | Età del Bronzo<br>Medio-Età del Bronzo<br>Finale | 8.76155,40.7772,0                     | sì |
| NULVI | Nuraghe Ispada                | Età del Bronzo<br>Medio-Età del Bronzo<br>Finale | 8.76235,40.79148,0                    | sì |

|       |                                     |  |                                       |    |
|-------|-------------------------------------|--|---------------------------------------|----|
| NULVI | Nuraghe Isterridolzu                | Età del Bronzo Medio-Età del Bronzo Finale | 8.75307677925818,40.75127090943056,0  | sì |
| NULVI | Nuraghe Ladina                      | Età del Bronzo Medio-Età del Bronzo Finale | 8.739476656862145,40.81976291414146,0 |    |
| NULVI | Nuraghe Ledda                       | Età del Bronzo Medio-Età del Bronzo Finale | 8.757167110221236,40.83754580010519,0 |    |
| NULVI | Nuraghe Mariarmicu                  | Età del Bronzo Medio-Età del Bronzo Finale | 8.75425496496004,40.73568471591671,0  | sì |
| NULVI | Nuraghe Monte Acciso Fiore          | Età del Bronzo Medio-Età del Bronzo Finale | 8.727004876542408,40.78988569821875,0 |    |
| NULVI | Nuraghe Monte Alma                  | Età del Bronzo Medio-Età del Bronzo Finale | 8.778370000000001,40.79297,0          |    |
| NULVI | Nuraghe Monte de Mesu (Mura Bianca) | Età del Bronzo Medio-Età del Bronzo Finale | 8.774122162081541,40.81044005820828,0 |    |
| NULVI | Nuraghe Monte Don Giolzi            | Età del Bronzo Medio-Età del Bronzo Finale | 8.72461,40.75896,0                    |    |
| NULVI | Nuraghe Monte Elva 1                | Età del Bronzo Medio-Età del Bronzo Finale | 8.743590599450654,40.81689841534897,0 |    |
| NULVI | Nuraghe Monte Elva 2 / villaggio    | Età del Bronzo Medio-Età del Bronzo Finale | 8.75110824063294,40.82009488160494,0  |    |
| NULVI | Nuraghe Monte Entosu                | Età del Bronzo Medio-Età del Bronzo Finale | 8.744052273434022,40.83869099174035,0 |    |
| NULVI | Nuraghe Monte Giannas               | Età del Bronzo Medio-Età del Bronzo Finale | 8.80457,40.82012,0                    |    |
| NULVI | Nuraghe Monte Iscarpa               | Età del Bronzo Medio-Età del Bronzo Finale | 8.761607442305852,40.81546866016869,0 |    |
| NULVI | Nuraghe Monte Iscoba                | Età del Bronzo Medio-Età del Bronzo Finale | 8.740309999999999,40.75788,0          |    |

|       |                            |  |                                       |    |
|-------|----------------------------|--|---------------------------------------|----|
| NULVI | Nuraghe Monte Lidone       | Età del Bronzo Medio-Età del Bronzo Finale | 8.80176,40.79758,0                    |    |
| NULVI | Nuraghe Monte Rosas        | Età del Bronzo Medio-Età del Bronzo Finale | 8.77333,40.75513,0                    |    |
| NULVI | Nuraghe Monte S. Lorenzo 1 | Età del Bronzo Medio-Età del Bronzo Finale | 8.738030373411036,40.78271547908494,0 |    |
| NULVI | Nuraghe Monte su Furrù     | Età del Bronzo Medio-Età del Bronzo Finale | 8.74272,40.82114,0                    |    |
| NULVI | Nuraghe Muros              | Età del Bronzo Medio-Età del Bronzo Finale | 8.732186982667768,40.81899851739656,0 |    |
| NULVI | Nuraghe Orcu               | Età del Bronzo Medio-Età del Bronzo Finale | 8.793369999999999,40.81032,0          |    |
| NULVI | Nuraghe Orria I            | Età del Bronzo Medio-Età del Bronzo Finale | 8.775359999999999,40.76638,0          | sì |
| NULVI | Nuraghe Orria II           | Età del Bronzo Medio-Età del Bronzo Finale | 8.778977871070431,40.76728813934731,0 |    |
| NULVI | Nuraghe Padronu            | Età del Bronzo Medio-Età del Bronzo Finale | 8.734870000000001,40.7734,0           |    |
| NULVI | Nuraghe Pala de Pontina    | Età del Bronzo Medio-Età del Bronzo Finale | 8.71815,40.78824,0                    |    |
| NULVI | Nuraghe Pedra Fulcada      | Età del Bronzo Medio-Età del Bronzo Finale | 8.785130000000001,40.79821,0          |    |
| NULVI | Nuraghe Pedra Ulpu         | Età del Bronzo Medio-Età del Bronzo Finale | 8.740044413872376,40.81101692692091,0 |    |
| NULVI | Nuraghe Pedrosedda         | Età del Bronzo Medio-Età del Bronzo Finale | 8.770759999999999,40.78551,0          | sì |
| NULVI | Nuraghe Pedrosu            | Età del Bronzo Medio-Età del Bronzo Finale | 8.734959999999999,40.79508,0          |    |
| NULVI | Nuraghe Piantasi           | Età del Bronzo Medio-Età del Bronzo Finale | 8.755130276014357,40.84087648685448,0 |    |

|       |                                      |  |                                       |    |
|-------|--------------------------------------|--|---------------------------------------|----|
| NULVI | Nuraghe Pianu Ederas                 | Età del Bronzo<br>Medio-Età del Bronzo<br>Finale | 8.764884063794957,40.81098013190282,0 |    |
| NULVI | Nuraghe Pittone                      | Età del Bronzo<br>Medio-Età del Bronzo<br>Finale | 8.793620000000001,40.80108,0          |    |
| NULVI | Nuraghe Preideru Matteu              | Età del Bronzo<br>Medio-Età del Bronzo<br>Finale | 8.76459,40.74319,0                    |    |
| NULVI | Nuraghe Puju Nieddu                  | Età del Bronzo<br>Medio-Età del Bronzo<br>Finale | 8.755989090567427,40.7987280758614,0  |    |
| NULVI | Nuraghe Ruspina I                    | Età del Bronzo<br>Medio-Età del Bronzo<br>Finale | 8.774926920192897,40.81438736384807,0 |    |
| NULVI | Nuraghe Ruspina II                   | Età del Bronzo<br>Medio-Età del Bronzo<br>Finale | 8.772803925061414,40.81476343912448,0 |    |
| NULVI | Nuraghe s'Abba 'la                   | Età del Bronzo<br>Medio-Età del Bronzo<br>Finale | 8.765269999999999,40.76055,0          |    |
| NULVI | Nuraghe S'Adde de sa Chessa          | Età del Bronzo<br>Medio-Età del Bronzo<br>Finale | 8.771100000000001,40.84036,0          |    |
| NULVI | Nuraghe S'Aspru                      | Età del Bronzo<br>Medio-Età del Bronzo<br>Finale | 8.764390842569902,40.82974385095661,0 |    |
| NULVI | Nuraghe S'Ena Manna                  | Età del Bronzo<br>Medio-Età del Bronzo<br>Finale | 8.756871247807887,40.79151560592106,0 |    |
| NULVI | Nuraghe Sa Marchesa II               | Età del Bronzo<br>Medio-Età del Bronzo<br>Finale | 8.757420583181597,40.80252350741998,0 |    |
| NULVI | Nuraghe Sa Mattisuja (Sa Marchesa I) | Età del Bronzo<br>Medio-Età del Bronzo<br>Finale | 8.75769,40.79954,0                    |    |
| NULVI | Nuraghe Saltu de Fenosa              | Età del Bronzo<br>Medio-Età del Bronzo<br>Finale | 8.765090000000001,40.74135,0          |    |
| NULVI | Nuraghe San Lussorio                 | Età del Bronzo<br>Medio-Età del Bronzo<br>Finale | 8.754530000000001,40.79047,0          | sì |
| NULVI | Nuraghe San Nicola                   | Età del Bronzo<br>Medio-Età del Bronzo<br>Finale | 8.78514,40.77246,0                    |    |



|       |   |  |                                       |    |
|-------|---|--|---------------------------------------|----|
| NULVI | Nuraghe Santa Barbara                             | Età del Bronzo<br>Medio-Età del Bronzo<br>Finale | 8.7738,40.78414,0                     |    |
| NULVI | Nuraghe Santu Biglianu                            | Età del Bronzo<br>Medio-Età del Bronzo<br>Finale | 8.76004,40.78709,0                    |    |
| NULVI | Nuraghe Sas Seddas                                | Età del Bronzo<br>Medio-Età del Bronzo<br>Finale | 8.763240230101372,40.80645448968571,0 |    |
| NULVI | Nuraghe Spirito Santo                             | Età del Bronzo<br>Medio-Età del Bronzo<br>Finale | 8.766590000000001,40.78713,0          |    |
| NULVI | Nuraghe Su Aldosu                                 | Età del Bronzo<br>Medio-Età del Bronzo<br>Finale | 8.761139999999999,40.8316,0           |    |
| NULVI | Nuraghe Su Caschinalzu                            | Età del Bronzo<br>Medio-Età del Bronzo<br>Finale | 8.746960902780268,40.79628183794942,0 |    |
| NULVI | Nuraghe Su Crabione                               | Età del Bronzo<br>Medio-Età del Bronzo<br>Finale | 8.735542950610586,40.8279156666324,0  |    |
| NULVI | Nuraghe Su Gastaldu                               | Età del Bronzo<br>Medio-Età del Bronzo<br>Finale | 8.779511310683311,40.7828742638329,0  | si |
| NULVI | Nuraghe Su Ludosu                                 | Età del Bronzo<br>Medio-Età del Bronzo<br>Finale | 8.754405860134225,40.81338159663225,0 |    |
| NULVI | Nuraghe Terri Ruju                                | Età del Bronzo<br>Medio-Età del Bronzo<br>Finale | 8.764752598572874,40.79784542076366,0 |    |
| NULVI | Nuraghe Tetile                                    | Età del Bronzo<br>Medio-Età del Bronzo<br>Finale | 8.7562,40.774,0                       |    |
| NULVI | Pozzo nuragico (?)                                | Età del Bronzo<br>Medio-Età del Bronzo<br>Finale | 8.755413586612727,40.7972674733624,0  | si |
| NULVI | Tempio a pozzo Irru                               | Età del Bronzo<br>Medio-Età del Bronzo<br>Finale | 8.76027,40.77804,0                    |    |
| NULVI | Tomba a prospetto architettonico Monte S. Lorenzo | Età del Bronzo<br>Medio-Età del Bronzo<br>Finale | 8.735841666666666,40.78390555555556,0 |    |
| NULVI | Tomba di giganti Orcu                             | Età del Bronzo<br>Medio-Età del Bronzo           | 8.79346,40.81027,0                    |    |

|       |  | Finale   |                                       |  |
|-------|--|--|---------------------------------------|--|
| NULVI | Tomba di giganti Orria                 | Età del Bronzo<br>Medio-Età del Bronzo<br>Finale | 8.7769874130041,40.76695291145784,0   |  |
| NULVI | Tombe altomedievali area S. Lorenzo    | Età altomedievale                                | 8.736363395950008,40.78171279563007,0 |  |
| NULVI | Tombe romane Nuraghe Alvu              | Età romana                                       | 8.756073247265933,40.83078055869414,0 |  |
| NULVI | Tratti selciati area Chiesa S. Antonio | Età romana-età moderna                           | 8.752740415304331,40.78157953042093,0 |  |
| NULVI | Tratti selciati area S. Lussorio       | Età romana-età moderna                           | 8.754828986042627,40.79119159389769,0 |  |
| OSILO | Area dispersione materiali età romana  | Età romana                                       | 8.665862180565753,40.75634601338014,0 |  |
| OSILO | Area dispersione materiali età romana  | Età romana                                       | 8.679136361509528,40.75407020905567,0 |  |
| OSILO | Area dispersione materiali neolitici   | Età Neo-Eneolitica                               | 8.640207029212721,40.75548843435445,0 |  |
| OSILO | Capanna nuragica di Cannalza           | Età del Bronzo<br>Medio-Età del Bronzo<br>Finale | 8.636305163058424,40.75649577948271,0 |  |
| OSILO | Chiesa di S. Caterina                  | Età medievale                                    | 8.638657768283515,40.76028040068483,0 |  |
| OSILO | Chiesa di S. Giorgio                   | Età medievale                                    | 8.678299765256973,40.7543058411155,0  |  |
| OSILO | Chiesa di S. Leonardo di Sassalu       | Età medievale                                    | 8.682496492349935,40.77892973593274,0 |  |
| OSILO | Chiesa di S. Marco                     | Età medievale                                    | 8.677806219361681,40.75482699296057,0 |  |

|       |   |  |                                       |    |
|-------|---|--|---------------------------------------|----|
| OSILO | Chiesa di S. Pietro di Sassalu                            | Età medievale                              | 8.680460433830312,40.77801608672694,0 |    |
| OSILO | Chiesa di S. Salvatore                                    | Età medievale                              | 8.665061792627327,40.75651490696696,0 |    |
| OSILO | Chiesa S. Ilario di Sassalu                               | Età medievale                              | 8.678446373880874,40.77816286572435,0 |    |
| OSILO | Chiesa S. Maria de Sassalu                                | Età medievale                              | 8.681543793772148,40.7764948443903,0  |    |
| OSILO | Complesso archeologico Monte Crasta                       | Età del Bronzo Medio-Età del Bronzo Finale | 8.640755560070376,40.75573576550671,0 | sì |
| OSILO | Insedimento medievale scomparso di Iscalas (aerale vasto) | Età medievale                              | 8.641266966707574,40.75100475166405,0 |    |
| OSILO | Insedimento medievale scomparso di Montes (areale vasto)  | Età medievale                              | 8.671861981304865,40.82498067448169,0 |    |
| OSILO | Mulini di Osilo   | Età storica                                | 8.657815285081025,40.7940464640488,0  |    |
| OSILO | Necropoli a domus de janus di Ittiri                      | Età Neo-Eneolitica - Età del Bronzo Antico | 8.658609697619436,40.76249322526599,0 | sì |
| OSILO | Necropoli a domus de janus di Sos Laccheddos              | Età Neo-Eneolitica                         | 8.648057626645116,40.74956132045888,0 |    |
| OSILO | Nuraghe Badu de Samude                                    | Età del Bronzo Medio-Età del Bronzo Finale | 8.707319999999999,40.74379,0          | sì |
| OSILO | Nuraghe Barunalzu   | Età del Bronzo Medio-Età del Bronzo Finale | 8.65436,40.78045,0                    |    |
| OSILO | Nuraghe Calvarida   | Età del Bronzo Medio-Età del Bronzo Finale | 8.717892405088739,40.74952702351884,0 | sì |

|       |                             |  |                                       |    |
|-------|-----------------------------|--|---------------------------------------|----|
| OSILO | Nuraghe Cantarocheddu       | Età del Bronzo<br>Medio-Età del Bronzo<br>Finale | 8.712009999999999,40.73994,0          | sì |
| OSILO | Nuraghe Cobeltu             | Età del Bronzo<br>Medio-Età del Bronzo<br>Finale | 8.719799999999999,40.72517,0          |    |
| OSILO | Nuraghe Conca Omine         | Età del Bronzo<br>Medio-Età del Bronzo<br>Finale | 8.658429999999999,40.78548,0          |    |
| OSILO | Nuraghe Fritta              | Età del Bronzo<br>Medio-Età del Bronzo<br>Finale | 8.676393685305758,40.75283634949406,0 |    |
| OSILO | Nuraghe Nieddosu            | Età del Bronzo<br>Medio-Età del Bronzo<br>Finale | 8.72261,40.72549,0                    |    |
| OSILO | Nuraghe Panedda             | Età del Bronzo<br>Medio-Età del Bronzo<br>Finale | 8.695333779794032,40.77785702846349,0 |    |
| OSILO | Nuraghe s'Anzonile          | Età del Bronzo<br>Medio-Età del Bronzo<br>Finale | 8.72113,40.73661,0                    | sì |
| OSILO | Nuraghe S. Caterina         | Età del Bronzo<br>Medio-Età del Bronzo<br>Finale | 8.638414190222754,40.76034196596652,0 |    |
| OSILO | Nuraghe S. Marco            | Età del Bronzo<br>Medio-Età del Bronzo<br>Finale | 8.677704997064158,40.75477391776663,0 |    |
| OSILO | Nuraghe sa Pala de su Cossu | Età del Bronzo<br>Medio-Età del Bronzo<br>Finale | 8.70945,40.74041,0                    | sì |
| OSILO | Nuraghe sa Pudda I          | Età del Bronzo<br>Medio-Età del Bronzo<br>Finale | 8.71091,40.76072,0                    |    |
| OSILO | Nuraghe sa Pudda II         | Età del Bronzo<br>Medio-Età del Bronzo<br>Finale | 8.71284,40.75956,0                    |    |
| OSILO | Nuraghe Tau                 | Età del Bronzo<br>Medio-Età del Bronzo<br>Finale | 8.7355,40.73586,0                     |    |
| OSILO | Nuraghe Tomarittu           | Età del Bronzo<br>Medio-Età del Bronzo<br>Finale | 8.70553,40.74624,0                    |    |

|                      |  |  |                                       |    |
|----------------------|--|--|---------------------------------------|----|
| OSILO                | Tomba dei giganti Santu Pedru de Su Littu (Cannalza) | Età del Bronzo Medio-Età del Bronzo Finale | 8.636296581963769,40.75765027887988,0 | sì |
| OSILO                | Tomba di giganti loc. Baiu                           | Età del Bronzo Medio-Età del Bronzo Finale | 8.665940913541153,40.82496623367495,0 |    |
| PLOAGHE              | Nuraghe a corridoio Cantaru Mannu o Caprianu         | Età del Bronzo Antico-Età del Bronzo Medio | 8.771929999999999,40.72371,0          |    |
| PLOAGHE              | Nuraghe Cugurra                                      | Età del Bronzo Medio-Età del Bronzo Finale | 8.739240000000001,40.72664,0          |    |
| PLOAGHE              | Nuraghe Malettori                                    | Età del Bronzo Medio-Età del Bronzo Finale | 8.75131,40.7374,0                     | sì |
| PLOAGHE              | Nuraghe Mandra Comida                                | Età del Bronzo Medio-Età del Bronzo Finale | 8.761229999999999,40.71872,0          |    |
| PLOAGHE              | Nuraghe Tau  | Età del Bronzo Medio-Età del Bronzo Finale | 8.735884172118052,40.73575351784964,0 | sì |
| SANTA MARIA COGHINAS | Nuraghe Monte Biddanoa                               | Età del Bronzo Medio-Età del Bronzo Finale | 8.849983848655722,40.87678478804729,0 |    |
| SANTA MARIA COGHINAS | Nuraghe Pedru Malu II                                | Età del Bronzo Medio-Età del Bronzo Finale | 8.838402548677877,40.89244484589499,0 |    |
| SANTA MARIA COGHINAS | Nuraghe Seazzu                                       | Età del Bronzo Medio-Età del Bronzo Finale | 8.84614528264879,40.88680071928025,0  |    |
| SEDINI               | Cave preistoriche Lu Sarraghinu                      | Età preistorica                            | 8.810575999999999,40.873372,0         |    |
| SEDINI               | Chiesa dell'Annunziata                               | Età medievale                              | 8.820665626433099,40.83770300601042,0 |    |
| SEDINI               | Chiesa di S. Giacomo                                 | Età medievale                              | 8.816539021456311,40.85687744626595,0 |    |
| SEDINI               | Chiesa di S. Nicola di Silanis                       | Età medievale                              | 8.825025785272897,40.83499018119691,0 |    |

|        |  |                    |                                       |    |
|--------|--|--------------------|---------------------------------------|----|
| SEDINI | Chiesa di S. Pancrazio                       | Età medievale      | 8.798479526445535,40.83702058442505,0 |    |
| SEDINI | Chiesa di S. Pancrazio e S'Anna              | Età medievale      | 8.828619872268455,40.83729326197476,0 |    |
| SEDINI | Chiesa di S. Salvatore                       | Età medievale      | 8.829728882202222,40.88797713306042,0 |    |
| SEDINI | Chiesa di Sant'Elia di Sitin                 | Età medievale      | 8.821648055678516,40.84904350308528,0 |    |
| SEDINI | Chiesa San Giovanni                          | Età medievale      | 8.827543,40.833582,0                  |    |
| SEDINI | Domus de janas di Conca Mariana              | Età Neo-Eneolitica | 8.823952,40.84608,0                   |    |
| SEDINI | Domus de janas S'Enaculadora-Li Algasa       | Età Neo-Eneolitica | 8.821116,40.881613,0                  |    |
| SEDINI | Domus de janas Sa Rocca                      | Età Neo-Eneolitica | 8.818026,40.848377,0                  | sì |
| SEDINI | Domus de janas Tanca Fraddi Doro             | Età Neo-Eneolitica | 8.821218,40.88355,0                   |    |
| SEDINI | Domus de janas Zalaini                       | Età Neo-Eneolitica | 8.834602,40.880417,0                  |    |
| SEDINI | Fortificazione preistorica Punta dell'Aquila | Età Neo-Eneolitica | 8.808825109409547,40.88515097497307,0 |    |
| SEDINI | Grotta della Furraghina                      | Età Neo-Eneolitica | 8.803897218974953,40.8419356211387,0  |    |
| SEDINI | Grotta di Conca Niedda                       | Età Neo-Eneolitica | 8.803846813297881,40.84329190023644,0 |    |
| SEDINI | Grotta di Mulargia                           | Età Neo-Eneolitica | 8.803795172815189,40.8424699027637,0  |    |
| SEDINI | Grotta Li Conchi                             | Età Neo-Eneolitica | 8.814325,40.848515,0                  |    |

|        |   |                                 |                                       |    |
|--------|---|---------------------------------|---------------------------------------|----|
| SEDINI | Insedimento medievale scomparso di Fulcatu (areale vasto) | Età medievale                   | 8.826281439612602,40.8889396279453,0  |    |
| SEDINI | Insedimento medievale scomparso di Speluncas (area vasta) | Età medievale                   | 8.819146929369913,40.83807034811286,0 |    |
| SEDINI | Insedimento nuragico e romano di Monte Fulcadu            | Età nuragica - Età romana       | 8.823238999999999,40.88667,0          | si |
| SEDINI | Insedimento nuragico e romano La Marmuradda               | Età nuragica - Età romana       | 8.815089867976136,40.83103224089044,0 |    |
| SEDINI | Insedimento preistorico di Monte Trigu                    | Età Neo-Eneolitica              | 8.804574912427567,40.83563418088285,0 |    |
| SEDINI | Insedimento preistorico di Pedra Mulchitta                | Età Neo-Eneolitica              | 8.797329064636116,40.87873952710187,0 | si |
| SEDINI | Insedimento preistorico di Spilunca                       | Età Neo-Eneolitica              | 8.816395616870626,40.83574017585389,0 |    |
| SEDINI | Insedimento preistorico e romano Monte Figu               | Età Neo-Eneolitica - età romana | 8.834194,40.90101,0                   |    |
| SEDINI | Insedimento preistorico La Calpida                        | Età Neo-Eneolitica              | 8.809463407826847,40.83530691185678,0 |    |
| SEDINI | Menhir Lu Saraghinu                                       | Età Neo-Eneolitica              | 8.815135,40.881217,0                  |    |
| SEDINI | Menhir Monte Monti  | Età Neo-Eneolitica              | 8.795396999999999,40.85033,0          |    |
| SEDINI | Mulino Doro   | Età moderna                     | 8.822994223194215,40.83517736612174,0 |    |



|        |  |  |                                       |    |
|--------|--|--|---------------------------------------|----|
| SEDINI | Mulino Lu Jaldinu                          | Età moderna                                | 8.816916000000001,40.833863,0         |    |
| SEDINI | Mulino Paolini                             | Età moderna                                | 8.813164,40.835145,0                  |    |
| SEDINI | Mulino Secchi                              | Età moderna                                | 8.811418,40.835953,0                  |    |
| SEDINI | Muraglia di Punta Spinosa                  | Età Neo-Eneolitica                         | 8.788964999999999,40.880865,0         |    |
| SEDINI | Nuraghe a corridoio Cannalzu               | Età del Bronzo Antico-Età del Bronzo Medio | 8.747705248893373,40.85316170528831,0 |    |
| SEDINI | Nuraghe a corridoio Conchi o Lu Furrazeddu | Età del Bronzo Antico-Età del Bronzo Medio | 8.815709999999999,40.84783,0          |    |
| SEDINI | Nuraghe a corridoio Pedra Mulchitta        | Età del Bronzo Antico-Età del Bronzo Medio | 8.797582662023606,40.87926060144589,0 | sì |
| SEDINI | Nuraghe Badde Tuvudda                      | Età del Bronzo Medio-Età del Bronzo Finale | 8.795586197662415,40.82875146478523,0 |    |
| SEDINI | Nuraghe Bagnu                              | Età del Bronzo Medio-Età del Bronzo Finale | 8.80004412988982,40.85893933956483,0  | sì |
| SEDINI | Nuraghe Calcinaggiu                        | Età del Bronzo Medio-Età del Bronzo Finale | 8.80833,40.86907,0                    |    |
| SEDINI | Nuraghe Conca di Sorigu o Saltu            | Età del Bronzo Medio-Età del Bronzo Finale | 8.79937,40.85428,0                    | sì |
| SEDINI | Nuraghe Conca Niedda                       | Età del Bronzo Medio-Età del Bronzo Finale | 8.803166584362302,40.84289020850385,0 | sì |
| SEDINI | Nuraghe Giannas                            | Età del Bronzo Medio-Età del Bronzo Finale | 8.804645000000001,40.820141,0         |    |
| SEDINI | Nuraghe La Marmuradda                      | Età del Bronzo Medio-Età del Bronzo Finale | 8.814236275942879,40.8312143409121,0  |    |
| SEDINI | Nuraghe Lu Paddru (o Biancu)               | Età del Bronzo Medio-Età del Bronzo Finale | 8.814752006678596,40.8380001045915,0  | sì |

|        |   |  |                                       |    |
|--------|---|--|---------------------------------------|----|
| SEDINI | Nuraghe Monte Fulcadu                             | Età del Bronzo Medio-Età del Bronzo Finale | 8.823477130452774,40.88676287247797,0 | sì |
| SEDINI | Nuraghe Monte Longu 1                             | Età del Bronzo Medio-Età del Bronzo Finale | 8.823297928574657,40.89487399079559,0 |    |
| SEDINI | Nuraghe Monte Longu 2                             | Età del Bronzo Medio-Età del Bronzo Finale | 8.82015,40.89346,0                    |    |
| SEDINI | Nuraghe Monte Vignoli                             | Età del Bronzo Medio-Età del Bronzo Finale | 8.841480426955425,40.89035854659291,0 |    |
| SEDINI | Nuraghe Paulu Littu                               | Età del Bronzo Medio-Età del Bronzo Finale | 8.813380661888173,40.88837260608683,0 |    |
| SEDINI | Nuraghe Pianu Iladu                               | Età del Bronzo Medio-Età del Bronzo Finale | 8.82048,40.88561,0                    |    |
| SEDINI | Nuraghe Preadu                                    | Età del Bronzo Medio-Età del Bronzo Finale | 8.806139999999999,40.8926,0           |    |
| SEDINI | Nuraghe San Salvatore                             | Età del Bronzo Medio-Età del Bronzo Finale | 8.833887739980979,40.88837822083625,0 |    |
| SEDINI | Nuraghe Tanca Noa                                 | Età del Bronzo Medio-Età del Bronzo Finale | 8.797059418475136,40.86328442985028,0 |    |
| SEDINI | Nuraghe Tintizzi                                  | Età del Bronzo Medio-Età del Bronzo Finale | 8.80339,40.88011,0                    | sì |
| SEDINI | Ripari sotto roccia di Culumbaglia                | Età Neo-Eneolitica                         | 8.8263,40.841715,0                    |    |
| SEDINI | Ripari sotto roccia e sepolture di Monte Barigadu | Età Neo-Eneolitica                         | 8.820912999999999,40.842544,0         |    |
| SEDINI | Riparo sotto roccia di Conca Mariana              | Età Neo-Eneolitica                         | 8.82389997871484,40.84596545752354,0  |    |

|         |   |  |  |
|---------|---|--|--|
| SEDINI  | Santuario ipogeico eneolitico Grotta del Gatto    | Età Neo-Eneolitica                         | 8.815277777777778,40.846944444444445,0 |
| SEDINI  | Strada romana Monte Longu                         | Età romana                                 | 8.825297012449555,40.88541823184465,0  |
| SEDINI  | Strada romana Puttu di Carru                      | Età romana                                 | 8.835170934275361,40.88694509296649,0  |
| SEDINI  | Tomba ad arcosolio di Giagoni                     | Età romana                                 | 8.796863999999999,40.855584,0          |
| SEDINI  | Tomba di giganti di Calcinaggiu (scomparsa)       | Età del Bronzo Medio-Età del Bronzo Finale | 8.808421608522682,40.8687553915944,0   |
| SEDINI  | Tomba di giganti Lu Ruaggiu                       | Età del Bronzo Medio-Età del Bronzo Finale | 8.79931,40.87191,0                     |
| SENNORI | Area dispersione materiali età romana di Fruscios | Età romana                                 | 8.66262793789889,40.8377467384905,0    |
| SENNORI | Chiesa di S. Elia                                 | Età medievale                              | 8.626605,40.812414,0                   |
| SENNORI | Chiesa di S. Giovanni Battista                    | Età medievale                              | 8.606617778469385,40.80015396903275,0  |
| SENNORI | Chiesa di S. Pietro di Oceri                      | Età medievale                              | 8.648998000000001,40.837933,0          |
| SENNORI | Domus (?) de Su Anzu                              | Età non definibile                         | 8.655277777777778,40.8238888888889,0   |
| SENNORI | Domus de janas di Badde Viola                     | Età Neo-Eneolitica                         | 8.617755352954902,40.79845302243594,0  |
| SENNORI | Domus de janas di Pedra Ninna                     | Età Neo-Eneolitica                         | 8.613688,40.80103,0                    |

|         |   |  |  |  |
|---------|---|--|--|--|
| SENNORI | Fontana di S. Elia  | Età moderna                                | 8.626498474291299,40.81240110339895,0  |  |
| SENNORI | Funtana de Su Anzu  | Età moderna                                | 8.654722222222222,40.824444444444445,0 |  |
| SENNORI | Insedimento di S. Elia  | Età medievale                              | 8.625088778377519,40.81232561323932,0  |  |
| SENNORI | Insedimento medievale scomparso di Gennor (areale vasto)              | Età medievale                              | 8.625626243485819,40.81213618492444,0  |  |
| SENNORI | Insedimento medievale scomparso di S. Giusta-Uruspe (areale vasto)    | Età medievale                              | 8.655164331323494,40.81451945426723,0  |  |
| SENNORI | Insedimento medievale scomparso di S. Pietro di Olceri (areale vasto) | Età medievale                              | 8.647320000000001,40.836838,0          |  |
| SENNORI | Insedimento Su Nuraghe  | Età nuragica-età medievale                 | 8.646934999999999,40.824324,0          |  |
| SENNORI | Necropoli a domus de janus di Cabazza                                 | Età Neo-Eneolitica                         | 8.653128000000001,40.839864,0          |  |
| SENNORI | Necropoli a domus de janus di Coa de Sa Palma                         | Età Neo-Eneolitica                         | 8.645177,40.844929,0                   |  |
| SENNORI | Necropoli a domus de janus di di Serra Crabiles                       | Età Neo-Eneolitica                         | 8.664180999999999,40.833059,0          |  |
| SENNORI | Necropoli a domus de janus di Sutis                                   | Età Neo-Eneolitica                         | 8.610097,40.799724,0                   |  |
| SENNORI | Nuraghe Badde Margarida   | Età del Bronzo Medio-Età del Bronzo Finale | 8.644541,40.806399,0                   |  |

|         |   |  |                                       |    |
|---------|---|--|---------------------------------------|----|
| SENNORI | Nuraghe Baivariga                           | Età del Bronzo Medio-Età del Bronzo Finale | 8.619530782811912,40.78974579201638,0 |    |
| SENNORI | Nuraghe S. Pietro di Olceri                 | Età del Bronzo Medio-Età del Bronzo Finale | 8.646497154722038,40.83694052751114,0 |    |
| SENNORI | Nuraghe su Nuraghe                          | Età del Bronzo Medio-Età del Bronzo Finale | 8.64658,40.824152,0                   |    |
| SENNORI | Stele Badde Nigolosu (da archivio)          | Età del Bronzo Medio-Età del Bronzo Finale | 8.657798567916252,40.83051122248013,0 |    |
| SENNORI | Strada di Cabazza                           | Età romana-età moderna                     | 8.651126,40.841515,0                  |    |
| SENNORI | Strada di S. Anna                           | Età romana-età moderna                     | 8.654838,40.841707,0                  |    |
| SENNORI | Tomba di giganti di Oridda                  | Età del Bronzo Medio-Età del Bronzo Finale | 8.660729999999999,40.82788,0          |    |
| SENNORI | Villaggio nuragico Su Nuraghe               | Età del Bronzo Medio-Età del Bronzo Finale | 8.647069,40.823631,0                  |    |
| SORSO   | Area dispersione materiali di Monte Tola    | Età nuragica-Età romana                    | 8.656778433254368,40.84881826686261,0 |    |
| SORSO   | Area dispersione materiali di Monte Zappino | Età Neo-Eneolitica                         | 8.634865241980652,40.85798825407958,0 |    |
| SORSO   | Complesso archeologico di Santa Filitica    | Età romana-altomedievale                   | 8.629139799959525,40.87191973705156,0 | sì |
| SORSO   | La Tonnara                                  | Età moderna                                | 8.618393727322109,40.85856257570844,0 |    |
| SORSO   | Nuraghe Bachileddi                          | Età del Bronzo Medio-Età del Bronzo Finale | 8.635411,40.851934,0                  |    |
| SORSO   | Nuraghe Biancu o Crabioni                   | Età del Bronzo Medio-Età del Bronzo Finale | 8.62978,40.84393,0                    | sì |

|       |  |  |                                       |
|-------|--|--|---------------------------------------|
| SORSO | Nuraghe Corona Ruja                                      | Età del Bronzo Medio-Età del Bronzo Finale | 8.650971999999999,40.861883,0         |
| SORSO | Nuraghe Corona Ruja                                      | Età del Bronzo Medio-Età del Bronzo Finale | 8.650971999999999,40.861883,0         |
| SORSO | Nuraghe Corona Ruja                                      | Età del Bronzo Medio-Età del Bronzo Finale | 8.650971999999999,40.861883,0         |
| SORSO | Nuraghe Tres Montes                                      | Età del Bronzo Medio-Età del Bronzo Finale | 8.61567,40.84347,0                    |
| SORSO | Tafoni di Budduleddu                                     | Età Neolitica-Età nuragica                 | 8.609928,40.82579,0                   |
| TERGU | Area dispersione materiali romani Lu Monti               | Età romana                                 | 8.718058869185745,40.87270720866964,0 |
| TERGU | Chiesa di Nostra Signora di Tergu                        | Età medievale                              | 8.720477392909256,40.87096989754053,0 |
| TERGU | Chiesa di San Tommaso                                    | Età medievale                              | 8.720476012086261,40.87353913818077,0 |
| TERGU | Chiesa scomparsa di S. Erasmo                            | Età medievale                              | 8.701910697874201,40.87554452483387,0 |
| TERGU | Complesso archeologico di Monte Elias                    | Età nuragica                               | 8.71026,40.88362,0                    |
| TERGU | Fortificazione di Punta Cobelciada                       | Età Eneolitica                             | 8.727142909946096,40.85531503349196,0 |
| TERGU | Insedimento antico di Tergu                              | Età nuragica-età medievale                 | 8.719725437671379,40.87191925682351,0 |
| TERGU | Insedimento medievale scomparso di Bualis (areale vasto) | Età medievale                              | 8.701194153716171,40.83107879689661,0 |

|       |                                   |  |                                       |
|-------|-----------------------------------|--|---------------------------------------|
| TERGU | Necropoli romana di Lu Colbu      | Età romana                                 | 8.706631370480158,40.86654184677334,0 |
| TERGU | Necropoli romana di Monte Elias   | Età romana                                 | 8.711607254897579,40.88277982082805,0 |
| TERGU | Necropoli romana di Monte Rizzu   | Età romana                                 | 8.718056750960091,40.87296999047815,0 |
| TERGU | Nuraghe                           | Età del Bronzo Medio-Età del Bronzo Finale | 8.761068,40.875721,0                  |
| TERGU | Nuraghe a corridoio Lu Nuracacciu | Età del Bronzo Antico-Età del Bronzo Medio | 8.75878,40.87742,0                    |
| TERGU | Nuraghe Badde Lua                 | Età del Bronzo Medio-Età del Bronzo Finale | 8.727169999999999,40.86283,0          |
| TERGU | Nuraghe Cannas                    | Età del Bronzo Medio-Età del Bronzo Finale | 8.74076,40.85076,0                    |
| TERGU | Nuraghe de Fora                   | Età del Bronzo Medio-Età del Bronzo Finale | 8.733978763959218,40.84863190041019,0 |
| TERGU | Nuraghe de Mesu                   | Età del Bronzo Medio-Età del Bronzo Finale | 8.73357,40.85121,0                    |
| TERGU | Nuraghe La Luzzana                | Età del Bronzo Medio-Età del Bronzo Finale | 8.69,40.87155,0                       |
| TERGU | Nuraghe Lecchéreo                 | Età del Bronzo Medio-Età del Bronzo Finale | 8.719659999999999,40.83826,0          |
| TERGU | Nuraghe li Sesini                 | Età del Bronzo Medio-Età del Bronzo Finale | 8.735200000000001,40.85795,0          |
| TERGU | Nuraghe lu Colbu                  | Età del Bronzo Medio-Età del Bronzo Finale | 8.706709999999999,40.86671,0          |
| TERGU | Nuraghe Lu Monti                  | Età del Bronzo Medio-Età del Bronzo Finale | 8.7195,40.87294,0                     |
| TERGU | Nuraghe Monte s'Abe               | Età del Bronzo Medio-Età del Bronzo Finale | 8.700818669772854,40.83223815386956,0 |



|            |  |  |                                       |    |
|------------|--|--|---------------------------------------|----|
| TERGU      | Nuraghe Riu Riu  | Età del Bronzo<br>Medio-Età del Bronzo<br>Finale | 8.708729999999999,40.8612,0           | si |
| TERGU      | Nuraghe Tudderi 1  | Età del Bronzo<br>Medio-Età del Bronzo<br>Finale | 8.690619999999999,40.85211,0          |    |
| TERGU      | Nuraghe Tudderi 2  | Età del Bronzo<br>Medio-Età del Bronzo<br>Finale | 8.690340000000001,40.85533,0          |    |
| TERGU      | Nuraghe Tula   | Età del Bronzo<br>Medio-Età del Bronzo<br>Finale | 8.71705,40.84917,0                    |    |
| TERGU      | Tomba di giganti   | Età del Bronzo<br>Medio-Età del Bronzo<br>Finale | 8.714331416784889,40.88005511906508,0 |    |
| TERGU      | Tomba di giganti   | Età del Bronzo<br>Medio-Età del Bronzo<br>Finale | 8.714953190697246,40.87532037518191,0 |    |
| TERGU      | Tomba di giganti di Rocca Ruia                             | Età del Bronzo<br>Medio-Età del Bronzo<br>Finale | 8.733797083952439,40.85148435734651,0 |    |
| TERGU      | Tombe a fossa di Monte S'Abe                               | Età nuragica-età romana                          | 8.701419696105358,40.83232849795084,0 |    |
| VALLEDORIA | Chiesa di S. Orsola? (ruderì)                              | Età medievale                                    | 8.792933746465712,40.92275793709149,0 |    |
| VALLEDORIA | Insedimento  | Età romana                                       | 8.792210000000001,40.920967,0         |    |
| VALLEDORIA | Insedimento medievale scomparso di Ampurias (areale vasto) | Età medievale                                    | 8.809792888068337,40.92849556379409,0 |    |
| VALLEDORIA | Insedimento nuragico La Ciaccia                            | Età del Bronzo<br>Medio-Età del Bronzo<br>Finale | 8.773300758661655,40.91474267630817,0 |    |
| VALLEDORIA | Insedimento romano S. Pietro a mare                        | Età romana                                       | 8.804821,40.929502,0                  |    |
| VALLEDORIA | Necropoli romana   | Età romana                                       | 8.803750333862979,40.92959606722501,0 |    |
| VALLEDORIA | Nuraghe Paltuso  | Età del Bronzo<br>Medio-Età del Bronzo           | 8.781929999999999,40.90329,0          |    |

|            |   | Finale   |                                       |
|------------|---|--|---------------------------------------|
| VALLEDORIA | Relitto romano<br>La Ciaccia            | Età romana                                       | 8.772765279997925,40.91801969876005,0 |
| VALLEDORIA | Relitto romano<br>S. Pietro a<br>mare   | Età romana                                       | 8.78654221920532,40.92632336992584,0  |
| VALLEDORIA | Tombe romane<br>La Muddizza-<br>Tignosu | Età romana                                       | 8.799495,40.907828,0                  |
| VALLEDORIA | Villaggio<br>nuragico<br>Monte Assari   | Età del Bronzo<br>Medio-Età del Bronzo<br>Finale | 8.795771733800969,40.90677049344287,0 |

\* Assenza di evidenze entro il buffer

## 6. I VINCOLI (elaborato 224308\_D\_D\_0404)

"Vincoli in Rete" è un sistema realizzato dall'ICR del MiC rivolto sia agli specialisti che all'utenza pubblica. Il progetto consente di accedere alla consultazione delle informazioni sui beni architettonici e archeologici attraverso diverse chiavi di ricerca semplice e avanzata. I dati, di tipo alfanumerico e georeferenziato, sono stati incrociati con altre fonti istituzionali.

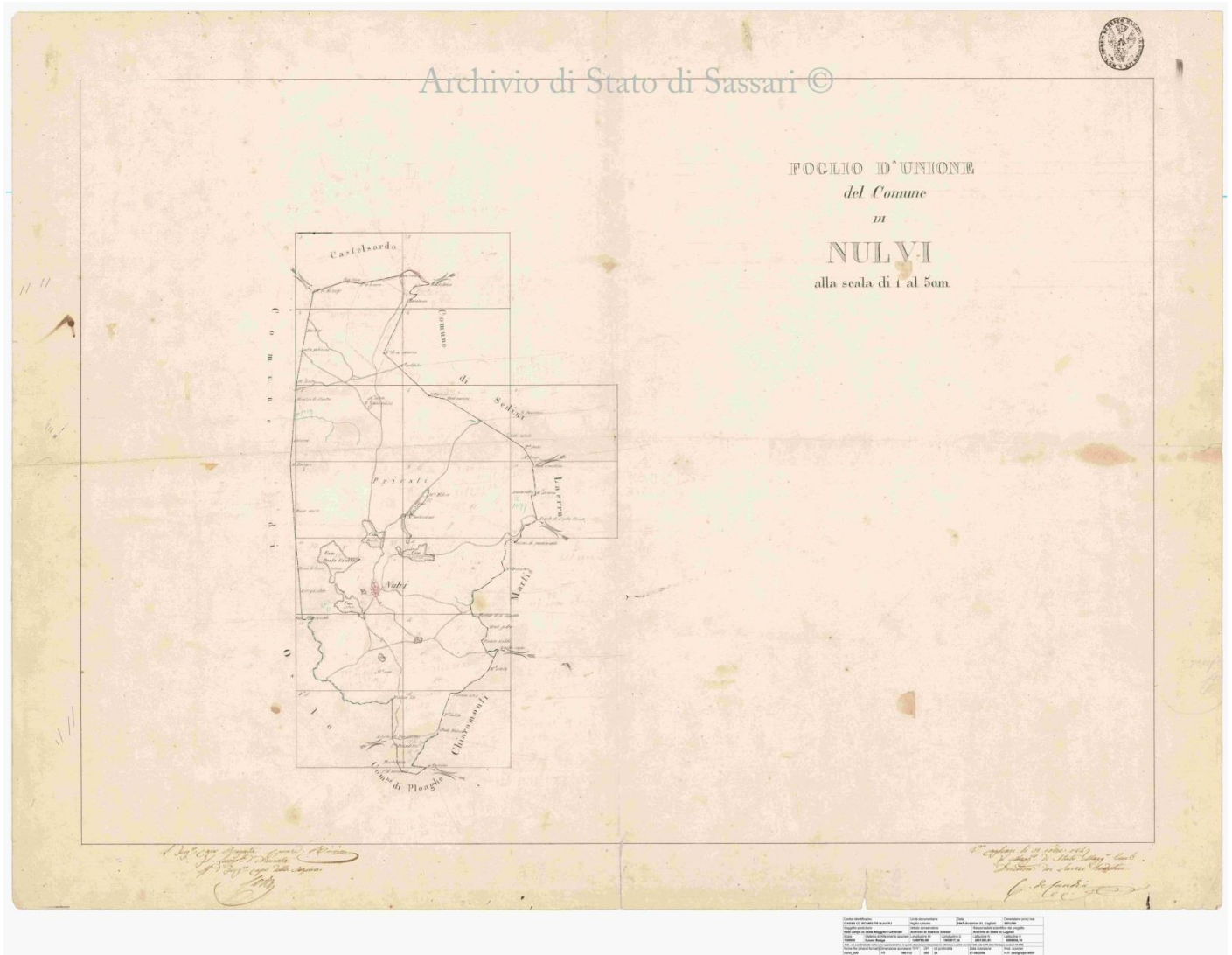
| Nome monumento vincolato                    | Coordinate                            |
|---|---------------------------------------|
| Complesso archeologico di Irru              | 8.760600852727107,40.77743230877692,0 |
| Complesso archeologico Monte Crasta         | 8.640755560070376,40.75573576550671,0 |
| Complesso archeologico di Monte Elias       | 8.71026,40.88362,0                    |
| Complesso archeologico di Santa Filitica    | 8.629139799959525,40.87191973705156,0 |
| Complesso nuragico Monte Rughe (Giannaghes) | 8.82447,40.79444,0                    |
| Complesso nuragico Monte Ruinas             | 8.801539999999999,40.7931,0           |
| Domus de janas dell'Elefante                | 8.74624107498234,40.88961626482619,0  |
| Domus de janas Orria Pitzinna (Piruchi)     | 8.790582544648951,40.74621599339265,0 |
| Grotta di Su Coloru                         | 8.812472228699859,40.81605853994793,0 |
| Fonte nuragica di Monte Ultana              | 8.846629999999999,40.82611,0          |
| Foresta pietrificata di Carrucana           | 8.822018022195577,40.77707531582525,0 |
| Muraglia megalitica di Monte Ossoni         | 8.766851131265481,40.90651304112513,0 |
| Necropoli a domus de janas S'Arede          | 8.866854643010772,40.86226132489044,0 |
| Necropoli a domus de janas di Ittiri        | 8.658609697619436,40.76249322526599,0 |
| Nuraghe a corridoio Monte Ultana            | 8.84714,40.8271,0                     |
| Nuraghe Alvu                                | 8.75638,40.8307,0                     |

|  |                                       |
|--|---------------------------------------|
| Nuraghe s'Anzonile                                   | 8.72113,40.73661,0                    |
| Nuraghe Badde Cheia                                  | 8.79264,40.748,0                      |
| Nuraghe Badu de Samude                               | 8.707319999999999,40.74379,0          |
| Nuraghe Baragliolu                                   | 8.68629,40.89247,0                    |
| Nuraghe Biancu o Crabioni                            | 8.62978,40.84393,0                    |
| Nuraghe Boinalzu                                     | 8.7525,40.83115,0                     |
| Nuraghe Bonora                                       | 8.853910000000001,40.85735,0          |
| Nuraghe Calvarida                                    | 8.717892405088739,40.74952702351884,0 |
| Nuraghe Cantarocheddu                                | 8.712009999999999,40.73994,0          |
| Nuraghe li Colti                                     | 8.758763638651194,40.89871355723392,0 |
| Nuraghe Cugurra                                      | 8.739240000000001,40.72664,0          |
| Nuraghe Su Gastaldu                                  | 8.77951,40.78287,0                    |
| Nuraghe sa Pala de su Cossu                          | 8.70945,40.74041,0                    |
| Nuraghe Malettori                                    | 8.75131,40.7374,0                     |
| Nuraghe Malosa                                       | 8.84919,40.8427,0                     |
| Nuraghe Marianicu                                    | 8.754300000000001,40.73561,0          |
| Nuraghe Monte Franco                                 | 8.81363,40.78232,0                    |
| Nuraghe Paddagiu (Leni)                              | 8.755179999999999,40.89316,0          |
| Nuraghe Paulusedda                                   | 8.868453000000001,40.783883,0         |
| Nuraghe Pazza  | 8.817830000000001,40.80593,0          |
| Nuraghe Riu Riu                                      | 8.708729999999999,40.8612,0           |
| Nuraghe Ruggiu                                       | 8.84558,40.75401,0                    |
| Nuraghe Sanu e capanne                               | 8.85289,40.77251,0                    |
| Nuraghe Sant'Antonio                                 | 8.835800000000001,40.81397,0          |
| Nuraghe Su Monte de Sas Molas                        | 8.789260000000001,40.78182,0          |
| Nuraghe Tau  | 8.735884172118052,40.73575351784964,0 |
| Nuraghe Tiu Moro                                     | 8.835080686152367,40.82006655997905,0 |
| Nuraghe Rodas  | 8.853680000000001,40.83793,0          |
| Tomba dei giganti Santu Pedru de Su Littu (Cannalza) | 8.636296581963769,40.75765027887988,0 |
| Tombe di giganti Bopitos                             | 8.84427,40.82369,0                    |

## 7. ELEMENTI DI FOTOINTERPRETAZIONE

La presenza di una vasta documentazione di censimento e catalogazione sui territori di Nulvi e Tergu è presumibilmente la ragione principale per la quale le analisi condotte sia sulla cartografia storica sia sugli elementi di fotointerpretazione non hanno restituito ulteriori osservazioni rilevanti, quanto meno per le aree interessate dal parco eolico nella relazione coi documenti archeologici. La lettura dei documenti catastali relativi a Nulvi ('Cessato Catasto di Sassari' risalenti al 1847, rilievi del Real Corpo di Stato Maggiore Generale) non ha apportato indicazioni aggiuntive nell'economia del presente lavoro.

Si propone qua sotto il quadro d'unione del territorio comunale.



La lettura delle foto satellitari e della fotografia storica non ha ugualmente, nel senso prima indicato, dato particolari indicazioni archeologiche. È però utile dare un dato che emerge: una parte molto alta delle anomalie sembra riferirsi, grazie all'analisi comparata sui punti disponibili nel corso del *survey*, ad accumuli di pietre di età moderna e contemporanea, forse in alcuni casi riferibili a strutture edificate per attività produttive di tipo agropastorale, o anche calcare (si vedano ad esempio **elaborato 224308\_D\_D\_0401**: WTG 1, 5 e 7, tavola 1).

## 8. IL SURVEY (elaborato 224308\_D\_D\_0401, tavv. I-ILVII)

I dati del *survey* sono raccolti tramite il MODI – Modulo informativo ICCD<sup>4</sup> per tutta la parte di indagine sul campo e per la sintesi interpretativa data dall’analisi e combinazione delle differenti fonti informative e documentarie. Per ogni Unità di Ricognizione (UR) in cui è stata suddivisa l’area di intervento durante il *survey* in base alla visibilità dei suoli, è stato organizzato un *set* di informazioni selezionando dal paragrafo RE (Indagini) l’intero campo strutturato RCG e relativi sottocampi, l’intero paragrafo GE (Georeferenziazione) per la determinazione delle coordinate delle UR, mentre dal paragrafo AP (Area di potenziale archeologico) e dal campo strutturato VRP (Valutazione del potenziale archeologico) è stato selezionato il sottocampo VRSP (Valutazione di sintesi) per la registrazione del potenziale archeologico complessivo dell’UR.

Il *survey*, preceduto da alcune indagini ricognitive, è stato effettuato nei giorni 27-28 luglio, 5 e 19 agosto 2022 da una squadra composta da due archeologi di I fascia e due operatori di supporto. I punti sono stati raccolti tramite strumentazioni GPS da campo e di precisione, con riprocessamento in sede. Le fotografie sono state realizzate con apparecchiature digitali di alta definizione.

Il *survey* è stato condotto all’interno di un bacino di alta densità monumentale di contesto, con distanze che vanno mediamente dai 50 ai 500 m ca., e oltre, da WTG e tracciati dei cavidotti. In particolare nelle aree oggetto della ricognizione si sono evidenziate alcune sistemazioni stradali (UR11, tav. II figg. 4-5, e UR39, tav. II figg. 4-6) di incerta cronologia. Nella UR 36 il Nuraghe Ena Longa dista circa una ventina di metri dal tracciato del cavidotto su strada (tav. III fig. 1). Non si esclude che elementi litici di crollo (UR37, tav. III figg. 2-3) decontestualizzate possano appartenere all’area di questo bacino nuragico. Sono state anche evidenziate tracce di una probabile cava antica (WTG 12, UR10). Nei pressi della strada asfaltata SP29 che mette in collegamento la UR 31 con la UR 32, si segnalano i ruderi di un nuraghe, sinora, a nostra conoscenza, non segnalato (tav. III fig. 7). Le condizioni stagionali hanno in alcuni casi limitato la visibilità dei suoli laddove era presente vegetazione erbacea non falciata o giacente sul terreno o in presenza di vegetazione arbustiva particolarmente rigogliosa.

Si danno di seguito i risultati del *survey* strutturati sulle voci MODI (RCG).

<sup>4</sup> Cfr. Circolare MiBACT 01/2006, allegato 3, p. 2, nota 5.



|             |                |                               |  |
|-------------|----------------|-------------------------------|--|
| <b>UR01</b> | <b>TAV. IV</b> |                               |  |
| RE          |                | INDAGINI                      |  |
|             | RCG            | RICOGNIZIONE ARCHEOLOGICA     |  |
|             | RCGV           | Denominazione ricognizione    | <b>UR01 - WTG 01</b>   |
|             | RCGD           | Riferimento cronologico       | 27/07/2022   |
|             | RCGT           | Situazione ambientale         | Accesso all'area di survey. Terreno in pendio coperto da cardì e altra vegetazione infestante, secca e a tratti più o meno fitta, Si notano alcune grandi pietre, alcune di taglio moderno, e cumuli di spietramento. Non sono state rilevate evidenze archeologiche. Nei dintorni non si segnalano monumenti. |
|             | RCGE           | Motivo                        | verifica preventiva  |
|             | RCGM           | Metodo                        | sistematico  |
|             | RCGR           | Ente responsabile             | SABAP SS E NU  |
|             | RCGA           | Responsabile scientifico      | Manca di Mores, Giuseppina   |
|             | RCGZ           | Note                          |  |
| GE          |                | GEOREFERENZIAZIONE            |  |
|             | GEL            | Tipo di localizzazione        | localizzazione fisica  |
|             | GET            | Tipo di georeferenziazione    | georeferenziazione puntuale  |
|             | GEP            | Sistema di riferimento        | WGS84  |
|             | GEC            | COORDINATE                    |  |
|             | GECX           | Coordinata x                  | 8.719705   |
|             | GECY           | Coordinata y                  | 40.826157  |
|             | GECS           | Note                          | inizio UR  |
|             | GECX           | Coordinata x                  | 8.719965   |
|             | GECY           | Coordinata y                  | 40.827946  |
|             | GECS           | Note                          | fine UR  |
|             | GPT            | Tecnica di georeferenziazione | rilievo tramite GPS  |
|             | GPM            | Metodo di posizionamento      | posizionamento esatto  |
|             | FTA            | DOCUMENTAZIONE FOTOGRAFICA    |  |
|             | FTAN           | Codice identificativo         | UR0101   |
|             | FTAX           | Genere                        | documentazione allegata  |
|             | FTAP           | Tipo                          | foto digitale  |
|             | FTAF           | Formato                       | jpeg   |
|             | FTAM           | Titolo/didasalia              | ingresso all'area  |
|             | FTAA           | Autore                        | Manca di Mores, Giuseppina   |
|             | FTAD           | Riferimento cronologico       | 27/07/2022   |
|             | FTAT           | Note                          | Rif. relazione tav. IV, fig. 1   |
|             | FTA            | DOCUMENTAZIONE FOTOGRAFICA    |  |

|     |      |                            |  |
|-----|------|----------------------------|--|
|     | FTAN | Codice identificativo      | UR0102                                     |
|     | FTAX | Genere                     | documentazione allegata                    |
|     | FTAP | Tipo                       | foto digitale                              |
|     | FTAF | Formato                    | jpeg                                       |
|     | FTAM | Titolo/didascalia          | area di installazione dell'aerogeneratore  |
|     | FTAA | Autore                     | Manca di Mores, Giuseppina                 |
|     | FTAD | Riferimento cronologico    | 27/07/2022                                 |
|     | FTAT | Note                       | Rif. relazione tav. IV, fig. 2             |
| FTA |      | DOCUMENTAZIONE FOTOGRAFICA |  |
|     | FTAN | Codice identificativo      | UR0103                                     |
|     | FTAX | Genere                     | documentazione allegata                    |
|     | FTAP | Tipo                       | foto digitale                              |
|     | FTAF | Formato                    | jpeg                                       |
|     | FTAM | Titolo/didascalia          | area di ricognizione dei 200 m di diametro |
|     | FTAA | Autore                     | Manca di Mores, Giuseppina                 |
|     | FTAD | Riferimento cronologico    | 27/07/2022                                 |
|     | FTAT | Note                       | Rif. relazione tav. IV, fig. 3             |
| FTA |      | DOCUMENTAZIONE FOTOGRAFICA |  |
|     | FTAN | Codice identificativo      | UR0104                                     |
|     | FTAX | Genere                     | documentazione allegata                    |
|     | FTAP | Tipo                       | foto digitale                              |
|     | FTAF | Formato                    | jpeg                                       |
|     | FTAM | Titolo/didascalia          | dettaglio dei blocchi presenti nell'area   |
|     | FTAA | Autore                     | Manca di Mores, Giuseppina                 |
|     | FTAD | Riferimento cronologico    | 27/07/2022                                 |
|     | FTAT | Note                       | Rif. relazione tav. IV, fig. 4             |
| FTA |      | DOCUMENTAZIONE FOTOGRAFICA |  |
|     | FTAN | Codice identificativo      | UR0105                                     |
|     | FTAX | Genere                     | documentazione allegata                    |
|     | FTAP | Tipo                       | foto digitale                              |
|     | FTAF | Formato                    | jpeg                                       |
|     | FTAM | Titolo/didascalia          | veduta generale dell'area                  |
|     | FTAA | Autore                     | Manca di Mores, Giuseppina                 |
|     | FTAD | Riferimento cronologico    | 27/07/2022                                 |
|     | FTAT | Note                       | Rif. relazione tav. IV, fig. 5             |
| FTA |      | DOCUMENTAZIONE FOTOGRAFICA |  |
|     | FTAN | Codice identificativo      | UR0106                                     |
|     | FTAX | Genere                     | documentazione allegata                    |
|     | FTAP | Tipo                       | foto digitale                              |



|             |               |      |                               |   |
|-------------|---------------|------|-------------------------------|---|
|             |               | FTAF | Formato                       | jpeg  |
|             |               | FTAM | Titolo/didascalia             | veduta dell'area di survey  |
|             |               | FTAA | Autore                        | Manca di Mores, Giuseppina  |
|             |               | FTAD | Riferimento cronologico       | 27/07/2022  |
|             |               | FTAT | Note                          | Rif. relazione tav. IV, fig. 6  |
| <b>UR02</b> | <b>TAV. V</b> |      |                               |   |
| RE          |               |      | INDAGINI                      |   |
|             | RCG           |      | RICOGNIZIONE ARCHEOLOGICA     |   |
|             |               | RCGV | Denominazione ricognizione    | <b>UR02 - WTG 3</b>   |
|             |               | RCGD | Riferimento cronologico       | 27/07/2022  |
|             |               | RCGT | Situazione ambientale         | Terreno in leggero pendio; altura rocciosa compresa fra due aerogeneratori esistenti. Il punto di installazione previsto per il nuovo WTG si trova nella parte più pianeggiante e a sinistra della strada. Il terreno è arato ma con erba ricresciuta e secca; visibilità bassa. Sulla sinistra della strada, fitta vegetazione. Non sono state rilevate evidenze archeologiche. Il monumento più prossimo, scientificamente documentato, è il nuraghe Muros, a circa 225 m in direzione SSE. |
|             |               | RCGE | Motivo                        | verifica preventiva   |
|             |               | RCGM | Metodo                        | sistematico   |
|             |               | RCGR | Ente responsabile             | SABAP SS E NU   |
|             |               | RCGA | Responsabile scientifico      | Manca di Mores, Giuseppina  |
|             |               | RCGZ | Note                          |   |
| GE          |               |      | GEOREFERENZIAZIONE            |   |
|             | GEL           |      | Tipo di localizzazione        | localizzazione fisica   |
|             | GET           |      | Tipo di georeferenziazione    | georeferenziazione puntuale   |
|             | GEP           |      | Sistema di riferimento        | WGS84   |
|             | GEC           |      | COORDINATE                    |   |
|             |               | GECX | Coordinata x                  | 8.730370  |
|             |               | GECY | Coordinata y                  | 40.820855   |
|             |               | GECS | Note                          | inizio UR   |
|             |               | GECX | Coordinata x                  | 8.730930  |
|             |               | GECY | Coordinata y                  | 40.822595   |
|             |               | GECS | Note                          | fine UR   |
|             | GPT           |      | Tecnica di georeferenziazione | rilievo tramite GPS   |
|             | GPM           |      | Metodo di posizionamento      | posizionamento esatto   |
|             | FTA           |      | DOCUMENTAZIONE FOTOGRAFICA    |   |
|             |               | FTAN | Codice identificativo         | UR0201  |
|             |               | FTAX | Genere                        | documentazione allegata   |

|  |     |      |                            |   |
|--|-----|------|----------------------------|---|
|  |     | FTAP | Tipo                       | foto digitale                             |
|  |     | FTAF | Formato                    | jpeg                                      |
|  |     | FTAM | Titolo/didascalia          | ingresso all'area dalla strada            |
|  |     | FTAA | Autore                     | Manca di Mores, Giuseppina                |
|  |     | FTAD | Riferimento cronologico    | 27/07/2022                                |
|  |     | FTAT | Note                       | Rif. relazione tav. V, fig. 1             |
|  | FTA |      | DOCUMENTAZIONE FOTOGRAFICA |   |
|  |     | FTAN | Codice identificativo      | UR0202                                    |
|  |     | FTAX | Genere                     | documentazione allegata                   |
|  |     | FTAP | Tipo                       | foto digitale                             |
|  |     | FTAF | Formato                    | jpeg                                      |
|  |     | FTAM | Titolo/didascalia          | area di installazione dell'aerogeneratore |
|  |     | FTAA | Autore                     | Manca di Mores, Giuseppina                |
|  |     | FTAD | Riferimento cronologico    | 27/07/2022                                |
|  |     | FTAT | Note                       | Rif. relazione tav. V, fig. 2             |
|  | FTA |      | DOCUMENTAZIONE FOTOGRAFICA |   |
|  |     | FTAN | Codice identificativo      | UR0203                                    |
|  |     | FTAX | Genere                     | documentazione allegata                   |
|  |     | FTAP | Tipo                       | foto digitale                             |
|  |     | FTAF | Formato                    | jpeg                                      |
|  |     | FTAM | Titolo/didascalia          | veduta dell'area di survey                |
|  |     | FTAA | Autore                     | Manca di Mores, Giuseppina                |
|  |     | FTAD | Riferimento cronologico    | 27/07/2022                                |
|  |     | FTAT | Note                       | Rif. relazione tav. V, fig. 3             |
|  | FTA |      | DOCUMENTAZIONE FOTOGRAFICA |   |
|  |     | FTAN | Codice identificativo      | UR0204                                    |
|  |     | FTAX | Genere                     | documentazione allegata                   |
|  |     | FTAP | Tipo                       | foto digitale                             |
|  |     | FTAF | Formato                    | jpeg                                      |
|  |     | FTAM | Titolo/didascalia          | area di survey e altura                   |
|  |     | FTAA | Autore                     | Manca di Mores, Giuseppina                |
|  |     | FTAD | Riferimento cronologico    | 27/07/2022                                |
|  |     | FTAT | Note                       | Rif. relazione tav. V, fig. 4             |
|  | FTA |      | DOCUMENTAZIONE FOTOGRAFICA |   |
|  |     | FTAN | Codice identificativo      | UR0205                                    |
|  |     | FTAX | Genere                     | documentazione allegata                   |
|  |     | FTAP | Tipo                       | foto digitale                             |
|  |     | FTAF | Formato                    | jpeg                                      |
|  |     | FTAM | Titolo/didascalia          | dettaglio dell'area di survey             |

|             |                |      |                               |   |
|-------------|----------------|------|-------------------------------|---|
|             |                | FTAA | Autore                        | Manca di Mores, Giuseppina  |
|             |                | FTAD | Riferimento cronologico       | 27/07/2022  |
|             |                | FTAT | Note                          | Rif. relazione tav. V, fig. 5   |
|             | FTA            |      | DOCUMENTAZIONE FOTOGRAFICA    |   |
|             |                | FTAN | Codice identificativo         | UR0206  |
|             |                | FTAX | Genere                        | documentazione allegata   |
|             |                | FTAP | Tipo                          | foto digitale   |
|             |                | FTAF | Formato                       | jpeg  |
|             |                | FTAM | Titolo/didascalia             | veduta generale e dettaglio della visibilità al suolo   |
|             |                | FTAA | Autore                        | Manca di Mores, Giuseppina  |
|             |                | FTAD | Riferimento cronologico       | 27/07/2022  |
|             |                | FTAT | Note                          | Rif. relazione tav. V, fig. 6   |
| <b>UR03</b> | <b>TAV. VI</b> |      |                               |   |
| RE          |                |      | INDAGINI                      |   |
|             | RCG            |      | RICOGNIZIONE ARCHEOLOGICA     |   |
|             |                | RCGV | Denominazione ricognizione    | <b>UR03 - WTG 2</b>   |
|             |                | RCGD | Riferimento cronologico       | 27/07/2022  |
|             |                | RCGT | Situazione ambientale         | Area pianeggiante o in leggero declivio, sfalciata ma con vegetazione secca residua. Visibilità molto bassa. Non sono state rilevate evidenze archeologiche. Il monumento più prossimo, scientificamente documentato, è il nuraghe Muros, a circa 550 m in direzione NNE. |
|             |                | RCGE | Motivo                        | verifica preventiva   |
|             |                | RCGM | Metodo                        | sistematico   |
|             |                | RCGR | Ente responsabile             | SABAP SS E NU   |
|             |                | RCGA | Responsabile scientifico      | Manca di Mores, Giuseppina  |
|             |                | RCGZ | Note                          |   |
| GE          |                |      | GEOREFERENZIAZIONE            |   |
|             | GEL            |      | Tipo di localizzazione        | localizzazione fisica   |
|             | GET            |      | Tipo di georeferenziazione    | georeferenziazione puntuale   |
|             | GEP            |      | Sistema di riferimento        | WGS84   |
|             | GEC            |      | COORDINATE                    |   |
|             |                | GECX | Coordinata x                  | 8.728519  |
|             |                | GECY | Coordinata y                  | 40.814027   |
|             |                | GECS | Note                          | inizio UR   |
|             |                | GECX | Coordinata x                  | 8.729132  |
|             |                | GECY | Coordinata y                  | 40.815771   |
|             |                | GECS | Note                          | fine UR   |
|             | GPT            |      | Tecnica di georeferenziazione | rilievo tramite GPS   |

| GPM |      | Metodo di posizionamento   | posizionamento esatto                           |
|-----|------|----------------------------|---|
| FTA |      | DOCUMENTAZIONE FOTOGRAFICA |   |
|     | FTAN | Codice identificativo      | UR0301  |
|     | FTAX | Genere                     | documentazione allegata                         |
|     | FTAP | Tipo                       | foto digitale                                   |
|     | FTAF | Formato                    | jpeg  |
|     | FTAM | Titolo/didascalia          | accesso all'area di survey dalla strada         |
|     | FTAA | Autore                     | Manca di Mores, Giuseppina                      |
|     | FTAD | Riferimento cronologico    | 27/07/2022                                      |
|     | FTAT | Note                       | Rif. relazione tav. VI, fig. 1                  |
| FTA |      | DOCUMENTAZIONE FOTOGRAFICA |   |
|     | FTAN | Codice identificativo      | UR0302  |
|     | FTAX | Genere                     | documentazione allegata                         |
|     | FTAP | Tipo                       | foto digitale                                   |
|     | FTAF | Formato                    | jpeg  |
|     | FTAM | Titolo/didascalia          | area di survey                                  |
|     | FTAA | Autore                     | Manca di Mores, Giuseppina                      |
|     | FTAD | Riferimento cronologico    | 27/07/2022                                      |
|     | FTAT | Note                       | Rif. relazione tav. VI, fig. 2                  |
| FTA |      | DOCUMENTAZIONE FOTOGRAFICA |   |
|     | FTAN | Codice identificativo      | UR0303  |
|     | FTAX | Genere                     | documentazione allegata                         |
|     | FTAP | Tipo                       | foto digitale                                   |
|     | FTAF | Formato                    | jpeg  |
|     | FTAM | Titolo/didascalia          | area di survey e veduta complessiva di contesto |
|     | FTAA | Autore                     | Manca di Mores, Giuseppina                      |
|     | FTAD | Riferimento cronologico    | 27/07/2022                                      |
|     | FTAT | Note                       | Rif. relazione tav. VI, fig. 3                  |
| FTA |      | DOCUMENTAZIONE FOTOGRAFICA |   |
|     | FTAN | Codice identificativo      | UR0304  |
|     | FTAX | Genere                     | documentazione allegata                         |
|     | FTAP | Tipo                       | foto digitale                                   |
|     | FTAF | Formato                    | jpeg  |
|     | FTAM | Titolo/didascalia          | area di survey e veduta complessiva di contesto |
|     | FTAA | Autore                     | Manca di Mores, Giuseppina                      |
|     | FTAD | Riferimento cronologico    | 27/07/2022                                      |
|     | FTAT | Note                       | Rif. relazione tav. VI, fig. 4                  |
| FTA |      | DOCUMENTAZIONE FOTOGRAFICA |   |

|             |                 |      |                            |  |
|-------------|-----------------|------|----------------------------|--|
|             |                 | FTAN | Codice identificativo      | UR0305   |
|             |                 | FTAX | Genere                     | documentazione allegata  |
|             |                 | FTAP | Tipo                       | foto digitale  |
|             |                 | FTAF | Formato                    | jpeg   |
|             |                 | FTAM | Titolo/didascalia          | area di installazione dell'aerogeneratore  |
|             |                 | FTAA | Autore                     | Manca di Mores, Giuseppina   |
|             |                 | FTAD | Riferimento cronologico    | 27/07/2022   |
|             |                 | FTAT | Note                       | Rif. relazione tav. VI, fig. 5   |
|             | FTA             |      | DOCUMENTAZIONE FOTOGRAFICA |  |
|             |                 | FTAN | Codice identificativo      | UR0306   |
|             |                 | FTAX | Genere                     | documentazione allegata  |
|             |                 | FTAP | Tipo                       | foto digitale  |
|             |                 | FTAF | Formato                    | jpeg   |
|             |                 | FTAM | Titolo/didascalia          | area di survey e veduta generale di contesto   |
|             |                 | FTAA | Autore                     | Manca di Mores, Giuseppina   |
|             |                 | FTAD | Riferimento cronologico    | 27/07/2022   |
|             |                 | FTAT | Note                       | Rif. relazione tav. VI, fig. 6   |
| <b>UR04</b> | <b>TAV. VII</b> |      |                            |  |
| RE          |                 |      | INDAGINI                   |  |
|             | RCG             |      | RICOGNIZIONE ARCHEOLOGICA  |  |
|             |                 | RCGV | Denominazione ricognizione | <b>UR04 - WTG 6</b>  |
|             |                 | RCGD | Riferimento cronologico    | 19/08/2022   |
|             |                 | RCGT | Situazione ambientale      | Area di survey intorno al WTG. Area pianeggiante con vegetazione erbacea (cardi, infestanti, etc.) secca e tratti di recente aratura. Terreno pietroso; accumuli di spietramento non significativo. Visibilità alta. Non sono state rilevate evidenze archeologiche. Il monumento più prossimo, scientificamente documentato, è il nuraghe Pedra Ulpu, di tipo al momento non chiaramente definibile, a circa 450 m in direzione NE. |
|             |                 | RCGE | Motivo                     | verifica preventiva  |
|             |                 | RCGM | Metodo                     | sistematico  |
|             |                 | RCGR | Ente responsabile          | SABAP SS E NU  |
|             |                 | RCGA | Responsabile scientifico   | Manca di Mores, Giuseppina   |
|             |                 | RCGZ | Note                       |  |
| GE          |                 |      | GEOREFERENZIAZIONE         |  |
|             | GEL             |      | Tipo di localizzazione     | localizzazione fisica  |
|             | GET             |      | Tipo di georeferenziazione | georeferenziazione puntuale  |
|             | GEP             |      | Sistema di riferimento     | WGS84  |
|             | GEC             |      | COORDINATE                 |  |

|  |      |                               |                                       |
|--|------|-------------------------------|---------------------------------------|
|  | GECX | Coordinata x                  | 8.736438                              |
|  | GECY | Coordinata y                  | 40.806963                             |
|  | GECS | Note                          | inizio UR                             |
|  | GECX | Coordinata x                  | 8.734395                              |
|  | GECY | Coordinata y                  | 40.807775                             |
|  | GECS | Note                          | fine UR                               |
|  | GPT  | Tecnica di georeferenziazione | rilievo tramite GPS                   |
|  | GPM  | Metodo di posizionamento      | posizionamento esatto                 |
|  | FTA  | DOCUMENTAZIONE FOTOGRAFICA    |                                       |
|  | FTAN | Codice identificativo         | UR0401                                |
|  | FTAX | Genere                        | documentazione allegata               |
|  | FTAP | Tipo                          | foto digitale                         |
|  | FTAF | Formato                       | jpeg                                  |
|  | FTAM | Titolo/didascalia             | ingresso all'area dell'aerogeneratore |
|  | FTAA | Autore                        | Manca di Mores, Giuseppina            |
|  | FTAD | Riferimento cronologico       | 19/08/2022                            |
|  | FTAT | Note                          | Rif. relazione tav. VII, fig. 1       |
|  | FTA  | DOCUMENTAZIONE FOTOGRAFICA    |                                       |
|  | FTAN | Codice identificativo         | UR0402                                |
|  | FTAX | Genere                        | documentazione allegata               |
|  | FTAP | Tipo                          | foto digitale                         |
|  | FTAF | Formato                       | jpeg                                  |
|  | FTAM | Titolo/didascalia             | terreni arati e survey                |
|  | FTAA | Autore                        | Manca di Mores, Giuseppina            |
|  | FTAD | Riferimento cronologico       | 19/08/2022                            |
|  | FTAT | Note                          | Rif. relazione tav. VII, fig. 2       |
|  | FTA  | DOCUMENTAZIONE FOTOGRAFICA    |                                       |
|  | FTAN | Codice identificativo         | UR0403                                |
|  | FTAX | Genere                        | documentazione allegata               |
|  | FTAP | Tipo                          | foto digitale                         |
|  | FTAF | Formato                       | jpeg                                  |
|  | FTAM | Titolo/didascalia             | particolare survey arature            |
|  | FTAA | Autore                        | Manca di Mores, Giuseppina            |
|  | FTAD | Riferimento cronologico       | 19/08/2022                            |
|  | FTAT | Note                          | Rif. relazione tav. VII, fig. 3       |
|  | FTA  | DOCUMENTAZIONE FOTOGRAFICA    |                                       |
|  | FTAN | Codice identificativo         | UR0404                                |
|  | FTAX | Genere                        | documentazione allegata               |
|  | FTAP | Tipo                          | foto digitale                         |

|             |                  |      |                            |   |
|-------------|------------------|------|----------------------------|---|
|             |                  | FTAF | Formato                    | jpeg  |
|             |                  | FTAM | Titolo/didasalia           | area di survey e dettaglio della visibilità al suolo  |
|             |                  | FTAA | Autore                     | Manca di Mores, Giuseppina  |
|             |                  | FTAD | Riferimento cronologico    | 19/08/2022  |
|             |                  | FTAT | Note                       | Rif. relazione tav. VII, fig. 4   |
|             | FTA              |      | DOCUMENTAZIONE FOTOGRAFICA |   |
|             |                  | FTAN | Codice identificativo      | UR0405  |
|             |                  | FTAX | Genere                     | documentazione allegata   |
|             |                  | FTAP | Tipo                       | foto digitale   |
|             |                  | FTAF | Formato                    | jpeg  |
|             |                  | FTAM | Titolo/didasalia           | accumulo di pietrame non significativo  |
|             |                  | FTAA | Autore                     | Manca di Mores, Giuseppina  |
|             |                  | FTAD | Riferimento cronologico    | 27/07/2022  |
|             |                  | FTAT | Note                       | Rif. relazione tav. VII, fig. 5   |
|             | FTA              |      | DOCUMENTAZIONE FOTOGRAFICA |   |
|             |                  | FTAN | Codice identificativo      | UR0506  |
|             |                  | FTAX | Genere                     | documentazione allegata   |
|             |                  | FTAP | Tipo                       | foto digitale   |
|             |                  | FTAF | Formato                    | jpeg  |
|             |                  | FTAM | Titolo/didasalia           | area del WTG e veduta di contesto   |
|             |                  | FTAA | Autore                     | Manca di Mores, Giuseppina  |
|             |                  | FTAD | Riferimento cronologico    | 19/08/2022  |
|             |                  | FTAT | Note                       | Rif. relazione tav. VII, fig. 6   |
| <b>UR05</b> | <b>TAV. VIII</b> |      |                            |   |
| RE          |                  |      | INDAGINI                   |   |
|             | RCG              |      | RICOGNIZIONE ARCHEOLOGICA  |   |
|             |                  | RCGV | Denominazione ricognizione | <b>UR05 - WTG 5</b>   |
|             |                  | RCGD | Riferimento cronologico    | 27/07/2022  |
|             |                  | RCGT | Situazione ambientale      | Area pianeggiante con foraggere in parte falciate e presenti sul terreno con pietrame sparso; nella parte più esterna, rada vegetazione arborea. All'ingresso dell'area di 200 m dell'aerogeneratore, sulla sx, è una struttura in pietrame a secco, del diametro di circa 30 m, probabilmente struttura di ricovero per bestiame o altra struttura per attività produttive non meglio identificabile. Visibilità bassa. Il monumento più prossimo, scientificamente documentato, è il nuraghe Pedra Ulpu, di tipo al momento non chiaramente definibile, a circa 400 m in direzione E. |
|             |                  | RCGE | Motivo                     | verifica preventiva   |



|    |     |      |                               |   |
|----|-----|------|-------------------------------|---|
|    |     | RCGM | Metodo                        | sistematico   |
|    |     | RCGR | Ente responsabile             | SABAP SS E NU   |
|    |     | RCGA | Responsabile scientifico      | Manca di Mores, Giuseppina                                |
|    |     | RCGZ | Note                          |   |
| GE |     |      | GEOREFERENZIAZIONE            |   |
|    | GEL |      | Tipo di localizzazione        | localizzazione fisica                                     |
|    | GET |      | Tipo di georeferenziazione    | georeferenziazione puntuale                               |
|    | GEP |      | Sistema di riferimento        | WGS84   |
|    | GEC |      | COORDINATE                    |   |
|    |     | GECX | Coordinata x                  | 8.734674  |
|    |     | GECY | Coordinata y                  | 40.809950   |
|    |     | GECS | Note                          | inizio UR   |
|    |     | GECX | Coordinata x                  | 8.734899  |
|    |     | GECY | Coordinata y                  | 40.811745   |
|    |     | GECS | Note                          | fine UR   |
|    | GPT |      | Tecnica di georeferenziazione | rilievo tramite GPS                                       |
|    | GPM |      | Metodo di posizionamento      | posizionamento esatto                                     |
|    | FTA |      | DOCUMENTAZIONE FOTOGRAFICA    |   |
|    |     | FTAN | Codice identificativo         | UR0501  |
|    |     | FTAX | Genere                        | documentazione allegata                                   |
|    |     | FTAP | Tipo                          | foto digitale   |
|    |     | FTAF | Formato                       | jpeg  |
|    |     | FTAM | Titolo/didascalia             | ingresso all'area di <i>survey</i>                        |
|    |     | FTAA | Autore                        | Manca di Mores, Giuseppina                                |
|    |     | FTAD | Riferimento cronologico       | 27/07/2022  |
|    |     | FTAT | Note                          | Rif. relazione tav. VIII, fig. 1                          |
|    | FTA |      | DOCUMENTAZIONE FOTOGRAFICA    |   |
|    |     | FTAN | Codice identificativo         | UR0502  |
|    |     | FTAX | Genere                        | documentazione allegata                                   |
|    |     | FTAP | Tipo                          | foto digitale   |
|    |     | FTAF | Formato                       | jpeg  |
|    |     | FTAM | Titolo/didascalia             | area di <i>survey</i> con recinzioni di difficile accesso |
|    |     | FTAA | Autore                        | Manca di Mores, Giuseppina                                |
|    |     | FTAD | Riferimento cronologico       | 27/07/2022  |
|    |     | FTAT | Note                          | Rif. relazione tav. VIII, fig. 2                          |
|    | FTA |      | DOCUMENTAZIONE FOTOGRAFICA    |   |
|    |     | FTAN | Codice identificativo         | UR0503  |
|    |     | FTAX | Genere                        | documentazione allegata                                   |
|    |     | FTAP | Tipo                          | foto digitale   |
|    |     | FTAF | Formato                       | jpeg  |

|             |                |      |                            |   |
|-------------|----------------|------|----------------------------|---|
|             |                | FTAM | Titolo/didasalia           | struttura in opera a secco di non chiara interpretazione    |
|             |                | FTAA | Autore                     | Manca di Mores, Giuseppina                                  |
|             |                | FTAD | Riferimento cronologico    | 27/07/2022  |
|             |                | FTAT | Note                       | Rif. relazione tav. VIII, fig. 3                            |
|             | FTA            |      | DOCUMENTAZIONE FOTOGRAFICA |   |
|             |                | FTAN | Codice identificativo      | UR0504  |
|             |                | FTAX | Genere                     | documentazione allegata                                     |
|             |                | FTAP | Tipo                       | foto digitale   |
|             |                | FTAF | Formato                    | jpeg  |
|             |                | FTAM | Titolo/didasalia           | area di survey dalla strada                                 |
|             |                | FTAA | Autore                     | Manca di Mores, Giuseppina                                  |
|             |                | FTAD | Riferimento cronologico    | 27/07/2022  |
|             |                | FTAT | Note                       | Rif. relazione tav. VIII, fig. 4                            |
|             | FTA            |      | DOCUMENTAZIONE FOTOGRAFICA |   |
|             |                | FTAN | Codice identificativo      | UR0505  |
|             |                | FTAX | Genere                     | documentazione allegata                                     |
|             |                | FTAP | Tipo                       | foto digitale   |
|             |                | FTAF | Formato                    | jpeg  |
|             |                | FTAM | Titolo/didasalia           | area di survey sull'altro lato della strada                 |
|             |                | FTAA | Autore                     | Manca di Mores, Giuseppina                                  |
|             |                | FTAD | Riferimento cronologico    | 27/07/2022  |
|             |                | FTAT | Note                       | Rif. relazione tav. VIII, fig. 5                            |
|             | FTA            |      | DOCUMENTAZIONE FOTOGRAFICA |   |
|             |                | FTAN | Codice identificativo      | UR0506  |
|             |                | FTAX | Genere                     | documentazione allegata                                     |
|             |                | FTAP | Tipo                       | foto digitale   |
|             |                | FTAF | Formato                    | jpeg  |
|             |                | FTAM | Titolo/didasalia           | area di survey sull'altro lato della strada - visuale ampia |
|             |                | FTAA | Autore                     | Manca di Mores, Giuseppina                                  |
|             |                | FTAD | Riferimento cronologico    | 27/07/2022  |
|             |                | FTAT | Note                       | Rif. relazione tav. VIII, fig. 6                            |
| <b>UR06</b> | <b>TAV. IX</b> |      |                            |   |
| RE          |                |      | INDAGINI                   |   |
|             | RCG            |      | RICOGNIZIONE ARCHEOLOGICA  |   |
|             |                | RCGV | Denominazione ricognizione | <b>UR06 - WTG 4</b>   |
|             |                | RCGD | Riferimento cronologico    | 19/08/2022  |

|    |     |      |                               |   |
|----|-----|------|-------------------------------|---|
|    |     | RCGT | Situazione ambientale         | Area pianeggiante con vegetazione secca falciata; solo lungo i bordi della strada sono presenti cespugli e macchioni. Visibilità alta. Non sono state rilevate evidenze archeologiche |
|    |     | RCGE | Motivo                        | verifica preventiva   |
|    |     | RCGM | Metodo                        | sistematico   |
|    |     | RCGR | Ente responsabile             | SABAP SS E NU   |
|    |     | RCGA | Responsabile scientifico      | Manca di Mores, Giuseppina  |
|    |     | RCGZ | Note                          |   |
| GE |     |      | GEOREFERENZIAZIONE            |   |
|    | GEL |      | Tipo di localizzazione        | localizzazione fisica   |
|    | GET |      | Tipo di georeferenziazione    | georeferenziazione puntuale   |
|    | GEP |      | Sistema di riferimento        | WGS84   |
|    | GEC |      | COORDINATE                    |   |
|    |     | GECX | Coordinata x                  | 8.730594  |
|    |     | GECY | Coordinata y                  | 40.810536   |
|    |     | GECS | Note                          | inizio UR   |
|    |     | GECX | Coordinata x                  | 8.728312  |
|    |     | GECY | Coordinata y                  | 40.811082   |
|    |     | GECS | Note                          | fine UR   |
|    | GPT |      | Tecnica di georeferenziazione | rilievo tramite GPS   |
|    | GPM |      | Metodo di posizionamento      | posizionamento esatto   |
|    | FTA |      | DOCUMENTAZIONE FOTOGRAFICA    |   |
|    |     | FTAN | Codice identificativo         | UR0601  |
|    |     | FTAX | Genere                        | documentazione allegata   |
|    |     | FTAP | Tipo                          | foto digitale   |
|    |     | FTAF | Formato                       | jpeg  |
|    |     | FTAM | Titolo/didascalia             | veduta generale dell'area oggetto di indagine   |
|    |     | FTAA | Autore                        | Manca di Mores, Giuseppina  |
|    |     | FTAD | Riferimento cronologico       | 19/08/2022  |
|    |     | FTAT | Note                          | Rif. relazione tav. IX, fig. 1  |
|    | FTA |      | DOCUMENTAZIONE FOTOGRAFICA    |   |
|    |     | FTAN | Codice identificativo         | UR0602  |
|    |     | FTAX | Genere                        | documentazione allegata   |
|    |     | FTAP | Tipo                          | foto digitale   |
|    |     | FTAF | Formato                       | jpeg  |
|    |     | FTAM | Titolo/didascalia             | dettaglio delle condizioni del terreno  |
|    |     | FTAA | Autore                        | Manca di Mores, Giuseppina  |
|    |     | FTAD | Riferimento cronologico       | 19/08/2022  |
|    |     | FTAT | Note                          | Rif. relazione tav. IX, fig. 2  |

| FTA         |               | DOCUMENTAZIONE FOTOGRAFICA |                                |
|-------------|---------------|----------------------------|--------------------------------|
|             | FTAN          | Codice identificativo      | UR0603                         |
|             | FTAX          | Genere                     | documentazione allegata        |
|             | FTAP          | Tipo                       | foto digitale                  |
|             | FTAF          | Formato                    | jpeg                           |
|             | FTAM          | Titolo/didascalia          | viabilità di accesso all'area  |
|             | FTAA          | Autore                     | Manca di Mores, Giuseppina     |
|             | FTAD          | Riferimento cronologico    | 19/08/2022                     |
|             | FTAT          | Note                       | Rif. relazione tav. IX, fig. 3 |
| FTA         |               | DOCUMENTAZIONE FOTOGRAFICA |                                |
|             | FTAN          | Codice identificativo      | UR0604                         |
|             | FTAX          | Genere                     | documentazione allegata        |
|             | FTAP          | Tipo                       | foto digitale                  |
|             | FTAF          | Formato                    | jpeg                           |
|             | FTAM          | Titolo/didascalia          | veduta degli impianti          |
|             | FTAA          | Autore                     | Manca di Mores, Giuseppina     |
|             | FTAD          | Riferimento cronologico    | 19/08/2022                     |
|             | FTAT          | Note                       | Rif. relazione tav. IX, fig. 4 |
| FTA         |               | DOCUMENTAZIONE FOTOGRAFICA |                                |
|             | FTAN          | Codice identificativo      | UR0605                         |
|             | FTAX          | Genere                     | documentazione allegata        |
|             | FTAP          | Tipo                       | foto digitale                  |
|             | FTAF          | Formato                    | jpeg                           |
|             | FTAM          | Titolo/didascalia          | aree di survey                 |
|             | FTAA          | Autore                     | Manca di Mores, Giuseppina     |
|             | FTAD          | Riferimento cronologico    | 19/08/2022                     |
|             | FTAT          | Note                       | Rif. relazione tav. IX, fig. 5 |
| FTA         |               | DOCUMENTAZIONE FOTOGRAFICA |                                |
|             | FTAN          | Codice identificativo      | UR0606                         |
|             | FTAX          | Genere                     | documentazione allegata        |
|             | FTAP          | Tipo                       | foto digitale                  |
|             | FTAF          | Formato                    | jpeg                           |
|             | FTAM          | Titolo/didascalia          | aree di survey                 |
|             | FTAA          | Autore                     | Manca di Mores, Giuseppina     |
|             | FTAD          | Riferimento cronologico    | 19/08/2022                     |
|             | FTAT          | Note                       | Rif. relazione tav. IX, fig. 6 |
| <b>UR07</b> | <b>TAV. X</b> |                            |                                |
| RE          |               | INDAGINI                   |                                |

|    | RCG |      | RICOGNIZIONE ARCHEOLOGICA     |   |
|----|-----|------|-------------------------------|---|
|    |     | RCGV | Denominazione ricognizione    | <b>UR07 - WTG 13</b>  |
|    |     | RCGD | Riferimento cronologico       | 19/08/2022  |
|    |     | RCGT | Situazione ambientale         | Terreno pianeggiante o in leggero pendio con foraggio falciato e presenza di bovini al pascolo. Vegetazione di cardi e altre infestanti secca, in alcune parti alta, in altre falciata, non troppo fitta. L'area di installazione del WTG si trova oltre il leggero rilievo sormontato da un macchione al cui interno presenti pietroni, forse di possibile antichità ma decontestualizzati e non meglio definibili, insieme a elementi di roccia madre affiorante. Oltre l'altura si estende l'area oggetto di survey, coperta da foraggere falciate. Visibilità complessivamente media. Non sono state rilevate evidenze archeologiche. A circa 75 m NE è presente il N.ghe Cannas. |
|    |     | RCGE | Motivo                        | verifica preventiva   |
|    |     | RCGM | Metodo                        | sistematico   |
|    |     | RCGR | Ente responsabile             | SABAP SS E NU   |
|    |     | RCGA | Responsabile scientifico      | Manca di Mores, Giuseppina  |
|    |     | RCGZ | Note                          |   |
| GE |     |      | GEOREFERENZIAZIONE            |   |
|    | GEL |      | Tipo di localizzazione        | localizzazione fisica   |
|    | GET |      | Tipo di georeferenziazione    | georeferenziazione puntuale   |
|    | GEP |      | Sistema di riferimento        | WGS84   |
|    | GEC |      | COORDINATE                    |   |
|    |     | GECX | Coordinata x                  | 8.740067  |
|    |     | GECY | Coordinata y                  | 40.848703   |
|    |     | GECS | Note                          | inizio UR   |
|    |     | GECX | Coordinata x                  | 8.738984  |
|    |     | GECY | Coordinata y                  | 40.850268   |
|    |     | GECS | Note                          | fine UR   |
|    | GPT |      | Tecnica di georeferenziazione | rilievo tramite GPS   |
|    | GPM |      | Metodo di posizionamento      | posizionamento esatto   |
|    | FTA |      | DOCUMENTAZIONE FOTOGRAFICA    |   |
|    |     | FTAN | Codice identificativo         | UR0701  |
|    |     | FTAX | Genere                        | documentazione allegata   |
|    |     | FTAP | Tipo                          | foto digitale   |
|    |     | FTAF | Formato                       | jpeg  |
|    |     | FTAM | Titolo/didascalia             | accesso al percorso   |
|    |     | FTAA | Autore                        | Manca di Mores, Giuseppina  |
|    |     | FTAD | Riferimento cronologico       | 28/07/2022  |

|  |     |      |                            |   |
|--|-----|------|----------------------------|---|
|  |     | FTAT | Note                       | Rif. relazione tav. X, fig. 1                                 |
|  | FTA |      | DOCUMENTAZIONE FOTOGRAFICA |   |
|  |     | FTAN | Codice identificativo      | UR0702  |
|  |     | FTAX | Genere                     | documentazione allegata                                       |
|  |     | FTAP | Tipo                       | foto digitale   |
|  |     | FTAF | Formato                    | jpeg  |
|  |     | FTAM | Titolo/didascalia          | salita verso l'altura sormontata da vegetazione               |
|  |     | FTAA | Autore                     | Manca di Mores, Giuseppina                                    |
|  |     | FTAD | Riferimento cronologico    | 28/07/2022  |
|  |     | FTAT | Note                       | Rif. relazione tav. X, fig. 2                                 |
|  | FTA |      | DOCUMENTAZIONE FOTOGRAFICA |   |
|  |     | FTAN | Codice identificativo      | UR0703  |
|  |     | FTAX | Genere                     | documentazione allegata                                       |
|  |     | FTAP | Tipo                       | foto digitale   |
|  |     | FTAF | Formato                    | jpeg  |
|  |     | FTAM | Titolo/didascalia          | sommità dell'altura coperta da vegetazione                    |
|  |     | FTAA | Autore                     | Manca di Mores, Giuseppina                                    |
|  |     | FTAD | Riferimento cronologico    | 28/07/2022  |
|  |     | FTAT | Note                       | Rif. relazione tav. X, fig. 3                                 |
|  | FTA |      | DOCUMENTAZIONE FOTOGRAFICA |   |
|  |     | FTAN | Codice identificativo      | UR0704  |
|  |     | FTAX | Genere                     | documentazione allegata                                       |
|  |     | FTAP | Tipo                       | foto digitale   |
|  |     | FTAF | Formato                    | jpeg  |
|  |     | FTAM | Titolo/didascalia          | veduta generale e survey dell'area dell'installazione del WTG |
|  |     | FTAA | Autore                     | Manca di Mores, Giuseppina                                    |
|  |     | FTAD | Riferimento cronologico    | 28/07/2022  |
|  |     | FTAT | Note                       | Rif. relazione tav. X, fig. 4                                 |
|  | FTA |      | DOCUMENTAZIONE FOTOGRAFICA |   |
|  |     | FTAN | Codice identificativo      | UR0705  |
|  |     | FTAX | Genere                     | documentazione allegata                                       |
|  |     | FTAP | Tipo                       | foto digitale   |
|  |     | FTAF | Formato                    | jpeg  |
|  |     | FTAM | Titolo/didascalia          | prosecuzione del survey                                       |
|  |     | FTAA | Autore                     | Manca di Mores, Giuseppina                                    |
|  |     | FTAD | Riferimento cronologico    | 28/07/2022  |
|  |     | FTAT | Note                       | Rif. relazione tav. X, fig. 5                                 |

|             |                |      |   |
|-------------|----------------|------|---|
| <b>UR08</b> | <b>TAV. XI</b> |      |   |
| RE          |                |      | INDAGINI  |
|             | RCG            |      | RICOGNIZIONE ARCHEOLOGICA   |
|             |                | RCGV | Denominazione ricognizione  |
|             |                |      | <b>UR08 - WTG 14</b>  |
|             |                | RCGD | Riferimento cronologico   |
|             |                |      | 28/07/2022  |
|             |                | RCGT | Situazione ambientale   |
|             |                |      | Terreno pianeggiante o in qualche tratto in leggero declivio coperto da cardi e altre infestanti secche. Visibilità al suolo bassa. All'ingresso del cancello, fuori dall'area del 200 m, dal quale si diparte un viottolo che porta al WTG, si evidenziano numerose pietre di grandi dimensioni, di possibile antichità, decontestualizzate. Non sono state rilevate evidenze archeologiche. I monumenti più prossimi, scientificamente documentati, sono il nuraghe Piantasi, non ancora ben definibile per via della fitta vegetazione, a m 240 circa in direzione NE, e il nuraghe S'Arza, ugualmente poco definibile, a m 305 circa in direzione SW. |
|             |                | RCGE | Motivo  |
|             |                |      | verifica preventiva   |
|             |                | RCGM | Metodo  |
|             |                |      | sistematico   |
|             |                | RCGR | Ente responsabile   |
|             |                |      | SABAP SS E NU   |
|             |                | RCGA | Responsabile scientifico  |
|             |                |      | Manca di Mores, Giuseppina  |
|             |                | RCGZ | Note  |
| GE          |                |      | GEOREFERENZIAZIONE  |
|             | GEL            |      | Tipo di localizzazione  |
|             |                |      | localizzazione fisica   |
|             | GET            |      | Tipo di georeferenziazione  |
|             |                |      | georeferenziazione puntuale   |
|             | GEP            |      | Sistema di riferimento  |
|             |                |      | WGS84   |
|             | GEC            |      | COORDINATE  |
|             |                | GECX | Coordinata x  |
|             |                |      | 8.751179  |
|             |                | GECY | Coordinata y  |
|             |                |      | 40.839424   |
|             |                | GECS | Note  |
|             |                |      | inizio UR   |
|             |                | GECX | Coordinata x  |
|             |                |      | 8.753332  |
|             |                | GECY | Coordinata y  |
|             |                |      | 40.840138   |
|             |                | GECS | Note  |
|             |                |      | fine UR   |
|             | GPT            |      | Tecnica di georeferenziazione   |
|             |                |      | rilievo tramite GPS   |
|             | GPM            |      | Metodo di posizionamento  |
|             |                |      | posizionamento esatto   |
|             | FTA            |      | DOCUMENTAZIONE FOTOGRAFICA  |
|             |                | FTAN | Codice identificativo   |
|             |                |      | UR0801  |
|             |                | FTAX | Genere  |
|             |                |      | documentazione allegata   |
|             |                | FTAP | Tipo  |
|             |                |      | foto digitale   |
|             |                | FTAF | Formato   |
|             |                |      | jpeg  |



|     |      |                            |   |
|-----|------|----------------------------|---|
|     | FTAM | Titolo/didascalia          | accesso all'area di survey  |
|     | FTAA | Autore                     | Manca di Mores, Giuseppina  |
|     | FTAD | Riferimento cronologico    | 28/07/2022  |
|     | FTAT | Note                       | Rif. relazione tav. XI, fig. 1  |
| FTA |      | DOCUMENTAZIONE FOTOGRAFICA |   |
|     | FTAN | Codice identificativo      | UR0802  |
|     | FTAX | Genere                     | documentazione allegata   |
|     | FTAP | Tipo                       | foto digitale   |
|     | FTAF | Formato                    | jpeg  |
|     | FTAM | Titolo/didascalia          | prosecuzione survey   |
|     | FTAA | Autore                     | Manca di Mores, Giuseppina  |
|     | FTAD | Riferimento cronologico    | 28/07/2022  |
|     | FTAT | Note                       | Rif. relazione tav. XI, fig. 2  |
| FTA |      | DOCUMENTAZIONE FOTOGRAFICA |   |
|     | FTAN | Codice identificativo      | UR0803  |
|     | FTAX | Genere                     | documentazione allegata   |
|     | FTAP | Tipo                       | foto digitale   |
|     | FTAF | Formato                    | jpeg  |
|     | FTAM | Titolo/didascalia          | prosecuzione survey verso il punto di installazione dell'aerogeneratore |
|     | FTAA | Autore                     | Manca di Mores, Giuseppina  |
|     | FTAD | Riferimento cronologico    | 28/07/2022  |
|     | FTAT | Note                       | Rif. relazione tav. XI, fig. 3  |
| FTA |      | DOCUMENTAZIONE FOTOGRAFICA |   |
|     | FTAN | Codice identificativo      | UR0804  |
|     | FTAX | Genere                     | documentazione allegata   |
|     | FTAP | Tipo                       | foto digitale   |
|     | FTAF | Formato                    | jpeg  |
|     | FTAM | Titolo/didascalia          | area di installazione dell'aerogeneratore                               |
|     | FTAA | Autore                     | Manca di Mores, Giuseppina  |
|     | FTAD | Riferimento cronologico    | 28/07/2022  |
|     | FTAT | Note                       | Rif. relazione tav. XI, fig. 4  |
| FTA |      | DOCUMENTAZIONE FOTOGRAFICA |   |
|     | FTAN | Codice identificativo      | UR0805  |
|     | FTAX | Genere                     | documentazione allegata   |
|     | FTAP | Tipo                       | foto digitale   |
|     | FTAF | Formato                    | jpeg  |
|     | FTAM | Titolo/didascalia          | survey area di installazione dell'aerogeneratore                        |
|     | FTAA | Autore                     | Manca di Mores, Giuseppina  |

|             |                 |      |                            |   |
|-------------|-----------------|------|----------------------------|---|
|             |                 | FTAD | Riferimento cronologico    | 28/07/2022  |
|             |                 | FTAT | Note                       | Rif. relazione tav. XI, fig. 5  |
|             | FTA             |      | DOCUMENTAZIONE FOTOGRAFICA |   |
|             |                 | FTAN | Codice identificativo      | UR0806  |
|             |                 | FTAX | Genere                     | documentazione allegata   |
|             |                 | FTAP | Tipo                       | foto digitale   |
|             |                 | FTAF | Formato                    | jpeg  |
|             |                 | FTAM | Titolo/didascalia          | pietre di grandi dimensioni nella recinzione della fattoria all'ingresso dell'area  |
|             |                 | FTAA | Autore                     | Manca di Mores, Giuseppina  |
|             |                 | FTAD | Riferimento cronologico    | 28/07/2022  |
|             |                 | FTAT | Note                       | Rif. relazione tav. XI, fig. 6  |
| <b>UR09</b> | <b>TAV. XII</b> |      |                            |   |
| RE          |                 |      | INDAGINI                   |   |
|             | RCG             |      | RICOGNIZIONE ARCHEOLOGICA  |   |
|             |                 | RCGV | Denominazione ricognizione | <b>UR09 - WTG 7</b>   |
|             |                 | RCGD | Riferimento cronologico    | 28/07/2022  |
|             |                 | RCGT | Situazione ambientale      | L'aerogeneratore è ubicato al limite della strada. Nell'area di intervento sono presenti cumuli di spietramento coperti in parte da vegetazione arbustiva. A E l'area è attraversata da un muretto a secco con vegetazione arbustiva e rovi. Il terreno, con foraggiere non troppo fitte, consente una visibilità complessivamente media. Non sono state rilevate evidenze archeologiche. Il monumento più prossimo, scientificamente documentato, è il nuraghe Elighe Entosu a circa m 120 in direzione SSW. |
|             |                 | RCGE | Motivo                     | verifica preventiva   |
|             |                 | RCGM | Metodo                     | sistematico   |
|             |                 | RCGR | Ente responsabile          | SABAP SS E NU   |
|             |                 | RCGA | Responsabile scientifico   | Manca di Mores, Giuseppina  |
|             |                 | RCGZ | Note                       |   |
| GE          |                 |      | GEOREFERENZIAZIONE         |   |
|             | GEL             |      | Tipo di localizzazione     | localizzazione fisica   |
|             | GET             |      | Tipo di georeferenziazione | georeferenziazione puntuale   |
|             | GEP             |      | Sistema di riferimento     | WGS84   |
|             | GEC             |      | COORDINATE                 |   |
|             |                 | GECX | Coordinata x               | 8.749558  |
|             |                 | GECY | Coordinata y               | 40.823600   |
|             |                 | GECS | Note                       | inizio UR   |

|     |      |                               |   |
|-----|------|-------------------------------|---|
|     | GECX | Coordinata x                  | 8.747476  |
|     | GECY | Coordinata y                  | 40.822774   |
|     | GECS | Note                          | fine UR   |
| GPT |      | Tecnica di georeferenziazione | rilievo tramite GPS   |
| GPM |      | Metodo di posizionamento      | posizionamento esatto   |
| FTA |      | DOCUMENTAZIONE FOTOGRAFICA    |   |
|     | FTAN | Codice identificativo         | UR0901  |
|     | FTAX | Genere                        | documentazione allegata   |
|     | FTAP | Tipo                          | foto digitale   |
|     | FTAF | Formato                       | jpeg  |
|     | FTAM | Titolo/didascalia             | strada di accesso all'area di survey  |
|     | FTAA | Autore                        | Manca di Mores, Giuseppina  |
|     | FTAD | Riferimento cronologico       | 28/07/2022  |
|     | FTAT | Note                          | Rif. relazione tav. XII, fig. 1   |
| FTA |      | DOCUMENTAZIONE FOTOGRAFICA    |   |
|     | FTAN | Codice identificativo         | UR0902  |
|     | FTAX | Genere                        | documentazione allegata   |
|     | FTAP | Tipo                          | foto digitale   |
|     | FTAF | Formato                       | jpeg  |
|     | FTAM | Titolo/didascalia             | area di installazione dell'aerogeneratore                                       |
|     | FTAA | Autore                        | Manca di Mores, Giuseppina  |
|     | FTAD | Riferimento cronologico       | 28/07/2022  |
|     | FTAT | Note                          | Rif. relazione tav. XII, fig. 2   |
| FTA |      | DOCUMENTAZIONE FOTOGRAFICA    |   |
|     | FTAN | Codice identificativo         | UR0903  |
|     | FTAX | Genere                        | documentazione allegata   |
|     | FTAP | Tipo                          | foto digitale   |
|     | FTAF | Formato                       | jpeg  |
|     | FTAM | Titolo/didascalia             | area di installazione dell'aerogeneratore - dettaglio della visibilità al suolo |
|     | FTAA | Autore                        | Manca di Mores, Giuseppina  |
|     | FTAD | Riferimento cronologico       | 28/07/2022  |
|     | FTAT | Note                          | Rif. relazione tav. XII, fig. 3   |
| FTA |      | DOCUMENTAZIONE FOTOGRAFICA    |   |
|     | FTAN | Codice identificativo         | UR0904  |
|     | FTAX | Genere                        | documentazione allegata   |
|     | FTAP | Tipo                          | foto digitale   |
|     | FTAF | Formato                       | jpeg  |
|     | FTAM | Titolo/didascalia             | area di installazione aerogeneratore - veduta generale                          |

|             |                  |      |                            |  |
|-------------|------------------|------|----------------------------|--|
|             |                  | FTAA | Autore                     | Manca di Mores, Giuseppina                       |
|             |                  | FTAD | Riferimento cronologico    | 28/07/2022                                       |
|             |                  | FTAT | Note                       | Rif. relazione tav. XII, fig. 4                  |
|             | FTA              |      | DOCUMENTAZIONE FOTOGRAFICA |  |
|             |                  | FTAN | Codice identificativo      | UR0905   |
|             |                  | FTAX | Genere                     | documentazione allegata                          |
|             |                  | FTAP | Tipo                       | foto digitale                                    |
|             |                  | FTAF | Formato                    | jpeg   |
|             |                  | FTAM | Titolo/didascalia          | area installazione - veduta generale di contesto |
|             |                  | FTAA | Autore                     | Manca di Mores, Giuseppina                       |
|             |                  | FTAD | Riferimento cronologico    | 28/07/2022                                       |
|             |                  | FTAT | Note                       | Rif. relazione tav. XII, fig. 5                  |
|             | FTA              |      | DOCUMENTAZIONE FOTOGRAFICA |  |
|             |                  | FTAN | Codice identificativo      | UR0906   |
|             |                  | FTAX | Genere                     | documentazione allegata                          |
|             |                  | FTAP | Tipo                       | foto digitale                                    |
|             |                  | FTAF | Formato                    | jpeg   |
|             |                  | FTAM | Titolo/didascalia          | area di survey - veduta generale e fabbricati    |
|             |                  | FTAA | Autore                     | Manca di Mores, Giuseppina                       |
|             |                  | FTAD | Riferimento cronologico    | 28/07/2022                                       |
|             |                  | FTAT | Note                       | Rif. relazione tav. XII, fig. 6                  |
| <b>UR10</b> | <b>TAV. XIII</b> |      |                            |  |
| RE          |                  |      | INDAGINI                   |  |
|             | RCG              |      | RICOGNIZIONE ARCHEOLOGICA  |  |
|             |                  | RCGV | Denominazione ricognizione | <b>UR10 - WTG 12</b>                             |
|             |                  | RCGD | Riferimento cronologico    | 28/07/2022                                       |

|    |     |      |                               |   |
|----|-----|------|-------------------------------|---|
|    |     | RCGT | Situazione ambientale         | Sulla destra della strada, attraverso un cancello di proprietà privata, si procede lungo un viottolo in un terreno in leggero declivio coperto da vegetazione secca di foraggere, cardi e altre infestanti. Sulla destra del viottolo è ubicata l'area di installazione del WTG. La visibilità è complessivamente media. In fondo al viottolo, una struttura con adiacente un recinto per il ricovero di materiali legati alle attività agricole, di fattura moderna. Intorno sono presenti pietre di grandi dimensioni. In particolare, sulla sinistra del viottolo, si evidenziano tratti di roccia madre e di massi di grandi dimensioni con segni di cava (incassi circolari e rettangolari e linee di frattura della pietra). Sull'altro lato della strada, oltrepassando un cancello rudimentale, si apprezza un'area di spietramento intorno ad alcuni pietroni di grandi dimensioni. I monumenti più prossimi, scientificamente documentati, sono il nuraghe Ena Longa, forse del tipo a corridoio, a m 220 circa in direzione NE, e il nuraghe Cobelciada, del quale si coglie la complessità strutturale, a m 375 circa in direzione WNW. |
|    |     | RCGE | Motivo                        | verifica preventiva   |
|    |     | RCGM | Metodo                        | sistematico   |
|    |     | RCGR | Ente responsabile             | SABAP SS E NU   |
|    |     | RCGA | Responsabile scientifico      | Manca di Mores, Giuseppina  |
|    |     | RCGZ | Note                          |   |
| GE |     |      | GEOREFERENZIAZIONE            |   |
|    | GEL |      | Tipo di localizzazione        | localizzazione fisica   |
|    | GET |      | Tipo di georeferenziazione    | georeferenziazione puntuale   |
|    | GEP |      | Sistema di riferimento        | WGS84   |
|    | GEC |      | COORDINATE                    |   |
|    |     | GECX | Coordinata x                  | 8.750362  |
|    |     | GECY | Coordinata y                  | 40.808072   |
|    |     | GECS | Note                          | inizio UR   |
|    |     | GECX | Coordinata x                  | 8.752384  |
|    |     | GECY | Coordinata y                  | 40.808955   |
|    |     | GECS | Note                          | fine UR   |
|    | GPT |      | Tecnica di georeferenziazione | rilievo tramite GPS   |
|    | GPM |      | Metodo di posizionamento      | posizionamento esatto   |
|    | FTA |      | DOCUMENTAZIONE FOTOGRAFICA    |   |
|    |     | FTAN | Codice identificativo         | UR1001  |
|    |     | FTAX | Genere                        | documentazione allegata   |
|    |     | FTAP | Tipo                          | foto digitale   |

|  |     |      |                            |  |
|--|-----|------|----------------------------|--|
|  |     | FTAF | Formato                    | jpeg   |
|  |     | FTAM | Titolo/didascalia          | area dell'aerogeneratore oltre il cancello della proprietà privata |
|  |     | FTAA | Autore                     | Manca di Mores, Giuseppina   |
|  |     | FTAD | Riferimento cronologico    | 28/07/2022   |
|  |     | FTAT | Note                       | Rif. relazione tav. XIII, fig. 1                                   |
|  | FTA |      | DOCUMENTAZIONE FOTOGRAFICA |  |
|  |     | FTAN | Codice identificativo      | UR1002   |
|  |     | FTAX | Genere                     | documentazione allegata  |
|  |     | FTAP | Tipo                       | foto digitale  |
|  |     | FTAF | Formato                    | jpeg   |
|  |     | FTAM | Titolo/didascalia          | area di cava   |
|  |     | FTAA | Autore                     | Manca di Mores, Giuseppina   |
|  |     | FTAD | Riferimento cronologico    | 28/07/2022   |
|  |     | FTAT | Note                       | Rif. relazione tav. XIII, fig. 2                                   |
|  | FTA |      | DOCUMENTAZIONE FOTOGRAFICA |  |
|  |     | FTAN | Codice identificativo      | UR1003   |
|  |     | FTAX | Genere                     | documentazione allegata  |
|  |     | FTAP | Tipo                       | foto digitale  |
|  |     | FTAF | Formato                    | jpeg   |
|  |     | FTAM | Titolo/didascalia          | dettaglio area di cava   |
|  |     | FTAA | Autore                     | Manca di Mores, Giuseppina   |
|  |     | FTAD | Riferimento cronologico    | 28/07/2022   |
|  |     | FTAT | Note                       | Rif. relazione tav. XII, fig. 3                                    |
|  | FTA |      | DOCUMENTAZIONE FOTOGRAFICA |  |
|  |     | FTAN | Codice identificativo      | UR1004   |
|  |     | FTAX | Genere                     | documentazione allegata  |
|  |     | FTAP | Tipo                       | foto digitale  |
|  |     | FTAF | Formato                    | jpeg   |
|  |     | FTAM | Titolo/didascalia          | sentiero verso la recinzione della struttura agricola di ricovero  |
|  |     | FTAA | Autore                     | Manca di Mores, Giuseppina   |
|  |     | FTAD | Riferimento cronologico    | 28/07/2022   |
|  |     | FTAT | Note                       | Rif. relazione tav. XIII, fig. 4                                   |
|  | FTA |      | DOCUMENTAZIONE FOTOGRAFICA |  |
|  |     | FTAN | Codice identificativo      | UR1005   |
|  |     | FTAX | Genere                     | documentazione allegata  |
|  |     | FTAP | Tipo                       | foto digitale  |
|  |     | FTAF | Formato                    | jpeg   |

|             |                 |      |                            |  |
|-------------|-----------------|------|----------------------------|--|
|             |                 | FTAM | Titolo/didascalia          | dettaglio nucleo di cava con fori e linee di distacco  |
|             |                 | FTAA | Autore                     | Manca di Mores, Giuseppina   |
|             |                 | FTAD | Riferimento cronologico    | 28/07/2022   |
|             |                 | FTAT | Note                       | Rif. relazione tav. XIII, fig. 5   |
|             | FTA             |      | DOCUMENTAZIONE FOTOGRAFICA |  |
|             |                 | FTAN | Codice identificativo      | UR1006   |
|             |                 | FTAX | Genere                     | documentazione allegata  |
|             |                 | FTAP | Tipo                       | foto digitale  |
|             |                 | FTAF | Formato                    | jpeg   |
|             |                 | FTAM | Titolo/didascalia          | area di survey sull'altro lato della strada: pietrame  |
|             |                 | FTAA | Autore                     | Manca di Mores, Giuseppina   |
|             |                 | FTAD | Riferimento cronologico    | 28/07/2022   |
|             |                 | FTAT | Note                       | Rif. relazione tav. XIII, fig. 6   |
| <b>UR11</b> | <b>TAV. XIV</b> |      |                            |  |
| RE          |                 |      | INDAGINI                   |  |
|             | RCG             |      | RICOGNIZIONE ARCHEOLOGICA  |  |
|             |                 | RCGV | Denominazione ricognizione | <b>UR11 - WTG 15</b>   |
|             |                 | RCGD | Riferimento cronologico    | 28/07/2022   |
|             |                 | RCGT | Situazione ambientale      | All'ingresso dello stradino sterrato che conduce all'area oggetto di interesse si evidenziano i resti di un selciato (in particolare sul lato sinistro) di possibile antichità ma non definibile cronologicamente. Procedendo verso l'area oggetto di interesse, la vegetazione si fa molto fitta e composta soprattutto da macchia mediterranea. Ciò nonostante, dei tratti di sentieri e radura facilitano in qualche modo l'accesso, altrimenti difficoltoso. L'ubicazione del WTG è in corrispondenza di un grande albero. L'area è divisa a metà da un muretto a secco oltre il quale l'area pianeggiante è occupata da vegetazione erbacea secca. Complessivamente la visibilità può definirsi bassa. I monumenti più prossimi, scientificamente documentati, sono il nuraghe Columbus, non ben definibile per via della fitta vegetazione, ma articolato, a m 130 circa in direzione W, e il nuraghe Su Ludosu, che si fonde con una casa colonica e del quale si coglie la complessità strutturale, a m 250 circa in direzione SE. |
|             |                 | RCGE | Motivo                     | verifica preventiva  |
|             |                 | RCGM | Metodo                     | sistematico  |
|             |                 | RCGR | Ente responsabile          | SABAP SS E NU  |
|             |                 | RCGA | Responsabile scientifico   | Manca di Mores, Giuseppina   |



|    | RCGZ | Note                          |   |
|----|------|-------------------------------|---|
| GE |      | GEOREFERENZIAZIONE            |   |
|    | GEL  | Tipo di localizzazione        | localizzazione fisica                               |
|    | GET  | Tipo di georeferenziazione    | georeferenziazione puntuale                         |
|    | GEP  | Sistema di riferimento        | WGS84   |
|    | GEC  | COORDINATE                    |   |
|    | GECX | Coordinata x                  | 8.752184  |
|    | GECY | Coordinata y                  | 40.815020   |
|    | GECS | Note                          | inizio UR   |
|    | GECX | Coordinata x                  | 8.751318  |
|    | GECY | Coordinata y                  | 40.816683   |
|    | GECS | Note                          | fine UR   |
|    | GPT  | Tecnica di georeferenziazione | rilievo tramite GPS                                 |
|    | GPM  | Metodo di posizionamento      | posizionamento esatto                               |
|    | FTA  | DOCUMENTAZIONE FOTOGRAFICA    |   |
|    | FTAN | Codice identificativo         | UR1101  |
|    | FTAX | Genere                        | documentazione allegata                             |
|    | FTAP | Tipo                          | foto digitale                                       |
|    | FTAF | Formato                       | jpeg  |
|    | FTAM | Titolo/didascalia             | ingresso all'area - sistemazione selciato           |
|    | FTAA | Autore                        | Manca di Mores, Giuseppina                          |
|    | FTAD | Riferimento cronologico       | 28/07/2022  |
|    | FTAT | Note                          | Rif. relazione tav. XIV, fig. 1                     |
|    | FTA  | DOCUMENTAZIONE FOTOGRAFICA    |   |
|    | FTAN | Codice identificativo         | UR1102  |
|    | FTAX | Genere                        | documentazione allegata                             |
|    | FTAP | Tipo                          | foto digitale                                       |
|    | FTAF | Formato                       | jpeg  |
|    | FTAM | Titolo/didascalia             | ingresso all'area - sistemazione selciato           |
|    | FTAA | Autore                        | Manca di Mores, Giuseppina                          |
|    | FTAD | Riferimento cronologico       | 28/07/2022  |
|    | FTAT | Note                          | Rif. relazione tav. XIV, fig. 2                     |
|    | FTA  | DOCUMENTAZIONE FOTOGRAFICA    |   |
|    | FTAN | Codice identificativo         | UR1103  |
|    | FTAX | Genere                        | documentazione allegata                             |
|    | FTAP | Tipo                          | foto digitale                                       |
|    | FTAF | Formato                       | jpeg  |
|    | FTAM | Titolo/didascalia             | survey verso l'area di installazione aerogeneratore |
|    | FTAA | Autore                        | Manca di Mores, Giuseppina                          |
|    | FTAD | Riferimento cronologico       | 28/07/2022  |

|             |                |      |                            |                                 |
|-------------|----------------|------|----------------------------|---------------------------------|
|             |                | FTAT | Note                       | Rif. relazione tav. XIV, fig. 3 |
|             | FTA            |      | DOCUMENTAZIONE FOTOGRAFICA |                                 |
|             |                | FTAN | Codice identificativo      | UR1104                          |
|             |                | FTAX | Genere                     | documentazione allegata         |
|             |                | FTAP | Tipo                       | foto digitale                   |
|             |                | FTAF | Formato                    | jpeg                            |
|             |                | FTAM | Titolo/didascalia          | prosecuzione survey             |
|             |                | FTAA | Autore                     | Manca di Mores, Giuseppina      |
|             |                | FTAD | Riferimento cronologico    | 28/07/2022                      |
|             |                | FTAT | Note                       | Rif. relazione tav. XIV, fig. 4 |
|             | FTA            |      | DOCUMENTAZIONE FOTOGRAFICA |                                 |
|             |                | FTAN | Codice identificativo      | UR1105                          |
|             |                | FTAX | Genere                     | documentazione allegata         |
|             |                | FTAP | Tipo                       | foto digitale                   |
|             |                | FTAF | Formato                    | jpeg                            |
|             |                | FTAM | Titolo/didascalia          | survey - veduta di contesto     |
|             |                | FTAA | Autore                     | Manca di Mores, Giuseppina      |
|             |                | FTAD | Riferimento cronologico    | 28/07/2022                      |
|             |                | FTAT | Note                       | Rif. relazione tav. XIV, fig. 5 |
|             | FTA            |      | DOCUMENTAZIONE FOTOGRAFICA |                                 |
|             |                | FTAN | Codice identificativo      | UR1106                          |
|             |                | FTAX | Genere                     | documentazione allegata         |
|             |                | FTAP | Tipo                       | foto digitale                   |
|             |                | FTAF | Formato                    | jpeg                            |
|             |                | FTAM | Titolo/didascalia          | survey - dettaglio visibilità   |
|             |                | FTAA | Autore                     | Manca di Mores, Giuseppina      |
|             |                | FTAD | Riferimento cronologico    | 28/07/2022                      |
|             |                | FTAT | Note                       | Rif. relazione tav. XIV, fig. 6 |
| <b>UR12</b> | <b>TAV. XV</b> |      |                            |                                 |
| RE          |                |      | INDAGINI                   |                                 |
|             | RCG            |      | RICOGNIZIONE ARCHEOLOGICA  |                                 |
|             |                | RCGV | Denominazione ricognizione | <b>UR12 - WTG08</b>             |
|             |                | RCGD | Riferimento cronologico    | 05/08/2022                      |

|    |     |      |                               |  |
|----|-----|------|-------------------------------|--|
|    |     | RCGT | Situazione ambientale         | Area pianeggiante con foraggere secche e falciate, cardi e rare querce da sughero. Sulla fascia a sinistra accumuli di grandi pietre. Verso l'area del WTG alcuni cespugli, affioramenti di roccia madre e pietrame sparso. Sotto il macchione presso il WTG, alcune grandi pietre forse di possibile antichità ma completamente decontestualizzate. Visibilità media. Non sono state rilevate evidenze archeologiche. A 330 m SSE è presente il N.ghe Sesini. |
|    |     | RCGE | Motivo                        | verifica preventiva  |
|    |     | RCGM | Metodo                        | sistematico  |
|    |     | RCGR | Ente responsabile             | SABAP SS E NU  |
|    |     | RCGA | Responsabile scientifico      | Manca di Mores, Giuseppina   |
|    |     | RCGZ | Note                          |  |
| GE |     |      | GEOREFERENZIAZIONE            |  |
|    | GEL |      | Tipo di localizzazione        | localizzazione fisica  |
|    | GET |      | Tipo di georeferenziazione    | georeferenziazione puntuale  |
|    | GEP |      | Sistema di riferimento        | WGS84  |
|    | GEC |      | COORDINATE                    |  |
|    |     | GECX | Coordinata x                  | 8.733174   |
|    |     | GECY | Coordinata y                  | 40.860575  |
|    |     | GECS | Note                          | inizio UR  |
|    |     | GECX | Coordinata x                  | 8.733925   |
|    |     | GECY | Coordinata y                  | 40.862260  |
|    |     | GECS | Note                          | fine UR  |
|    | GPT |      | Tecnica di georeferenziazione | rilievo tramite GPS  |
|    | GPM |      | Metodo di posizionamento      | posizionamento esatto  |
|    | FTA |      | DOCUMENTAZIONE FOTOGRAFICA    |  |
|    |     | FTAN | Codice identificativo         | UR1201   |
|    |     | FTAX | Genere                        | documentazione allegata  |
|    |     | FTAP | Tipo                          | foto digitale  |
|    |     | FTAF | Formato                       | jpeg   |
|    |     | FTAM | Titolo/didascalia             | survey nell'area del WTG   |
|    |     | FTAA | Autore                        | Manca di Mores, Giuseppina   |
|    |     | FTAD | Riferimento cronologico       | 05/08/2022   |
|    |     | FTAT | Note                          | Rif. relazione tav. XV, fig. 1   |
|    | FTA |      | DOCUMENTAZIONE FOTOGRAFICA    |  |
|    |     | FTAN | Codice identificativo         | UR1202   |
|    |     | FTAX | Genere                        | documentazione allegata  |
|    |     | FTAP | Tipo                          | foto digitale  |
|    |     | FTAF | Formato                       | jpeg   |

|     |      |                            |   |
|-----|------|----------------------------|---|
|     | FTAM | Titolo/didascalia          | dettaglio della vegetazione ad alto fusto               |
|     | FTAA | Autore                     | Manca di Mores, Giuseppina                              |
|     | FTAD | Riferimento cronologico    | 05/08/2022  |
|     | FTAT | Note                       | Rif. relazione tav. XV, fig. 2                          |
| FTA |      | DOCUMENTAZIONE FOTOGRAFICA |   |
|     | FTAN | Codice identificativo      | UR1203  |
|     | FTAX | Genere                     | documentazione allegata                                 |
|     | FTAP | Tipo                       | foto digitale   |
|     | FTAF | Formato                    | jpeg  |
|     | FTAM | Titolo/didascalia          | survey presso l'accumulo di pietrame                    |
|     | FTAA | Autore                     | Manca di Mores, Giuseppina                              |
|     | FTAD | Riferimento cronologico    | 05/08/2022  |
|     | FTAT | Note                       | Rif. relazione tav. XV, fig. 3                          |
| FTA |      | DOCUMENTAZIONE FOTOGRAFICA |   |
|     | FTAN | Codice identificativo      | UR1204  |
|     | FTAX | Genere                     | documentazione allegata                                 |
|     | FTAP | Tipo                       | foto digitale   |
|     | FTAF | Formato                    | jpeg  |
|     | FTAM | Titolo/didascalia          | dettaglio della condizione di visibilità dei suoli      |
|     | FTAA | Autore                     | Manca di Mores, Giuseppina                              |
|     | FTAD | Riferimento cronologico    | 05/08/2022  |
|     | FTAT | Note                       | Rif. relazione tav. XV, fig. 4                          |
| FTA |      | DOCUMENTAZIONE FOTOGRAFICA |   |
|     | FTAN | Codice identificativo      | UR1205  |
|     | FTAX | Genere                     | documentazione allegata                                 |
|     | FTAP | Tipo                       | foto digitale   |
|     | FTAF | Formato                    | jpeg  |
|     | FTAM | Titolo/didascalia          | pietre di grandi dimensioni all'interno di un macchione |
|     | FTAA | Autore                     | Manca di Mores, Giuseppina                              |
|     | FTAD | Riferimento cronologico    | 05/08/2022  |
|     | FTAT | Note                       | Rif. relazione tav. XV, fig. 5                          |
| FTA |      | DOCUMENTAZIONE FOTOGRAFICA |   |
|     | FTAN | Codice identificativo      | UR1206  |
|     | FTAX | Genere                     | documentazione allegata                                 |
|     | FTAP | Tipo                       | foto digitale   |
|     | FTAF | Formato                    | jpeg  |
|     | FTAM | Titolo/didascalia          | dettaglio pietrame di grandi dimensioni                 |
|     | FTAA | Autore                     | Manca di Mores, Giuseppina                              |
|     | FTAD | Riferimento cronologico    | 05/08/2022  |

|             | FTAT            | Note                          | Rif. relazione tav. XV, fig. 6   |
|-------------|-----------------|-------------------------------|--|
| <b>UR13</b> | <b>TAV. XVI</b> |                               |  |
| RE          |                 | INDAGINI                      |  |
|             | RCG             | RICOGNIZIONE ARCHEOLOGICA     |  |
|             | RCGV            | Denominazione ricognizione    | <b>UR13</b>  |
|             | RCGD            | Riferimento cronologico       | 05/08/2022   |
|             | RCGT            | Situazione ambientale         | Tracciato del cavidotto lungo il sentiero. Ai lati, vegetazione arbustiva e cespugliata, con presenza di pietrame sparso e affioramento di roccia madre. Nell'area sono presenti strutture di ricovero per bestiame. Procedendo lungo il tracciato del cavidotto, si apprezza la medesima situazione ambientale con cespugli e arbusti mediamente fitti. Visibilità media. Sul sentiero, tracce di una sistemazione stradale di possibile antichità ma non definibile cronologicamente, insieme ad affioramenti di roccia madre, seguiti da una sistemazione moderna. A 290 m SSE è presente il N.ghe Sesini |
|             | RCGE            | Motivo                        | verifica preventiva  |
|             | RCGM            | Metodo                        | sistematico  |
|             | RCGR            | Ente responsabile             | SABAP SS E NU  |
|             | RCGA            | Responsabile scientifico      | Manca di Mores, Giuseppina   |
|             | RCGZ            | Note                          |  |
| GE          |                 | GEOREFERENZIAZIONE            |  |
|             | GEL             | Tipo di localizzazione        | localizzazione fisica  |
|             | GET             | Tipo di georeferenziazione    | georeferenziazione puntuale  |
|             | GEP             | Sistema di riferimento        | WGS84  |
|             | GEC             | COORDINATE                    |  |
|             | GECX            | Coordinata x                  | 8.731357   |
|             | GECY            | Coordinata y                  | 40.858509  |
|             | GECS            | Note                          | inizio UR  |
|             | GECX            | Coordinata x                  | 8.730017   |
|             | GECY            | Coordinata y                  | 40.857034  |
|             | GECS            | Note                          | fine UR  |
|             | GPT             | Tecnica di georeferenziazione | rilievo tramite GPS  |
|             | GPM             | Metodo di posizionamento      | posizionamento esatto  |
|             | FTA             | DOCUMENTAZIONE FOTOGRAFICA    |  |
|             | FTAN            | Codice identificativo         | UR1301   |
|             | FTAX            | Genere                        | documentazione allegata  |
|             | FTAP            | Tipo                          | foto digitale  |
|             | FTAF            | Formato                       | jpeg   |

|     |      |                            |   |
|-----|------|----------------------------|---|
|     | FTAM | Titolo/didascalia          | viabilità di accesso all'area             |
|     | FTAA | Autore                     | Manca di Mores, Giuseppina                |
|     | FTAD | Riferimento cronologico    | 05/08/2022                                |
|     | FTAT | Note                       | Rif. relazione tav. XVI, fig. 1           |
| FTA |      | DOCUMENTAZIONE FOTOGRAFICA |   |
|     | FTAN | Codice identificativo      | UR1302                                    |
|     | FTAX | Genere                     | documentazione allegata                   |
|     | FTAP | Tipo                       | foto digitale                             |
|     | FTAF | Formato                    | jpeg                                      |
|     | FTAM | Titolo/didascalia          | viabilità di accesso all'area             |
|     | FTAA | Autore                     | Manca di Mores, Giuseppina                |
|     | FTAD | Riferimento cronologico    | 05/08/2022                                |
|     | FTAT | Note                       | Rif. relazione tav. XVI, fig. 2           |
| FTA |      | DOCUMENTAZIONE FOTOGRAFICA |   |
|     | FTAN | Codice identificativo      | UR1303                                    |
|     | FTAX | Genere                     | documentazione allegata                   |
|     | FTAP | Tipo                       | foto digitale                             |
|     | FTAF | Formato                    | jpeg                                      |
|     | FTAM | Titolo/didascalia          | vegetazione arborea e pietrame affiorante |
|     | FTAA | Autore                     | Manca di Mores, Giuseppina                |
|     | FTAD | Riferimento cronologico    | 05/08/2022                                |
|     | FTAT | Note                       | Rif. relazione tav. XVI, fig. 3           |
| FTA |      | DOCUMENTAZIONE FOTOGRAFICA |   |
|     | FTAN | Codice identificativo      | UR1304                                    |
|     | FTAX | Genere                     | documentazione allegata                   |
|     | FTAP | Tipo                       | foto digitale                             |
|     | FTAF | Formato                    | jpeg                                      |
|     | FTAM | Titolo/didascalia          | area WTG                                  |
|     | FTAA | Autore                     | Manca di Mores, Giuseppina                |
|     | FTAD | Riferimento cronologico    | 05/08/2022                                |
|     | FTAT | Note                       | Rif. relazione tav. XVI, fig. 4           |
| FTA |      | DOCUMENTAZIONE FOTOGRAFICA |   |
|     | FTAN | Codice identificativo      | UR1305                                    |
|     | FTAX | Genere                     | documentazione allegata                   |
|     | FTAP | Tipo                       | foto digitale                             |
|     | FTAF | Formato                    | jpeg                                      |
|     | FTAM | Titolo/didascalia          | sistemazione fondo stradale               |
|     | FTAA | Autore                     | Manca di Mores, Giuseppina                |
|     | FTAD | Riferimento cronologico    | 05/08/2022                                |

|             |                  |      |                               |  |
|-------------|------------------|------|-------------------------------|--|
|             |                  | FTAT | Note                          | Rif. relazione tav. XVI, fig. 5  |
|             | FTA              |      | DOCUMENTAZIONE FOTOGRAFICA    |  |
|             |                  | FTAN | Codice identificativo         | UR1306   |
|             |                  | FTAX | Genere                        | documentazione allegata  |
|             |                  | FTAP | Tipo                          | foto digitale  |
|             |                  | FTAF | Formato                       | jpeg   |
|             |                  | FTAM | Titolo/didascalia             | area WTG   |
|             |                  | FTAA | Autore                        | Manca di Mores, Giuseppina   |
|             |                  | FTAD | Riferimento cronologico       | 05/08/2022   |
|             |                  | FTAT | Note                          | Rif. relazione tav. XVI, fig. 6  |
| <b>UR14</b> | <b>TAV. XVII</b> |      |                               |  |
| RE          |                  |      | INDAGINI                      |  |
|             | RCG              |      | RICOGNIZIONE ARCHEOLOGICA     |  |
|             |                  | RCGV | Denominazione ricognizione    | <b>UR14 - WTG 9</b>  |
|             |                  | RCGD | Riferimento cronologico       | 05/08/2022   |
|             |                  | RCGT | Situazione ambientale         | Ai lati del sentiero di accesso all'area vegetazione fitta, arbustiva. Oltre questa fascia, il terreno è coperto da vegetazione alta, secca, con cardi e rovi, su fondo pietroso. Anche se nello spiazzo dell'aerogeneratore la vegetazione è bassa, e sul terreno affiora la roccia madre, la visibilità è complessivamente da ritenersi bassa. Non sono state rilevate evidenze archeologiche. Alla distanza di oltre 275 m è ubicato il N.ghe Sesini. |
|             |                  | RCGE | Motivo                        | verifica preventiva  |
|             |                  | RCGM | Metodo                        | sistematico  |
|             |                  | RCGR | Ente responsabile             | SABAP SS E NU  |
|             |                  | RCGA | Responsabile scientifico      | Manca di Mores, Giuseppina   |
|             |                  | RCGZ | Note                          |  |
| GE          |                  |      | GEOREFERENZIAZIONE            |  |
|             | GEL              |      | Tipo di localizzazione        | localizzazione fisica  |
|             | GET              |      | Tipo di georeferenziazione    | georeferenziazione puntuale  |
|             | GEP              |      | Sistema di riferimento        | WGS84  |
|             | GEC              |      | COORDINATE                    |  |
|             |                  | GECX | Coordinata x                  | 8.731351   |
|             |                  | GECY | Coordinata y                  | 40.858501  |
|             |                  | GECS | Note                          | inizio UR  |
|             |                  | GECX | Coordinata x                  | 8.730089   |
|             |                  | GECY | Coordinata y                  | 40.856993  |
|             |                  | GECS | Note                          | fine UR  |
|             | GPT              |      | Tecnica di georeferenziazione | rilievo tramite GPS  |



| GPM |      | Metodo di posizionamento   | posizionamento esatto                              |
|-----|------|----------------------------|--|
| FTA |      | DOCUMENTAZIONE FOTOGRAFICA |  |
|     | FTAN | Codice identificativo      | UR1401   |
|     | FTAX | Genere                     | documentazione allegata                            |
|     | FTAP | Tipo                       | foto digitale                                      |
|     | FTAF | Formato                    | jpeg   |
|     | FTAM | Titolo/didascalia          | viabilità di accesso al WTG                        |
|     | FTAA | Autore                     | Manca di Mores, Giuseppina                         |
|     | FTAD | Riferimento cronologico    | 05/08/2022   |
|     | FTAT | Note                       | Rif. relazione tav. XVII, fig. 1                   |
| FTA |      | DOCUMENTAZIONE FOTOGRAFICA |  |
|     | FTAN | Codice identificativo      | UR1402   |
|     | FTAX | Genere                     | documentazione allegata                            |
|     | FTAP | Tipo                       | foto digitale                                      |
|     | FTAF | Formato                    | jpeg   |
|     | FTAM | Titolo/didascalia          | viabilità di accesso al WTG                        |
|     | FTAA | Autore                     | Manca di Mores, Giuseppina                         |
|     | FTAD | Riferimento cronologico    | 05/08/2022   |
|     | FTAT | Note                       | Rif. relazione tav. XVII, fig. 2                   |
| FTA |      | DOCUMENTAZIONE FOTOGRAFICA |  |
|     | FTAN | Codice identificativo      | UR1403   |
|     | FTAX | Genere                     | documentazione allegata                            |
|     | FTAP | Tipo                       | foto digitale                                      |
|     | FTAF | Formato                    | jpeg   |
|     | FTAM | Titolo/didascalia          | area survey WTG                                    |
|     | FTAA | Autore                     | Manca di Mores, Giuseppina                         |
|     | FTAD | Riferimento cronologico    | 05/08/2022   |
|     | FTAT | Note                       | Rif. relazione tav. XVII, fig. 3                   |
| FTA |      | DOCUMENTAZIONE FOTOGRAFICA |  |
|     | FTAN | Codice identificativo      | UR1404   |
|     | FTAX | Genere                     | documentazione allegata                            |
|     | FTAP | Tipo                       | foto digitale                                      |
|     | FTAF | Formato                    | jpeg   |
|     | FTAM | Titolo/didascalia          | dettaglio della condizione di visibilità dei suoli |
|     | FTAA | Autore                     | Manca di Mores, Giuseppina                         |
|     | FTAD | Riferimento cronologico    | 05/08/2022   |
|     | FTAT | Note                       | Rif. relazione tav. XVII, fig. 4                   |
| FTA |      | DOCUMENTAZIONE FOTOGRAFICA |  |

|             |                   |      |                            |   |
|-------------|-------------------|------|----------------------------|---|
|             |                   | FTAN | Codice identificativo      | UR1405  |
|             |                   | FTAX | Genere                     | documentazione allegata   |
|             |                   | FTAP | Tipo                       | foto digitale   |
|             |                   | FTAF | Formato                    | jpeg  |
|             |                   | FTAM | Titolo/didascalia          | area survey WTG   |
|             |                   | FTAA | Autore                     | Manca di Mores, Giuseppina  |
|             |                   | FTAD | Riferimento cronologico    | 05/08/2022  |
|             |                   | FTAT | Note                       | Rif. relazione tav. XVII, fig. 5  |
|             | FTA               |      | DOCUMENTAZIONE FOTOGRAFICA |   |
|             |                   | FTAN | Codice identificativo      | UR1406  |
|             |                   | FTAX | Genere                     | documentazione allegata   |
|             |                   | FTAP | Tipo                       | foto digitale   |
|             |                   | FTAF | Formato                    | jpeg  |
|             |                   | FTAM | Titolo/didascalia          | piazzola WTG  |
|             |                   | FTAA | Autore                     | Manca di Mores, Giuseppina  |
|             |                   | FTAD | Riferimento cronologico    | 05/08/2022  |
|             |                   | FTAT | Note                       | Rif. relazione tav. XVII, fig. 6  |
| <b>UR15</b> | <b>TAV. XVIII</b> |      |                            |   |
| RE          |                   |      | INDAGINI                   |   |
|             | RCG               |      | RICOGNIZIONE ARCHEOLOGICA  |   |
|             |                   | RCGV | Denominazione ricognizione | <b>UR15</b>   |
|             |                   | RCGD | Riferimento cronologico    | 05/08/2022  |
|             |                   | RCGT | Situazione ambientale      | Ai lati del sentiero di accesso, terreno pianeggiante con foraggiere falciate. Vegetazione arborea rada, con querce da sughero. all'area vegetazione fitta, arbustiva. Visibilità alta. Non sono state rilevate evidenze archeologiche. Alla distanza di circa 250 m in direzione NE è ubicato il N.ghe Sesini. |
|             |                   | RCGE | Motivo                     | verifica preventiva   |
|             |                   | RCGM | Metodo                     | sistematico   |
|             |                   | RCGR | Ente responsabile          | SABAP SS E NU   |
|             |                   | RCGA | Responsabile scientifico   | Manca di Mores, Giuseppina  |
|             |                   | RCGZ | Note                       |   |
| GE          |                   |      | GEOREFERENZIAZIONE         |   |
|             | GEL               |      | Tipo di localizzazione     | localizzazione fisica   |
|             | GET               |      | Tipo di georeferenziazione | georeferenziazione puntuale   |
|             | GEP               |      | Sistema di riferimento     | WGS84   |
|             | GEC               |      | COORDINATE                 |   |
|             | GECX              |      | Coordinata x               | 8.731623  |

|  |      |                               |   |
|--|------|-------------------------------|---|
|  | GECY | Coordinata y                  | 40.857205                               |
|  | GECS | Note                          | inizio UR                               |
|  | GECX | Coordinata x                  | 8.733522                                |
|  | GECY | Coordinata y                  | 40.856578                               |
|  | GECS | Note                          | fine UR                                 |
|  | GPT  | Tecnica di georeferenziazione | rilievo tramite GPS                     |
|  | GPM  | Metodo di posizionamento      | posizionamento esatto                   |
|  | FTA  | DOCUMENTAZIONE FOTOGRAFICA    |   |
|  | FTAN | Codice identificativo         | UR1501                                  |
|  | FTAX | Genere                        | documentazione allegata                 |
|  | FTAP | Tipo                          | foto digitale                           |
|  | FTAF | Formato                       | jpeg                                    |
|  | FTAM | Titolo/didascalia             | accesso all'area di survey              |
|  | FTAA | Autore                        | Manca di Mores, Giuseppina              |
|  | FTAD | Riferimento cronologico       | 05/08/2022                              |
|  | FTAT | Note                          | Rif. relazione tav. XVI, fig. 1         |
|  | FTA  | DOCUMENTAZIONE FOTOGRAFICA    |   |
|  | FTAN | Codice identificativo         | UR1502                                  |
|  | FTAX | Genere                        | documentazione allegata                 |
|  | FTAP | Tipo                          | foto digitale                           |
|  | FTAF | Formato                       | jpeg                                    |
|  | FTAM | Titolo/didascalia             | aree di survey sul lato sx della strada |
|  | FTAA | Autore                        | Manca di Mores, Giuseppina              |
|  | FTAD | Riferimento cronologico       | 05/08/2022                              |
|  | FTAT | Note                          | Rif. relazione tav. XVIII, fig. 2       |
|  | FTA  | DOCUMENTAZIONE FOTOGRAFICA    |   |
|  | FTAN | Codice identificativo         | UR1503                                  |
|  | FTAX | Genere                        | documentazione allegata                 |
|  | FTAP | Tipo                          | foto digitale                           |
|  | FTAF | Formato                       | jpeg                                    |
|  | FTAM | Titolo/didascalia             | dettaglio survey e visibilità dei suoli |
|  | FTAA | Autore                        | Manca di Mores, Giuseppina              |
|  | FTAD | Riferimento cronologico       | 05/08/2022                              |
|  | FTAT | Note                          | Rif. relazione tav. XVIII, fig. 3       |
|  | FTA  | DOCUMENTAZIONE FOTOGRAFICA    |   |
|  | FTAN | Codice identificativo         | UR1504                                  |
|  | FTAX | Genere                        | documentazione allegata                 |
|  | FTAP | Tipo                          | foto digitale                           |
|  | FTAF | Formato                       | jpeg                                    |

|             |                 |      |                            |   |
|-------------|-----------------|------|----------------------------|---|
|             |                 | FTAM | Titolo/didascalia          | area di survey  |
|             |                 | FTAA | Autore                     | Manca di Mores, Giuseppina  |
|             |                 | FTAD | Riferimento cronologico    | 05/08/2022  |
|             |                 | FTAT | Note                       | Rif. relazione tav. XVIII, fig. 4   |
|             | FTA             |      | DOCUMENTAZIONE FOTOGRAFICA |   |
|             |                 | FTAN | Codice identificativo      | UR1505  |
|             |                 | FTAX | Genere                     | documentazione allegata   |
|             |                 | FTAP | Tipo                       | foto digitale   |
|             |                 | FTAF | Formato                    | jpeg  |
|             |                 | FTAM | Titolo/didascalia          | veduta di contesto degli impianti   |
|             |                 | FTAA | Autore                     | Manca di Mores, Giuseppina  |
|             |                 | FTAD | Riferimento cronologico    | 05/08/2022  |
|             |                 | FTAT | Note                       | Rif. relazione tav. XVIII, fig. 5   |
|             | FTA             |      | DOCUMENTAZIONE FOTOGRAFICA |   |
|             |                 | FTAN | Codice identificativo      | UR1506  |
|             |                 | FTAX | Genere                     | documentazione allegata   |
|             |                 | FTAP | Tipo                       | foto digitale   |
|             |                 | FTAF | Formato                    | jpeg  |
|             |                 | FTAM | Titolo/didascalia          | area di survey  |
|             |                 | FTAA | Autore                     | Manca di Mores, Giuseppina  |
|             |                 | FTAD | Riferimento cronologico    | 05/08/2022  |
|             |                 | FTAT | Note                       | Rif. relazione tav. XVIII, fig. 6   |
| <b>UR16</b> | <b>TAV. XIX</b> |      |                            |   |
| RE          |                 |      | INDAGINI                   |   |
|             | RCG             |      | RICOGNIZIONE ARCHEOLOGICA  |   |
|             |                 | RCGV | Denominazione ricognizione | <b>UR16</b>   |
|             |                 | RCGD | Riferimento cronologico    | 05/08/2022  |
|             |                 | RCGT | Situazione ambientale      | Tracciato del cavidotto. Ai lati della strada, in parte tagliata nella roccia madre, vegetazione arbustiva con cespugli e rovi. Nella fascia a sx forte dislivello, in quella destra terreni pianeggianti. La visibilità è complessivamente bassa. Non sono state rilevate evidenze archeologiche. Alla distanza di circa 210m NNE è ubicato il N.ghe Sesini. |
|             |                 | RCGE | Motivo                     | verifica preventiva   |
|             |                 | RCGM | Metodo                     | sistematico   |
|             |                 | RCGR | Ente responsabile          | SABAP SS E NU   |
|             |                 | RCGA | Responsabile scientifico   | Manca di Mores, Giuseppina  |
|             |                 | RCGZ | Note                       |   |

| GE |     |      | GEOREFERENZIAMENTO            |  |
|----|-----|------|-------------------------------|--|
|    | GEL |      | Tipo di localizzazione        | localizzazione fisica                    |
|    | GET |      | Tipo di georeferenziazione    | georeferenziazione puntuale              |
|    | GEP |      | Sistema di riferimento        | WGS84                                    |
|    | GEC |      | COORDINATE                    |  |
|    |     | GECX | Coordinata x                  | 8.733522                                 |
|    |     | GECY | Coordinata y                  | 40.856578                                |
|    |     | GECS | Note                          | inizio UR                                |
|    |     | GECX | Coordinata x                  | 8.733284                                 |
|    |     | GECY | Coordinata y                  | 40.855212                                |
|    |     | GECS | Note                          | fine UR                                  |
|    | GPT |      | Tecnica di georeferenziazione | rilievo tramite GPS                      |
|    | GPM |      | Metodo di posizionamento      | posizionamento esatto                    |
|    | FTA |      | DOCUMENTAZIONE FOTOGRAFICA    |  |
|    |     | FTAN | Codice identificativo         | UR1601                                   |
|    |     | FTAX | Genere                        | documentazione allegata                  |
|    |     | FTAP | Tipo                          | foto digitale                            |
|    |     | FTAF | Formato                       | jpeg                                     |
|    |     | FTAM | Titolo/didascalia             | accesso area survey                      |
|    |     | FTAA | Autore                        | Manca di Mores, Giuseppina               |
|    |     | FTAD | Riferimento cronologico       | 05/08/2022                               |
|    |     | FTAT | Note                          | Rif. relazione tav. XIX, fig. 1          |
|    | FTA |      | DOCUMENTAZIONE FOTOGRAFICA    |  |
|    |     | FTAN | Codice identificativo         | UR1602                                   |
|    |     | FTAX | Genere                        | documentazione allegata                  |
|    |     | FTAP | Tipo                          | foto digitale                            |
|    |     | FTAF | Formato                       | jpeg                                     |
|    |     | FTAM | Titolo/didascalia             | vegetazione coprente nell'area di survey |
|    |     | FTAA | Autore                        | Manca di Mores, Giuseppina               |
|    |     | FTAD | Riferimento cronologico       | 05/08/2022                               |
|    |     | FTAT | Note                          | Rif. relazione tav. XIX, fig. 2          |
|    | FTA |      | DOCUMENTAZIONE FOTOGRAFICA    |  |
|    |     | FTAN | Codice identificativo         | UR1603                                   |
|    |     | FTAX | Genere                        | documentazione allegata                  |
|    |     | FTAP | Tipo                          | foto digitale                            |
|    |     | FTAF | Formato                       | jpeg                                     |
|    |     | FTAM | Titolo/didascalia             | tracciato cavidotto su viabilità         |
|    |     | FTAA | Autore                        | Manca di Mores, Giuseppina               |
|    |     | FTAD | Riferimento cronologico       | 05/08/2022                               |
|    |     | FTAT | Note                          | Rif. relazione tav. XIX, fig. 3          |

|             |                |      |                            |  |
|-------------|----------------|------|----------------------------|--|
|             | FTA            |      | DOCUMENTAZIONE FOTOGRAFICA |  |
|             |                | FTAN | Codice identificativo      | UR1604   |
|             |                | FTAX | Genere                     | documentazione allegata                            |
|             |                | FTAP | Tipo                       | foto digitale                                      |
|             |                | FTAF | Formato                    | jpeg   |
|             |                | FTAM | Titolo/didasalia           | dettaglio della condizione di visibilità dei suoli |
|             |                | FTAA | Autore                     | Manca di Mores, Giuseppina                         |
|             |                | FTAD | Riferimento cronologico    | 05/08/2022   |
|             |                | FTAT | Note                       | Rif. relazione tav. XIX, fig. 4                    |
|             | FTA            |      | DOCUMENTAZIONE FOTOGRAFICA |  |
|             |                | FTAN | Codice identificativo      | UR1605   |
|             |                | FTAX | Genere                     | documentazione allegata                            |
|             |                | FTAP | Tipo                       | foto digitale                                      |
|             |                | FTAF | Formato                    | jpeg   |
|             |                | FTAM | Titolo/didasalia           | viabilità e sponde in roccia                       |
|             |                | FTAA | Autore                     | Manca di Mores, Giuseppina                         |
|             |                | FTAD | Riferimento cronologico    | 05/08/2022   |
|             |                | FTAT | Note                       | Rif. relazione tav. XIX, fig. 5                    |
|             | FTA            |      | DOCUMENTAZIONE FOTOGRAFICA |  |
|             |                | FTAN | Codice identificativo      | UR1606   |
|             |                | FTAX | Genere                     | documentazione allegata                            |
|             |                | FTAP | Tipo                       | foto digitale                                      |
|             |                | FTAF | Formato                    | jpeg   |
|             |                | FTAM | Titolo/didasalia           | parte finale tracciato cavidotto UR16              |
|             |                | FTAA | Autore                     | Manca di Mores, Giuseppina                         |
|             |                | FTAD | Riferimento cronologico    | 05/08/2022   |
|             |                | FTAT | Note                       | Rif. relazione tav. XIX, fig. 6                    |
| <b>UR17</b> | <b>TAV. XX</b> |      |                            |  |
| RE          |                |      | INDAGINI                   |  |
|             | RCG            |      | RICOGNIZIONE ARCHEOLOGICA  |  |
|             |                | RCGV | Denominazione ricognizione | <b>UR17</b>  |
|             |                | RCGD | Riferimento cronologico    | 05/08/2022   |

|    |     |      |                               |  |
|----|-----|------|-------------------------------|--|
|    |     | RCGT | Situazione ambientale         | Tracciato del cavidotto lungo strada. Nelle fasce ai lati, terreni pianeggianti con foraggere falciate con radi cespugli e, al limite delle fasce, vegetazione arborea. Visibilità media. Non sono state rilevate evidenze archeologiche. Sul bordo di un piccolo altopiano, alla distanza in linea d'aria di ca. 260 m a SSE è ubicata la tomba di giganti di Rocca Ruja; poco più a S il N. ghe De Mesu. |
|    |     | RCGE | Motivo                        | verifica preventiva  |
|    |     | RCGM | Metodo                        | sistematico  |
|    |     | RCGR | Ente responsabile             | SABAP SS E NU  |
|    |     | RCGA | Responsabile scientifico      | Manca di Mores, Giuseppina   |
|    |     | RCGZ | Note                          |  |
| GE |     |      | GEOREFERENZIAZIONE            |  |
|    | GEL |      | Tipo di localizzazione        | localizzazione fisica  |
|    | GET |      | Tipo di georeferenziazione    | georeferenziazione puntuale  |
|    | GEP |      | Sistema di riferimento        | WGS84  |
|    | GEC |      | COORDINATE                    |  |
|    |     | GECX | Coordinata x                  | 8.733284   |
|    |     | GECY | Coordinata y                  | 40.855212  |
|    |     | GECS | Note                          | inizio UR  |
|    |     | GECX | Coordinata x                  | 8.731746   |
|    |     | GECY | Coordinata y                  | 40.853870  |
|    |     | GECS | Note                          | fine UR  |
|    | GPT |      | Tecnica di georeferenziazione | rilievo tramite GPS  |
|    | GPM |      | Metodo di posizionamento      | posizionamento esatto  |
|    | FTA |      | DOCUMENTAZIONE FOTOGRAFICA    |  |
|    |     | FTAN | Codice identificativo         | UR1701   |
|    |     | FTAX | Genere                        | documentazione allegata  |
|    |     | FTAP | Tipo                          | foto digitale  |
|    |     | FTAF | Formato                       | jpeg   |
|    |     | FTAM | Titolo/didascalia             | tracciato cavidotto su sentiero  |
|    |     | FTAA | Autore                        | Manca di Mores, Giuseppina   |
|    |     | FTAD | Riferimento cronologico       | 05/08/2022   |
|    |     | FTAT | Note                          | Rif. relazione tav. XX, fig. 1   |
|    | FTA |      | DOCUMENTAZIONE FOTOGRAFICA    |  |
|    |     | FTAN | Codice identificativo         | UR1702   |
|    |     | FTAX | Genere                        | documentazione allegata  |
|    |     | FTAP | Tipo                          | foto digitale  |
|    |     | FTAF | Formato                       | jpeg   |
|    |     | FTAM | Titolo/didascalia             | area di survey fasce 25 m  |



|     |      |                            |                                |
|-----|------|----------------------------|--------------------------------|
|     | FTAA | Autore                     | Manca di Mores, Giuseppina     |
|     | FTAD | Riferimento cronologico    | 05/08/2022                     |
|     | FTAT | Note                       | Rif. relazione tav. XX, fig. 2 |
| FTA |      | DOCUMENTAZIONE FOTOGRAFICA |                                |
|     | FTAN | Codice identificativo      | UR1703                         |
|     | FTAX | Genere                     | documentazione allegata        |
|     | FTAP | Tipo                       | foto digitale                  |
|     | FTAF | Formato                    | jpeg                           |
|     | FTAM | Titolo/didasalia           | area di survey fasce 25 m      |
|     | FTAA | Autore                     | Manca di Mores, Giuseppina     |
|     | FTAD | Riferimento cronologico    | 05/08/2022                     |
|     | FTAT | Note                       | Rif. relazione tav. XX, fig. 3 |
| FTA |      | DOCUMENTAZIONE FOTOGRAFICA |                                |
|     | FTAN | Codice identificativo      | UR1704                         |
|     | FTAX | Genere                     | documentazione allegata        |
|     | FTAP | Tipo                       | foto digitale                  |
|     | FTAF | Formato                    | jpeg                           |
|     | FTAM | Titolo/didasalia           | area di survey fasce 25 m      |
|     | FTAA | Autore                     | Manca di Mores, Giuseppina     |
|     | FTAD | Riferimento cronologico    | 05/08/2022                     |
|     | FTAT | Note                       | Rif. relazione tav. XX, fig. 4 |
| FTA |      | DOCUMENTAZIONE FOTOGRAFICA |                                |
|     | FTAN | Codice identificativo      | UR1705                         |
|     | FTAX | Genere                     | documentazione allegata        |
|     | FTAP | Tipo                       | foto digitale                  |
|     | FTAF | Formato                    | jpeg                           |
|     | FTAM | Titolo/didasalia           | dettaglio visibilità suoli     |
|     | FTAA | Autore                     | Manca di Mores, Giuseppina     |
|     | FTAD | Riferimento cronologico    | 05/08/2022                     |
|     | FTAT | Note                       | Rif. relazione tav. XX, fig. 5 |
| FTA |      | DOCUMENTAZIONE FOTOGRAFICA |                                |
|     | FTAN | Codice identificativo      | UR1706                         |
|     | FTAX | Genere                     | documentazione allegata        |
|     | FTAP | Tipo                       | foto digitale                  |
|     | FTAF | Formato                    | jpeg                           |
|     | FTAM | Titolo/didasalia           | fine UR                        |
|     | FTAA | Autore                     | Manca di Mores, Giuseppina     |
|     | FTAD | Riferimento cronologico    | 05/08/2022                     |
|     | FTAT | Note                       | Rif. relazione tav. XX, fig. 6 |

|             |                 |      |  |
|-------------|-----------------|------|--|
| <b>UR18</b> | <b>TAV. XXI</b> |      |  |
| RE          |                 |      | INDAGINI   |
|             | RCG             |      | RICOGNIZIONE ARCHEOLOGICA  |
|             |                 | RCGV | Denominazione ricognizione   |
|             |                 |      | <b>UR18</b>  |
|             |                 | RCGD | Riferimento cronologico  |
|             |                 |      | 05/08/2022   |
|             |                 | RCGT | Situazione ambientale  |
|             |                 |      | Tracciato del cavidotto. Ai lati della strada, vegetazione di cespugli e rovi, alta; subito oltre, nelle fasce, terreni pianeggianti o in leggero pendio coperti da foraggiere in parte falciate. L'UR conduce alla SP 17; sulla destra della strada, alcune pietre sparse di grandi dimensioni, non significative. Visibilità bassa. Non sono state rilevate evidenze archeologiche. Sul bordo di un piccolo altopiano, alla distanza in linea d'aria di ca. 255 m a SE è ubicata la tomba di giganti di Rocca Ruja; poco più a S il N.ghe de Mesu. |
|             |                 | RCGE | Motivo   |
|             |                 |      | verifica preventiva  |
|             |                 | RCGM | Metodo   |
|             |                 |      | sistematico  |
|             |                 | RCGR | Ente responsabile  |
|             |                 |      | SABAP SS E NU  |
|             |                 | RCGA | Responsabile scientifico   |
|             |                 |      | Manca di Mores, Giuseppina   |
|             |                 | RCGZ | Note   |
| GE          |                 |      | GEOREFERENZIAZIONE   |
|             | GEL             |      | Tipo di localizzazione   |
|             |                 |      | localizzazione fisica  |
|             | GET             |      | Tipo di georeferenziazione   |
|             |                 |      | georeferenziazione puntuale  |
|             | GEP             |      | Sistema di riferimento   |
|             |                 |      | WGS84  |
|             | GEC             |      | COORDINATE   |
|             |                 | GECX | Coordinata x   |
|             |                 |      | 8.731746   |
|             |                 | GECY | Coordinata y   |
|             |                 |      | 40.853870  |
|             |                 | GECS | Note   |
|             |                 |      | inizio UR  |
|             |                 | GECX | Coordinata x   |
|             |                 |      | 8.729587   |
|             |                 | GECY | Coordinata y   |
|             |                 |      | 40.852126  |
|             |                 | GECS | Note   |
|             |                 |      | fine UR  |
|             | GPT             |      | Tecnica di georeferenziazione  |
|             |                 |      | rilievo tramite GPS  |
|             | GPM             |      | Metodo di posizionamento   |
|             |                 |      | posizionamento esatto  |
|             | FTA             |      | DOCUMENTAZIONE FOTOGRAFICA   |
|             |                 | FTAN | Codice identificativo  |
|             |                 |      | UR1801   |
|             |                 | FTAX | Genere   |
|             |                 |      | documentazione allegata  |
|             |                 | FTAP | Tipo   |
|             |                 |      | foto digitale  |
|             |                 | FTAF | Formato  |
|             |                 |      | jpeg   |
|             |                 | FTAM | Titolo/didascalia  |
|             |                 |      | viabilità di accesso e tracciato cavidotto   |
|             |                 | FTAA | Autore   |
|             |                 |      | Manca di Mores, Giuseppina   |

|  |     |      |                            |  |
|--|-----|------|----------------------------|--|
|  |     | FTAD | Riferimento cronologico    | 05/08/2022   |
|  |     | FTAT | Note                       | Rif. relazione tav. XXI, fig. 1                              |
|  | FTA |      | DOCUMENTAZIONE FOTOGRAFICA |  |
|  |     | FTAN | Codice identificativo      | UR8302   |
|  |     | FTAX | Genere                     | documentazione allegata                                      |
|  |     | FTAP | Tipo                       | foto digitale  |
|  |     | FTAF | Formato                    | jpeg   |
|  |     | FTAM | Titolo/didascalia          | dettaglio visibilità suoli                                   |
|  |     | FTAA | Autore                     | Manca di Mores, Giuseppina                                   |
|  |     | FTAD | Riferimento cronologico    | 05/08/2022   |
|  |     | FTAT | Note                       | Rif. relazione tav. XXI, fig. 2                              |
|  | FTA |      | DOCUMENTAZIONE FOTOGRAFICA |  |
|  |     | FTAN | Codice identificativo      | UR1803   |
|  |     | FTAX | Genere                     | documentazione allegata                                      |
|  |     | FTAP | Tipo                       | foto digitale  |
|  |     | FTAF | Formato                    | jpeg   |
|  |     | FTAM | Titolo/didascalia          | prosecuzione survey tracciato cavidotto                      |
|  |     | FTAA | Autore                     | Manca di Mores, Giuseppina                                   |
|  |     | FTAD | Riferimento cronologico    | 05/08/2022   |
|  |     | FTAT | Note                       | Rif. relazione tav. XXI, fig. 3                              |
|  | FTA |      | DOCUMENTAZIONE FOTOGRAFICA |  |
|  |     | FTAN | Codice identificativo      | UR1804   |
|  |     | FTAX | Genere                     | documentazione allegata                                      |
|  |     | FTAP | Tipo                       | foto digitale  |
|  |     | FTAF | Formato                    | jpeg   |
|  |     | FTAM | Titolo/didascalia          | prosecuzione tracciato cavidotto su sentiero in campo aperto |
|  |     | FTAA | Autore                     | Manca di Mores, Giuseppina                                   |
|  |     | FTAD | Riferimento cronologico    | 05/08/2022   |
|  |     | FTAT | Note                       | Rif. relazione tav. XXI, fig. 4                              |
|  | FTA |      | DOCUMENTAZIONE FOTOGRAFICA |  |
|  |     | FTAN | Codice identificativo      | UR1805   |
|  |     | FTAX | Genere                     | documentazione allegata                                      |
|  |     | FTAP | Tipo                       | foto digitale  |
|  |     | FTAF | Formato                    | jpeg   |
|  |     | FTAM | Titolo/didascalia          | dettaglio condizioni dei suoli                               |
|  |     | FTAA | Autore                     | Manca di Mores, Giuseppina                                   |
|  |     | FTAD | Riferimento cronologico    | 05/08/2022   |
|  |     | FTAT | Note                       | Rif. relazione tav. XXI, fig. 5                              |

| FTA         |                  | DOCUMENTAZIONE FOTOGRAFICA    |   |
|-------------|------------------|-------------------------------|---|
|             | FTAN             | Codice identificativo         | UR1806  |
|             | FTAX             | Genere                        | documentazione allegata   |
|             | FTAP             | Tipo                          | foto digitale   |
|             | FTAF             | Formato                       | jpeg  |
|             | FTAM             | Titolo/didascalia             | parte finale tracciato cavidotto UR 18  |
|             | FTAA             | Autore                        | Manca di Mores, Giuseppina  |
|             | FTAD             | Riferimento cronologico       | 05/08/2022  |
|             | FTAT             | Note                          | Rif. relazione tav. XXI, fig. 6   |
| <b>UR19</b> | <b>TAV. XXII</b> |                               |   |
| RE          |                  | INDAGINI                      |   |
|             | RCG              | RICOGNIZIONE ARCHEOLOGICA     |   |
|             | RCGV             | Denominazione ricognizione    | <b>UR19</b>   |
|             | RCGD             | Riferimento cronologico       | 05/08/2022  |
|             | RCGT             | Situazione ambientale         | Tracciato del cavidotto. Ai lati della strada terreni pianeggianti o in leggero pendio, con foraggere falciate. Sulla sinistra, su un altopiano, sono visibili, alla distanza di circa 70 m in linea d'aria in direzione E, i nuraghi De Mesu con la vicina tomba di giganti di Rocca Ruja, e De Fora. Visibilità alta. Nell'area di ricognizione non sono state rilevate evidenze archeologiche. |
|             | RCGE             | Motivo                        | verifica preventiva   |
|             | RCGM             | Metodo                        | sistematico   |
|             | RCGR             | Ente responsabile             | SABAP SS E NU   |
|             | RCGA             | Responsabile scientifico      | Manca di Mores, Giuseppina  |
|             | RCGZ             | Note                          |   |
| GE          |                  | GEOREFERENZIAZIONE            |   |
|             | GEL              | Tipo di localizzazione        | localizzazione fisica   |
|             | GET              | Tipo di georeferenziazione    | georeferenziazione puntuale   |
|             | GEP              | Sistema di riferimento        | WGS84   |
|             | GEC              | COORDINATE                    |   |
|             | GECX             | Coordinata x                  | 8.729587  |
|             | GECY             | Coordinata y                  | 40.852126   |
|             | GECS             | Note                          | inizio UR   |
|             | GECX             | Coordinata x                  | 8.735303  |
|             | GECY             | Coordinata y                  | 40.845716   |
|             | GECS             | Note                          | fine UR   |
|             | GPT              | Tecnica di georeferenziazione | rilievo tramite GPS   |
|             | GPM              | Metodo di posizionamento      | posizionamento esatto   |

| FTA | DOCUMENTAZIONE FOTOGRAFICA |                         |                                  |
|-----|----------------------------|-------------------------|----------------------------------|
|     | FTAN                       | Codice identificativo   | UR1901                           |
|     | FTAX                       | Genere                  | documentazione allegata          |
|     | FTAP                       | Tipo                    | foto digitale                    |
|     | FTAF                       | Formato                 | jpeg                             |
|     | FTAM                       | Titolo/didascalia       | inizio UR - tracciato cavidotto  |
|     | FTAA                       | Autore                  | Manca di Mores, Giuseppina       |
|     | FTAD                       | Riferimento cronologico | 05/08/2022                       |
|     | FTAT                       | Note                    | Rif. relazione tav. XXII, fig. 1 |
| FTA | DOCUMENTAZIONE FOTOGRAFICA |                         |                                  |
|     | FTAN                       | Codice identificativo   | UR1902                           |
|     | FTAX                       | Genere                  | documentazione allegata          |
|     | FTAP                       | Tipo                    | foto digitale                    |
|     | FTAF                       | Formato                 | jpeg                             |
|     | FTAM                       | Titolo/didascalia       | tracciato cavidotto lungo strada |
|     | FTAA                       | Autore                  | Manca di Mores, Giuseppina       |
|     | FTAD                       | Riferimento cronologico | 05/08/2022                       |
|     | FTAT                       | Note                    | Rif. relazione tav. XXII, fig. 2 |
| FTA | DOCUMENTAZIONE FOTOGRAFICA |                         |                                  |
|     | FTAN                       | Codice identificativo   | UR1903                           |
|     | FTAX                       | Genere                  | documentazione allegata          |
|     | FTAP                       | Tipo                    | foto digitale                    |
|     | FTAF                       | Formato                 | jpeg                             |
|     | FTAM                       | Titolo/didascalia       | veduta del N.ghe De Mesu         |
|     | FTAA                       | Autore                  | Manca di Mores, Giuseppina       |
|     | FTAD                       | Riferimento cronologico | 05/08/2022                       |
|     | FTAT                       | Note                    | Rif. relazione tav. XXII, fig. 3 |
| FTA | DOCUMENTAZIONE FOTOGRAFICA |                         |                                  |
|     | FTAN                       | Codice identificativo   | UR1904                           |
|     | FTAX                       | Genere                  | documentazione allegata          |
|     | FTAP                       | Tipo                    | foto digitale                    |
|     | FTAF                       | Formato                 | jpeg                             |
|     | FTAM                       | Titolo/didascalia       | veduta del N.ghe De Fora         |
|     | FTAA                       | Autore                  | Manca di Mores, Giuseppina       |
|     | FTAD                       | Riferimento cronologico | 05/08/2022                       |
|     | FTAT                       | Note                    | Rif. relazione tav. XXII, fig. 4 |
| FTA | DOCUMENTAZIONE FOTOGRAFICA |                         |                                  |
|     | FTAN                       | Codice identificativo   | UR1905                           |

|             |                   |      |                            |  |
|-------------|-------------------|------|----------------------------|--|
|             |                   | FTAX | Genere                     | documentazione allegata  |
|             |                   | FTAP | Tipo                       | foto digitale  |
|             |                   | FTAF | Formato                    | jpeg   |
|             |                   | FTAM | Titolo/didaschia           | tracciato cavidotto lungo strada   |
|             |                   | FTAA | Autore                     | Manca di Mores, Giuseppina   |
|             |                   | FTAD | Riferimento cronologico    | 05/08/2022   |
|             |                   | FTAT | Note                       | Rif. relazione tav. XXII, fig. 5   |
|             | FTA               |      | DOCUMENTAZIONE FOTOGRAFICA |  |
|             |                   | FTAN | Codice identificativo      | UR1906   |
|             |                   | FTAX | Genere                     | documentazione allegata  |
|             |                   | FTAP | Tipo                       | foto digitale  |
|             |                   | FTAF | Formato                    | jpeg   |
|             |                   | FTAM | Titolo/didaschia           | survey fasce 25 m coassiali al tracciato   |
|             |                   | FTAA | Autore                     | Manca di Mores, Giuseppina   |
|             |                   | FTAD | Riferimento cronologico    | 05/08/2022   |
|             |                   | FTAT | Note                       | Rif. relazione tav. XXII, fig. 6   |
| <b>UR20</b> | <b>TAV. XXIII</b> |      |                            |  |
| RE          |                   |      | INDAGINI                   |  |
|             | RCG               |      | RICOGNIZIONE ARCHEOLOGICA  |  |
|             |                   | RCGV | Denominazione ricognizione | <b>UR20</b>  |
|             |                   | RCGD | Riferimento cronologico    | 05/08/2022   |
|             |                   | RCGT | Situazione ambientale      | Tracciato del cavidotto. Via Enrico Berlinguer. Oltre i lati della strada, bordati da cespugli e rovi, terreni pianeggianti o in leggero pendio, con foraggiere falciate<br>Visibilità alta. Nell'area di ricognizione non sono state rilevate evidenze archeologiche. |
|             |                   | RCGE | Motivo                     | verifica preventiva  |
|             |                   | RCGM | Metodo                     | sistematico  |
|             |                   | RCGR | Ente responsabile          | SABAP SS E NU  |
|             |                   | RCGA | Responsabile scientifico   | Manca di Mores, Giuseppina   |
|             |                   | RCGZ | Note                       |  |
| GE          |                   |      | GEOREFERENZIAZIONE         |  |
|             | GEL               |      | Tipo di localizzazione     | localizzazione fisica  |
|             | GET               |      | Tipo di georeferenziazione | georeferenziazione puntuale  |
|             | GEP               |      | Sistema di riferimento     | WGS84  |
|             | GEC               |      | COORDINATE                 |  |
|             |                   | GECX | Coordinata x               | 8.735303   |
|             |                   | GECY | Coordinata y               | 40.845716  |
|             |                   | GECS | Note                       | inizio UR  |

|     |      |                               |   |
|-----|------|-------------------------------|---|
|     | GECX | Coordinata x                  | 8.730461                                |
|     | GECY | Coordinata y                  | 40.844891                               |
|     | GECS | Note                          | fine UR                                 |
| GPT |      | Tecnica di georeferenziazione | rilievo tramite GPS                     |
| GPM |      | Metodo di posizionamento      | posizionamento esatto                   |
| FTA |      | DOCUMENTAZIONE FOTOGRAFICA    |   |
|     | FTAN | Codice identificativo         | UR2001                                  |
|     | FTAX | Genere                        | documentazione allegata                 |
|     | FTAP | Tipo                          | foto digitale                           |
|     | FTAF | Formato                       | jpeg                                    |
|     | FTAM | Titolo/didascalia             | inizio UR tracciato cavidotto           |
|     | FTAA | Autore                        | Manca di Mores, Giuseppina              |
|     | FTAD | Riferimento cronologico       | 05/08/2022                              |
|     | FTAT | Note                          | Rif. relazione tav. XXIII, fig. 1       |
| FTA |      | DOCUMENTAZIONE FOTOGRAFICA    |   |
|     | FTAN | Codice identificativo         | UR2002                                  |
|     | FTAX | Genere                        | documentazione allegata                 |
|     | FTAP | Tipo                          | foto digitale                           |
|     | FTAF | Formato                       | jpeg                                    |
|     | FTAM | Titolo/didascalia             | proseguimento tracciato su strada       |
|     | FTAA | Autore                        | Manca di Mores, Giuseppina              |
|     | FTAD | Riferimento cronologico       | 05/08/2022                              |
|     | FTAT | Note                          | Rif. relazione tav. XXIII, fig. 2       |
| FTA |      | DOCUMENTAZIONE FOTOGRAFICA    |   |
|     | FTAN | Codice identificativo         | UR2003                                  |
|     | FTAX | Genere                        | documentazione allegata                 |
|     | FTAP | Tipo                          | foto digitale                           |
|     | FTAF | Formato                       | jpeg                                    |
|     | FTAM | Titolo/didascalia             | area di survey fasce 25 m               |
|     | FTAA | Autore                        | Manca di Mores, Giuseppina              |
|     | FTAD | Riferimento cronologico       | 05/08/2022                              |
|     | FTAT | Note                          | Rif. relazione tav. XXIII, fig. 3       |
| FTA |      | DOCUMENTAZIONE FOTOGRAFICA    |   |
|     | FTAN | Codice identificativo         | UR2004                                  |
|     | FTAX | Genere                        | documentazione allegata                 |
|     | FTAP | Tipo                          | foto digitale                           |
|     | FTAF | Formato                       | jpeg                                    |
|     | FTAM | Titolo/didascalia             | tracciato su strada e survey fasce 25 m |
|     | FTAA | Autore                        | Manca di Mores, Giuseppina              |



|             |                  |      |                            |  |
|-------------|------------------|------|----------------------------|--|
|             |                  | FTAD | Riferimento cronologico    | 05/08/2022   |
|             |                  | FTAT | Note                       | Rif. relazione tav. XXIII, fig. 4  |
|             | FTA              |      | DOCUMENTAZIONE FOTOGRAFICA |  |
|             |                  | FTAN | Codice identificativo      | UR2005   |
|             |                  | FTAX | Genere                     | documentazione allegata  |
|             |                  | FTAP | Tipo                       | foto digitale  |
|             |                  | FTAF | Formato                    | jpeg   |
|             |                  | FTAM | Titolo/didascalia          | survey fasce 25 m - dettaglio visibilità dei suoli   |
|             |                  | FTAA | Autore                     | Manca di Mores, Giuseppina   |
|             |                  | FTAD | Riferimento cronologico    | 05/08/2022   |
|             |                  | FTAT | Note                       | Rif. relazione tav. XXIII, fig. 5  |
|             | FTA              |      | DOCUMENTAZIONE FOTOGRAFICA |  |
|             |                  | FTAN | Codice identificativo      | UR2006   |
|             |                  | FTAX | Genere                     | documentazione allegata  |
|             |                  | FTAP | Tipo                       | foto digitale  |
|             |                  | FTAF | Formato                    | jpeg   |
|             |                  | FTAM | Titolo/didascalia          | parte finale tracciato cavidotto UR20  |
|             |                  | FTAA | Autore                     | Manca di Mores, Giuseppina   |
|             |                  | FTAD | Riferimento cronologico    | 05/08/2022   |
|             |                  | FTAT | Note                       | Rif. relazione tav. XXIII, fig. 6  |
| <b>UR21</b> | <b>TAV. XXIV</b> |      |                            |  |
| RE          |                  |      | INDAGINI                   |  |
|             | RCG              |      | RICOGNIZIONE ARCHEOLOGICA  |  |
|             |                  | RCGV | Denominazione ricognizione | <b>UR21</b>  |
|             |                  | RCGD | Riferimento cronologico    | 05/08/2022   |
|             |                  | RCGT | Situazione ambientale      | Il tracciato del cavidotto si discosta dal sentiero sul sx e prosegue all'interno di un terreno in leggero declivio con foraggere falciate. Visibilità alta. Nell'area di ricognizione non sono state rilevate evidenze archeologiche. |
|             |                  | RCGE | Motivo                     | verifica preventiva  |
|             |                  | RCGM | Metodo                     | sistematico  |
|             |                  | RCGR | Ente responsabile          | SABAP SS E NU  |
|             |                  | RCGA | Responsabile scientifico   | Manca di Mores, Giuseppina   |
|             |                  | RCGZ | Note                       |  |
| GE          |                  |      | GEOREFERENZIAZIONE         |  |
|             | GEL              |      | Tipo di localizzazione     | localizzazione fisica  |
|             | GET              |      | Tipo di georeferenziazione | georeferenziazione puntuale  |

|  |     |      |                               |                                  |
|--|-----|------|-------------------------------|----------------------------------|
|  | GEP |      | Sistema di riferimento        | WGS84                            |
|  | GEC |      | COORDINATE                    |                                  |
|  |     | GECX | Coordinata x                  | 8.730461                         |
|  |     | GECY | Coordinata y                  | 40.844891                        |
|  |     | GECS | Note                          | inizio UR                        |
|  |     | GECX | Coordinata x                  | 8.729590                         |
|  |     | GECY | Coordinata y                  | 40.847178                        |
|  |     | GECS | Note                          | fine UR                          |
|  | GPT |      | Tecnica di georeferenziazione | rilievo tramite GPS              |
|  | GPM |      | Metodo di posizionamento      | posizionamento esatto            |
|  | FTA |      | DOCUMENTAZIONE FOTOGRAFICA    |                                  |
|  |     | FTAN | Codice identificativo         | UR2101                           |
|  |     | FTAX | Genere                        | documentazione allegata          |
|  |     | FTAP | Tipo                          | foto digitale                    |
|  |     | FTAF | Formato                       | jpeg                             |
|  |     | FTAM | Titolo/didascalia             | inizio UR e tracciato cavidotto  |
|  |     | FTAA | Autore                        | Manca di Mores, Giuseppina       |
|  |     | FTAD | Riferimento cronologico       | 05/08/2022                       |
|  |     | FTAT | Note                          | Rif. relazione tav. XXIV, fig. 1 |
|  | FTA |      | DOCUMENTAZIONE FOTOGRAFICA    |                                  |
|  |     | FTAN | Codice identificativo         | UR2102                           |
|  |     | FTAX | Genere                        | documentazione allegata          |
|  |     | FTAP | Tipo                          | foto digitale                    |
|  |     | FTAF | Formato                       | jpeg                             |
|  |     | FTAM | Titolo/didascalia             | area di survey                   |
|  |     | FTAA | Autore                        | Manca di Mores, Giuseppina       |
|  |     | FTAD | Riferimento cronologico       | 05/08/2022                       |
|  |     | FTAT | Note                          | Rif. relazione tav. XXIV, fig. 2 |
|  | FTA |      | DOCUMENTAZIONE FOTOGRAFICA    |                                  |
|  |     | FTAN | Codice identificativo         | UR2103                           |
|  |     | FTAX | Genere                        | documentazione allegata          |
|  |     | FTAP | Tipo                          | foto digitale                    |
|  |     | FTAF | Formato                       | jpeg                             |
|  |     | FTAM | Titolo/didascalia             | veduta area vasta di survey      |
|  |     | FTAA | Autore                        | Manca di Mores, Giuseppina       |
|  |     | FTAD | Riferimento cronologico       | 05/08/2022                       |
|  |     | FTAT | Note                          | Rif. relazione tav. XXIV, fig. 3 |
|  | FTA |      | DOCUMENTAZIONE FOTOGRAFICA    |                                  |
|  |     | FTAN | Codice identificativo         | UR2104                           |

|             |                 |      |                               |   |
|-------------|-----------------|------|-------------------------------|---|
|             |                 | FTAX | Genere                        | documentazione allegata   |
|             |                 | FTAP | Tipo                          | foto digitale   |
|             |                 | FTAF | Formato                       | jpeg  |
|             |                 | FTAM | Titolo/didascalia             | survey su tracciato e dettaglio visibilità suoli  |
|             |                 | FTAA | Autore                        | Manca di Mores, Giuseppina  |
|             |                 | FTAD | Riferimento cronologico       | 05/08/2022  |
|             |                 | FTAT | Note                          | Rif. relazione tav. XXIV, fig. 4  |
| <b>UR22</b> | <b>TAV. XXV</b> |      |                               |   |
| RE          |                 |      | INDAGINI                      |   |
|             | RCG             |      | RICOGNIZIONE ARCHEOLOGICA     |   |
|             |                 | RCGV | Denominazione ricognizione    | <b>UR22 - WTG10</b>   |
|             |                 | RCGD | Riferimento cronologico       | 05/08/2022  |
|             |                 | RCGT | Situazione ambientale         | Area dell'aerogeneratore 10. Terreno pianeggiante con foraggiere secche, in parte falciate ma a ricoprire il terreno alternate a vegetazione cespugliata di delimitazione confinaria. Presso la piazzuola del WTG è presente un cumulo di pietrame non significativo. Visibilità media. Nell'area di ricognizione non sono state rilevate evidenze archeologiche. |
|             |                 | RCGE | Motivo                        | verifica preventiva   |
|             |                 | RCGM | Metodo                        | sistematico   |
|             |                 | RCGR | Ente responsabile             | SABAP SS E NU   |
|             |                 | RCGA | Responsabile scientifico      | Manca di Mores, Giuseppina  |
|             |                 | RCGZ | Note                          |   |
| GE          |                 |      | GEOREFERENZIAZIONE            |   |
|             | GEL             |      | Tipo di localizzazione        | localizzazione fisica   |
|             | GET             |      | Tipo di georeferenziazione    | georeferenziazione puntuale   |
|             | GEP             |      | Sistema di riferimento        | WGS84   |
|             | GEC             |      | COORDINATE                    |   |
|             |                 | GECX | Coordinata x                  | 8.729590  |
|             |                 | GECY | Coordinata y                  | 40.847178   |
|             |                 | GECS | Note                          | inizio UR   |
|             |                 | GECX | Coordinata x                  | 8.730653  |
|             |                 | GECY | Coordinata y                  | 40.848803   |
|             |                 | GECS | Note                          | fine UR   |
|             | GPT             |      | Tecnica di georeferenziazione | rilievo tramite GPS   |
|             | GPM             |      | Metodo di posizionamento      | posizionamento esatto   |
|             | FTA             |      | DOCUMENTAZIONE FOTOGRAFICA    |   |
|             |                 | FTAN | Codice identificativo         | UR2201  |
|             |                 | FTAX | Genere                        | documentazione allegata   |

|  |     |      |                            |  |
|--|-----|------|----------------------------|--|
|  |     | FTAP | Tipo                       | foto digitale                                      |
|  |     | FTAF | Formato                    | jpeg   |
|  |     | FTAM | Titolo/didascalia          | accesso all'area su sentiero                       |
|  |     | FTAA | Autore                     | Manca di Mores, Giuseppina                         |
|  |     | FTAD | Riferimento cronologico    | 05/08/2022   |
|  |     | FTAT | Note                       | Rif. relazione tav. XXV, fig. 1                    |
|  | FTA |      | DOCUMENTAZIONE FOTOGRAFICA |  |
|  |     | FTAN | Codice identificativo      | UR2202   |
|  |     | FTAX | Genere                     | documentazione allegata                            |
|  |     | FTAP | Tipo                       | foto digitale                                      |
|  |     | FTAF | Formato                    | jpeg   |
|  |     | FTAM | Titolo/didascalia          | veduta di area vasta                               |
|  |     | FTAA | Autore                     | Manca di Mores, Giuseppina                         |
|  |     | FTAD | Riferimento cronologico    | 05/08/2022   |
|  |     | FTAT | Note                       | Rif. relazione tav. XXV, fig. 2                    |
|  | FTA |      | DOCUMENTAZIONE FOTOGRAFICA |  |
|  |     | FTAN | Codice identificativo      | UR2203   |
|  |     | FTAX | Genere                     | documentazione allegata                            |
|  |     | FTAP | Tipo                       | foto digitale                                      |
|  |     | FTAF | Formato                    | jpeg   |
|  |     | FTAM | Titolo/didascalia          | dettaglio della visibilità dei suoli               |
|  |     | FTAA | Autore                     | Manca di Mores, Giuseppina                         |
|  |     | FTAD | Riferimento cronologico    | 05/08/2022   |
|  |     | FTAT | Note                       | Rif. relazione tav. XXV, fig. 3                    |
|  | FTA |      | DOCUMENTAZIONE FOTOGRAFICA |  |
|  |     | FTAN | Codice identificativo      | UR2204   |
|  |     | FTAX | Genere                     | visibilità suoli area WTG                          |
|  |     | FTAP | Tipo                       | foto digitale                                      |
|  |     | FTAF | Formato                    | jpeg   |
|  |     | FTAM | Titolo/didascalia          | dettaglio della condizione di visibilità dei suoli |
|  |     | FTAA | Autore                     | Manca di Mores, Giuseppina                         |
|  |     | FTAD | Riferimento cronologico    | 05/08/2022   |
|  |     | FTAT | Note                       | Rif. relazione tav. XXV, fig. 4                    |
|  | FTA |      | DOCUMENTAZIONE FOTOGRAFICA |  |
|  |     | FTAN | Codice identificativo      | UR2205   |
|  |     | FTAX | Genere                     | documentazione allegata                            |
|  |     | FTAP | Tipo                       | foto digitale                                      |
|  |     | FTAF | Formato                    | jpeg   |
|  |     | FTAM | Titolo/didascalia          | survey area installazione WTG                      |

|             |                  |      |                            |  |
|-------------|------------------|------|----------------------------|--|
|             |                  | FTAA | Autore                     | Manca di Mores, Giuseppina   |
|             |                  | FTAD | Riferimento cronologico    | 05/08/2022   |
|             |                  | FTAT | Note                       | Rif. relazione tav. XXV, fig. 5  |
|             | FTA              |      | DOCUMENTAZIONE FOTOGRAFICA |  |
|             |                  | FTAN | Codice identificativo      | UR2206   |
|             |                  | FTAX | Genere                     | documentazione allegata  |
|             |                  | FTAP | Tipo                       | foto digitale  |
|             |                  | FTAF | Formato                    | jpeg   |
|             |                  | FTAM | Titolo/didascalia          | dettaglio accumulo pietrame di grandi dimensioni   |
|             |                  | FTAA | Autore                     | Manca di Mores, Giuseppina   |
|             |                  | FTAD | Riferimento cronologico    | 05/08/2022   |
|             |                  | FTAT | Note                       | Rif. relazione tav. XXV, fig. 6  |
| <b>UR23</b> | <b>TAV. XXVI</b> |      |                            |  |
| RE          |                  |      | INDAGINI                   |  |
|             | RCG              |      | RICOGNIZIONE ARCHEOLOGICA  |  |
|             |                  | RCGV | Denominazione ricognizione | <b>UR23</b>  |
|             |                  | RCGD | Riferimento cronologico    | 05/08/2022   |
|             |                  | RCGT | Situazione ambientale      | Tracciato del cavidotto lungo strada. Nelle fasce, terreni pianeggianti con foraggere secche, solo in parte falciate; presenza di vegetazione cespugliata sparsa; cumuli di pietrame non significativo all'interno di uno dei macchioni. Visibilità complessivamente alta. Nell'area di ricognizione non sono state rilevate evidenze archeologiche. |
|             |                  | RCGE | Motivo                     | verifica preventiva  |
|             |                  | RCGM | Metodo                     | sistematico  |
|             |                  | RCGR | Ente responsabile          | SABAP SS E NU  |
|             |                  | RCGA | Responsabile scientifico   | Manca di Mores, Giuseppina   |
|             |                  | RCGZ | Note                       |  |
| GE          |                  |      | GEOREFERENZIAZIONE         |  |
|             | GEL              |      | Tipo di localizzazione     | localizzazione fisica  |
|             | GET              |      | Tipo di georeferenziazione | georeferenziazione puntuale  |
|             | GEP              |      | Sistema di riferimento     | WGS84  |
|             | GEC              |      | COORDINATE                 |  |
|             |                  | GECX | Coordinata x               | 8.729816   |
|             |                  | GECY | Coordinata y               | 40.844741  |
|             |                  | GECS | Note                       | inizio UR  |
|             |                  | GECX | Coordinata x               | 8.727393   |
|             |                  | GECY | Coordinata y               | 40.845097  |

|  | GECS | Note                          | fine UR  |
|--|------|-------------------------------|--|
|  | GPT  | Tecnica di georeferenziazione | rilievo tramite GPS                            |
|  | GPM  | Metodo di posizionamento      | posizionamento esatto                          |
|  | FTA  | DOCUMENTAZIONE FOTOGRAFICA    |  |
|  | FTAN | Codice identificativo         | UR2301   |
|  | FTAX | Genere                        | documentazione allegata                        |
|  | FTAP | Tipo                          | foto digitale                                  |
|  | FTAF | Formato                       | jpeg   |
|  | FTAM | Titolo/didascalia             | tracciato cavidotto lungo strada               |
|  | FTAA | Autore                        | Manca di Mores, Giuseppina                     |
|  | FTAD | Riferimento cronologico       | 05/08/2022                                     |
|  | FTAT | Note                          | Rif. relazione tav. XXVI, fig. 1               |
|  | FTA  | DOCUMENTAZIONE FOTOGRAFICA    |  |
|  | FTAN | Codice identificativo         | UR2302   |
|  | FTAX | Genere                        | documentazione allegata                        |
|  | FTAP | Tipo                          | foto digitale                                  |
|  | FTAF | Formato                       | jpeg   |
|  | FTAM | Titolo/didascalia             | proseguimento tracciato cavidotto lungo strada |
|  | FTAA | Autore                        | Manca di Mores, Giuseppina                     |
|  | FTAD | Riferimento cronologico       | 05/08/2022                                     |
|  | FTAT | Note                          | Rif. relazione tav. XXVI, fig. 2               |
|  | FTA  | DOCUMENTAZIONE FOTOGRAFICA    |  |
|  | FTAN | Codice identificativo         | UR2303   |
|  | FTAX | Genere                        | documentazione allegata                        |
|  | FTAP | Tipo                          | foto digitale                                  |
|  | FTAF | Formato                       | jpeg   |
|  | FTAM | Titolo/didascalia             | proseguimento tracciato cavidotto su sentiero  |
|  | FTAA | Autore                        | Manca di Mores, Giuseppina                     |
|  | FTAD | Riferimento cronologico       | 05/08/2022                                     |
|  | FTAT | Note                          | Rif. relazione tav. XXVI, fig. 3               |
|  | FTA  | DOCUMENTAZIONE FOTOGRAFICA    |  |
|  | FTAN | Codice identificativo         | UR2304   |
|  | FTAX | Genere                        | documentazione allegata                        |
|  | FTAP | Tipo                          | foto digitale                                  |
|  | FTAF | Formato                       | jpeg   |
|  | FTAM | Titolo/didascalia             | tracciato cavidotto in campo aperto            |
|  | FTAA | Autore                        | Manca di Mores, Giuseppina                     |
|  | FTAD | Riferimento cronologico       | 05/08/2022                                     |
|  | FTAT | Note                          | Rif. relazione tav. XXVI, fig. 4               |

|             |                   |      |   |
|-------------|-------------------|------|---|
|             | FTA               |      | DOCUMENTAZIONE FOTOGRAFICA  |
|             |                   | FTAN | Codice identificativo<br>UR2305   |
|             |                   | FTAX | Genere<br>documentazione allegata   |
|             |                   | FTAP | Tipo<br>foto digitale   |
|             |                   | FTAF | Formato<br>jpeg   |
|             |                   | FTAM | Titolo/didascalia<br>dettaglio visibilità dei suoli e pietrame affiorante   |
|             |                   | FTAA | Autore<br>Manca di Mores, Giuseppina  |
|             |                   | FTAD | Riferimento cronologico<br>05/08/2022   |
|             |                   | FTAT | Note<br>Rif. relazione tav. XXVI, fig. 5  |
|             | FTA               |      | DOCUMENTAZIONE FOTOGRAFICA  |
|             |                   | FTAN | Codice identificativo<br>UR2306   |
|             |                   | FTAX | Genere<br>documentazione allegata   |
|             |                   | FTAP | Tipo<br>foto digitale   |
|             |                   | FTAF | Formato<br>jpeg   |
|             |                   | FTAM | Titolo/didascalia<br>survey pietre affioranti presso un macchione   |
|             |                   | FTAA | Autore<br>Manca di Mores, Giuseppina  |
|             |                   | FTAD | Riferimento cronologico<br>05/08/2022   |
|             |                   | FTAT | Note<br>Rif. relazione tav. XXVI, fig. 6  |
| <b>UR24</b> | <b>TAV. XXVII</b> |      |   |
| RE          |                   |      | INDAGINI  |
|             | RCG               |      | RICOGNIZIONE ARCHEOLOGICA   |
|             |                   | RCGV | Denominazione ricognizione<br><b>UR24 - WTG1</b>  |
|             |                   | RCGD | Riferimento cronologico<br>05/08/2022   |
|             |                   | RCGT | Situazione ambientale<br>Area dell'aerogeneratore. Terreno pianeggiante coltivato a foraggiere falciate. In prossimità di un macchione, pietre di grandi dimensioni forse di possibile antichità ma decontestualizzate. Visibilità complessivamente alta. Nell'area di ricognizione non sono state rilevate evidenze archeologiche. |
|             |                   | RCGE | Motivo<br>verifica preventiva   |
|             |                   | RCGM | Metodo<br>sistematico   |
|             |                   | RCGR | Ente responsabile<br>SABAP SS E NU  |
|             |                   | RCGA | Responsabile scientifico<br>Manca di Mores, Giuseppina  |
|             |                   | RCGZ | Note  |
| GE          |                   |      | GEOREFERENZIAZIONE  |
|             | GEL               |      | Tipo di localizzazione<br>localizzazione fisica   |
|             | GET               |      | Tipo di georeferenziazione<br>georeferenziazione puntuale   |
|             | GEP               |      | Sistema di riferimento<br>WGS84   |



| GEC |      | COORDINATE                    |   |
|-----|------|-------------------------------|---|
|     | GECX | Coordinata x                  | 8.727393                                  |
|     | GECY | Coordinata y                  | 40.845097                                 |
|     | GECS | Note                          | inizio UR                                 |
|     | GECX | Coordinata x                  | 8.725284                                  |
|     | GECY | Coordinata y                  | 40.844225                                 |
|     | GECS | Note                          | fine UR                                   |
| GPT |      | Tecnica di georeferenziazione | rilievo tramite GPS                       |
| GPM |      | Metodo di posizionamento      | posizionamento esatto                     |
| FTA |      | DOCUMENTAZIONE FOTOGRAFICA    |   |
|     | FTAN | Codice identificativo         | UR2401                                    |
|     | FTAX | Genere                        | documentazione allegata                   |
|     | FTAP | Tipo                          | foto digitale                             |
|     | FTAF | Formato                       | jpeg                                      |
|     | FTAM | Titolo/didascalia             | survey nell'area del WTG                  |
|     | FTAA | Autore                        | Manca di Mores, Giuseppina                |
|     | FTAD | Riferimento cronologico       | 05/08/2022                                |
|     | FTAT | Note                          | Rif. relazione tav. XXVII, fig. 1         |
| FTA |      | DOCUMENTAZIONE FOTOGRAFICA    |   |
|     | FTAN | Codice identificativo         | UR2402                                    |
|     | FTAX | Genere                        | documentazione allegata                   |
|     | FTAP | Tipo                          | foto digitale                             |
|     | FTAF | Formato                       | jpeg                                      |
|     | FTAM | Titolo/didascalia             | dettaglio della vegetazione ad alto fusto |
|     | FTAA | Autore                        | Manca di Mores, Giuseppina                |
|     | FTAD | Riferimento cronologico       | 05/08/2022                                |
|     | FTAT | Note                          | Rif. relazione tav. XXVII, fig. 2         |
| FTA |      | DOCUMENTAZIONE FOTOGRAFICA    |   |
|     | FTAN | Codice identificativo         | UR2403                                    |
|     | FTAX | Genere                        | documentazione allegata                   |
|     | FTAP | Tipo                          | foto digitale                             |
|     | FTAF | Formato                       | jpeg                                      |
|     | FTAM | Titolo/didascalia             | survey presso l'accumulo di pietrame      |
|     | FTAA | Autore                        | Manca di Mores, Giuseppina                |
|     | FTAD | Riferimento cronologico       | 05/08/2022                                |
|     | FTAT | Note                          | Rif. relazione tav. XXVII, fig. 3         |
| FTA |      | DOCUMENTAZIONE FOTOGRAFICA    |   |
|     | FTAN | Codice identificativo         | UR2404                                    |
|     | FTAX | Genere                        | documentazione allegata                   |

|              |                    |      |                            |   |
|--------------|--------------------|------|----------------------------|---|
|              |                    | FTAP | Tipo                       | foto digitale   |
|              |                    | FTAF | Formato                    | jpeg  |
|              |                    | FTAM | Titolo/didascalia          | dettaglio della condizione di visibilità dei suoli  |
|              |                    | FTAA | Autore                     | Manca di Mores, Giuseppina  |
|              |                    | FTAD | Riferimento cronologico    | 05/08/2022  |
|              |                    | FTAT | Note                       | Rif. relazione tav. XXVII, fig. 4   |
|              | FTA                |      | DOCUMENTAZIONE FOTOGRAFICA |   |
|              |                    | FTAN | Codice identificativo      | UR2405  |
|              |                    | FTAX | Genere                     | documentazione allegata   |
|              |                    | FTAP | Tipo                       | foto digitale   |
|              |                    | FTAF | Formato                    | jpeg  |
|              |                    | FTAM | Titolo/didascalia          | pietre di grandi dimensioni all'interno di un macchione   |
|              |                    | FTAA | Autore                     | Manca di Mores, Giuseppina  |
|              |                    | FTAD | Riferimento cronologico    | 05/08/2022  |
|              |                    | FTAT | Note                       | Rif. relazione tav. XXVII, fig. 5   |
|              | FTA                |      | DOCUMENTAZIONE FOTOGRAFICA |   |
|              |                    | FTAN | Codice identificativo      | UR2406  |
|              |                    | FTAX | Genere                     | documentazione allegata   |
|              |                    | FTAP | Tipo                       | foto digitale   |
|              |                    | FTAF | Formato                    | jpeg  |
|              |                    | FTAM | Titolo/didascalia          | dettaglio pietrame di grandi dimensioni   |
|              |                    | FTAA | Autore                     | Manca di Mores, Giuseppina  |
|              |                    | FTAD | Riferimento cronologico    | 05/08/2022  |
|              |                    | FTAT | Note                       | Rif. relazione tav. XXVII, fig. 6   |
| <b>UR25a</b> | <b>TAV. XXVIII</b> |      |                            |   |
| RE           |                    |      | INDAGINI                   |   |
|              | RCG                |      | RICOGNIZIONE ARCHEOLOGICA  |   |
|              |                    | RCGV | Denominazione ricognizione | <b>UR25a</b>  |
|              |                    | RCGD | Riferimento cronologico    | 05/08/2022  |
|              |                    | RCGT | Situazione ambientale      | Tracciato del cavidotto lungo la SP17. A bordo strana fitta vegetazione cespugliata, oltre la quale le fasce sono occupate da terreni pianeggianti, a volte separati da tratti scoscesi dal tracciato viario. Visibilità complessivamente media. Non sono state rilevate evidenze archeologiche. I monumenti più vicini sono a circa 330 m a E il N.ghe Monte Entosu e a circa 170 m a E il N.ghe Funtana Loda. |
|              |                    | RCGE | Motivo                     | verifica preventiva   |

|    |     |      |                               |                                    |
|----|-----|------|-------------------------------|------------------------------------|
|    |     | RCGM | Metodo                        | sistematico                        |
|    |     | RCGR | Ente responsabile             | SABAP SS E NU                      |
|    |     | RCGA | Responsabile scientifico      | Manca di Mores, Giuseppina         |
|    |     | RCGZ | Note                          |                                    |
| GE |     |      | GEOREFERENZIAZIONE            |                                    |
|    | GEL |      | Tipo di localizzazione        | localizzazione fisica              |
|    | GET |      | Tipo di georeferenziazione    | georeferenziazione puntuale        |
|    | GEP |      | Sistema di riferimento        | WGS84                              |
|    | GEC |      | COORDINATE                    |                                    |
|    |     | GECX | Coordinata x                  | 8.735948                           |
|    |     | GECY | Coordinata y                  | 40.845384                          |
|    |     | GECS | Note                          | inizio UR                          |
|    |     | GECX | Coordinata x                  | 8.7745407                          |
|    |     | GECY | Coordinata y                  | 40.824707                          |
|    |     | GECS | Note                          | fine UR                            |
|    | GPT |      | Tecnica di georeferenziazione | rilievo tramite GPS                |
|    | GPM |      | Metodo di posizionamento      | posizionamento esatto              |
|    | FTA |      | DOCUMENTAZIONE FOTOGRAFICA    |                                    |
|    |     | FTAN | Codice identificativo         | UR25a01                            |
|    |     | FTAX | Genere                        | documentazione allegata            |
|    |     | FTAP | Tipo                          | foto digitale                      |
|    |     | FTAF | Formato                       | jpeg                               |
|    |     | FTAM | Titolo/didascalia             | inizio UR dalla strada principale  |
|    |     | FTAA | Autore                        | Manca di Mores, Giuseppina         |
|    |     | FTAD | Riferimento cronologico       | 05/08/2022                         |
|    |     | FTAT | Note                          | Rif. relazione tav. XXVIII, fig. 1 |
|    | FTA |      | DOCUMENTAZIONE FOTOGRAFICA    |                                    |
|    |     | FTAN | Codice identificativo         | UR25a02                            |
|    |     | FTAX | Genere                        | documentazione allegata            |
|    |     | FTAP | Tipo                          | foto digitale                      |
|    |     | FTAF | Formato                       | jpeg                               |
|    |     | FTAM | Titolo/didascalia             | tracciato cavidotto lungo strada   |
|    |     | FTAA | Autore                        | Manca di Mores, Giuseppina         |
|    |     | FTAD | Riferimento cronologico       | 05/08/2022                         |
|    |     | FTAT | Note                          | Rif. relazione tav. XXVIII, fig. 2 |
|    | FTA |      | DOCUMENTAZIONE FOTOGRAFICA    |                                    |
|    |     | FTAN | Codice identificativo         | UR25a03                            |
|    |     | FTAX | Genere                        | documentazione allegata            |
|    |     | FTAP | Tipo                          | foto digitale                      |
|    |     | FTAF | Formato                       | jpeg                               |

|              |                  |      |                            |  |
|--------------|------------------|------|----------------------------|--|
|              |                  | FTAM | Titolo/didasalia           | veduta generale di contesto                          |
|              |                  | FTAA | Autore                     | Manca di Mores, Giuseppina                           |
|              |                  | FTAD | Riferimento cronologico    | 05/08/2022   |
|              |                  | FTAT | Note                       | Rif. relazione tav. XXVIII, fig. 3                   |
|              | FTA              |      | DOCUMENTAZIONE FOTOGRAFICA |  |
|              |                  | FTAN | Codice identificativo      | UR25a04  |
|              |                  | FTAX | Genere                     | documentazione allegata                              |
|              |                  | FTAP | Tipo                       | foto digitale  |
|              |                  | FTAF | Formato                    | jpeg   |
|              |                  | FTAM | Titolo/didasalia           | tracciato cavidotto lungo strada                     |
|              |                  | FTAA | Autore                     | Manca di Mores, Giuseppina                           |
|              |                  | FTAD | Riferimento cronologico    | 05/08/2022   |
|              |                  | FTAT | Note                       | Rif. relazione tav. XXVIII, fig. 4                   |
|              | FTA              |      | DOCUMENTAZIONE FOTOGRAFICA |  |
|              |                  | FTAN | Codice identificativo      | UR25a05  |
|              |                  | FTAX | Genere                     | documentazione allegata                              |
|              |                  | FTAP | Tipo                       | foto digitale  |
|              |                  | FTAF | Formato                    | jpeg   |
|              |                  | FTAM | Titolo/didasalia           | tracciato cavidotto lungo strada - banchine rialzate |
|              |                  | FTAA | Autore                     | Manca di Mores, Giuseppina                           |
|              |                  | FTAD | Riferimento cronologico    | 05/08/2022   |
|              |                  | FTAT | Note                       | Rif. relazione tav. XXVIII, fig. 5                   |
|              | FTA              |      | DOCUMENTAZIONE FOTOGRAFICA |  |
|              |                  | FTAN | Codice identificativo      | UR25a06  |
|              |                  | FTAX | Genere                     | documentazione allegata                              |
|              |                  | FTAP | Tipo                       | foto digitale  |
|              |                  | FTAF | Formato                    | jpeg   |
|              |                  | FTAM | Titolo/didasalia           | svincolo lungo il tracciato - ristorazione Ruspina   |
|              |                  | FTAA | Autore                     | Manca di Mores, Giuseppina                           |
|              |                  | FTAD | Riferimento cronologico    | 05/08/2022   |
|              |                  | FTAT | Note                       | Rif. relazione tav. XXVIII, fig. 6                   |
| <b>UR25b</b> | <b>TAV. XXIX</b> |      |                            |  |
| RE           |                  |      | INDAGINI                   |  |
|              | RCG              |      | RICOGNIZIONE ARCHEOLOGICA  |  |
|              |                  | RCGV | Denominazione ricognizione | <b>UR25b</b>   |
|              |                  | RCGD | Riferimento cronologico    | 05/08/2022   |

|    |     |      |                               |   |
|----|-----|------|-------------------------------|---|
|    |     | RCGT | Situazione ambientale         | Tracciato del cavidotto lungo la SP17. Oltre la stretta fascia a bordo strada con fitta vegetazione cespugliata e arborea su suolo rialzato, le fasce sono occupate da terreni pianeggianti coltivati a foraggiere. Visibilità complessivamente alta. Non sono state rilevate evidenze archeologiche. Il monumento più vicino è la domus de janas di Ladina, a circa 30 m in direzione E. |
|    |     | RCGE | Motivo                        | verifica preventiva   |
|    |     | RCGM | Metodo                        | sistematico   |
|    |     | RCGR | Ente responsabile             | SABAP SS E NU   |
|    |     | RCGA | Responsabile scientifico      | Manca di Mores, Giuseppina  |
|    |     | RCGZ | Note                          |   |
| GE |     |      | GEOREFERENZIAZIONE            |   |
|    | GEL |      | Tipo di localizzazione        | localizzazione fisica   |
|    | GET |      | Tipo di georeferenziazione    | georeferenziazione puntuale   |
|    | GEP |      | Sistema di riferimento        | WGS84   |
|    | GEC |      | COORDINATE                    |   |
|    |     | GECX | Coordinata x                  | 8.7745407   |
|    |     | GECY | Coordinata y                  | 40.824707   |
|    |     | GECS | Note                          | inizio UR   |
|    |     | GECX | Coordinata x                  | 8.741939  |
|    |     | GECY | Coordinata y                  | 40.803460   |
|    |     | GECS | Note                          | fine UR   |
|    | GPT |      | Tecnica di georeferenziazione | rilievo tramite GPS   |
|    | GPM |      | Metodo di posizionamento      | posizionamento esatto   |
|    | FTA |      | DOCUMENTAZIONE FOTOGRAFICA    |   |
|    |     | FTAN | Codice identificativo         | UR25b01   |
|    |     | FTAX | Genere                        | documentazione allegata   |
|    |     | FTAP | Tipo                          | foto digitale   |
|    |     | FTAF | Formato                       | jpeg  |
|    |     | FTAM | Titolo/didascalia             | tracciato cavidotto lungo strada  |
|    |     | FTAA | Autore                        | Manca di Mores, Giuseppina  |
|    |     | FTAD | Riferimento cronologico       | 19/08/2022  |
|    |     | FTAT | Note                          | Rif. relazione tav. XXIX, fig. 1  |
|    | FTA |      | DOCUMENTAZIONE FOTOGRAFICA    |   |
|    |     | FTAN | Codice identificativo         | UR25b02   |
|    |     | FTAX | Genere                        | documentazione allegata   |
|    |     | FTAP | Tipo                          | foto digitale   |
|    |     | FTAF | Formato                       | jpeg  |
|    |     | FTAM | Titolo/didascalia             | dettaglio della vegetazione ad alto fusto   |
|    |     | FTAA | Autore                        | Manca di Mores, Giuseppina  |

|  |     |      |                            |   |
|--|-----|------|----------------------------|---|
|  |     | FTAD | Riferimento cronologico    | 05/08/2022  |
|  |     | FTAT | Note                       | Rif. relazione tav. XXIX, fig. 2  |
|  | FTA |      | DOCUMENTAZIONE FOTOGRAFICA |   |
|  |     | FTAN | Codice identificativo      | UR25b03   |
|  |     | FTAX | Genere                     | documentazione allegata   |
|  |     | FTAP | Tipo                       | foto digitale   |
|  |     | FTAF | Formato                    | jpeg  |
|  |     | FTAM | Titolo/didascalia          | area di survey nelle fasce e veduta generale di contesto                                    |
|  |     | FTAA | Autore                     | Manca di Mores, Giuseppina  |
|  |     | FTAD | Riferimento cronologico    | 05/08/2022  |
|  |     | FTAT | Note                       | Rif. relazione tav. XXIX, fig. 3  |
|  | FTA |      | DOCUMENTAZIONE FOTOGRAFICA |   |
|  |     | FTAN | Codice identificativo      | UR25b04   |
|  |     | FTAX | Genere                     | documentazione allegata   |
|  |     | FTAP | Tipo                       | foto digitale   |
|  |     | FTAF | Formato                    | jpeg  |
|  |     | FTAM | Titolo/didascalia          | tracciato del cavidotto lungo strada e sullo sfondo accesso alle fasce in area pianeggiante |
|  |     | FTAA | Autore                     | Manca di Mores, Giuseppina  |
|  |     | FTAD | Riferimento cronologico    | 05/08/2022  |
|  |     | FTAT | Note                       | Rif. relazione tav. XXIX, fig. 4  |
|  | FTA |      | DOCUMENTAZIONE FOTOGRAFICA |   |
|  |     | FTAN | Codice identificativo      | UR25b05   |
|  |     | FTAX | Genere                     | documentazione allegata   |
|  |     | FTAP | Tipo                       | foto digitale   |
|  |     | FTAF | Formato                    | jpeg  |
|  |     | FTAM | Titolo/didascalia          | tracciato cavidotto lungo strada  |
|  |     | FTAA | Autore                     | Manca di Mores, Giuseppina  |
|  |     | FTAD | Riferimento cronologico    | 05/08/2022  |
|  |     | FTAT | Note                       | Rif. relazione tav. XXIX, fig. 5  |
|  | FTA |      | DOCUMENTAZIONE FOTOGRAFICA |   |
|  |     | FTAN | Codice identificativo      | UR25b06   |
|  |     | FTAX | Genere                     | documentazione allegata   |
|  |     | FTAP | Tipo                       | foto digitale   |
|  |     | FTAF | Formato                    | jpeg  |
|  |     | FTAM | Titolo/didascalia          | parte finale UR - tracciato cavidotto lungo strada e veduta generale di contesto            |
|  |     | FTAA | Autore                     | Manca di Mores, Giuseppina  |
|  |     | FTAD | Riferimento cronologico    | 05/08/2022  |

|             | FTAT            | Note                          | Rif. relazione tav. XXIX, fig. 6   |
|-------------|-----------------|-------------------------------|--|
| <b>UR26</b> | <b>TAV. XXX</b> |                               |  |
| RE          |                 | INDAGINI                      |  |
|             | RCG             | RICOGNIZIONE ARCHEOLOGICA     |  |
|             | RCGV            | Denominazione ricognizione    | <b>UR26</b>  |
|             | RCGD            | Riferimento cronologico       | 19/08/2022   |
|             | RCGT            | Situazione ambientale         | Tracciato del cavidotto lungo il sentiero delimitato da vegetazione cespugliata e arborea. Nelle fasce di indagine, terreno pianeggiante coperto da vegetazione erbacea secca, spesso non falciata ma rada, con pietrame nero di piccola pezzatura affiorante in superficie misto a qualche tratto di roccia madre. Visibilità complessivamente media. Non sono state rilevate evidenze archeologiche. |
|             | RCGE            | Motivo                        | verifica preventiva  |
|             | RCGM            | Metodo                        | sistematico  |
|             | RCGR            | Ente responsabile             | SABAP SS E NU  |
|             | RCGA            | Responsabile scientifico      | Manca di Mores, Giuseppina   |
|             | RCGZ            | Note                          |  |
| GE          |                 | GEOREFERENZIAZIONE            |  |
|             | GEL             | Tipo di localizzazione        | localizzazione fisica  |
|             | GET             | Tipo di georeferenziazione    | georeferenziazione puntuale  |
|             | GEP             | Sistema di riferimento        | WGS84  |
|             | GEC             | COORDINATE                    |  |
|             | GECX            | Coordinata x                  | 8.741939   |
|             | GECY            | Coordinata y                  | 40.803460  |
|             | GECS            | Note                          | inizio UR  |
|             | GECX            | Coordinata x                  | 8.736221   |
|             | GECY            | Coordinata y                  | 40.806631  |
|             | GECS            | Note                          | fine UR  |
|             | GPT             | Tecnica di georeferenziazione | rilievo tramite GPS  |
|             | GPM             | Metodo di posizionamento      | posizionamento esatto  |
|             | FTA             | DOCUMENTAZIONE FOTOGRAFICA    |  |
|             | FTAN            | Codice identificativo         | UR2601   |
|             | FTAX            | Genere                        | documentazione allegata  |
|             | FTAP            | Tipo                          | foto digitale  |
|             | FTAF            | Formato                       | jpeg   |
|             | FTAM            | Titolo/didascalia             | accesso UR - tracciato cavidotto lungo strada  |
|             | FTAA            | Autore                        | Manca di Mores, Giuseppina   |
|             | FTAD            | Riferimento cronologico       | 19/08/2022   |



|  |     |      |                            |   |
|--|-----|------|----------------------------|---|
|  |     | FTAT | Note                       | Rif. relazione tav. XXX, fig. 1   |
|  | FTA |      | DOCUMENTAZIONE FOTOGRAFICA |   |
|  |     | FTAN | Codice identificativo      | UR2602  |
|  |     | FTAX | Genere                     | documentazione allegata   |
|  |     | FTAP | Tipo                       | foto digitale   |
|  |     | FTAF | Formato                    | jpeg  |
|  |     | FTAM | Titolo/didascalia          | pietre di grandi dimensioni all'interno di un macchione                 |
|  |     | FTAA | Autore                     | Manca di Mores, Giuseppina  |
|  |     | FTAD | Riferimento cronologico    | 19/08/2022  |
|  |     | FTAT | Note                       | Rif. relazione tav. XXX, fig. 2   |
|  | FTA |      | DOCUMENTAZIONE FOTOGRAFICA |   |
|  |     | FTAN | Codice identificativo      | UR2603  |
|  |     | FTAX | Genere                     | documentazione allegata   |
|  |     | FTAP | Tipo                       | foto digitale   |
|  |     | FTAF | Formato                    | jpeg  |
|  |     | FTAM | Titolo/didascalia          | affioramento roccia madre e pietrame                                    |
|  |     | FTAA | Autore                     | Manca di Mores, Giuseppina  |
|  |     | FTAD | Riferimento cronologico    | 19/08/2022  |
|  |     | FTAT | Note                       | Rif. relazione tav. XXX, fig. 3   |
|  | FTA |      | DOCUMENTAZIONE FOTOGRAFICA |   |
|  |     | FTAN | Codice identificativo      | UR2604  |
|  |     | FTAX | Genere                     | documentazione allegata   |
|  |     | FTAP | Tipo                       | foto digitale   |
|  |     | FTAF | Formato                    | jpeg  |
|  |     | FTAM | Titolo/didascalia          | prosecuzione tracciato cavidotto lungo strade e survey fasce 25 m       |
|  |     | FTAA | Autore                     | Manca di Mores, Giuseppina  |
|  |     | FTAD | Riferimento cronologico    | 19/08/2022  |
|  |     | FTAT | Note                       | Rif. relazione tav. XXX, fig. 4   |
|  | FTA |      | DOCUMENTAZIONE FOTOGRAFICA |   |
|  |     | FTAN | Codice identificativo      | UR2605  |
|  |     | FTAX | Genere                     | documentazione allegata   |
|  |     | FTAP | Tipo                       | foto digitale   |
|  |     | FTAF | Formato                    | jpeg  |
|  |     | FTAM | Titolo/didascalia          | dettaglio visibilità suoli con pietrame di piccola pezzatura affiorante |
|  |     | FTAA | Autore                     | Manca di Mores, Giuseppina  |
|  |     | FTAD | Riferimento cronologico    | 19/08/2022  |
|  |     | FTAT | Note                       | Rif. relazione tav. XXX, fig. 5   |

| FTA         |                  | DOCUMENTAZIONE FOTOGRAFICA    |  |
|-------------|------------------|-------------------------------|--|
|             | FTAN             | Codice identificativo         | UR2606   |
|             | FTAX             | Genere                        | documentazione allegata  |
|             | FTAP             | Tipo                          | foto digitale  |
|             | FTAF             | Formato                       | jpeg   |
|             | FTAM             | Titolo/didascalia             | parte finale del tracciato del cavidotto lungo strada  |
|             | FTAA             | Autore                        | Manca di Mores, Giuseppina   |
|             | FTAD             | Riferimento cronologico       | 19/08/2022   |
|             | FTAT             | Note                          | Rif. relazione tav. XXX, fig. 6  |
| <b>UR27</b> | <b>TAV. XXXI</b> |                               |  |
| RE          |                  | INDAGINI                      |  |
|             | RCG              | RICOGNIZIONE ARCHEOLOGICA     |  |
|             | RCGV             | Denominazione ricognizione    | <b>UR27</b>  |
|             | RCGD             | Riferimento cronologico       | 19/08/2022   |
|             | RCGT             | Situazione ambientale         | Tracciato del cavidotto lungo il sentiero delimitato da vegetazione erbacea secca, rada, in buona parte non falciata, con affioramenti di pietrame nero di piccola pezzatura, con tratti di vegetazione arbustiva. Visibilità complessivamente media. Non sono state rilevate evidenze archeologiche. Alla distanza di 440 m circa in direzione ENE è ubicato il n.ghe Pedra Ulpu. |
|             | RCGE             | Motivo                        | verifica preventiva  |
|             | RCGM             | Metodo                        | sistematico  |
|             | RCGR             | Ente responsabile             | SABAP SS E NU  |
|             | RCGA             | Responsabile scientifico      | Manca di Mores, Giuseppina   |
|             | RCGZ             | Note                          |  |
| GE          |                  | GEOREFERENZIAZIONE            |  |
|             | GEL              | Tipo di localizzazione        | localizzazione fisica  |
|             | GET              | Tipo di georeferenziazione    | georeferenziazione puntuale  |
|             | GEP              | Sistema di riferimento        | WGS84  |
|             | GEC              | COORDINATE                    |  |
|             | GECX             | Coordinata x                  | 8.735259   |
|             | GECY             | Coordinata y                  | 40.808132  |
|             | GECS             | Note                          | inizio UR  |
|             | GECX             | Coordinata x                  | 8.734470   |
|             | GECY             | Coordinata y                  | 40.809993  |
|             | GECS             | Note                          | fine UR  |
|             | GPT              | Tecnica di georeferenziazione | rilievo tramite GPS  |
|             | GPM              | Metodo di posizionamento      | posizionamento esatto  |

| FTA |      | DOCUMENTAZIONE FOTOGRAFICA   |
|-----|------|--|
|     | FTAN | Codice identificativo<br>UR2701  |
|     | FTAX | Genere<br>documentazione allegata  |
|     | FTAP | Tipo<br>foto digitale  |
|     | FTAF | Formato<br>jpeg  |
|     | FTAM | Titolo/didascalia<br>tracciato cavidotto lungo il sentiero                             |
|     | FTAA | Autore<br>Manca di Mores, Giuseppina   |
|     | FTAD | Riferimento cronologico<br>19/08/2022  |
|     | FTAT | Note<br>Rif. relazione tav. XXXI, fig. 1   |
| FTA |      | DOCUMENTAZIONE FOTOGRAFICA   |
|     | FTAN | Codice identificativo<br>UR2702  |
|     | FTAX | Genere<br>documentazione allegata  |
|     | FTAP | Tipo<br>foto digitale  |
|     | FTAF | Formato<br>jpeg  |
|     | FTAM | Titolo/didascalia<br>proseguimento tracciato cavidotto e survey nelle fasce di 25m     |
|     | FTAA | Autore<br>Manca di Mores, Giuseppina   |
|     | FTAD | Riferimento cronologico<br>19/08/2022  |
|     | FTAT | Note<br>Rif. relazione tav. XXXI, fig. 2   |
| FTA |      | DOCUMENTAZIONE FOTOGRAFICA   |
|     | FTAN | Codice identificativo<br>UR2703  |
|     | FTAX | Genere<br>documentazione allegata  |
|     | FTAP | Tipo<br>foto digitale  |
|     | FTAF | Formato<br>jpeg  |
|     | FTAM | Titolo/didascalia<br>proseguimento tracciato e survey - dettaglio visibilità dei suoli |
|     | FTAA | Autore<br>Manca di Mores, Giuseppina   |
|     | FTAD | Riferimento cronologico<br>19/08/2022  |
|     | FTAT | Note<br>Rif. relazione tav. XXXI, fig. 3   |
| FTA |      | DOCUMENTAZIONE FOTOGRAFICA   |
|     | FTAN | Codice identificativo<br>UR2704  |
|     | FTAX | Genere<br>documentazione allegata  |
|     | FTAP | Tipo<br>foto digitale  |
|     | FTAF | Formato<br>jpeg  |
|     | FTAM | Titolo/didascalia<br>dettaglio della condizione di visibilità dei suoli                |
|     | FTAA | Autore<br>Manca di Mores, Giuseppina   |
|     | FTAD | Riferimento cronologico<br>19/08/2022  |
|     | FTAT | Note<br>Rif. relazione tav. XXXI, fig. 4   |

|             |                   |      |  |
|-------------|-------------------|------|--|
|             | FTA               |      | DOCUMENTAZIONE FOTOGRAFICA   |
|             |                   | FTAN | Codice identificativo<br>UR2705  |
|             |                   | FTAX | Genere<br>documentazione allegata  |
|             |                   | FTAP | Tipo<br>foto digitale  |
|             |                   | FTAF | Formato<br>jpeg  |
|             |                   | FTAM | Titolo/didascalia<br>area di survey tracciato cavidotto  |
|             |                   | FTAA | Autore<br>Manca di Mores, Giuseppina   |
|             |                   | FTAD | Riferimento cronologico<br>19/08/2022  |
|             |                   | FTAT | Note<br>Rif. relazione tav. XXXI, fig. 5   |
|             | FTA               |      | DOCUMENTAZIONE FOTOGRAFICA   |
|             |                   | FTAN | Codice identificativo<br>UR2706  |
|             |                   | FTAX | Genere<br>documentazione allegata  |
|             |                   | FTAP | Tipo<br>foto digitale  |
|             |                   | FTAF | Formato<br>jpeg  |
|             |                   | FTAM | Titolo/didascalia<br>parte finale UR tracciato cavidotto   |
|             |                   | FTAA | Autore<br>Manca di Mores, Giuseppina   |
|             |                   | FTAD | Riferimento cronologico<br>19/08/2022  |
|             |                   | FTAT | Note<br>Rif. relazione tav. XXXI, fig. 6   |
| <b>UR28</b> | <b>TAV. XXXII</b> |      |  |
| RE          |                   |      | INDAGINI   |
|             | RCG               |      | RICOGNIZIONE ARCHEOLOGICA  |
|             |                   | RCGV | Denominazione ricognizione<br><b>UR28</b>  |
|             |                   | RCGD | Riferimento cronologico<br>19/08/2022  |
|             |                   | RCGT | Situazione ambientale<br>Tracciato del cavidotto lungo il sentiero delimitato da una fascia di cespugli e rovi oltre i quali, nelle fasce, si estendono terreni coltivati, pianeggianti o in leggero declivio, con foraggiere falciate. Visibilità complessivamente bassa. Non sono state rilevate evidenze archeologiche. |
|             |                   | RCGE | Motivo<br>verifica preventiva  |
|             |                   | RCGM | Metodo<br>sistematico  |
|             |                   | RCGR | Ente responsabile<br>SABAP SS E NU   |
|             |                   | RCGA | Responsabile scientifico<br>Manca di Mores, Giuseppina   |
|             |                   | RCGZ | Note   |
| GE          |                   |      | GEOREFERENZIAZIONE   |
|             | GEL               |      | Tipo di localizzazione<br>localizzazione fisica  |
|             | GET               |      | Tipo di georeferenziazione<br>georeferenziazione puntuale  |
|             | GEP               |      | Sistema di riferimento<br>WGS84  |

| GEC |      | COORDINATE                    |  |
|-----|------|-------------------------------|--|
|     | GECX | Coordinata x                  | 8.734753   |
|     | GECY | Coordinata y                  | 40.808027  |
|     | GECS | Note                          | inizio UR  |
|     | GECX | Coordinata x                  | 8.730423   |
|     | GECY | Coordinata y                  | 40.810212  |
|     | GECS | Note                          | fine UR  |
| GPT |      | Tecnica di georeferenziazione | rilievo tramite GPS                                  |
| GPM |      | Metodo di posizionamento      | posizionamento esatto                                |
| FTA |      | DOCUMENTAZIONE FOTOGRAFICA    |  |
|     | FTAN | Codice identificativo         | UR2801   |
|     | FTAX | Genere                        | documentazione allegata                              |
|     | FTAP | Tipo                          | foto digitale  |
|     | FTAF | Formato                       | jpeg   |
|     | FTAM | Titolo/didascalia             | tracciato cavidotto lungo strada e survey fasce 25 m |
|     | FTAA | Autore                        | Manca di Mores, Giuseppina                           |
|     | FTAD | Riferimento cronologico       | 19/08/2022   |
|     | FTAT | Note                          | Rif. relazione tav. XXXII, fig. 1                    |
| FTA |      | DOCUMENTAZIONE FOTOGRAFICA    |  |
|     | FTAN | Codice identificativo         | UR2802   |
|     | FTAX | Genere                        | documentazione allegata                              |
|     | FTAP | Tipo                          | foto digitale  |
|     | FTAF | Formato                       | jpeg   |
|     | FTAM | Titolo/didascalia             | survey fasce 25 m                                    |
|     | FTAA | Autore                        | Manca di Mores, Giuseppina                           |
|     | FTAD | Riferimento cronologico       | 19/08/2022   |
|     | FTAT | Note                          | Rif. relazione tav. XXXII, fig. 2                    |
| FTA |      | DOCUMENTAZIONE FOTOGRAFICA    |  |
|     | FTAN | Codice identificativo         | UR2803   |
|     | FTAX | Genere                        | documentazione allegata                              |
|     | FTAP | Tipo                          | foto digitale  |
|     | FTAF | Formato                       | jpeg   |
|     | FTAM | Titolo/didascalia             | proseguimento tracciato cavidotto lungo strada       |
|     | FTAA | Autore                        | Manca di Mores, Giuseppina                           |
|     | FTAD | Riferimento cronologico       | 19/08/2022   |
|     | FTAT | Note                          | Rif. relazione tav. XXXII, fig. 3                    |
| FTA |      | DOCUMENTAZIONE FOTOGRAFICA    |  |
|     | FTAN | Codice identificativo         | UR2804   |
|     | FTAX | Genere                        | documentazione allegata                              |

|              |                    |      |                               |   |
|--------------|--------------------|------|-------------------------------|---|
|              |                    | FTAP | Tipo                          | foto digitale   |
|              |                    | FTAF | Formato                       | jpeg  |
|              |                    | FTAM | Titolo/didascalia             | parte finale del tracciato cavidotto  |
|              |                    | FTAA | Autore                        | Manca di Mores, Giuseppina  |
|              |                    | FTAD | Riferimento cronologico       | 19/08/2022  |
|              |                    | FTAT | Note                          | Rif. relazione tav. XXXII, fig. 4   |
| <b>UR29a</b> | <b>TAV. XXXIII</b> |      |                               |   |
| RE           |                    |      | INDAGINI                      |   |
|              | RCG                |      | RICOGNIZIONE ARCHEOLOGICA     |   |
|              |                    | RCGV | Denominazione ricognizione    | <b>UR29a</b>  |
|              |                    | RCGD | Riferimento cronologico       | 19/08/2022  |
|              |                    | RCGT | Situazione ambientale         | Tracciato del cavidotto lungo il sentiero delimitato da una fascia di cespugli e rovi oltre i quali, nelle fasce, si estendono terreni con foraggiere, non falciati, intervallati da macchioni di arbusti e rovi. Alcune pietre di grandi dimensioni non significative. Visibilità complessivamente bassa. Per quanto leggibile nel survey, non sono state rilevate evidenze archeologiche. |
|              |                    | RCGE | Motivo                        | verifica preventiva   |
|              |                    | RCGM | Metodo                        | sistematico   |
|              |                    | RCGR | Ente responsabile             | SABAP SS E NU   |
|              |                    | RCGA | Responsabile scientifico      | Manca di Mores, Giuseppina  |
|              |                    | RCGZ | Note                          |   |
| GE           |                    |      | GEOREFERENZIAZIONE            |   |
|              | GEL                |      | Tipo di localizzazione        | localizzazione fisica   |
|              | GET                |      | Tipo di georeferenziazione    | georeferenziazione puntuale   |
|              | GEP                |      | Sistema di riferimento        | WGS84   |
|              | GEC                |      | COORDINATE                    |   |
|              |                    | GECX | Coordinata x                  | 8.729232  |
|              |                    | GECY | Coordinata y                  | 40.811641   |
|              |                    | GECS | Note                          | inizio UR   |
|              |                    | GECX | Coordinata x                  | 8.724237  |
|              |                    | GECY | Coordinata y                  | 40.815568   |
|              |                    | GECS | Note                          | fine UR   |
|              | GPT                |      | Tecnica di georeferenziazione | rilievo tramite GPS   |
|              | GPM                |      | Metodo di posizionamento      | posizionamento esatto   |
|              | FTA                |      | DOCUMENTAZIONE FOTOGRAFICA    |   |
|              |                    | FTAN | Codice identificativo         | UR29a01   |
|              |                    | FTAX | Genere                        | documentazione allegata   |

|              |                   |      |                            |  |
|--------------|-------------------|------|----------------------------|--|
|              |                   | FTAP | Tipo                       | foto digitale  |
|              |                   | FTAF | Formato                    | jpeg   |
|              |                   | FTAM | Titolo/didascalia          | tracciato cavidotto sul sentiero e survey fasce pianeggianti ai lati |
|              |                   | FTAA | Autore                     | Manca di Mores, Giuseppina   |
|              |                   | FTAD | Riferimento cronologico    | 19/08/2022   |
|              |                   | FTAT | Note                       | Rif. relazione tav. XXXIII, fig. 1                                   |
|              | FTA               |      | DOCUMENTAZIONE FOTOGRAFICA |  |
|              |                   | FTAN | Codice identificativo      | UR29a02  |
|              |                   | FTAX | Genere                     | documentazione allegata  |
|              |                   | FTAP | Tipo                       | foto digitale  |
|              |                   | FTAF | Formato                    | jpeg   |
|              |                   | FTAM | Titolo/didascalia          | tracciato cavidotto sul sentiero                                     |
|              |                   | FTAA | Autore                     | Manca di Mores, Giuseppina   |
|              |                   | FTAD | Riferimento cronologico    | 19/08/2022   |
|              |                   | FTAT | Note                       | Rif. relazione tav. XXXIII, fig. 2                                   |
|              | FTA               |      | DOCUMENTAZIONE FOTOGRAFICA |  |
|              |                   | FTAN | Codice identificativo      | UR29a03  |
|              |                   | FTAX | Genere                     | documentazione allegata  |
|              |                   | FTAP | Tipo                       | foto digitale  |
|              |                   | FTAF | Formato                    | jpeg   |
|              |                   | FTAM | Titolo/didascalia          | survey nelle fasce di 25 m dal tracciato                             |
|              |                   | FTAA | Autore                     | Manca di Mores, Giuseppina   |
|              |                   | FTAD | Riferimento cronologico    | 19/08/2022   |
|              |                   | FTAT | Note                       | Rif. relazione tav. XXXIII, fig. 3                                   |
|              | FTA               |      | DOCUMENTAZIONE FOTOGRAFICA |  |
|              |                   | FTAN | Codice identificativo      | UR29a04  |
|              |                   | FTAX | Genere                     | documentazione allegata  |
|              |                   | FTAP | Tipo                       | foto digitale  |
|              |                   | FTAF | Formato                    | jpeg   |
|              |                   | FTAM | Titolo/didascalia          | survey fasce 25 m - dettaglio visibilità suoli                       |
|              |                   | FTAA | Autore                     | Manca di Mores, Giuseppina   |
|              |                   | FTAD | Riferimento cronologico    | 19/08/2022   |
|              |                   | FTAT | Note                       | Rif. relazione tav. XXXIII, fig. 4                                   |
| <b>UR29b</b> | <b>TAV. XXXIV</b> |      |                            |  |
| RE           |                   |      | INDAGINI                   |  |
|              | RCG               |      | RICOGNIZIONE ARCHEOLOGICA  |  |

|    |     |      |                               |   |
|----|-----|------|-------------------------------|---|
|    |     | RCGV | Denominazione ricognizione    | <b>UR29b</b>  |
|    |     | RCGD | Riferimento cronologico       | 19/08/2022  |
|    |     | RCGT | Situazione ambientale         | Tracciato del cavidotto lungo il sentiero delimitato da una fascia di cespugli e rovi oltre i quali, nelle fasce, si estendono terreni con foraggiere, solo in parte falciate, intervallati da macchioni di arbusti e rovi. Presso il cancello di ingresso alcuni pietroni, non significativi. Nelle zone in cui la vegetazione è falciata, dal terreno emerge pietrame scuro di piccola pezzatura. Visibilità complessivamente bassa. Per quanto leggibile nel survey, non sono state rilevate evidenze archeologiche. |
|    |     | RCGE | Motivo                        | verifica preventiva   |
|    |     | RCGM | Metodo                        | sistematico   |
|    |     | RCGR | Ente responsabile             | SABAP SS E NU   |
|    |     | RCGA | Responsabile scientifico      | Manca di Mores, Giuseppina  |
|    |     | RCGZ | Note                          |   |
| GE |     |      | GEOREFERENZIAZIONE            |   |
|    | GEL |      | Tipo di localizzazione        | localizzazione fisica   |
|    | GET |      | Tipo di georeferenziazione    | georeferenziazione puntuale   |
|    | GEP |      | Sistema di riferimento        | WGS84   |
|    | GEC |      | COORDINATE                    |   |
|    |     | GECX | Coordinata x                  | 8.728752  |
|    |     | GECY | Coordinata y                  | 40.812998   |
|    |     | GECS | Note                          | inizio UR   |
|    |     | GECX | Coordinata x                  | 8.728301  |
|    |     | GECY | Coordinata y                  | 40.814065   |
|    |     | GECS | Note                          | fine UR   |
|    | GPT |      | Tecnica di georeferenziazione | rilievo tramite GPS   |
|    | GPM |      | Metodo di posizionamento      | posizionamento esatto   |
|    | FTA |      | DOCUMENTAZIONE FOTOGRAFICA    |   |
|    |     | FTAN | Codice identificativo         | UR29b01   |
|    |     | FTAX | Genere                        | documentazione allegata   |
|    |     | FTAP | Tipo                          | foto digitale   |
|    |     | FTAF | Formato                       | jpeg  |
|    |     | FTAM | Titolo/didascalia             | veduta generale impianti - dettaglio visibilità suoli e grandi pietre   |
|    |     | FTAA | Autore                        | Manca di Mores, Giuseppina  |
|    |     | FTAD | Riferimento cronologico       | 19/08/2022  |
|    |     | FTAT | Note                          | Rif. relazione tav. XXXIV, fig. 1   |
|    | FTA |      | DOCUMENTAZIONE FOTOGRAFICA    |   |
|    |     | FTAN | Codice identificativo         | UR29b02   |



|  |     |      |                            |  |
|--|-----|------|----------------------------|--|
|  |     | FTAX | Genere                     | documentazione allegata  |
|  |     | FTAP | Tipo                       | foto digitale  |
|  |     | FTAF | Formato                    | jpeg   |
|  |     | FTAM | Titolo/didascalia          | tracciato cavidotto sul sentiero e survey nelle fasce - dettaglio visibilità suoli |
|  |     | FTAA | Autore                     | Manca di Mores, Giuseppina   |
|  |     | FTAD | Riferimento cronologico    | 19/08/2022   |
|  |     | FTAT | Note                       | Rif. relazione tav. XXXIV, fig. 2  |
|  | FTA |      | DOCUMENTAZIONE FOTOGRAFICA |  |
|  |     | FTAN | Codice identificativo      | UR29b03  |
|  |     | FTAX | Genere                     | documentazione allegata  |
|  |     | FTAP | Tipo                       | foto digitale  |
|  |     | FTAF | Formato                    | jpeg   |
|  |     | FTAM | Titolo/didascalia          | survey nelle fasce di 25 m dal tracciato   |
|  |     | FTAA | Autore                     | Manca di Mores, Giuseppina   |
|  |     | FTAD | Riferimento cronologico    | 19/08/2022   |
|  |     | FTAT | Note                       | Rif. relazione tav. XXXIV, fig. 3  |
|  | FTA |      | DOCUMENTAZIONE FOTOGRAFICA |  |
|  |     | FTAN | Codice identificativo      | UR29b04  |
|  |     | FTAX | Genere                     | documentazione allegata  |
|  |     | FTAP | Tipo                       | foto digitale  |
|  |     | FTAF | Formato                    | jpeg   |
|  |     | FTAM | Titolo/didascalia          | survey fasce 25 m - dettaglio visibilità suoli                                     |
|  |     | FTAA | Autore                     | Manca di Mores, Giuseppina   |
|  |     | FTAD | Riferimento cronologico    | 19/08/2022   |
|  |     | FTAT | Note                       | Rif. relazione tav. XXXIV, fig. 4  |
|  | FTA |      | DOCUMENTAZIONE FOTOGRAFICA |  |
|  |     | FTAN | Codice identificativo      | UR29b05  |
|  |     | FTAX | Genere                     | documentazione allegata  |
|  |     | FTAP | Tipo                       | foto digitale  |
|  |     | FTAF | Formato                    | jpeg   |
|  |     | FTAM | Titolo/didascalia          | survey e veduta impianto   |
|  |     | FTAA | Autore                     | Manca di Mores, Giuseppina   |
|  |     | FTAD | Riferimento cronologico    | 19/08/2022   |
|  |     | FTAT | Note                       | Rif. relazione tav. XXXIV, fig. 5  |
|  | FTA |      | DOCUMENTAZIONE FOTOGRAFICA |  |
|  |     | FTAN | Codice identificativo      | UR29b06  |
|  |     | FTAX | Genere                     | documentazione allegata  |
|  |     | FTAP | Tipo                       | foto digitale  |

|              |                  |      |                               |   |
|--------------|------------------|------|-------------------------------|---|
|              |                  | FTAF | Formato                       | jpeg  |
|              |                  | FTAM | Titolo/didascalia             | dettaglio visibilità suoli  |
|              |                  | FTAA | Autore                        | Manca di Mores, Giuseppina  |
|              |                  | FTAD | Riferimento cronologico       | 19/08/2022  |
|              |                  | FTAT | Note                          | Rif. relazione tav. XXXIV, fig. 6   |
| <b>UR30a</b> | <b>TAV. XXXV</b> |      |                               |   |
| RE           |                  |      | INDAGINI                      |   |
|              | RCG              |      | RICOGNIZIONE ARCHEOLOGICA     |   |
|              |                  | RCGV | Denominazione ricognizione    | <b>UR30a</b>  |
|              |                  | RCGD | Riferimento cronologico       | 19/08/2022  |
|              |                  | RCGT | Situazione ambientale         | Tracciato del cavidotto lungo il sentiero. Oltre tratti di cespugli e rovi, i terreni pianeggianti sono coperti da foraggere. Vegetazione in alcuni tratti alta, secca, non falciata, in altri falciata ma lasciata sul terreno. Visibilità complessivamente media. Non sono state rilevate evidenze archeologiche. Alla distanza di circa 220 m a NE è ubicato il N.ghe Muros. |
|              |                  | RCGE | Motivo                        | verifica preventiva   |
|              |                  | RCGM | Metodo                        | sistematico   |
|              |                  | RCGR | Ente responsabile             | SABAP SS E NU   |
|              |                  | RCGA | Responsabile scientifico      | Manca di Mores, Giuseppina  |
|              |                  | RCGZ | Note                          |   |
| GE           |                  |      | GEOREFERENZIAZIONE            |   |
|              | GEL              |      | Tipo di localizzazione        | localizzazione fisica   |
|              | GET              |      | Tipo di georeferenziazione    | georeferenziazione puntuale   |
|              | GEP              |      | Sistema di riferimento        | WGS84   |
|              | GEC              |      | COORDINATE                    |   |
|              |                  | GECX | Coordinata x                  | 8.728822  |
|              |                  | GECY | Coordinata y                  | 40.815796   |
|              |                  | GECS | Note                          | inizio UR   |
|              |                  | GECX | Coordinata x                  | 8.30490   |
|              |                  | GECY | Coordinata y                  | 40.817005   |
|              |                  | GECS | Note                          | fine UR   |
|              | GPT              |      | Tecnica di georeferenziazione | rilievo tramite GPS   |
|              | GPM              |      | Metodo di posizionamento      | posizionamento esatto   |
|              | FTA              |      | DOCUMENTAZIONE FOTOGRAFICA    |   |
|              |                  | FTAN | Codice identificativo         | UR30a01   |
|              |                  | FTAX | Genere                        | documentazione allegata   |
|              |                  | FTAP | Tipo                          | foto digitale   |

|     |      |                            |  |
|-----|------|----------------------------|--|
|     | FTAF | Formato                    | jpeg   |
|     | FTAM | Titolo/didasalia           | tracciato cavidotto lungo il sentiero                |
|     | FTAA | Autore                     | Manca di Mores, Giuseppina                           |
|     | FTAD | Riferimento cronologico    | 19/08/2022   |
|     | FTAT | Note                       | Rif. relazione tav. XXXV, fig. 1                     |
| FTA |      | DOCUMENTAZIONE FOTOGRAFICA |  |
|     | FTAN | Codice identificativo      | UR30a02  |
|     | FTAX | Genere                     | documentazione allegata                              |
|     | FTAP | Tipo                       | foto digitale  |
|     | FTAF | Formato                    | jpeg   |
|     | FTAM | Titolo/didasalia           | proseguimento tracciato e survey nelle fasce di 25 m |
|     | FTAA | Autore                     | Manca di Mores, Giuseppina                           |
|     | FTAD | Riferimento cronologico    | 19/08/2022   |
|     | FTAT | Note                       | Rif. relazione tav. XXXV, fig. 2                     |
| FTA |      | DOCUMENTAZIONE FOTOGRAFICA |  |
|     | FTAN | Codice identificativo      | UR30a03  |
|     | FTAX | Genere                     | documentazione allegata                              |
|     | FTAP | Tipo                       | foto digitale  |
|     | FTAF | Formato                    | jpeg   |
|     | FTAM | Titolo/didasalia           | proseguimento tracciato e survey nelle fasce di 25 m |
|     | FTAA | Autore                     | Manca di Mores, Giuseppina                           |
|     | FTAD | Riferimento cronologico    | 19/08/2022   |
|     | FTAT | Note                       | Rif. relazione tav. XXXV, fig. 3                     |
| FTA |      | DOCUMENTAZIONE FOTOGRAFICA |  |
|     | FTAN | Codice identificativo      | UR30a04  |
|     | FTAX | Genere                     | documentazione allegata                              |
|     | FTAP | Tipo                       | foto digitale  |
|     | FTAF | Formato                    | jpeg   |
|     | FTAM | Titolo/didasalia           | survey e dettaglio visibilità suoli                  |
|     | FTAA | Autore                     | Manca di Mores, Giuseppina                           |
|     | FTAD | Riferimento cronologico    | 19/08/2022   |
|     | FTAT | Note                       | Rif. relazione tav. XXXV, fig. 4                     |
| FTA |      | DOCUMENTAZIONE FOTOGRAFICA |  |
|     | FTAN | Codice identificativo      | UR30a05  |
|     | FTAX | Genere                     | documentazione allegata                              |
|     | FTAP | Tipo                       | foto digitale  |
|     | FTAF | Formato                    | jpeg   |
|     | FTAM | Titolo/didasalia           | parte finale UR e survey area vasta                  |
|     | FTAA | Autore                     | Manca di Mores, Giuseppina                           |

|              |                   |      |                               |  |
|--------------|-------------------|------|-------------------------------|--|
|              |                   | FTAD | Riferimento cronologico       | 19/08/2022   |
|              |                   | FTAT | Note                          | Rif. relazione tav. XXXV, fig. 5   |
|              | FTA               |      | DOCUMENTAZIONE FOTOGRAFICA    |  |
|              |                   | FTAN | Codice identificativo         | UR30a06  |
|              |                   | FTAX | Genere                        | documentazione allegata  |
|              |                   | FTAP | Tipo                          | foto digitale  |
|              |                   | FTAF | Formato                       | jpeg   |
|              |                   | FTAM | Titolo/didascalia             | dettaglio della visibilità dei suoli in terreni pascolativi  |
|              |                   | FTAA | Autore                        | Manca di Mores, Giuseppina   |
|              |                   | FTAD | Riferimento cronologico       | 19/08/2022   |
|              |                   | FTAT | Note                          | Rif. relazione tav. XXXV, fig. 6   |
| <b>UR30b</b> | <b>TAV. XXXVI</b> |      |                               |  |
| RE           |                   |      | INDAGINI                      |  |
|              | RCG               |      | RICOGNIZIONE ARCHEOLOGICA     |  |
|              |                   | RCGV | Denominazione ricognizione    | <b>UR30b</b>   |
|              |                   | RCGD | Riferimento cronologico       | 19/08/2022   |
|              |                   | RCGT | Situazione ambientale         | Tracciato del cavidotto lungo la strada asfaltata; ai lati, terreno rialzato coperto da fitta vegetazione di arbusti e rovi che limita le indagini anche ai terreni retrostanti. Visibilità bassa. Nelle fasce lungo strada non sono state rilevate evidenze archeologiche. Alla distanza di circa 70 m in direzione E è ubicato il N.ghe Muros. |
|              |                   | RCGE | Motivo                        | verifica preventiva  |
|              |                   | RCGM | Metodo                        | sistematico  |
|              |                   | RCGR | Ente responsabile             | SABAP SS E NU  |
|              |                   | RCGA | Responsabile scientifico      | Manca di Mores, Giuseppina   |
|              |                   | RCGZ | Note                          |  |
| GE           |                   |      | GEOREFERENZIAZIONE            |  |
|              | GEL               |      | Tipo di localizzazione        | localizzazione fisica  |
|              | GET               |      | Tipo di georeferenziazione    | georeferenziazione puntuale  |
|              | GEP               |      | Sistema di riferimento        | WGS84  |
|              | GEC               |      | COORDINATE                    |  |
|              |                   | GECX | Coordinata x                  | 8.30490  |
|              |                   | GECY | Coordinata y                  | 40.817005  |
|              |                   | GECS | Note                          | inizio UR  |
|              |                   | GECX | Coordinata x                  | 8.730963   |
|              |                   | GECY | Coordinata y                  | 40.819549  |
|              |                   | GECS | Note                          | fine UR  |
|              | GPT               |      | Tecnica di georeferenziazione | rilievo tramite GPS  |

| GPM         |                    | Metodo di posizionamento   | posizionamento esatto   |
|-------------|--------------------|----------------------------|---|
|             | FTA                | DOCUMENTAZIONE FOTOGRAFICA |   |
|             | FTAN               | Codice identificativo      | UR30b01   |
|             | FTAX               | Genere                     | documentazione allegata   |
|             | FTAP               | Tipo                       | foto digitale   |
|             | FTAF               | Formato                    | jpeg  |
|             | FTAM               | Titolo/didascalia          | tracciato cavidotto lungo strada  |
|             | FTAA               | Autore                     | Manca di Mores, Giuseppina  |
|             | FTAD               | Riferimento cronologico    | 19/08/2022  |
|             | FTAT               | Note                       | Rif. relazione tav. XXXVI, fig. 1   |
|             | FTA                | DOCUMENTAZIONE FOTOGRAFICA |   |
|             | FTAN               | Codice identificativo      | UR30b02   |
|             | FTAX               | Genere                     | documentazione allegata   |
|             | FTAP               | Tipo                       | foto digitale   |
|             | FTAF               | Formato                    | jpeg  |
|             | FTAM               | Titolo/didascalia          | tracciato cavidotto lungo strada  |
|             | FTAA               | Autore                     | Manca di Mores, Giuseppina  |
|             | FTAD               | Riferimento cronologico    | 19/08/2022  |
|             | FTAT               | Note                       | Rif. relazione tav. XXXVI, fig. 2   |
| <b>UR31</b> | <b>TAV. XXXVII</b> |                            |   |
| RE          |                    | INDAGINI                   |   |
|             | RCG                | RICOGNIZIONE ARCHEOLOGICA  |   |
|             | RCGV               | Denominazione ricognizione | <b>UR31</b>   |
|             | RCGD               | Riferimento cronologico    | 19/08/2022  |
|             | RCGT               | Situazione ambientale      | Tracciato del cavidotto lungo un sentiero secondario che si diparte sulla dx della strada asfaltata. Terreno in forte rialzo sulla dx, scosceso sulla sx a inizio del sentiero, che subito dopo lascia spazio a terreni in leggero declivio con foraggere falciate e rade. Visibilità nelle fasce di survey complessivamente alta. Non sono state rilevate evidenze archeologiche. Alla distanza di circa 120 m in direzione E è ubicato il N.ghe Muros |
|             | RCGE               | Motivo                     | verifica preventiva   |
|             | RCGM               | Metodo                     | sistematico   |
|             | RCGR               | Ente responsabile          | SABAP SS E NU   |
|             | RCGA               | Responsabile scientifico   | Manca di Mores, Giuseppina  |
|             | RCGZ               | Note                       |   |
| GE          |                    | GEOREFERENZIAZIONE         |   |

|  |     |      |                               |  |
|--|-----|------|-------------------------------|--|
|  | GEL |      | Tipo di localizzazione        | localizzazione fisica  |
|  | GET |      | Tipo di georeferenziazione    | georeferenziazione puntuale  |
|  | GEP |      | Sistema di riferimento        | WGS84  |
|  | GEC |      | COORDINATE                    |  |
|  |     | GECX | Coordinata x                  | 8.730963   |
|  |     | GECY | Coordinata y                  | 40.819549  |
|  |     | GECS | Note                          | inizio UR  |
|  |     | GECX | Coordinata x                  | 8.729970   |
|  |     | GECY | Coordinata y                  | 40.820929  |
|  |     | GECS | Note                          | fine UR  |
|  | GPT |      | Tecnica di georeferenziazione | rilievo tramite GPS  |
|  | GPM |      | Metodo di posizionamento      | posizionamento esatto  |
|  | FTA |      | DOCUMENTAZIONE FOTOGRAFICA    |  |
|  |     | FTAN | Codice identificativo         | UR3101   |
|  |     | FTAX | Genere                        | documentazione allegata  |
|  |     | FTAP | Tipo                          | foto digitale  |
|  |     | FTAF | Formato                       | jpeg   |
|  |     | FTAM | Titolo/didascalia             | inizio UR - tracciato cavidotto su sentiero  |
|  |     | FTAA | Autore                        | Manca di Mores, Giuseppina   |
|  |     | FTAD | Riferimento cronologico       | 19/08/2022   |
|  |     | FTAT | Note                          | Rif. relazione tav. XXXVII, fig. 1   |
|  | FTA |      | DOCUMENTAZIONE FOTOGRAFICA    |  |
|  |     | FTAN | Codice identificativo         | UR3102   |
|  |     | FTAX | Genere                        | documentazione allegata  |
|  |     | FTAP | Tipo                          | foto digitale  |
|  |     | FTAF | Formato                       | jpeg   |
|  |     | FTAM | Titolo/didascalia             | prosecuzione tracciato cavidotto   |
|  |     | FTAA | Autore                        | Manca di Mores, Giuseppina   |
|  |     | FTAD | Riferimento cronologico       | 19/08/2022   |
|  |     | FTAT | Note                          | Rif. relazione tav. XXXVII, fig. 2   |
|  | FTA |      | DOCUMENTAZIONE FOTOGRAFICA    |  |
|  |     | FTAN | Codice identificativo         | UR3103   |
|  |     | FTAX | Genere                        | documentazione allegata  |
|  |     | FTAP | Tipo                          | foto digitale  |
|  |     | FTAF | Formato                       | jpeg   |
|  |     | FTAM | Titolo/didascalia             | prosecuzione tracciato cavidotto su sentiero e accesso al survey sulla fascia dei 25 m |
|  |     | FTAA | Autore                        | Manca di Mores, Giuseppina   |
|  |     | FTAD | Riferimento cronologico       | 19/08/2022   |
|  |     | FTAT | Note                          | Rif. relazione tav. XXXVII, fig. 3   |

|             |                |      |  |
|-------------|----------------|------|--|
|             | FTA            |      | DOCUMENTAZIONE FOTOGRAFICA   |
|             |                | FTAN | Codice identificativo<br>UR3104  |
|             |                | FTAX | Genere<br>documentazione allegata  |
|             |                | FTAP | Tipo<br>foto digitale  |
|             |                | FTAF | Formato<br>jpeg  |
|             |                | FTAM | Titolo/didascalia<br>tracciato cavidotto e survey nelle fasce  |
|             |                | FTAA | Autore<br>Manca di Mores, Giuseppina   |
|             |                | FTAD | Riferimento cronologico<br>19/08/2022  |
|             |                | FTAT | Note<br>Rif. relazione tav. XXXVII, fig. 4   |
|             | FTA            |      | DOCUMENTAZIONE FOTOGRAFICA   |
|             |                | FTAN | Codice identificativo<br>UR3105  |
|             |                | FTAX | Genere<br>documentazione allegata  |
|             |                | FTAP | Tipo<br>foto digitale  |
|             |                | FTAF | Formato<br>jpeg  |
|             |                | FTAM | Titolo/didascalia<br>fine tracciato cavidotto UR31 e survey nella fascia   |
|             |                | FTAA | Autore<br>Manca di Mores, Giuseppina   |
|             |                | FTAD | Riferimento cronologico<br>19/08/2022  |
|             |                | FTAT | Note<br>Rif. relazione tav. XXXVII, fig. 5   |
| <b>UR32</b> | <b>TAV.</b>    |      |  |
|             | <b>XXXVIII</b> |      |  |
| RE          |                |      | INDAGINI   |
|             | RCG            |      | RICOGNIZIONE ARCHEOLOGICA  |
|             |                | RCGV | Denominazione ricognizione<br><b>UR32</b>  |
|             |                | RCGD | Riferimento cronologico<br>19/08/2022  |
|             |                | RCGT | Situazione ambientale<br>Tracciato del cavidotto lungo la strada asfaltata; ai lati terreno scosceso o in forte rialzo, con tratti di vegetazione arbustiva e rovi sul bordo strada soprattutto nella prima parte, ma ai lati alcuni accessi hanno consentito il survey in terreni falciati e di buona visibilità nelle fasce, se si escludono alcune aree di abitazioni private. Per questo motivo la visibilità può definirsi complessivamente alta. Per le aree accessibili al survey non sono state rilevate evidenze archeologiche. |
|             |                | RCGE | Motivo<br>verifica preventiva  |
|             |                | RCGM | Metodo<br>sistematico  |
|             |                | RCGR | Ente responsabile<br>SABAP SS E NU   |
|             |                | RCGA | Responsabile scientifico<br>Manca di Mores, Giuseppina   |
|             |                | RCGZ | Note   |
| GE          |                |      | GEOREFERENZIAZIONE   |

|  |     |      |                               |   |
|--|-----|------|-------------------------------|---|
|  | GEL |      | Tipo di localizzazione        | localizzazione fisica                         |
|  | GET |      | Tipo di georeferenziazione    | georeferenziazione puntuale                   |
|  | GEP |      | Sistema di riferimento        | WGS84   |
|  | GEC |      | COORDINATE                    |   |
|  |     | GECX | Coordinata x                  | 8.725073                                      |
|  |     | GECY | Coordinata y                  | 40.815724                                     |
|  |     | GECS | Note                          | inizio UR                                     |
|  |     | GECX | Coordinata x                  | 8.717230                                      |
|  |     | GECY | Coordinata y                  | 40.818018                                     |
|  |     | GECS | Note                          | fine UR                                       |
|  | GPT |      | Tecnica di georeferenziazione | rilievo tramite GPS                           |
|  | GPM |      | Metodo di posizionamento      | posizionamento esatto                         |
|  | FTA |      | DOCUMENTAZIONE FOTOGRAFICA    |   |
|  |     | FTAN | Codice identificativo         | UR3201  |
|  |     | FTAX | Genere                        | documentazione allegata                       |
|  |     | FTAP | Tipo                          | foto digitale                                 |
|  |     | FTAF | Formato                       | jpeg  |
|  |     | FTAM | Titolo/didascalia             | tracciato cavidotto lungo strada              |
|  |     | FTAA | Autore                        | Manca di Mores, Giuseppina                    |
|  |     | FTAD | Riferimento cronologico       | 19/08/2022                                    |
|  |     | FTAT | Note                          | Rif. relazione tav. XXXVIII, fig. 1           |
|  | FTA |      | DOCUMENTAZIONE FOTOGRAFICA    |   |
|  |     | FTAN | Codice identificativo         | UR3202  |
|  |     | FTAX | Genere                        | documentazione allegata                       |
|  |     | FTAP | Tipo                          | foto digitale                                 |
|  |     | FTAF | Formato                       | jpeg  |
|  |     | FTAM | Titolo/didascalia             | accesso al survey nei terreni sulla fascia dx |
|  |     | FTAA | Autore                        | Manca di Mores, Giuseppina                    |
|  |     | FTAD | Riferimento cronologico       | 19/08/2022                                    |
|  |     | FTAT | Note                          | Rif. relazione tav. XXXVIII, fig. 2           |
|  | FTA |      | DOCUMENTAZIONE FOTOGRAFICA    |   |
|  |     | FTAN | Codice identificativo         | UR3203  |
|  |     | FTAX | Genere                        | documentazione allegata                       |
|  |     | FTAP | Tipo                          | foto digitale                                 |
|  |     | FTAF | Formato                       | jpeg  |
|  |     | FTAM | Titolo/didascalia             | tracciato lungo strada e abitazioni private   |
|  |     | FTAA | Autore                        | Manca di Mores, Giuseppina                    |
|  |     | FTAD | Riferimento cronologico       | 19/08/2022                                    |
|  |     | FTAT | Note                          | Rif. relazione tav. XXXVIII, fig. 3           |



| FTA          |                   | DOCUMENTAZIONE FOTOGRAFICA |   |
|--------------|-------------------|----------------------------|---|
|              | FTAN              | Codice identificativo      | UR3204  |
|              | FTAX              | Genere                     | documentazione allegata                             |
|              | FTAP              | Tipo                       | foto digitale                                       |
|              | FTAF              | Formato                    | jpeg  |
|              | FTAM              | Titolo/didasalia           | tracciato lungo strada e survey su terreni falciati |
|              | FTAA              | Autore                     | Manca di Mores, Giuseppina                          |
|              | FTAD              | Riferimento cronologico    | 19/08/2022  |
|              | FTAT              | Note                       | Rif. relazione tav. XXXVIII, fig. 4                 |
| FTA          |                   | DOCUMENTAZIONE FOTOGRAFICA |   |
|              | FTAN              | Codice identificativo      | UR3205  |
|              | FTAX              | Genere                     | documentazione allegata                             |
|              | FTAP              | Tipo                       | foto digitale                                       |
|              | FTAF              | Formato                    | jpeg  |
|              | FTAM              | Titolo/didasalia           | proseguimento tracciato cavidotto lungo strada      |
|              | FTAA              | Autore                     | Manca di Mores, Giuseppina                          |
|              | FTAD              | Riferimento cronologico    | 19/08/2022  |
|              | FTAT              | Note                       | Rif. relazione tav. XXXVIII, fig. 5                 |
| FTA          |                   | DOCUMENTAZIONE FOTOGRAFICA |   |
|              | FTAN              | Codice identificativo      | UR3206  |
|              | FTAX              | Genere                     | documentazione allegata                             |
|              | FTAP              | Tipo                       | foto digitale                                       |
|              | FTAF              | Formato                    | jpeg  |
|              | FTAM              | Titolo/didasalia           | parte finale tracciato cavidotto su strada UR 32    |
|              | FTAA              | Autore                     | Manca di Mores, Giuseppina                          |
|              | FTAD              | Riferimento cronologico    | 19/08/2022  |
|              | FTAT              | Note                       | Rif. relazione tav. XXXVIII, fig. 6                 |
| <b>UR33a</b> | <b>TAV. XXXIX</b> |                            |   |
| RE           |                   | INDAGINI                   |   |
|              | RCG               | RICOGNIZIONE ARCHEOLOGICA  |   |
|              | RCGV              | Denominazione ricognizione | <b>UR33a</b>  |
|              | RCGD              | Riferimento cronologico    | 19/08/2022  |

|    |     |      |                               |   |
|----|-----|------|-------------------------------|---|
|    |     | RCGT | Situazione ambientale         | Tracciato del cavidotto lungo il sentiero oltre il cancello. Terreni scoscesi ai lati del sentiero coperti da vegetazione fitta sia erbacea, secca, che arbustiva. Presenza di bestiame al pascolo che ha in alcuni tratti reso difficoltoso il survey. Visibilità complessivamente bassa. Nelle aree accessibili al survey non sono state rilevate evidenze archeologiche. |
|    |     | RCGE | Motivo                        | verifica preventiva   |
|    |     | RCGM | Metodo                        | sistematico   |
|    |     | RCGR | Ente responsabile             | SABAP SS E NU   |
|    |     | RCGA | Responsabile scientifico      | Manca di Mores, Giuseppina  |
|    |     | RCGZ | Note                          |   |
| GE |     |      | GEOREFERENZIAZIONE            |   |
|    | GEL |      | Tipo di localizzazione        | localizzazione fisica   |
|    | GET |      | Tipo di georeferenziazione    | georeferenziazione puntuale   |
|    | GEP |      | Sistema di riferimento        | WGS84   |
|    | GEC |      | COORDINATE                    |   |
|    |     | GECX | Coordinata x                  | 8.717230  |
|    |     | GECY | Coordinata y                  | 40.818018   |
|    |     | GECS | Note                          | inizio UR   |
|    |     | GECX | Coordinata x                  | 8.718683  |
|    |     | GECY | Coordinata y                  | 40.821354   |
|    |     | GECS | Note                          | fine UR   |
|    | GPT |      | Tecnica di georeferenziazione | rilievo tramite GPS   |
|    | GPM |      | Metodo di posizionamento      | posizionamento esatto   |
|    | FTA |      | DOCUMENTAZIONE FOTOGRAFICA    |   |
|    |     | FTAN | Codice identificativo         | UR33a01   |
|    |     | FTAX | Genere                        | documentazione allegata   |
|    |     | FTAP | Tipo                          | foto digitale   |
|    |     | FTAF | Formato                       | jpeg  |
|    |     | FTAM | Titolo/didascalia             | ingresso tracciato cavidotto su sentiero  |
|    |     | FTAA | Autore                        | Manca di Mores, Giuseppina  |
|    |     | FTAD | Riferimento cronologico       | 19/08/2022  |
|    |     | FTAT | Note                          | Rif. relazione tav. XXXIX, fig. 1   |
|    | FTA |      | DOCUMENTAZIONE FOTOGRAFICA    |   |
|    |     | FTAN | Codice identificativo         | UR33a02   |
|    |     | FTAX | Genere                        | documentazione allegata   |
|    |     | FTAP | Tipo                          | foto digitale   |
|    |     | FTAF | Formato                       | jpeg  |
|    |     | FTAM | Titolo/didascalia             | tracciato cavidotto su sentiero   |
|    |     | FTAA | Autore                        | Manca di Mores, Giuseppina  |

|  |     |      |                            |  |
|--|-----|------|----------------------------|--|
|  |     | FTAD | Riferimento cronologico    | 19/08/2022   |
|  |     | FTAT | Note                       | Rif. relazione tav. XXXIX, fig. 2  |
|  | FTA |      | DOCUMENTAZIONE FOTOGRAFICA |  |
|  |     | FTAN | Codice identificativo      | UR33a03  |
|  |     | FTAX | Genere                     | documentazione allegata  |
|  |     | FTAP | Tipo                       | foto digitale  |
|  |     | FTAF | Formato                    | jpeg   |
|  |     | FTAM | Titolo/didascalia          | proseguimento tracciato cavidotto su sentiero e vegetazione coprente ai lati |
|  |     | FTAA | Autore                     | Manca di Mores, Giuseppina   |
|  |     | FTAD | Riferimento cronologico    | 19/08/2022   |
|  |     | FTAT | Note                       | Rif. relazione tav. XXXIX, fig. 3  |
|  | FTA |      | DOCUMENTAZIONE FOTOGRAFICA |  |
|  |     | FTAN | Codice identificativo      | UR33a04  |
|  |     | FTAX | Genere                     | documentazione allegata  |
|  |     | FTAP | Tipo                       | foto digitale  |
|  |     | FTAF | Formato                    | jpeg   |
|  |     | FTAM | Titolo/didascalia          | proseguimento survey su cavidotto verso WTG                                  |
|  |     | FTAA | Autore                     | Manca di Mores, Giuseppina   |
|  |     | FTAD | Riferimento cronologico    | 19/08/2022   |
|  |     | FTAT | Note                       | Rif. relazione tav. XXXIX, fig. 4  |
|  | FTA |      | DOCUMENTAZIONE FOTOGRAFICA |  |
|  |     | FTAN | Codice identificativo      | UR33a05  |
|  |     | FTAX | Genere                     | documentazione allegata  |
|  |     | FTAP | Tipo                       | foto digitale  |
|  |     | FTAF | Formato                    | jpeg   |
|  |     | FTAM | Titolo/didascalia          | bestiame al pascolo nell'area  |
|  |     | FTAA | Autore                     | Manca di Mores, Giuseppina   |
|  |     | FTAD | Riferimento cronologico    | 19/08/2022   |
|  |     | FTAT | Note                       | Rif. relazione tav. XXXIX, fig. 5  |
|  | FTA |      | DOCUMENTAZIONE FOTOGRAFICA |  |
|  |     | FTAN | Codice identificativo      | UR33a06  |
|  |     | FTAX | Genere                     | documentazione allegata  |
|  |     | FTAP | Tipo                       | foto digitale  |
|  |     | FTAF | Formato                    | jpeg   |
|  |     | FTAM | Titolo/didascalia          | bestiame al pascolo nell'area di ricognizione                                |
|  |     | FTAA | Autore                     | Manca di Mores, Giuseppina   |
|  |     | FTAD | Riferimento cronologico    | 19/08/2022   |
|  |     | FTAT | Note                       | Rif. relazione tav. XXXIX, fig. 6  |

|              |                |                               |  |
|--------------|----------------|-------------------------------|--|
| <b>UR33b</b> | <b>TAV. XL</b> |                               |  |
| RE           |                | INDAGINI                      |  |
|              | RCG            | RICOGNIZIONE ARCHEOLOGICA     |  |
|              | RCGV           | Denominazione ricognizione    | <b>UR33b</b>   |
|              | RCGD           | Riferimento cronologico       | 19/08/2022   |
|              | RCGT           | Situazione ambientale         | Tracciato del cavidotto lungo il sentiero. Terreni pianeggianti coperti da foraggere per la maggior parte falciate, non sempre rastrellate. Visibilità complessivamente media. Non sono state rilevate evidenze archeologiche. |
|              | RCGE           | Motivo                        | verifica preventiva  |
|              | RCGM           | Metodo                        | sistematico  |
|              | RCGR           | Ente responsabile             | SABAP SS E NU  |
|              | RCGA           | Responsabile scientifico      | Manca di Mores, Giuseppina   |
|              | RCGZ           | Note                          |  |
| GE           |                | GEOREFERENZIAZIONE            |  |
|              | GEL            | Tipo di localizzazione        | localizzazione fisica  |
|              | GET            | Tipo di georeferenziazione    | georeferenziazione puntuale  |
|              | GEP            | Sistema di riferimento        | WGS84  |
|              | GEC            | COORDINATE                    |  |
|              | GECX           | Coordinata x                  | 8.718683   |
|              | GECY           | Coordinata y                  | 40.821354  |
|              | GECS           | Note                          | inizio UR  |
|              | GECX           | Coordinata x                  | 8.719439   |
|              | GECY           | Coordinata y                  | 40.826236  |
|              | GECS           | Note                          | fine UR  |
|              | GPT            | Tecnica di georeferenziazione | rilievo tramite GPS  |
|              | GPM            | Metodo di posizionamento      | posizionamento esatto  |
|              | FTA            | DOCUMENTAZIONE FOTOGRAFICA    |  |
|              | FTAN           | Codice identificativo         | UR33b01  |
|              | FTAX           | Genere                        | documentazione allegata  |
|              | FTAP           | Tipo                          | foto digitale  |
|              | FTAF           | Formato                       | jpeg   |
|              | FTAM           | Titolo/didascalia             | tracciato cavidotto sul sentiero   |
|              | FTAA           | Autore                        | Manca di Mores, Giuseppina   |
|              | FTAD           | Riferimento cronologico       | 19/08/2022   |
|              | FTAT           | Note                          | Rif. relazione tav. XL, fig. 1   |
|              | FTA            | DOCUMENTAZIONE FOTOGRAFICA    |  |
|              | FTAN           | Codice identificativo         | UR33b02  |

|             |                 |      |                            |   |
|-------------|-----------------|------|----------------------------|---|
|             |                 | FTAX | Genere                     | documentazione allegata   |
|             |                 | FTAP | Tipo                       | foto digitale   |
|             |                 | FTAF | Formato                    | jpeg  |
|             |                 | FTAM | Titolo/didascalia          | visibilità suoli tratti non falciati  |
|             |                 | FTAA | Autore                     | Manca di Mores, Giuseppina  |
|             |                 | FTAD | Riferimento cronologico    | 19/08/2022  |
|             |                 | FTAT | Note                       | Rif. relazione tav. XL, fig. 2  |
|             | FTA             |      | DOCUMENTAZIONE FOTOGRAFICA |   |
|             |                 | FTAN | Codice identificativo      | UR33b03   |
|             |                 | FTAX | Genere                     | documentazione allegata   |
|             |                 | FTAP | Tipo                       | foto digitale   |
|             |                 | FTAF | Formato                    | jpeg  |
|             |                 | FTAM | Titolo/didascalia          | visibilità suoli tratti non falciati  |
|             |                 | FTAA | Autore                     | Manca di Mores, Giuseppina  |
|             |                 | FTAD | Riferimento cronologico    | 19/08/2022  |
|             |                 | FTAT | Note                       | Rif. relazione tav. IL, fig. 3  |
|             | FTA             |      | DOCUMENTAZIONE FOTOGRAFICA |   |
|             |                 | FTAN | Codice identificativo      | UR33b04   |
|             |                 | FTAX | Genere                     | documentazione allegata   |
|             |                 | FTAP | Tipo                       | foto digitale   |
|             |                 | FTAF | Formato                    | jpeg  |
|             |                 | FTAM | Titolo/didascalia          | survey sulle fasce in terreni di buona visibilità   |
|             |                 | FTAA | Autore                     | Manca di Mores, Giuseppina  |
|             |                 | FTAD | Riferimento cronologico    | 19/08/2022  |
|             |                 | FTAT | Note                       | Rif. relazione tav. IL, fig. 4  |
| <b>UR34</b> | <b>TAV. XLI</b> |      |                            |   |
| RE          |                 |      | INDAGINI                   |   |
|             | RCG             |      | RICOGNIZIONE ARCHEOLOGICA  |   |
|             |                 | RCGV | Denominazione ricognizione | <b>UR34</b>   |
|             |                 | RCGD | Riferimento cronologico    | 19/08/2022  |
|             |                 | RCGT | Situazione ambientale      | Tracciato del cavidotto lungo lo stradino che si diparte dalla strada principale asfaltata. I lati della strada sono bordati da cespugli e rovi, ma oltre questa prima fascia i terreni sono pianeggianti o in lieve pendio, con foraggiere falciate. Visibilità complessivamente alta. Non sono state rilevate evidenze archeologiche. |
|             |                 | RCGE | Motivo                     | verifica preventiva   |
|             |                 | RCGM | Metodo                     | sistematico   |
|             |                 | RCGR | Ente responsabile          | SABAP SS E NU   |

|    |     |      |                               |   |
|----|-----|------|-------------------------------|---|
|    |     | RCGA | Responsabile scientifico      | Manca di Mores, Giuseppina                                  |
|    |     | RCGZ | Note                          |   |
| GE |     |      | GEOREFERENZIAZIONE            |   |
|    | GEL |      | Tipo di localizzazione        | localizzazione fisica                                       |
|    | GET |      | Tipo di georeferenziazione    | georeferenziazione puntuale                                 |
|    | GEP |      | Sistema di riferimento        | WGS84   |
|    | GEC |      | COORDINATE                    |   |
|    |     | GECX | Coordinata x                  | 8.742499  |
|    |     | GECY | Coordinata y                  | 40.804881   |
|    |     | GECS | Note                          | inizio UR   |
|    |     | GECX | Coordinata x                  | 8.747270  |
|    |     | GECY | Coordinata y                  | 40.804385   |
|    |     | GECS | Note                          | fine UR   |
|    | GPT |      | Tecnica di georeferenziazione | rilievo tramite GPS   |
|    | GPM |      | Metodo di posizionamento      | posizionamento esatto                                       |
|    | FTA |      | DOCUMENTAZIONE FOTOGRAFICA    |   |
|    |     | FTAN | Codice identificativo         | UR3401  |
|    |     | FTAX | Genere                        | documentazione allegata                                     |
|    |     | FTAP | Tipo                          | foto digitale   |
|    |     | FTAF | Formato                       | jpeg  |
|    |     | FTAM | Titolo/didascalia             | inizio tracciato cavidotto lungo strada                     |
|    |     | FTAA | Autore                        | Manca di Mores, Giuseppina                                  |
|    |     | FTAD | Riferimento cronologico       | 19/08/2022  |
|    |     | FTAT | Note                          | Rif. relazione tav. XLI, fig. 1                             |
|    | FTA |      | DOCUMENTAZIONE FOTOGRAFICA    |   |
|    |     | FTAN | Codice identificativo         | UR3402  |
|    |     | FTAX | Genere                        | documentazione allegata                                     |
|    |     | FTAP | Tipo                          | foto digitale   |
|    |     | FTAF | Formato                       | jpeg  |
|    |     | FTAM | Titolo/didascalia             | proseguimento tracciato cavidotto e veduta di area vasta    |
|    |     | FTAA | Autore                        | Manca di Mores, Giuseppina                                  |
|    |     | FTAD | Riferimento cronologico       | 19/08/2022  |
|    |     | FTAT | Note                          | Rif. relazione tav. XLI, fig. 2                             |
|    | FTA |      | DOCUMENTAZIONE FOTOGRAFICA    |   |
|    |     | FTAN | Codice identificativo         | UR3403  |
|    |     | FTAX | Genere                        | documentazione allegata                                     |
|    |     | FTAP | Tipo                          | foto digitale   |
|    |     | FTAF | Formato                       | jpeg  |
|    |     | FTAM | Titolo/didascalia             | proseguimento tracciato e visibilità ridotta a bordo strada |
|    |     | FTAA | Autore                        | Manca di Mores, Giuseppina                                  |

|             |                  |      |                            |  |
|-------------|------------------|------|----------------------------|--|
|             |                  | FTAD | Riferimento cronologico    | 19/08/2022   |
|             |                  | FTAT | Note                       | Rif. relazione tav. XLI, fig. 3                        |
|             | FTA              |      | DOCUMENTAZIONE FOTOGRAFICA |  |
|             |                  | FTAN | Codice identificativo      | UR3404   |
|             |                  | FTAX | Genere                     | documentazione allegata                                |
|             |                  | FTAP | Tipo                       | foto digitale  |
|             |                  | FTAF | Formato                    | jpeg   |
|             |                  | FTAM | Titolo/didascalia          | visibilità dei suoli e survey nelle fasce del 25 m     |
|             |                  | FTAA | Autore                     | Manca di Mores, Giuseppina                             |
|             |                  | FTAD | Riferimento cronologico    | 19/08/2022   |
|             |                  | FTAT | Note                       | Rif. relazione tav. XLI, fig. 4                        |
|             | FTA              |      | DOCUMENTAZIONE FOTOGRAFICA |  |
|             |                  | FTAN | Codice identificativo      | UR3405   |
|             |                  | FTAX | Genere                     | documentazione allegata                                |
|             |                  | FTAP | Tipo                       | foto digitale  |
|             |                  | FTAF | Formato                    | jpeg   |
|             |                  | FTAM | Titolo/didascalia          | dettaglio visibilità e survey nelle fasce dei 25 m     |
|             |                  | FTAA | Autore                     | Manca di Mores, Giuseppina                             |
|             |                  | FTAD | Riferimento cronologico    | 19/08/2022   |
|             |                  | FTAT | Note                       | Rif. relazione tav. L, fig. 5                          |
|             | FTA              |      | DOCUMENTAZIONE FOTOGRAFICA |  |
|             |                  | FTAN | Codice identificativo      | UR3406   |
|             |                  | FTAX | Genere                     | documentazione allegata                                |
|             |                  | FTAP | Tipo                       | foto digitale  |
|             |                  | FTAF | Formato                    | jpeg   |
|             |                  | FTAM | Titolo/didascalia          | parte finale dell'UR con tracciato cavidotto su strada |
|             |                  | FTAA | Autore                     | Manca di Mores, Giuseppina                             |
|             |                  | FTAD | Riferimento cronologico    | 19/08/2022   |
|             |                  | FTAT | Note                       | Rif. relazione tav. L, fig. 6                          |
| <b>UR35</b> | <b>TAV. XLII</b> |      |                            |  |
| RE          |                  |      | INDAGINI                   |  |
|             | RCG              |      | RICOGNIZIONE ARCHEOLOGICA  |  |
|             |                  | RCGV | Denominazione ricognizione | <b>UR35</b>  |
|             |                  | RCGD | Riferimento cronologico    | 19/08/2022   |

|    |     |      |                               |  |
|----|-----|------|-------------------------------|--|
|    |     | RCGT | Situazione ambientale         | Tracciato del cavidotto lungo lo stradino asfaltata. Presenza ai lati di dislivelli e di cespugli e rovi che limitano la visione e l'accesso alle fasce laterali. In alcuni casi sono accessibili terreni pianeggianti con foraggere tagliate, ma complessivamente la visibilità può definirsi bassa. Nell'area di survey non sono state rilevate evidenze archeologiche. A circa 180 m in linea d'aria è ubicata una cava di pietra antica. |
|    |     | RCGE | Motivo                        | verifica preventiva  |
|    |     | RCGM | Metodo                        | sistematico  |
|    |     | RCGR | Ente responsabile             | SABAP SS E NU  |
|    |     | RCGA | Responsabile scientifico      | Manca di Mores, Giuseppina   |
|    |     | RCGZ | Note                          |  |
| GE |     |      | GEOREFERENZIAZIONE            |  |
|    | GEL |      | Tipo di localizzazione        | localizzazione fisica  |
|    | GET |      | Tipo di georeferenziazione    | georeferenziazione puntuale  |
|    | GEP |      | Sistema di riferimento        | WGS84  |
|    | GEC |      | COORDINATE                    |  |
|    |     | GECX | Coordinata x                  | 8.747270   |
|    |     | GECY | Coordinata y                  | 40.804385  |
|    |     | GECS | Note                          | inizio UR  |
|    |     | GECX | Coordinata x                  | 8.750523   |
|    |     | GECY | Coordinata y                  | 40.807923  |
|    |     | GECS | Note                          | fine UR  |
|    | GPT |      | Tecnica di georeferenziazione | rilievo tramite GPS  |
|    | GPM |      | Metodo di posizionamento      | posizionamento esatto  |
|    | FTA |      | DOCUMENTAZIONE FOTOGRAFICA    |  |
|    |     | FTAN | Codice identificativo         | UR3501   |
|    |     | FTAX | Genere                        | documentazione allegata  |
|    |     | FTAP | Tipo                          | foto digitale  |
|    |     | FTAF | Formato                       | jpeg   |
|    |     | FTAM | Titolo/didascalia             | inizio tracciato cavidotto lungo strada  |
|    |     | FTAA | Autore                        | Manca di Mores, Giuseppina   |
|    |     | FTAD | Riferimento cronologico       | 19/08/2022   |
|    |     | FTAT | Note                          | Rif. relazione tav. XLII, fig. 1   |
|    | FTA |      | DOCUMENTAZIONE FOTOGRAFICA    |  |
|    |     | FTAN | Codice identificativo         | UR3502   |
|    |     | FTAX | Genere                        | documentazione allegata  |
|    |     | FTAP | Tipo                          | foto digitale  |
|    |     | FTAF | Formato                       | jpeg   |



|  |     |      |                            |  |
|--|-----|------|----------------------------|--|
|  |     | FTAM | Titolo/didascalia          | prosecurione tracciato e dettaglio vegetazione ad alto fusto su terreni falciati |
|  |     | FTAA | Autore                     | Manca di Mores, Giuseppina   |
|  |     | FTAD | Riferimento cronologico    | 19/08/2022   |
|  |     | FTAT | Note                       | Rif. relazione tav. XLII, fig. 2   |
|  | FTA |      | DOCUMENTAZIONE FOTOGRAFICA |  |
|  |     | FTAN | Codice identificativo      | UR3503   |
|  |     | FTAX | Genere                     | documentazione allegata  |
|  |     | FTAP | Tipo                       | foto digitale  |
|  |     | FTAF | Formato                    | jpeg   |
|  |     | FTAM | Titolo/didascalia          | survey nelle fasce di 25 m e dettaglio visibilità suoli                          |
|  |     | FTAA | Autore                     | Manca di Mores, Giuseppina   |
|  |     | FTAD | Riferimento cronologico    | 19/08/2022   |
|  |     | FTAT | Note                       | Rif. relazione tav. XLII, fig. 3   |
|  | FTA |      | DOCUMENTAZIONE FOTOGRAFICA |  |
|  |     | FTAN | Codice identificativo      | UR3504   |
|  |     | FTAX | Genere                     | documentazione allegata  |
|  |     | FTAP | Tipo                       | foto digitale  |
|  |     | FTAF | Formato                    | jpeg   |
|  |     | FTAM | Titolo/didascalia          | prosecurione tracciato cavidotto lungo strada                                    |
|  |     | FTAA | Autore                     | Manca di Mores, Giuseppina   |
|  |     | FTAD | Riferimento cronologico    | 19/08/2022   |
|  |     | FTAT | Note                       | Rif. relazione tav. XLII, fig. 4   |
|  | FTA |      | DOCUMENTAZIONE FOTOGRAFICA |  |
|  |     | FTAN | Codice identificativo      | UR3505   |
|  |     | FTAX | Genere                     | documentazione allegata  |
|  |     | FTAP | Tipo                       | foto digitale  |
|  |     | FTAF | Formato                    | jpeg   |
|  |     | FTAM | Titolo/didascalia          | prosecurione tracciato cavidotto lungo strada                                    |
|  |     | FTAA | Autore                     | Manca di Mores, Giuseppina   |
|  |     | FTAD | Riferimento cronologico    | 19/08/2022   |
|  |     | FTAT | Note                       | Rif. relazione tav. XLII, fig. 5   |
|  | FTA |      | DOCUMENTAZIONE FOTOGRAFICA |  |
|  |     | FTAN | Codice identificativo      | UR3506   |
|  |     | FTAX | Genere                     | documentazione allegata  |
|  |     | FTAP | Tipo                       | foto digitale  |
|  |     | FTAF | Formato                    | jpeg   |
|  |     | FTAM | Titolo/didascalia          | parte finale tracciato cavidotto lungo strada                                    |
|  |     | FTAA | Autore                     | Manca di Mores, Giuseppina   |

|             |                   |      |                               |  |
|-------------|-------------------|------|-------------------------------|--|
|             |                   | FTAD | Riferimento cronologico       | 19/08/2022   |
|             |                   | FTAT | Note                          | Rif. relazione tav. XLII, fig. 6   |
| <b>UR36</b> | <b>TAV. XLIII</b> |      |                               |  |
| RE          |                   |      | INDAGINI                      |  |
|             | RCG               |      | RICOGNIZIONE ARCHEOLOGICA     |  |
|             |                   | RCGV | Denominazione ricognizione    | <b>UR36</b>  |
|             |                   | RCGD | Riferimento cronologico       | 19/08/2022   |
|             |                   | RCGT | Situazione ambientale         | Tracciato del cavidotto lungo lo stradino. Presenza ai lati di fitta vegetazione arborea, arbustiva e di rovi che limitano la visibilità anche nelle fasce laterali. Complessivamente visibilità molto bassa. Il Nuraghe Ena Longa è ubicato entro la fascia del 25 m dal tracciato, coperto da vegetazione. |
|             |                   | RCGE | Motivo                        | verifica preventiva  |
|             |                   | RCGM | Metodo                        | sistematico  |
|             |                   | RCGR | Ente responsabile             | SABAP SS E NU  |
|             |                   | RCGA | Responsabile scientifico      | Manca di Mores, Giuseppina   |
|             |                   | RCGZ | Note                          |  |
| GE          |                   |      | GEOREFERENZIAZIONE            |  |
|             | GEL               |      | Tipo di localizzazione        | localizzazione fisica  |
|             | GET               |      | Tipo di georeferenziazione    | georeferenziazione puntuale  |
|             | GEP               |      | Sistema di riferimento        | WGS84  |
|             | GEC               |      | COORDINATE                    |  |
|             |                   | GECX | Coordinata x                  | 8.751117   |
|             |                   | GECY | Coordinata y                  | 40.809354  |
|             |                   | GECS | Note                          | inizio UR  |
|             |                   | GECX | Coordinata x                  | 8.753113   |
|             |                   | GECY | Coordinata y                  | 40.811640  |
|             |                   | GECS | Note                          | fine UR  |
|             | GPT               |      | Tecnica di georeferenziazione | rilievo tramite GPS  |
|             | GPM               |      | Metodo di posizionamento      | posizionamento esatto  |
|             | FTA               |      | DOCUMENTAZIONE FOTOGRAFICA    |  |
|             |                   | FTAN | Codice identificativo         | UR3601   |
|             |                   | FTAX | Genere                        | documentazione allegata  |
|             |                   | FTAP | Tipo                          | foto digitale  |
|             |                   | FTAF | Formato                       | jpeg   |
|             |                   | FTAM | Titolo/didascalia             | tracciato cavidotto lungo strada   |
|             |                   | FTAA | Autore                        | Manca di Mores, Giuseppina   |
|             |                   | FTAD | Riferimento cronologico       | 19/08/2022   |

|  |     |      |                            |   |
|--|-----|------|----------------------------|---|
|  |     | FTAT | Note                       | Rif. relazione tav. XLIII, fig. 1   |
|  | FTA |      | DOCUMENTAZIONE FOTOGRAFICA |   |
|  |     | FTAN | Codice identificativo      | UR1302  |
|  |     | FTAX | Genere                     | documentazione allegata   |
|  |     | FTAP | Tipo                       | foto digitale   |
|  |     | FTAF | Formato                    | jpeg  |
|  |     | FTAM | Titolo/didascalia          | proseguimento tracciato cavidotto lungo strada                                      |
|  |     | FTAA | Autore                     | Manca di Mores, Giuseppina  |
|  |     | FTAD | Riferimento cronologico    | 19/08/2022  |
|  |     | FTAT | Note                       | Rif. relazione tav. XLIII, fig. 2   |
|  | FTA |      | DOCUMENTAZIONE FOTOGRAFICA |   |
|  |     | FTAN | Codice identificativo      | UR3603  |
|  |     | FTAX | Genere                     | documentazione allegata   |
|  |     | FTAP | Tipo                       | foto digitale   |
|  |     | FTAF | Formato                    | jpeg  |
|  |     | FTAM | Titolo/didascalia          | proseguimento tracciato cavidotto lungo strada -<br>vegetazione molto fitta ai lati |
|  |     | FTAA | Autore                     | Manca di Mores, Giuseppina  |
|  |     | FTAD | Riferimento cronologico    | 19/08/2022  |
|  |     | FTAT | Note                       | Rif. relazione tav. XLIII, fig. 3   |
|  | FTA |      | DOCUMENTAZIONE FOTOGRAFICA |   |
|  |     | FTAN | Codice identificativo      | UR3604  |
|  |     | FTAX | Genere                     | documentazione allegata   |
|  |     | FTAP | Tipo                       | foto digitale   |
|  |     | FTAF | Formato                    | jpeg  |
|  |     | FTAM | Titolo/didascalia          | proseguimento tracciato cavidotto lungo strada - dettaglio<br>visibilità            |
|  |     | FTAA | Autore                     | Manca di Mores, Giuseppina  |
|  |     | FTAD | Riferimento cronologico    | 19/08/2022  |
|  |     | FTAT | Note                       | Rif. relazione tav. XLIII, fig. 4   |
|  | FTA |      | DOCUMENTAZIONE FOTOGRAFICA |   |
|  |     | FTAN | Codice identificativo      | UR3605  |
|  |     | FTAX | Genere                     | documentazione allegata   |
|  |     | FTAP | Tipo                       | foto digitale   |
|  |     | FTAF | Formato                    | jpeg  |
|  |     | FTAM | Titolo/didascalia          | parte finale UR - tracciato cavidotto lungo strada                                  |
|  |     | FTAA | Autore                     | Manca di Mores, Giuseppina  |
|  |     | FTAD | Riferimento cronologico    | 19/08/2022  |
|  |     | FTAT | Note                       | Rif. relazione tav. XLIII, fig. 5   |

| FTA         |                  | DOCUMENTAZIONE FOTOGRAFICA |   |
|-------------|------------------|----------------------------|---|
|             | FTAN             | Codice identificativo      | UR3606  |
|             | FTAX             | Genere                     | documentazione allegata   |
|             | FTAP             | Tipo                       | foto digitale   |
|             | FTAF             | Formato                    | jpeg  |
|             | FTAM             | Titolo/didascalia          | N.ghe Ena Longa   |
|             | FTAA             | Autore                     | Manca di Mores, Giuseppina  |
|             | FTAD             | Riferimento cronologico    | 19/08/2022  |
|             | FTAT             | Note                       | Rif. relazione tav. XLIII, fig. 6   |
| <b>UR37</b> | <b>TAV. XLIV</b> |                            |   |
| RE          |                  | INDAGINI                   |   |
|             | RCG              | RICOGNIZIONE ARCHEOLOGICA  |   |
|             | RCGV             | Denominazione ricognizione | <b>UR37</b>   |
|             | RCGD             | Riferimento cronologico    | 19/08/2022  |
|             | RCGT             | Situazione ambientale      | Tracciato del cavidotto lungo lo stradino asfaltata. Presenza ai lati di fitta vegetazione arborea, arbustiva e di rovi che limitano la visibilità anche nelle fasce laterali. Complessivamente visibilità molto bassa. Sulla dx sono visibili numerose pietre di grandi dimensioni, non significative. Per quanto possibile apprezzare nel survey, non sono state rilevate evidenze archeologiche. Alla distanza di circa m 80 è ubicato il N.ghe Su Ludosu. |
|             | RCGE             | Motivo                     | verifica preventiva   |
|             | RCGM             | Metodo                     | sistematico   |
|             | RCGR             | Ente responsabile          | SABAP SS E NU   |
|             | RCGA             | Responsabile scientifico   | Manca di Mores, Giuseppina  |
|             | RCGZ             | Note                       |   |
| GE          |                  | GEOREFERENZIAZIONE         |   |
|             | GEL              | Tipo di localizzazione     | localizzazione fisica   |
|             | GET              | Tipo di georeferenziazione | georeferenziazione puntuale   |
|             | GEP              | Sistema di riferimento     | WGS84   |
|             | GEC              | COORDINATE                 |   |
|             | GECX             | Coordinata x               | 8.753113  |
|             | GECY             | Coordinata y               | 40.811640   |
|             | GECS             | Note                       | inizio UR   |
|             | GECX             | Coordinata x               | 8.751964  |
|             | GECY             | Coordinata y               | 40.814934   |
|             | GECS             | Note                       | fine UR   |

|  |     |      |                               |   |
|--|-----|------|-------------------------------|---|
|  | GPT |      | Tecnica di georeferenziazione | rilievo tramite GPS                                     |
|  | GPM |      | Metodo di posizionamento      | posizionamento esatto                                   |
|  | FTA |      | DOCUMENTAZIONE FOTOGRAFICA    |   |
|  |     | FTAN | Codice identificativo         | UR3701  |
|  |     | FTAX | Genere                        | documentazione allegata                                 |
|  |     | FTAP | Tipo                          | foto digitale   |
|  |     | FTAF | Formato                       | jpeg  |
|  |     | FTAM | Titolo/didascalia             | tracciato cavidotto lungo strada                        |
|  |     | FTAA | Autore                        | Manca di Mores, Giuseppina                              |
|  |     | FTAD | Riferimento cronologico       | 19/08/2022  |
|  |     | FTAT | Note                          | Rif. relazione tav. XLIV, fig. 1                        |
|  | FTA |      | DOCUMENTAZIONE FOTOGRAFICA    |   |
|  |     | FTAN | Codice identificativo         | UR3702  |
|  |     | FTAX | Genere                        | documentazione allegata                                 |
|  |     | FTAP | Tipo                          | foto digitale   |
|  |     | FTAF | Formato                       | jpeg  |
|  |     | FTAM | Titolo/didascalia             | dettaglio affioramenti di pietrame al lato della strada |
|  |     | FTAA | Autore                        | Manca di Mores, Giuseppina                              |
|  |     | FTAD | Riferimento cronologico       | 19/08/2022  |
|  |     | FTAT | Note                          | Rif. relazione tav. XLIV, fig. 2                        |
|  | FTA |      | DOCUMENTAZIONE FOTOGRAFICA    |   |
|  |     | FTAN | Codice identificativo         | UR3703  |
|  |     | FTAX | Genere                        | documentazione allegata                                 |
|  |     | FTAP | Tipo                          | foto digitale   |
|  |     | FTAF | Formato                       | jpeg  |
|  |     | FTAM | Titolo/didascalia             | veduta d'insieme affioramenti pietrame                  |
|  |     | FTAA | Autore                        | Manca di Mores, Giuseppina                              |
|  |     | FTAD | Riferimento cronologico       | 19/08/2022  |
|  |     | FTAT | Note                          | Rif. relazione tav. XLIV, fig. 3                        |
|  | FTA |      | DOCUMENTAZIONE FOTOGRAFICA    |   |
|  |     | FTAN | Codice identificativo         | UR3704  |
|  |     | FTAX | Genere                        | documentazione allegata                                 |
|  |     | FTAP | Tipo                          | foto digitale   |
|  |     | FTAF | Formato                       | jpeg  |
|  |     | FTAM | Titolo/didascalia             | proseguimento tracciato cavidotto lungo strada          |
|  |     | FTAA | Autore                        | Manca di Mores, Giuseppina                              |
|  |     | FTAD | Riferimento cronologico       | 19/08/2022  |
|  |     | FTAT | Note                          | Rif. relazione tav. XLIV, fig. 4                        |

|             |                 |      |   |
|-------------|-----------------|------|---|
|             | FTA             |      | DOCUMENTAZIONE FOTOGRAFICA  |
|             |                 | FTAN | Codice identificativo<br>UR3705   |
|             |                 | FTAX | Genere<br>documentazione allegata   |
|             |                 | FTAP | Tipo<br>foto digitale   |
|             |                 | FTAF | Formato<br>jpeg   |
|             |                 | FTAM | Titolo/didascalia<br>proseguimento tracciato cavidotto lungo strada -dettaglio della fitta vegetazione  |
|             |                 | FTAA | Autore<br>Manca di Mores, Giuseppina  |
|             |                 | FTAD | Riferimento cronologico<br>19/08/2022   |
|             |                 | FTAT | Note<br>Rif. relazione tav. XLIV, fig. 5  |
|             | FTA             |      | DOCUMENTAZIONE FOTOGRAFICA  |
|             |                 | FTAN | Codice identificativo<br>UR3706   |
|             |                 | FTAX | Genere<br>documentazione allegata   |
|             |                 | FTAP | Tipo<br>foto digitale   |
|             |                 | FTAF | Formato<br>jpeg   |
|             |                 | FTAM | Titolo/didascalia<br>tracciato cavidotto lungo strada   |
|             |                 | FTAA | Autore<br>Manca di Mores, Giuseppina  |
|             |                 | FTAD | Riferimento cronologico<br>19/08/2022   |
|             |                 | FTAT | Note<br>Rif. relazione tav. XLIV, fig. 6  |
| <b>UR38</b> | <b>TAV. XLV</b> |      |   |
| RE          |                 |      | INDAGINI  |
|             | RCG             |      | RICOGNIZIONE ARCHEOLOGICA   |
|             |                 | RCGV | Denominazione ricognizione<br><b>UR38</b>   |
|             |                 | RCGD | Riferimento cronologico<br>19/08/2022   |
|             |                 | RCGT | Situazione ambientale<br>Tracciato del cavidotto lungo la stradina asfaltata. Presenza ai lati di vegetazione arbustiva e di rovi che consentono però l'accesso ai terreni nelle fasce laterali, pianeggianti o in leggero declivio, occupati da foraggere in parte falciate. Complessivamente visibilità media. Non sono state rilevate evidenze archeologiche. Alla distanza di circa 160 m in direzione W è ubicata un'area nuragica (Su Paladinu?). |
|             |                 | RCGE | Motivo<br>verifica preventiva   |
|             |                 | RCGM | Metodo<br>sistematico   |
|             |                 | RCGR | Ente responsabile<br>SABAP SS E NU  |
|             |                 | RCGA | Responsabile scientifico<br>Manca di Mores, Giuseppina  |
|             |                 | RCGZ | Note  |
| GE          |                 |      | GEOREFERENZIAZIONE  |
|             | GEL             |      | Tipo di localizzazione<br>localizzazione fisica   |

|  |     |      |                               |  |
|--|-----|------|-------------------------------|--|
|  | GET |      | Tipo di georeferenziazione    | georeferenziazione puntuale                                  |
|  | GEP |      | Sistema di riferimento        | WGS84  |
|  | GEC |      | COORDINATE                    |  |
|  |     | GECX | Coordinata x                  | 8.746310   |
|  |     | GECY | Coordinata y                  | 40.825383  |
|  |     | GECS | Note                          | inizio UR  |
|  |     | GECX | Coordinata x                  | 8.749736   |
|  |     | GECY | Coordinata y                  | 40.823389  |
|  |     | GECS | Note                          | fine UR  |
|  | GPT |      | Tecnica di georeferenziazione | rilievo tramite GPS  |
|  | GPM |      | Metodo di posizionamento      | posizionamento esatto  |
|  | FTA |      | DOCUMENTAZIONE FOTOGRAFICA    |  |
|  |     | FTAN | Codice identificativo         | UR3801   |
|  |     | FTAX | Genere                        | documentazione allegata                                      |
|  |     | FTAP | Tipo                          | foto digitale  |
|  |     | FTAF | Formato                       | jpeg   |
|  |     | FTAM | Titolo/didascalia             | tracciato cavidotto lungo strada                             |
|  |     | FTAA | Autore                        | Manca di Mores, Giuseppina                                   |
|  |     | FTAD | Riferimento cronologico       | 19/08/2022   |
|  |     | FTAT | Note                          | Rif. relazione tav. XLV, fig. 1                              |
|  | FTA |      | DOCUMENTAZIONE FOTOGRAFICA    |  |
|  |     | FTAN | Codice identificativo         | UR3802   |
|  |     | FTAX | Genere                        | documentazione allegata                                      |
|  |     | FTAP | Tipo                          | foto digitale  |
|  |     | FTAF | Formato                       | jpeg   |
|  |     | FTAM | Titolo/didascalia             | tracciato cavidotto lungo strada, impianti e fasce di survey |
|  |     | FTAA | Autore                        | Manca di Mores, Giuseppina                                   |
|  |     | FTAD | Riferimento cronologico       | 19/08/2022   |
|  |     | FTAT | Note                          | Rif. relazione tav. XLV, fig. 2                              |
|  | FTA |      | DOCUMENTAZIONE FOTOGRAFICA    |  |
|  |     | FTAN | Codice identificativo         | UR3803   |
|  |     | FTAX | Genere                        | documentazione allegata                                      |
|  |     | FTAP | Tipo                          | foto digitale  |
|  |     | FTAF | Formato                       | jpeg   |
|  |     | FTAM | Titolo/didascalia             | tracciato cavidotto lungo strada e fasce di survey           |
|  |     | FTAA | Autore                        | Manca di Mores, Giuseppina                                   |
|  |     | FTAD | Riferimento cronologico       | 19/08/2022   |
|  |     | FTAT | Note                          | Rif. relazione tav. XLV, fig. 3                              |

|             |                  |      |   |
|-------------|------------------|------|---|
|             | FTA              |      | DOCUMENTAZIONE FOTOGRAFICA  |
|             |                  | FTAN | Codice identificativo<br>UR1384   |
|             |                  | FTAX | Genere<br>documentazione allegata   |
|             |                  | FTAP | Tipo<br>foto digitale   |
|             |                  | FTAF | Formato<br>jpeg   |
|             |                  | FTAM | Titolo/didascalia<br>veduta generale di contesto  |
|             |                  | FTAA | Autore<br>Manca di Mores, Giuseppina  |
|             |                  | FTAD | Riferimento cronologico<br>19/08/2022   |
|             |                  | FTAT | Note<br>Rif. relazione tav. XLV, fig. 4   |
|             | FTA              |      | DOCUMENTAZIONE FOTOGRAFICA  |
|             |                  | FTAN | Codice identificativo<br>UR3805   |
|             |                  | FTAX | Genere<br>documentazione allegata   |
|             |                  | FTAP | Tipo<br>foto digitale   |
|             |                  | FTAF | Formato<br>jpeg   |
|             |                  | FTAM | Titolo/didascalia<br>tracciato cavidotto lungo strada verso gli impianti  |
|             |                  | FTAA | Autore<br>Manca di Mores, Giuseppina  |
|             |                  | FTAD | Riferimento cronologico<br>19/08/2022   |
|             |                  | FTAT | Note<br>Rif. relazione tav. XLV, fig. 5   |
| <b>UR39</b> | <b>TAV. XLVI</b> |      |   |
| RE          |                  |      | INDAGINI  |
|             | RCG              |      | RICOGNIZIONE ARCHEOLOGICA   |
|             |                  | RCGV | Denominazione ricognizione<br><b>UR39</b>   |
|             |                  | RCGD | Riferimento cronologico<br>19/08/2022   |
|             |                  | RCGT | Situazione ambientale<br>Tracciato del cavidotto lungo la stradina asfaltata. Presenza ai lati di vegetazione arbustiva e di rovi oltre i quali sono terreni pianeggianti coltivate a foraggiere falciate. nella parte sterrata della strada, presenza di una sistemazione in selciato di possibile antichità ma non pienamente inquadrabile tipologicamente e cronologicamente. Complessivamente visibilità alta. A circa 100 m in direzione E è ubicato il n. ghe Funtana Loda. |
|             |                  | RCGE | Motivo<br>verifica preventiva   |
|             |                  | RCGM | Metodo<br>sistematico   |
|             |                  | RCGR | Ente responsabile<br>SABAP SS E NU  |
|             |                  | RCGA | Responsabile scientifico<br>Manca di Mores, Giuseppina  |
|             |                  | RCGZ | Note  |
| GE          |                  |      | GEOREFERENZIAZIONE  |



|  |     |      |                               |  |
|--|-----|------|-------------------------------|--|
|  | GEL |      | Tipo di localizzazione        | localizzazione fisica                                      |
|  | GET |      | Tipo di georeferenziazione    | georeferenziazione puntuale                                |
|  | GEP |      | Sistema di riferimento        | WGS84  |
|  | GEC |      | COORDINATE                    |  |
|  |     | GECX | Coordinata x                  | 8.746396   |
|  |     | GECY | Coordinata y                  | 40.830609  |
|  |     | GECS | Note                          | inizio UR  |
|  |     | GECX | Coordinata x                  | 8.751090   |
|  |     | GECY | Coordinata y                  | 40.839628  |
|  |     | GECS | Note                          | fine UR  |
|  | GPT |      | Tecnica di georeferenziazione | rilievo tramite GPS  |
|  | GPM |      | Metodo di posizionamento      | posizionamento esatto                                      |
|  | FTA |      | DOCUMENTAZIONE FOTOGRAFICA    |  |
|  |     | FTAN | Codice identificativo         | UR3901   |
|  |     | FTAX | Genere                        | documentazione allegata                                    |
|  |     | FTAP | Tipo                          | foto digitale  |
|  |     | FTAF | Formato                       | jpeg   |
|  |     | FTAM | Titolo/didascalia             | inizio UR tracciato cavidotto su strada                    |
|  |     | FTAA | Autore                        | Manca di Mores, Giuseppina                                 |
|  |     | FTAD | Riferimento cronologico       | 19/08/2022   |
|  |     | FTAT | Note                          | Rif. relazione tav. XLVI, fig. 1                           |
|  | FTA |      | DOCUMENTAZIONE FOTOGRAFICA    |  |
|  |     | FTAN | Codice identificativo         | UR3902   |
|  |     | FTAX | Genere                        | prosecuzione tracciato cavidotto su strada                 |
|  |     | FTAP | Tipo                          | foto digitale  |
|  |     | FTAF | Formato                       | jpeg   |
|  |     | FTAM | Titolo/didascalia             | dettaglio della vegetazione ad alto fusto                  |
|  |     | FTAA | Autore                        | Manca di Mores, Giuseppina                                 |
|  |     | FTAD | Riferimento cronologico       | 19/08/2022   |
|  |     | FTAT | Note                          | Rif. relazione tav. XLVI, fig. 2                           |
|  | FTA |      | DOCUMENTAZIONE FOTOGRAFICA    |  |
|  |     | FTAN | Codice identificativo         | UR3903   |
|  |     | FTAX | Genere                        | documentazione allegata                                    |
|  |     | FTAP | Tipo                          | foto digitale  |
|  |     | FTAF | Formato                       | jpeg   |
|  |     | FTAM | Titolo/didascalia             | survey nelle fasce di 25 m ai lati del tracciato cavidotto |
|  |     | FTAA | Autore                        | Manca di Mores, Giuseppina                                 |
|  |     | FTAD | Riferimento cronologico       | 19/08/2022   |
|  |     | FTAT | Note                          | Rif. relazione tav. XLVI, fig. 3                           |

| FTA         |                   | DOCUMENTAZIONE FOTOGRAFICA |   |
|-------------|-------------------|----------------------------|---|
|             | FTAN              | Codice identificativo      | UR3904  |
|             | FTAX              | Genere                     | documentazione allegata   |
|             | FTAP              | Tipo                       | foto digitale   |
|             | FTAF              | Formato                    | jpeg  |
|             | FTAM              | Titolo/didascalia          | sistemazione fondo stradale   |
|             | FTAA              | Autore                     | Manca di Mores, Giuseppina  |
|             | FTAD              | Riferimento cronologico    | 19/08/2022  |
|             | FTAT              | Note                       | Rif. relazione tav. XLVI, fig. 4  |
| FTA         |                   | DOCUMENTAZIONE FOTOGRAFICA |   |
|             | FTAN              | Codice identificativo      | UR3905  |
|             | FTAX              | Genere                     | documentazione allegata   |
|             | FTAP              | Tipo                       | foto digitale   |
|             | FTAF              | Formato                    | jpeg  |
|             | FTAM              | Titolo/didascalia          | sistemazione fondo stradale veduta ampia  |
|             | FTAA              | Autore                     | Manca di Mores, Giuseppina  |
|             | FTAD              | Riferimento cronologico    | 19/08/2022  |
|             | FTAT              | Note                       | Rif. relazione tav. XLVI, fig. 5  |
| FTA         |                   | DOCUMENTAZIONE FOTOGRAFICA |   |
|             | FTAN              | Codice identificativo      | UR3906  |
|             | FTAX              | Genere                     | documentazione allegata   |
|             | FTAP              | Tipo                       | foto digitale   |
|             | FTAF              | Formato                    | jpeg  |
|             | FTAM              | Titolo/didascalia          | parte finale UR su tracciato cavidotto  |
|             | FTAA              | Autore                     | Manca di Mores, Giuseppina  |
|             | FTAD              | Riferimento cronologico    | 19/08/2022  |
|             | FTAT              | Note                       | Rif. relazione tav. XLVI, fig. 6  |
| <b>UR40</b> | <b>TAV. XLVII</b> |                            |   |
| RE          |                   | INDAGINI                   |   |
|             | RCG               | RICOGNIZIONE ARCHEOLOGICA  |   |
|             | RCGV              | Denominazione ricognizione | <b>UR40</b>   |
|             | RCGD              | Riferimento cronologico    | 19/08/2022  |
|             | RCGT              | Situazione ambientale      | Tracciato del cavidotto che conduce alla WTG13. Campi in leggero declivio e poi lungo un pendio sormontato da un macchione. Terreni con foraggere falciate. Visibilità alta. Non sono state riscontrate evidenze archeologiche. |

|    |     |      |                               |   |
|----|-----|------|-------------------------------|---|
|    |     | RCGE | Motivo                        | verifica preventiva   |
|    |     | RCGM | Metodo                        | sistematico   |
|    |     | RCGR | Ente responsabile             | SABAP SS E NU   |
|    |     | RCGA | Responsabile scientifico      | Manca di Mores, Giuseppina                                  |
|    |     | RCGZ | Note                          |   |
| GE |     |      | GEOREFERENZIAZIONE            |   |
|    | GEL |      | Tipo di localizzazione        | localizzazione fisica                                       |
|    | GET |      | Tipo di georeferenziazione    | georeferenziazione puntuale                                 |
|    | GEP |      | Sistema di riferimento        | WGS84   |
|    | GEC |      | COORDINATE                    |   |
|    |     | GECX | Coordinata x                  | 8.736087  |
|    |     | GECY | Coordinata y                  | 40.844863   |
|    |     | GECS | Note                          | inizio UR   |
|    |     | GECX | Coordinata x                  | 8.739762  |
|    |     | GECY | Coordinata y                  | 40.848566   |
|    |     | GECS | Note                          | fine UR   |
|    | GPT |      | Tecnica di georeferenziazione | rilievo tramite GPS   |
|    | GPM |      | Metodo di posizionamento      | posizionamento esatto                                       |
|    | FTA |      | DOCUMENTAZIONE FOTOGRAFICA    |   |
|    |     | FTAN | Codice identificativo         | UR4001  |
|    |     | FTAX | Genere                        | documentazione allegata                                     |
|    |     | FTAP | Tipo                          | foto digitale   |
|    |     | FTAF | Formato                       | jpeg  |
|    |     | FTAM | Titolo/didascalia             | tracciato cavidotto su strada                               |
|    |     | FTAA | Autore                        | Manca di Mores, Giuseppina                                  |
|    |     | FTAD | Riferimento cronologico       | 19/08/2022  |
|    |     | FTAT | Note                          | Rif. relazione tav. XLVII, fig. 1                           |
|    | FTA |      | DOCUMENTAZIONE FOTOGRAFICA    |   |
|    |     | FTAN | Codice identificativo         | UR4002  |
|    |     | FTAX | Genere                        | documentazione allegata                                     |
|    |     | FTAP | Tipo                          | foto digitale   |
|    |     | FTAF | Formato                       | jpeg  |
|    |     | FTAM | Titolo/didascalia             | ingresso area privata - tracciato cavidotto in campo aperto |
|    |     | FTAA | Autore                        | Manca di Mores, Giuseppina                                  |
|    |     | FTAD | Riferimento cronologico       | 19/08/2022  |
|    |     | FTAT | Note                          | Rif. relazione tav. XLVII, fig. 2                           |
|    | FTA |      | DOCUMENTAZIONE FOTOGRAFICA    |   |
|    |     | FTAN | Codice identificativo         | UR4003  |
|    |     | FTAX | Genere                        | documentazione allegata                                     |

|  |     |      |                            |  |
|--|-----|------|----------------------------|--|
|  |     | FTAP | Tipo                       | foto digitale  |
|  |     | FTAF | Formato                    | jpeg   |
|  |     | FTAM | Titolo/didascalia          | proseguimento tracciato cavidotto verso altura e WTG - survey area vasta |
|  |     | FTAA | Autore                     | Manca di Mores, Giuseppina   |
|  |     | FTAD | Riferimento cronologico    | 19/08/2022   |
|  |     | FTAT | Note                       | Rif. relazione tav. XLVII, fig. 3  |
|  | FTA |      | DOCUMENTAZIONE FOTOGRAFICA |  |
|  |     | FTAN | Codice identificativo      | UR4004   |
|  |     | FTAX | Genere                     | documentazione allegata  |
|  |     | FTAP | Tipo                       | foto digitale  |
|  |     | FTAF | Formato                    | jpeg   |
|  |     | FTAM | Titolo/didascalia          | tracciato cavidotto verso WTG oltre l'altura                             |
|  |     | FTAA | Autore                     | Manca di Mores, Giuseppina   |
|  |     | FTAD | Riferimento cronologico    | 19/08/2022   |
|  |     | FTAT | Note                       | Rif. relazione tav. XLVII, fig. 4  |
|  | FTA |      | DOCUMENTAZIONE FOTOGRAFICA |  |
|  |     | FTAN | Codice identificativo      | UR4005   |
|  |     | FTAX | Genere                     | documentazione allegata  |
|  |     | FTAP | Tipo                       | foto digitale  |
|  |     | FTAF | Formato                    | jpeg   |
|  |     | FTAM | Titolo/didascalia          | survey d' area vasta su fasce tracciato cavidotto                        |
|  |     | FTAA | Autore                     | Manca di Mores, Giuseppina   |
|  |     | FTAD | Riferimento cronologico    | 19/08/2022   |
|  |     | FTAT | Note                       | Rif. relazione tav. XLVII, fig. 5  |

## 9. POTENZIALE E RISCHIO ARCHEOLOGICO

### 9.1 LA VALUTAZIONE DEL POTENZIALE ARCHEOLOGICO (elaborato 224308\_D\_D\_0405)

La lettura del contesto archeologico e le indicazioni del *survey* nelle aree degli aerogeneratori consentono le seguenti osservazioni.

Il potenziale archeologico appare molto basso nelle aree di installazione degli aerogeneratori WTG 1 (UR1), 4 (UR 6), 10-11 (UR22, 24), e nei tratti di cavidotto UR 20, 21, 23 e 33b. Un potenziale basso si riscontra nelle aree dei WTG 2 (UR3), 3 (UR2), 5 (UR5), 6, 7-8-9 (UR9, 12, 14), 13 (UR7), 14 (UR8) e nei tratti di cavidotto UR13, 15-19, 25 a, 26-33 a, 34-35, 37-38, 40. Meritano attenzione con un potenziale di grado 4 - controverso l’area di installazione del WTG 15 (UR11) e le UR 25b e 39, e di grado 5 – indiziato (WTG 12 = UR10). Un grado 7 - potenziale medio-alto è riscontrabile nei pressi del tracciato su strada del cavidotto della UR36 (N.ghe Ena Longa entro il limite esterno orientale della fascia laterale di *survey* di 25 m).

### 9.2 RISCHIO ARCHEOLOGICO

È noto che la differenza fra la valutazione del potenziale archeologico e del rischio archeologico consiste nel grado di interferenza che l’opera, a seconda delle sue caratteristiche, realizza nei confronti delle presenze archeologiche. È pertanto evidente che per la conservazione delle emergenze e dei depositi archeologici la profondità dello scavo e la sua ampiezza sono strettamente correlate al grado di rischio. A ciò va aggiunto il peso del fattore visibilità dei suoli, non sempre ottimale per via delle caratteristiche stagionali della vegetazione.

Le attività di scavo riferibili alla messa in opera della piattaforma degli aerogeneratori toccano livelli potenzialmente interessati da presenze antiche, così come le profondità di lavorazione relative alle trincee dei cavidotti di collegamento. La valutazione del rischio appare complessivamente bassa, con rischio medio nell’area di installazione del WTG 15 (UR11) e le UR 25b e 39, e WTG 12 (UR10). Un grado potenzialmente maggiore, medio-alto, è dato relativa vicinanza del N.ghe Ena Longa (circa 20 m) al tracciato del cavidotto su strada nell’UR36.

In conclusione di quanto su esposto, a fronte del potenziale archeologico sopra evidenziato, le caratteristiche dell’opera portano ad indicare un rischio complessivamente basso, fatte salve ovviamente le specifiche aree di potenziale medio o di più stretta interferenza con il tracciato.

## 10. BIBLIOGRAFIA/ SITOGRAFIA

ANGIOLILLO et al. 2017 = S. Angiolillo, R. Martorelli, M. Giuman, A.M. Corda, D. Artizzu (a cura di), *La Sardegna romana e altomedievale. Storia e materiali* (<<Corpora delle antichità della Sardegna>>), Nuoro 2017.

ANGIUS 1834 = V. Angius (a cura di), s.v. “Bulzi”, in G. CASALIS, *Dizionario geografico, storico, statistico, commerciale degli Stati di Sua Maestà il Re di Sardegna*, vol. II, Torino.

ANGIUS 1837a = V. Angius (a cura di), s.v. “Castelsardo”, in G. CASALIS, *Dizionario geografico, storico, statistico, commerciale degli Stati di Sua Maestà il Re di Sardegna*, vol. IV, Torino.

ANGIUS 1837b = V. Angius (a cura di), s.v. “Chiaramonti”, in G. CASALIS, *Dizionario geografico, storico, statistico, commerciale degli Stati di Sua Maestà il Re di Sardegna*, vol. IV, Torino.

ANGIUS 1841a = V. Angius (a cura di), s.v. “Laerru”, in G. CASALIS, *Dizionario geografico, storico, statistico, commerciale degli Stati di Sua Maestà il Re di Sardegna*, vol. IX, Torino.

ANGIUS 1841b = V. Angius (a cura di), s.v. “Martis”, in G. CASALIS, *Dizionario geografico, storico, statistico, commerciale degli Stati di Sua Maestà il Re di Sardegna*, vol. X, Torino.

ANGIUS 1843 = V. Angius (a cura di), s.v. “Nulvi”, in G. CASALIS, *Dizionario geografico, storico, statistico, commerciale degli Stati di Sua Maestà il Re di Sardegna*, vol. XII, Torino.

ANGIUS 1845 = V. Angius (a cura di), s.v. “Osilo”, in G. CASALIS, *Dizionario geografico, storico, statistico, commerciale degli Stati di Sua Maestà il Re di Sardegna*, vol. XIII, Torino.

ANGIUS 1847 = V. Angius (a cura di), s.v. “Ploaghe”, in G. CASALIS, *Dizionario geografico, storico, statistico, commerciale degli Stati di Sua Maestà il Re di Sardegna*, vol. XV, Torino.

ANGIUS 1849a = V. Angius (a cura di), s.v. “Sedini”, in G. CASALIS, *Dizionario geografico, storico, statistico, commerciale degli Stati di Sua Maestà il Re di Sardegna*, vol. XVIII, Torino.

ANGIUS 1849b = V. Angius (a cura di), s.v. “Sennori”, in G. CASALIS, *Dizionario geografico, storico, statistico, commerciale degli Stati di Sua Maestà il Re di Sardegna*, vol. XVIII, Torino.

ANGIUS 1850 = V. Angius (a cura di), s.v. “Sorso”, in G. CASALIS, *Dizionario geografico, storico, statistico, commerciale degli Stati di Sua Maestà il Re di Sardegna*, vol. XX, Torino.

BARRECA 1985 = F. Barreca, *L’archeologia fenicio-punica in Sardegna*, in *BArte* (31-32), 57-96.

BARRECA 1988 = F. Barreca, *La civiltà fenicio-punica in Sardegna*, Sassari.

BELLI 1988 = E. Belli, *La viabilità romana nel Logudoro-Meilogu*, in A. Moravetti (a cura di), *Il nuraghe Santu Antine di Torralba*, Carlo Delfino editore, Sassari, pp. 331-92.

BRIGAGLIA 1995 = M. Brigaglia (a cura di), *Le chiese nel verde*, Sassari, Silvana ed. (ristampa).

CAMARDA 1993 = I. Camarda (a cura di), *Montagne di Sardegna*, Carlo Delfino editore, Sassari.

CASAGRANDE 2019 = M. Casagrande, *Il doppiere di Tergu: storia di un ritrovamento perduto*, in *Layers 4*, pp. 11-38.

CASTALDI 1969 = E. Castaldi, *Tombe di giganti nel sassarese*, in *Origini*, III.

CANU, DORO, FARINA 2020 = N. Canu, L. Doro, A. Farina, *Tomba di Baldedu II (Chiaramonti, SS)*, in *Notiziario di Preistoria e Protostoria - 7.II*, Sardegna e Sicilia, pp. 66-69.

CHELO 1952 = G. Chelo, *Saggio di catalogo archeologico sul Foglio 180 della Carta d'Italia, Quadrante III - Tavolette NE/SE*, Tesi di Laurea, a.a.1951-1952, 80-82.

CHERCHI, MARRAS, PADUA 2012 = M. Cherchi, G. Marras, G. Padua, *Archeologia e topografia di Orria Pithinna* in M. Milanese (a cura di), *Villaggi e monasteri. Orria Pithinna. La chiesa, il villaggio, il monastero*, All'Insegna del Giglio, Firenze 2012, pp. 25-56.

CHIESE CAMPESTRI SARDEGNA = <http://www.chiesecampestri.it>

CONTU 1971 = E. Contu, *Oridda e Serr'e Crabile (Sennori)*, in *RSP*, 2, 499.

CONTU 1978 = E. Contu, *Il significato della stele nelle tombe di giganti*, Dessì, Sassari.

CONTU 1998 = E. Contu, *La Sardegna preistorica e nuragica*, Chiarella, Sassari.

DAY 1973 = J. Day, *Villaggi abbandonati in Sardegna dal '300 al '700, inventario*, Parigi 1973.

DERUDAS 2009 = P. Derudas, *La villa di Osilo. Fonti scritte e primi dati archeologici*, Editoriale Documenta, Cargeghe (SS).

FARA 1574 = G. Francesco Fara, *De chorographia Sardiniae: libri duo; De rebus sardois: libri quatuor: tomus primus, ex recensione Victorii Angius*. Ex typis Monteverde, Cagliari 1838.

FERRARESE CERUTI 1981 = M. L. Ferrarese Ceruti, *La cultura di Bonnanaro, in Ichnussa. La Sardegna dalle origini all'età classica*, Milano, *infra*.

FOSCHI NIEDDU 1981 = A. Foschi Nieddu, *Scoperte e scavi preistorici in Sardegna durante il 1981. Sennori*, in *Rivista di Scienze Preistoriche*, 1-2, p. 355.

FOSCHI NIEDDU 1984 = A. Foschi Nieddu, *I risultati degli scavi 1981 nella necropoli prenuragica di Serra Crabiles, Sennori (Sassari)*, in *The Deja Conference of Prehistory, II, British Archaeological Reports*, 229, 533-52.

GERMANÀ 1980a = F. Germanà, *Forme umane preistoriche di Serra Crabiles (Sennori - Sassari) nel contesto antropico paleosardo*, in *Atti XX Riunione Scientifica dell'Istituto Italiano di preistoria e protostoria*, Firenze 1978, 305-30.

GERMANÀ 1980 = F. Germanà, *L'uomo*, in *Nur. La misteriosa civiltà dei Sardi*, Milano, *infra*.

GPN = MATTM, *Geoportale Nazionale*, [www.pcn.minambiente.it/mattm/login](http://www.pcn.minambiente.it/mattm/login)



GUIRGUIS 2017 = M. Guirguis (ed.), *La Sardegna fenicia e punica. Storia e materiali* (<<Corpora delle antichità della Sardegna>>), Nuoro.

ICR = MiBACT, *Carta del Rischio*, [Carta del Rischio - MiC ICR \(beniculturali.it\)](http://beniculturali.it)

LAFRAGOLA 2021 = A. Lafragola, *Un guerriero (penitente?) dal contesto sepolcrale di Laerru in provincia di Sassari. Nuove ipotesi interpretative su alcuni pendagli di Sardegna*, in *Bollettino di Archeologia On Line* Direzione Generale Archeologia, Belle Arti e Paesaggio.

LILLIU 1988a = G. Lilliu, *La civiltà dei Sardi dal Paleolitico alla fine dell'età nuragica*, Torino.

LILLIU 1988b = G. Lilliu (a cura di), *L'Antiquarium Arborensis e i civici musei archeologici della Sardegna*, Sassari 1988.

LILLIU 1962 = G. Lilliu, *I nuraghi. Torri preistoriche di Sardegna*, Cagliari.

MADAU, MANCA DI MORES, SAU 2010 = M. Madau, G. Manca di Mores, M. Sau, *La tomba di giganti di Oridda e il territorio di Sennori*, Sardegna archeologica n. 45, Carlo Delfino editore, Sassari.

MANCA DI MORES 1997 = G. Manca di Mores, *Nulvi (SS). 1. Indagine preliminare sui beni culturali del territorio. 2. "Progetto Irru". Itinerari e proposte di valorizzazione*, in *Bollettino di Archeologia del Ministero per i Beni Culturali e ambientali*, pp. 43-45.

MANCONI, MELE 2002 = F. Manconi, G. Mele, *Le aree storiche della Sardegna*, in G. Mura, A. Sanna (a cura di), *I Paesi. Paesi e città della Sardegna*, 1, CUEC, Cagliari, pp. 97-104.

MAXIA 1997 = M. Maxia, *La diocesi di Ampurias: studio storico-onomastico sull'insediamento umano medievale*, Chiarella, Sassari.

MARRAS 2002 = G. Marras, *Villaggi medievali abbandonati nel territorio di Chiaramonti*, tesi di laurea, UNISS.

MASTINO 2006 = A. Mastino, *La Sardegna romana*, in M. Brigaglia, G.G. Ortu, A. Mastino, *Storia della Sardegna. 1. Dalle origini al Settecento*, Roma-Bari, 33-57.

MASTINO 2020 = A. Mastino, *Ossi. Eracle e le Esperidi: le ninfe della Sardegna nell'Occidente Mediterraneo mitico*, in *La Sardegna e il Mediterraneo: dall'archeologia alla società. Studi e ricerche in memoria di Ercole Contu*, Sassari, 17-18 Gennaio 2020, Sassari.

MATTONE, SODDU 2007 = A. Mattone, A. e Soddu (a cura di), *Castelsardo. 900 anni di storia*, Carocci editore, Roma.

MELIS 1986 = P. Melis, *Notiziario - La domus di Li Algasa*, in *Nuovo Bullettino Archeologico Sardo*, 3, pp. 295-300.

MELIS 1991 = P. Melis, *La domus dell'Elefante*, Sardegna Archeologica. Guide e Itinerari, Carlo Delfino editore, Sassari.

MELIS 1992 = P. Melis, *Antichità romane del territorio di Castelsardo (Sassari)*, in *Archivio Storico Sardo*, XXXIX, pp. 11-28.

MELIS 1994 = P. Melis, *Tergu. Nuraghi ed edifici monumentali*, in *Almanacco Gallurese* 1994-5, pp. 69-75.



MELIS 1998 = P. Melis, *Carta archeologica del comune di Sedini*, in *Archivio Storico Sardo*, XXXVII, pp. 37-76.

MELIS 2002a = P. Melis, *Due nuove stele con "faccina a specchio" da Tergu (SS)*, in *Nuovo Bullettino Archeologico Sardo*, vol. 5 (1993-1995), pp. 220-277.

MELIS 2002b = P. Melis, *L'area nuragica di S. Maria di Tergu –Sassari*, in *Etruria e Sardegna centro-settentrionale tra l'età del Bronzo Finale e l'arcaismo. Atti XXI Convegno di Studi etrusco e italici*, Pisa- Roma, pp. 453-461.

MELIS 2007 = P. Melis, *Preistoria e protostoria nel comune di Castelsardo*, in *MATTONE, SODDU 2007*, pp. 15-61.

MELIS 2018 = P. Melis, *Grotta del Gatto (Sedini, SS)*, in *Notiziario di Preistoria e Protostoria - 5.II*, Sardegna e Sicilia, pp. 80-82.

MELIS 2020a = P. Melis, *Protonuraghe di Monte Ultanu (Laerru, SS)*, in *Notiziario di Preistoria e Protostoria - 7.II*, Sardegna e Sicilia, pp. 73-75.

MELIS 2020b = P. Melis, *Domus de janas di Sos Laccheddos (Laerru, SS)*, in *Notiziario di Preistoria e Protostoria - 7.II*, Sardegna e Sicilia, pp. 76-78.

MELIS 2020c = P. Melis, *Protonuraghe di Pedra Mulchitta (Sedini, SS)*, in *Notiziario di Preistoria e Protostoria - 7.II*, Sardegna e Sicilia, p. 82.

MELIS 2022 = P. Melis, *Monti Fulcadu (Sedini, SS)*, in *Notiziario di Preistoria e Protostoria – 8.II*, Sardegna e Sicilia, pp. 71-74.

MILANESE *et alii* 2010 = M. Milanese *et alii*, *Paesaggi agrari tardo-antichi e medievali della Sardegna settentrionale*, in *L'Africa Romana*, Carocci Editore, Roma, pp. 2111-2127.

MORAVETTI *et al.* 2014 = A. Moravetti, E. Alba, L. Foddai (a cura di), *La Sardegna nuragica. Storia e materiali* (<<Corpora delle antichità della Sardegna>>), Nuoro.

MORAVETTI *et al.* 2017a = A. Moravetti, P. Melis, L. Foddai, E. Alba (a cura di), *La Sardegna preistorica. Storia, materiali e monumenti* (<<Corpora delle antichità della Sardegna>>), Nuoro.

MORAVETTI *et al.* 2017b = A. Moravetti, P. Melis, E. Alba, L. Foddai (a cura di), *La Sardegna nuragica. Storia e monumenti* (<<Corpora delle antichità della Sardegna>>), Nuoro.

MOSAICO 2016-2017 = RAS, PPR 2006. *Repertorio del Mosaico*, Cagliari.

MURESU 2020 = M. Muresu, *La Sardegna nel Mediterraneo di VII-VIII secolo attraverso il dato archeologico, numismatico e sfragistico*, in *Mélanges de l'École française de Rome - Moyen Âge* [En ligne], 132-2 | 2020, mis en ligne le 22 mai 2020, consulté le 02 septembre 2022. URL <http://journals.openedition.org/mefrm/7947> ; DOI : <https://doi.org/10.4000/mefrm.7947>

PITZALIS 1998 – G. Pitzalis, *Necropoli e centri rurali della Sardegna romana nella Bassa Valle del Coghinis*, in *L'Africa Romana 12*, pp. 741-765.

PUC CHIARAMONTI 2013 = Comune di Chiaramonti, *Piano Urbanistico Comunale*, Chiaramonti;

PUC LAERRU 2010 = Comune di Laerru, *Piano Urbanistico Comunale*, Laerru.

PUC MARTIS 2013 = Comune di Martis, *Piano Urbanistico Comunale*, Martis.

PUC NULVI 2014 = Comune di Nulvi, *Piano Urbanistico Comunale*. *Allegato 13. Siti di rilevanza storica ed archeologica*, Nulvi.

PUC SEDINI 2012 = Comune di Sedini, *Piano Urbanistico Comunale*, Sedini.

PUC SENNORI 2016 = Comune di Sennori, *Piano Urbanistico Comunale*, Sennori.

PUC SORSO 2017 = Comune di Sorso, *Piano Urbanistico Comunale*, Sorso.

PUC TERGU 2016 = Comune di Tergu, *Piano Urbanistico Comunale*, Tergu.

PUC VALLEDORIA 2017 = Comune di Valledoria, *Piano Urbanistico Comunale*, Valledoria.

PUDDU 2019 = M. Puddu, *Funerary Archaeology and Changing Identities: Community Practises in Roman-Period Sardinia*, in *Archaeopress Roman Archaeology*, 55.

ROVINA 1997a = D. Rovina, *Sennori - Sassari, Loc. Su Nuraghe. Insediamento nuragico e romano*, in *Bollettino di Archeologia*, 43-45, pp. 130-1.

ROVINA 1997b = D. Rovina, *Sennori - Sassari, Loc. Serra Crabiles, Necropoli preistorica*, in *Bollettino di Archeologia*, 43-45, pp. 105-6.

ROVINA 1998 = D. Rovina, *Ceramiche di importazione e produzioni locali dall'insediamento altomedievale di Santa Filitica (Sorso-Sassari)*, in L. Saguì (ed.), *Ceramica in Italia: VI – VII secolo. Atti del convegno in onore di John W. Hayes*, Roma, 11-13 maggio 1995, Biblioteca di «Archeologia Medievale», 14, pp. 787-96.

ROVINA 2001 = D. Rovina, *Insediamenti rurali tra antichità e medioevo: il sito di Santa Filitica*, in *Mélanges de l'École française de Rome. Moyen-Age*, tome 113, n°1, 2001, pp. 9-26.

ROPPA 2013 = A. Roppa, *Comunità urbane e rurali nella Sardegna punica di età ellenistica*, Valencia.

SABA 1927 = A. Saba, *Montecassino e la Sardegna Medioevale: note storiche e codice diplomatico sardocassinese*, Montecassino, Badia di Montecassino.

SALVI 2016 = D. Salvi, *I percorsi della vita e della morte: la romanizzazione letta attraverso i rituali funerari*, in S. De Vincenzo, C. Blasetti Fantauzzi (a cura di), *Il processo di romanizzazione della provincia "Sardinia et Corsica". Atti del Convegno Internazionale di Studi, Cuglieri (OR), 26-28 marzo 2015*, 307-25.

SANNA 2014 = M. Sanna, *Chiese rupestri in Sardegna. Stato attuale degli studi*, in *Archeogruppo*, 6, infra.

SANTONI 1976 = V. Santoni, *Nota preliminare sulla tipologia delle grotticelle artificiali funerarie in Sardegna*, in *Archivio Storico Sardo*, 30, infra.

SGP = RAS, *Sardegna Geoportale*, <http://www.sardegnaoportale.it/>

SODDU, CAMPUS 2007= A. Soddu, G. R. Campus (a cura di), *Le origini storiche e culturali del territorio di Viddalba, Santa Maria Coghinas, Valledoria*, Composita Editoria, Sassari.

TANDA 1985 = G. Tanda, *L'arte delle domus de janas*, Chiarella ed., Sassari (in part. 132, 188.)

TERROSU ASOLE 1974 = A. Terrosu Asole, *L'insediamento umano medioevale e i centri abbandonati tra il secolo XIV ed il secolo XVII* (supplemento al fascicolo II dell'Atlante di Sardegna), Roma.

VAN DOMMELEN, GÓMEZ BELLARD 2008 = P. Van Dommelen, C. Gómez Bellard, *Rural Landscapes of the Punic World*, London.

VILLAGGI SCOMPARSI SARDEGNA = <https://villaggiscomparsi.weebly.com>

ViR = MiC, *Vincoli in Rete*, <http://vincoliinrete.beniculturali.it/VincoliInRete/vir/utente/login>